

**ΤΕΧΝΟΛΟΓΙΚΟ ΕΚΠΑΙΔΕΥΤΙΚΟ ΙΔΡΥΜΑ ΚΡΗΤΗΣ  
ΤΜΗΜΑ ΦΥΣΙΚΩΝ ΠΟΡΩΝ ΚΑΙ ΠΕΡΙΒΑΛΛΟΝΤΟΣ**

ΠΤΥΧΙΑΚΗ ΕΡΓΑΣΙΑ

**ΕΦΑΡΜΟΓΗ ΓΕΩΛΟΓΙΚΩΝ ΓΕΩΦΥΣΙΚΩΝ ΚΙ  
ΥΔΡΟΓΕΩΛΟΓΙΚΩΝ ΜΕΘΟΔΟΛΟΓΙΩΝ ΣΤΗΝ  
ΕΠΙΛΥΣΗ ΓΕΩΤΕΧΝΙΚΩΝ ΠΡΟΒΛΗΜΑΤΩΝ**

**ΕΠΙΜΕΛΕΙΑ:**

**ΔΡΑΚΟΠΟΥΛΟΥ ΑΓΓΕΛΙΚΗ**

ΧΑΝΙΑ

ΙΑΝΟΥΑΡΙΟΣ 2004

**ΠΕΡΙΕΧΟΜΕΝΑ**

ΠΕΡΙΕΧΟΜΕΝΑ.....	1
1. ΠΡΟΛΟΓΟΣ.....	6
2. ΕΙΣΑΓΩΓΗ.....	8
2.1 Γενικά Στοιχεία Περιοχής Έρευνας.....	8
2.2 Υδρογεωλογικό Καθεστώς.....	9
2.3 Λεκάνη Ελάτης – 1 <sup>η</sup> κρίσιμη περιοχή.....	9
2.3.1 Καρστικοποίηση των ανθρακικών σχηματισμών.....	10
2.3.2 Διαπερατότητα των σχηματισμών.....	13
2.3.3 Υπόγεια υδροδυναμική.....	14
2.3.4 Πρόδρομος σχολιασμός επί των απαιτούμενων μέτρων στεγανοποίησης.....	15
2.4 Αριστερό αντέρεισμα φράγματος – 2η κρίσιμη περιοχή.....	15
2.4.1 Γενική θεώρηση.....	15
2.4.2 Γεωλογική και Τεκτονική δομή.....	16
2.4.3 Διαπερατότητα των σχηματισμών.....	17
2.4.4 Παλαιομορφολογικό ανάγλυφο.....	18
2.4.5 Υπόγεια υδροδυναμική.....	19
2.4.6 Πρόδρομος σχολιασμός επί των απαιτούμενων μέτρων στεγανοποίησης.....	19
2.5 Γεωλογικά – Γεωτεχνικά δεδομένα της περιοχής έργου.....	21
3. ΓΕΩΦΥΣΙΚΕΣ ΔΙΑΣΚΟΠΗΣΕΙΣ.....	24
3.1 Εισαγωγή.....	24
3.2 Φυσικές ιδιότητες.....	24
3.3 Γεωφυσικές Διασκοπήσεις.....	25
3.3.1 Ηλεκτρικές Μέθοδοι Διασκόπησης.....	25
3.3.2 Ηλεκτρομαγνητικές Μέθοδοι.....	26
3.3.3 Σεισμικές Μέθοδοι Διασκόπησης.....	26
3.3.4 Βαρυτικές Μέθοδοι Διασκόπησης.....	26
3.3.5 Μαγνητικές Μέθοδοι Διασκόπησης.....	27
3.3.6 Ραδιομετρικές Μέθοδοι Διασκόπησης.....	27
3.4 Αρχές των μεθόδων σεισμικής διασκόπησης.....	27
3.4.1 Εισαγωγή.....	27
3.4.2 Είδη Ελαστικών Κυμάτων.....	28
3.4.2.1 Κύματα χώρου.....	29
3.4.2.2 Επιφανειακά κύματα.....	32
3.4.3 Βασικές Αρχές Διάδοσης των Ελαστικών Κυμάτων.....	36
3.4.4 Ενέργεια των Ελαστικών Κυμάτων.....	37
3.4.5 Εξασθένηση των Ελαστικών Κυμάτων με την Απόσταση.....	40
3.4.6 Ανάκλαση και Διάθλαση των Ελαστικών Κυμάτων.....	41
3.4.6.1 Ανάκλαση των ελαστικών κυμάτων.....	42
3.4.6.2 Διάθλαση των ελαστικών κυμάτων.....	43
3.4.7 Γενικευμένος νόμος του Snell.....	45
3.4.8 Περίθλαση των Ελαστικών Κυμάτων.....	46
3.4.9 Ταχύτητες Διάδοσης των Ελαστικών Κυμάτων.....	47
3.4.10 Τρόποι Παραγωγής των Ελαστικών Κυμάτων στη Σεισμική Διασκόπηση.....	50
3.4.11 Όργανα Αναγραφής των Ελαστικών Κυμάτων στη Σεισμική Διασκόπηση.....	53
3.4.11.1 Γεώφωνο.....	53
3.4.11.2 Υδρόφωνο.....	57
3.4.11.3 Ενισχυτές.....	57

3.4.12 Καταγραφείς .....	58
3.4.13 Εδαφικός Θόρυβος.....	61
3.4.14 Παράδειγμα Τρόπου Εφαρμογής των Μεθόδων Σεισμικής Διασκόπησης.....	61
4. ΜΕΘΟΔΟΣ ΤΗΣ ΣΕΙΣΜΙΚΗΣ ΔΙΑΘΛΑΣΗΣ.....	68
4.1 Εισαγωγή .....	68
4.2 Δομή δύο Οριζόντιων Στρωμάτων .....	68
4.3 Δομή Πολλών Οριζόντιων Στρωμάτων .....	72
4.4 Στρώμα με Κεκλιμένη την Κάτω Επιφάνεια .....	75
4.5 Βασικές θεωρητικές σχέσεις.....	76
4.6 Τρόπος υπολογισμού των παραμέτρων .....	78
4.7 Δομή Πολλών Στρωμάτων με Κεκλιμένες Επιφάνειες.....	80
4.8 Στρώμα με μη Επίπεδη την Κάτω Επιφάνεια .....	82
4.9 Περιορισμοί της Μεθόδου της Σεισμικής Διάθλασης .....	84
4.10 Δομές Συνεχούς Μεταβολής της Ταχύτητας με το Βάθος.....	86
4.11 Καθορισμός της Θέσης Διάρρηξης και του Άλματος Μετάπτωσης.....	88
4.12 Τρόποι Διάταξης Γεωφώνων σε Εργασίες Διάθλασης .....	90
4.13 Διορθώσεις των Παρατηρήσεων Διάθλασης .....	93
4.14 Συσχέτιση των Αναγραφών Διάθλασης.....	94
5. ΣΕΙΣΜΙΚΕΣ ΕΡΕΥΝΕΣ ΣΕ ΓΕΩΤΡΗΣΕΙΣ .....	96
5.1 Σεισμική Διασκόπηση Μεταξύ Γεωτρήσεων (CROSSHOLE) .....	96
5.2 Κατακόρυφη Σεισμική Τομογραφία.....	97
5.3 Προδιαγραφές Διάνοιξης Γεώτρησης.....	98
5.4 Δέκτες – Γεώφωνα.....	100
5.5 Πηγές .....	101
5.6 Πραγματοποίηση των σεισμικών καταγραφών : stop – and – go method και on the fly method .....	102
5.7 Τι μετράται σε ένα πείραμα μεταξύ γεωτρήσεων .....	102
5.8 Θόρυβος.....	105
5.8.1 Θόρυβος κατά την διάρκεια των καταγραφών .....	105
5.8.2 Αξιολόγηση θορύβου – αντιμετώπιση.....	106
5.9 Σφάλματα που οφείλονται στην επεξεργασία των μετρήσεων και στις ερμηνευτικές υποθέσεις. ....	106
5.10 Σφάλματα που προέρχονται από μεθοδολογικούς περιορισμούς.....	107
5.11 Επίδραση των γεωτρήσεων πηγών – δεκτών.....	107
6. ΜΕΤΡΗΣΕΙΣ ΣΕΙΣΜΙΚΗΣ ΔΙΑΘΛΑΣΗΣ ΣΤΗ ΠΕΡΙΟΧΗ ΕΡΕΥΝΑΣ.....	108
7. ΕΚΤΕΛΕΣΘΕΙΣΕΣ ΕΡΓΑΣΙΕΣ ΣΕ ΓΕΩΤΡΗΣΕΙΣ .....	120
7.1 Θέση γεωτρήσεων Ch-1.....	120
7.2 Θέση γεωτρήσεων Ch-2.....	121
7.3 Θέση γεωτρήσεων Ch-3.....	123
7.4 Επεξεργασία των δεδομένων των γεωτρήσεων .....	124
7.4.1 Δοκιμές crosshole .....	124
7.4.2 Δοκιμές downhole.....	126
7.5 Υπολογισμός ταχυτήτων στις γεωτρήσεις CH1, CH2 και CH3 .....	127
7.6 Παρουσίαση – Αξιολόγηση των αποτελεσμάτων.....	135
7.6.1 Αριστερό αντέρεισμα – Περιοχή Ασβεστολίθων .....	135
7.6.2 Αριστερό αντέρεισμα – Περιοχή Φυλλιτών .....	139
7.6.3 Δεξί αντέρεισμα – Περιοχή Φυλλιτών.....	143
8. ΣΥΜΠΕΡΑΣΜΑΤΑ - ΣΥΝΟΨΗ.....	150
ΒΙΒΛΙΟΓΡΑΦΙΑ .....	152
ΠΑΡΑΡΤΗΜΑ Ι – Ισχύουσα Νομοθεσία για την κατασκευή Φραγμάτων.....	156
Υ.ΠΕ.ΧΩ.Δ.Ε .....	156

---

Φράγματα.....	156
A) Αναγνωριστική γεωλογική μελέτη (α' φάση μελέτης).....	157
B) Κυρίως γεωλογική μελέτη ( β' φάση μελέτης).....	157
Γ) Ερευνητικές εργασίες (γ' φάση μελέτης).....	158
Δ) Στάδιο κατασκευής (δ' φάση μελέτης).....	159



## 1. ΠΡΟΛΟΓΟΣ

Η παρούσα τεχνική έκθεση περιγράφει τον τρόπο διεξαγωγής και τα αποτελέσματα της γεωφυσικής διασκόπησης η οποία πραγματοποιήθηκε περιοχή θεμελίωσης του προτεινόμενου φράγματος Ιλαρίωνα στη περιοχή της Κοζάνης. Το έργο βρίσκεται περίπου 11 χιλιόμετρα Νότιο-Νοτιοδυτικά του χωριού Αιανή και βρίσκεται πλησίον της Μονής Ιλαρίωνος όπου εκβάλλει ο ποταμός Αλιάκμονας εντός της τεχνικής λίμνης αυτού.

Στόχος της παρούσας έρευνας είναι ο καθορισμός της γεωφυσικής δομής στην περιοχή του φράγματος με σκοπό τον προσδιορισμό των γεωλογικών και τεκτονικών χαρακτηριστικών της περιοχής θεμελίωσης του φράγματος. Ειδικότερα, η γεωφυσική δομή μελετήθηκε κάνοντας χρήση σεισμικών καταγραφών τόσο μέσα σε γεωτρήσεις όσο και επιφανειακές σεισμικές μετρήσεις διάθλασης τόσο των P όσο και των S κυμάτων. Με τον τρόπο αυτό εντοπίστηκαν διάφοροι γεωφυσικοί-γεωλογικοί σχηματισμοί οι οποίοι παρουσιάζουν διαφορετικές ταχύτητες και ελαστικές ιδιότητες.

Πρέπει να αναφερθεί ότι στη περιοχή κατασκευής του φράγματος έχουν προηγηθεί πληθώρα μελετών για τον προσδιορισμό των σεισμολογικών, γεωλογικών, υδρογεωλογικών και περιβαλλοντικών στοιχείων της περιοχής (Εμμανουηλίδης, 1986, Εμμανουηλίδης & Μηνόπετρος, 1993).



## 2. ΕΙΣΑΓΩΓΗ

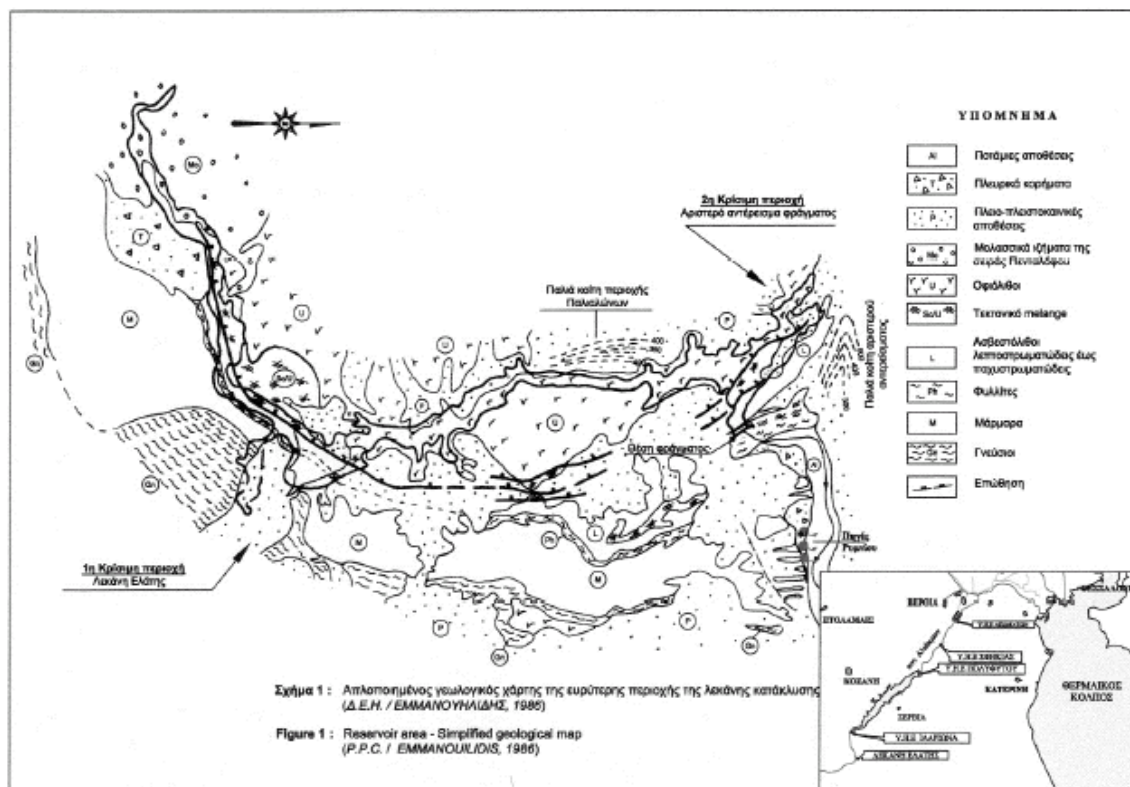
### 2.1 Γενικά Στοιχεία Περιοχής Έρευνας

Σκοπός της εργασίας αυτής είναι ο προσδιορισμός των ταχυτήτων των κυμάτων P και S, των αντίστοιχων ελαστικών ιδιοτήτων καθώς και των παχών των σχηματισμών του υπεδάφους στην ευρύτερη περιοχή του φράγματος Ιλαρίωνα Αλιάκμονα. Κύρια έμφαση δόθηκε στις ιδιότητες των βασικών γεωλογικών σχηματισμών πάνω στους οποίους θα θεμελιωθεί το σώμα του φράγματος. Για το σκοπό αυτό πραγματοποιήθηκαν μετρήσεις σεισμικής διάθλασης και στα δύο αντερείσματα, σχεδόν σε όλο το μήκος θεμελίωσης του φράγματος. Παράλληλα, πραγματοποιήθηκαν μετρήσεις μέσα σε γεωτρήσεις (crosshole, downhole) σε επιλεγμένες θέσεις οι οποίες ήταν αντιπροσωπευτικές για τους βασικούς γεωλογικούς σχηματισμούς της περιοχής θεμελίωσης.

Το Υ.Η. Έργο Ιλαρίωνα, με προβλεπόμενη ισχύ 2 x 90 MW, τοποθετείται επί του ποταμού Αλιάκμονα, ανάντη του λειτουργούντος Υ.Η. Έργου Πολυφύτου. Το φράγμα έχει σχεδιασθεί να γίνει λιθόρριπτο με κεντρικό αργιλικό πυρήνα και σώματα στήριξης από τα αμμοχάλικα του ποταμού, ύψος 116.00 μ. πάνω από το σημερινό υψόμετρο της κοίτης (294.00 μ.) και υψόμετρο στέψης στο 410.00 μ. Η ανωτάτη στάθμη λειτουργίας είναι το υψόμετρο 403.00 μ. Το σύνολο των βοηθητικών έργων, δηλαδή οι σήραγγες εκτροπής, υπερχειλιστή και προσαγωγής, τοποθετούνται στο βορειοδυτικό (αριστερό) αντέρεισμα. Η θέση του φράγματος και η λεκάνη κατάκλυσης ανήκουν γεωτεκτονικά στην Πελαγονική ζώνη. Στο ανάντη άκρο του ταμιευτήρα αναπτύσσονται τα μολασσικά ιζήματα της Μεσοελληνικής αύλακας. Η στρωματογραφική εικόνα της περιοχής συμπληρώνεται με τα ιζήματα του Νεογενούς και τις τεταρτογενείς αποθέσεις.

Ειδικότερα οι πετρογραφικές ενότητες που δομούν την ευρύτερη περιοχή της λεκάνης κατάκλυσης (Σχήμα 1, Εμμανουηλίδης, 1986) είναι: το κρυσταλλοσχιστώδες υπόβαθρο, τα Τριαδικά μάρμαρα, η ημιμεταμορφωμένη σειρά του Ιουρασικού, το τεκτονικό melange που αναπτύσσεται μεταξύ των ιζημάτων του Ιουρασικού και της οφιολιθικής μάζας του Βούρινου, οι οφιόλιθοι του Βούρινου, οι μολασσικοί σχηματισμοί, οι πλειο-πλειστοκαινικές αποθέσεις και οι τεταρτογενείς σχηματισμοί.





**Σχήμα 1.** Απλοποιημένος γεωλογικός χάρτης της ευρύτερης περιοχής της λεκάνης κατάκλυσης

Η θέση του φράγματος Ιλαρίωνα τοποθετείται στην ημιμεταμορφωμένη σειρά του Ιουρασικού η οποία δομείται από τον υποκείμενο φυλλίτη, την υπερκείμενη μάζα του κρυσταλλικού ασβεστολίθου και την ενδιάμεση μεταβατική ζώνη.

Ιδιαίτερο ενδιαφέρον για την στεγανότητα της λεκάνης κατάκλυσης παρουσιάζει το υδρογεωλογικό καθεστώς που διαμορφώνεται σε δύο θέσεις λόγω της παρουσίας των καρστικοποιημένων μαρμάρων (1<sup>η</sup> κρίσιμη περιοχή - Λεκάνη Ελάτης) και των καρστικοποιημένων κρυσταλλικών ασβεστολίθων (2<sup>η</sup> κρίσιμη περιοχή - Αριστερό αντέρεισμα φράγματος).

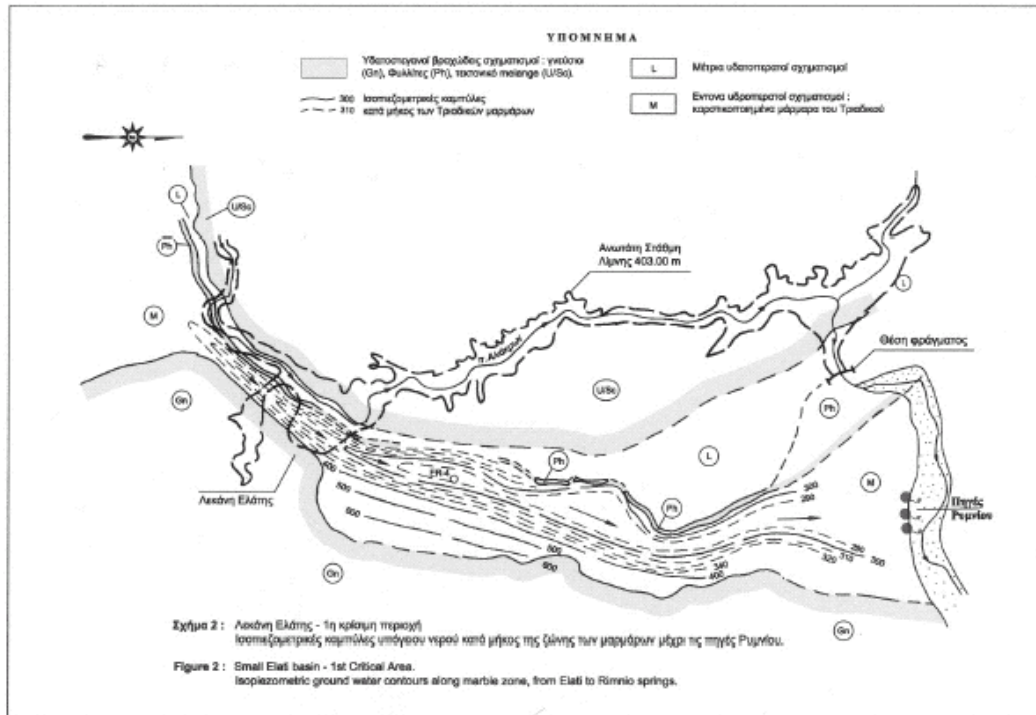
## 2.2 Υδρογεωλογικό Καθεστώς

### 2.3 Λεκάνη Ελάτης – 1<sup>η</sup> κρίσιμη περιοχή

Η πρώτη κρίσιμη για την στεγανότητα περιοχή, εντοπίζεται στο κεντρικό τμήμα του ταμιευτήρα και συγκεκριμένα στην περιοχή της λεκάνης Ελάτης. Η περιοχή αυτή δομείται από τους γενεσίους του κρυσταλλοσχιστώδους υποβάθρου, τα μάρμαρα του Τριαδικού, την ημιμεταμορφωμένη σειρά του Ιουρασικού η οποία αποτελείται από φυλλίτες και λεπτοπλακώδεις ασβεστόλιθους και τους σχηματισμούς του τεκτονικού melange. Οι βραχώδεις σχηματισμοί καλύπτονται από τις πλειοπλειστοκαινικές αποθέσεις ενώ στο πεδινό τμήμα της λεκάνης συναντώνται οι νεώτερες αποθέσεις.

Στην περιοχή αυτή αναμένεται η ανάπτυξη διαρροών από τον μελλοντικό

ταμειυτήρα προς τις πηγές Ρυμνίου. Η υδρογεωλογική σύνδεση επιτυγχάνεται μέσω της ζώνης των καρστικοποιημένων Τριαδικών μαρμάρων, η οποία αναπτύσσεται αρχικά κάθετα και στη συνέχεια παράλληλα προς τον άξονα του ταμειυτήρα και οριοθετείται πλευρικά από στεγανούς σχηματισμούς, τους στρωματογραφικά υποκείμενους γνευσίους και τους υπερκείμενους φυλλίτες (Σχήμα 2).



**Σχήμα 2.** Χάρτης ισοπιεζομετρικών καμπυλών λεκάνης Ελάτης.

Η ποσότητα των διαφυγών που είναι δυνατόν να αναπτυχθούν σύμφωνα με τις δικές μας εκτιμήσεις είναι της τάξης των  $4,23 \times 10^{-2} \text{ m}^3/\text{sec}$ , ενώ κατ'άλλους ερευνητές αυτές είναι της τάξης του  $0,3 \text{ m}^3/\text{sec}$  (S.N.C., 1972) είτε  $1,5-2,1 \text{ m}^3/\text{sec}$  (Stojic, Milanovic, Krapp, 1984).

### 2.3.1 Καρστικοποίηση των ανθρακικών σχηματισμών

Η ζώνη των μαρμάρων παρουσιάζει έντονη έως μέτρια και κατά θέσεις ελαφρά καρστικοποίηση. Κυριότερο καρστικό φαινόμενο που έχει εντοπιστεί στην περιοχή της λεκάνης Ελάτης είναι η δολίνη που έχει σχηματιστεί στο κεντρικό τμήμα της λεκάνης και κατά μήκος της ζώνης των μαρμάρων (Εμμανουηλίδης, 1986). Από την καταγραφή και την αξιολόγηση των στοιχείων που αφορούν την κατανομή των καρστικών φαινομένων στον χώρο, προκύπτουν τα παρακάτω στοιχεία:

- Παρατηρήθηκε εκλεκτική καρστικοποίηση σε επιφάνειες με γενική διεύθυνση B-N, BA-N., A- και B.-NA.
- Υπάρχει σημαντική αύξηση της συχνότητας ανάπτυξης και του εύρους των καρστικών μορφών προς τα ανατολικά δηλαδή προς την επαφή με

τον στρωματογραφικά υποκείμενο γενέσιο. Στην ζώνη αυτή το 70% των καρστικών φαινομένων με εύρος >10 cm καταγράφηκε σε επιφάνειες με γενική διεύθυνση ΒΑ-Ν. (παράλληλα προς τη γενική διεύθυνση των σχηματισμών) και σχεδόν Β-Ν. Αντίθετα στην επαφή με τον υπερκείμενο φυλλίτη παρατηρείται μία ομοιόμορφη κατανομή των φαινομένων αυτών στη διεύθυνση Β-Ν, ΒΑ-Ν. και Β.-ΝΑ.

- Κατά την κατακόρυφη διεύθυνση η κατανομή της καρστικοποίησης είναι λιγότερο σαφής. Ο MILANOVIC P. και άλλοι. (1984) αναφέρουν ότι η καρστικοποίηση φτάνει μέχρι το υψόμετρο 270.0 μ. Ο Εμμανουηλίδης (1986) αναφέρει ότι η καρστικοποίηση φθάνει μέχρι το υψόμετρο 188.0 μ. (με βάθος έρευνας μέχρι το υψόμετρο 175,00), χωρίς να καθορίζει επίπεδα καρστικοποίησης ή ζώνες όπου τα φαινόμενα αυτά είναι εντονότερα. Οι HOEK E, KRAPP L. και MILLIGAN V. (1993), τοποθετούν την καρστικοποίηση σε τρία κύρια επίπεδα, στο υψόμετρο 200.0, 290.0 και 370.0 μ., θεωρώντας ότι τα υψόμετρα αυτά αντιστοιχούν στο εκάστοτε επίπεδο εκφόρτισης των πηγών Ρυμνίου.

**Ο λεπτοπλακώδης ασβεστόλιθος** παρουσιάζει πολύ μικρή καρστικοποίηση η οποία περιορίζεται στη διεύρυνση των επιφανειών ασυνέχειας κατά 1-5 mm. Για την οριοθέτηση ζωνών με κοινά – κατά το δυνατόν – κριτήρια καθορίσαμε πέντε τάξεις καρστικοποίησης με βάση τον κερματισμό της βραχομάζας, την συχνότητα και το εύρος των καρστικών φαινομένων και την δευτερογενή πλήρωση αυτών (*Πίνακας 1*). Οι παρατηρήσεις για τα ανωτέρω έγιναν σε πυρήνες γεωτρήσεων και στις ερευνητικές στοές.

ΤΑΞΗ	ΚΕΡΜΑΤΙΣΜΟΣ	ΕΝΤΑΣΗ ΚΑΡΣΤΙΚΩΝ ΦΑΙΝΟΜΕΝΩΝ	ΠΛΗΡΩΣΗ
I πολύ ελαφρά	Ελαφρά τεμαχισμέ-νος βράχος (RQD) m >80%	Περιορισμένη καρστική διεύ-ρυνση των διακλάσεων με μεγάλη γωνία κλίσης (>60°). Το άνοιγμα των διευρύνσεων αυτών είναι της τάξης 1-2 mm, τοπικά έως 0,5 cm.	Οι διακλάσεις δεν παρασιάζουν στο μεγαλύτερο ποσοστό τους πλήρωση. Τοπικά παρατηρήθηκε επίστρωση δευτερογενούς ασβε- στίτη είτε ίχνη απόθεσης (ερυθρής) αργίλου.
II πολύ ελαφρά	Μέτρια τεμαχισμέ-νος βράχος 60%<(RQD)m <80%	Καρστική διεύρυνση των διακλάσεων με μεγάλη γωνία κλίσης (>60°). Το άνοιγμα των διευρύνσεων αυτών φθάνει τα 0,5 mm και τοπικά τα 1-2 cm.	Οι διακλάσεις παρασιάζουν στο μεγαλύτερο ποσοστό τους ίχνη (ερυθρής) αργίλου είτε επί- στρωση δευτερογενούς ασβεστί-τη.
III	Μέτρια	Οι διακλάσεις παρουσιάζουν	Μερική πλήρωση με

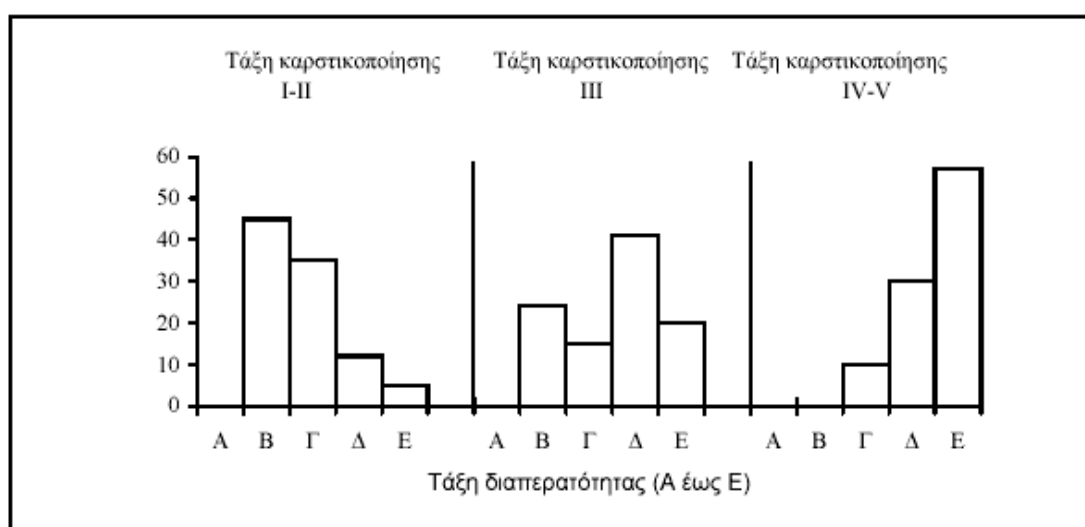
μέτρια	κερματισμένος βράχος. Συχνή ανάπτυξη διακλάσεων με κλίση $> 60^\circ$ $40\% < (RQD)_m < 60\%$ τοπικά $RQD < 10\%$	καρστική διεύρυνση, εύρους 1-2 cm. Τοπικά, στην περιοχή αλληλοτομής των ασυνεχειών σχηματίζονται έγκοιλα εύρους έως 5cm.	αργιλικά υλικά, (ερυθρού χρώματος). Τοπικά, παρατηρήθηκε σχηματισμός νέων κρυστάλλων ασβεστίτη, καθώς και φαινόμενα επαναδιάβρωσης.
IV Έντονη	Έντονα κερματισμένος βράχος από συχνή ανάπτυξη των ασυνεχειών όλων των συστημάτων $10\% < (RQD)_m < 40\%$ Τοπικά συναντώνται ζώνες με $RQD = 0\%$	Οι διακλάσεις παρουσιάζουν συχνά φαινόμενα καρστικής διεύρυνσης εύρους έως 5 cm με συνέχεια σε μήκος έως 5 m. Τοπικά, στην περιοχή αλληλοτομής των ασυνεχειών σχηματίζονται έγκοιλα εύρους έως 10 cm.	Μερική πλήρωση με αργιλικά έως αμμώδη υλικά (ερυθρού χρώματος) και μικρά γωνιώδη τεμάχια βράχου.
V πολύ έντονη	Κατακερματισμένος βράχος από πολύ πυκνή ανάπτυξη των ασυνεχειών. $(RQD)_m < 10\%$	Οι διακλάσεις παρουσιάζουν πολύ συχνά φαινόμενα καρστικής διεύρυνσης. Το μέσο εύρος των καρστικών αυτών είναι μεγαλύτερο των 5 cm και παρουσιάζουν συνέχεια σε μήκος $> 5$ m. Συχνά, στην περιοχή αλληλοτομής των ασυνεχειών παρατηρείται σχηματισμός καρστικών εγκοίλων διαμέτρου μεγαλύτερης των 10 cm. Τα φαινόμενα αυτά είναι συχνά έτσι ώστε να ομιλούμε για ζώνη έντονης καρστικοποίησης	Μερική πλήρωση με ιλο-αμμώδη υλικά (ερυθρού χρώματος) και γωνιώδη τεμάχια βράχου.

**Πίνακας 1 :** Κατάταξη των ανθρακικών πετρωμάτων σε πέντε τάξεις καρστικοποίησης με βάση τον κερματισμό της βραχομάζας, την ένταση των καρστικών φαινομένων και την πλήρωση των επιφανειών ασυνέχειας.  $(RQD)_m$  : μέση εκτιμώμενη τιμή RQD.

### 2.3.2 Διαπερατότητα των σχηματισμών

Ο προσδιορισμός της διαπερατότητας των σχηματισμών έγινε με τη μέθοδο Lugeon για τους βραχώδεις σχηματισμούς και τις μεθόδους Maag και Lefrank για τις, χαλαρής δομής, αποθέσεις της λεκάνης. Από την επεξεργασία και μελέτη των δεδομένων των δοκιμών αυτών προκύπτουν τα εξής:

- Ο γνεύσιος χαρακτηρίζεται από μικρή περατότητα ( $k < 10^{-7}$  m/sec). Από τα διαγράμματα P-Q συμπεραίνουμε μείωση των απορροφήσεων κατά τις κατιούσες βαθμίδες πίεσης (80%) ή γραμμική ελαστική συμπεριφορά της βραχομάζας (20%).
- Η διαπερατότητα του καρστικοποιημένου μαρμάρου κυμαίνεται από 10-2 έως 10-7 m/sec. Η διακύμανση της διαπερατότητας αναφορικά με τον βαθμό καρστικοποίησης δίνεται στα διαγράμματα του Σχήματος 3.



Σχήμα 3 : Ποσοστιαία κατανομή της διαπερατότητας που παρουσιάζουν τα μάρμαρα της λεκάνης Ελάτης με την τάξη καρστικοποίησης.

Επισημαίνεται ότι κατά την εισπίεση νερού σε βράχο με βαθμό καρστικοποίησης I-II παρατηρήθηκε αύξηση της απορρόφησης κατά τις ανιούσες βαθμίδες πίεσης δηλαδή απόπλυση των υλικών πλήρωσης. Αντίθετα στην βραχομάζα καρστικοποίησης III έως V παρατηρήθηκε (σε ποσοστό 55-75%) μείωση των απορροφήσεων κατά τις κατιούσες βαθμίδες πίεσης, γεγονός που συνδέεται με την συμπύκνωση των υλικών πλήρωσης κατά την διάρκεια της δοκιμής.

- Η διαπερατότητα του φυλλίτη είναι  $< 1,3 \times 10^{-7}$  m/sec. Από τα διαγράμματα P-Q συμπεραίνουμε μείωση των απορροφήσεων κατά τις κατιούσες βαθμίδες πίεσης (50%) είτε γραμμική ελαστική συμπεριφορά της βραχομάζας (30%). Στο υπόλοιπο 20% παρατηρήσαμε αύξηση των απορροφήσεων κατά τις κατιούσες βαθμίδες πίεσης γεγονός που συνδέεται με την παρουσία λεπτών στρώσεων ασβεστιτικού υλικού.
- Η διαπερατότητα του λεπτοπλακώδους ασβεστολίθου κυμαίνεται από  $1,7 \times 10^{-6}$  έως  $10^{-7}$  m/sec σε τμήματα όπου επικρατούν τα ασβεστολιθικά μέλη με αύξηση των απορροφήσεων κατά τις κατιούσες βαθμίδες πίεσης στο σύνολο των δοκιμών. Αντίθετα στα τμήματα όπου υπάρχουν συχνές ενδιαστρώσεις φυλλιτικού υλικού η διαπερατότητα είναι  $< 10^{-7}$  m/sec με

γραμμική ελαστική συμπεριφορά της βραχομάζας στο σύνολο των δοκιμών.

- Η διαπερατότητα των υλικών πλήρωσης της λεκάνης Ελάτης καλύπτει σημαντικό εύρος τιμών αντίστοιχο της κοκκομετρίας του υλικού. Έτσι ορίζοντες αδροκλαστικών υλικών παρουσιάζουν διαπερατότητα  $>10-2$  m/sec ενώ τα λεπτοκλαστικής δομής υλικά παρουσιάζουν διαπερατότητα  $<10-8$  m/sec.

### 2.3.3 Υπόγεια υδροδυναμική

Οι παράγοντες που ελέγχουν την πιεζομετρία κατά μήκος της ζώνης των μαρμάρων, από την λεκάνη Ελάτης μέχρι τις πηγές Ρυμνίου είναι:

- η αλληλοδιαδοχή διαπερατών και αδιαπερατών σχηματισμών, η οποία παρατηρείται τόσο στο βραχώδες υπόβαθρο (με τη λιθολογική ακολουθία των γνευσίων - μαρμάρων - φυλλιτών – λεπτοπλακωδών ασβεστολίθων), όσο και στο κάλυμμα των χαλαρών υλικών (με τη συνεχή εναλλαγή λεπτοκλαστικών και αδροκλαστικών υλικών).
- η μορφολογία του βραχώδους υποβάθρου και συγκεκριμένα η παρουσία της δολίνης στη βάση της λεκάνης και η καρστικοποίηση της ζώνης των μαρμάρων.
- τα σημερινά επίπεδα βάσης για την εκφόρτιση του υπόγειου νερού, που είναι ο ποταμός Αλιάκμονας και το βαθύτερο σημείο της δολίνας στη ζώνη των μαρμάρων.
- η ελεύθερη εκφόρτιση από τις πηγές Ρυμνίου.

Με βάση τις ενδείξεις των πιεζομέτρων των ερευνητικών γεωτρήσεων από την περιοχή της λεκάνης Ελάτης μέχρι τις πηγές Ρυμνίου, σχεδιάσαμε τον πιεζομετρικό χάρτη (σχήμα 2), όπου απεικονίζονται οι ισοπιεζομετρικές καμπύλες του υπόγειου νερού, από το οποίο προκύπτει η εκλεκτική συγκέντρωση του νερού στη ζώνη των μαρμάρων και αποστράγγιση της μάζας αυτής προς τις πηγές Ρυμνίου με πολύ μικρή υδραυλική κλίση. Αναλυτικά η υδραυλική κλίση είναι της τάξης του 1,6% από το φράγμα Ελάτης προς την λεκάνη Ελάτης, της τάξης του 0,8% από την λεκάνη Ελάτης μέχρι την γεώτρηση ER-4 και  $<1\%$  από την θέση αυτή μέχρι τις πηγές Ρυμνίου.

Για τον έλεγχο της υδραυλικής σύνδεσης λεκάνης Ελάτης - πηγών Ρυμνίου η ΔΕΗ πραγματοποίησε τρεις δοκιμές ιχνηθέτησης (1971, 1989, 1991) με ρίψη ροδαμίνης και ουρανίνης στην περιοχή της λεκάνης Ελάτης. Στις δύο πρώτες δεν έγινε ανίχνευση του ιχνηθέτη για διάστημα δειγματοληψίας 18 μηνών. Στην τελευταία ιχνηθέτηση, η οποία πραγματοποιήθηκε υπό την επίβλεψη του *Dr KAESS*, έγινε ανίχνευση του ιχνηθέτη 14 μήνες αργότερα σε δείγματα των πηγών Ρυμνίου. Ο *KAESS (1993)* αναφέρεται σε "σποραδικές" εμφανίσεις του ιχνηθέτη ενώ ο *MILANOVIC (1994)* επισημαίνει ότι η συγκέντρωση του ιχνηθέτη δεν ήταν η αναμενόμενη.

### 2.3.4 Πρόδρομος σχολιασμός επί των απαιτούμενων μέτρων στεγανοποίησης.

Οι μέχρι τώρα έρευνες έχουν πιστοποιήσει την υδραυλική επικοινωνία μεταξύ λεκάνης Ελάτης και πηγών Ρυμνίου μέσω της ζώνης των καρστικοποιημένων μαρμάρων, γεγονός που επιβεβαιώνει την επικινδυνότητα ανάπτυξης διαφυγών από τον μελλοντικό ταμιευτήρα. Για τον έλεγχο των διαφυγών αυτών η ΔΕΗ έχει διερευνήσει την δυνατότητα κατασκευής κουρτίνας τσιμεντενέσεων κάθετα στη ζώνη των μαρμάρων μέχρι τα όρια των δύο εκατέρωθεν στεγανών σχηματισμών (Εμμανουηλίδης, 1986). Για τον καθορισμό των τεχνικών χαρακτηριστικών της κουρτίνας, εκτελέστηκε πρόγραμμα δοκιμαστικών τσιμεντενέσεων. Επισημαίνεται ότι στόχος των στεγανοποιητικών μέτρων δεν είναι η κατασκευή ενός απόλυτα στεγανού διαφράγματος αλλά η ικανοποιητική μείωση των διαρροών. Για τον λόγο αυτό προτείνουμε την εκλεκτική στεγανοποίηση τμημάτων με μέτρια έως έντονη καρστικοποίηση (>III) και μέτρια έως υψηλή διαπερατότητα. Η κατασκευή της κουρτίνας μπορεί να γίνει μέσα από δύο ή τρεις επάλληλες σήραγγες. Τα τελικά χαρακτηριστικά της κουρτίνας τσιμεντενέσεων θα πρέπει να καθοριστούν μετά την διάνοιξη και την λεπτομερή χαρτογράφηση των σηράγγων, την εκτέλεση των πρωτεύουσών (ερευνητικών) γεωτρήσεων για τον έλεγχο της διαπερατότητας και την συσχέτιση των στοιχείων αυτών μεταξύ τους.

## 2.4 Αριστερό αντρείσμα φράγματος – 2η κρίσιμη περιοχή

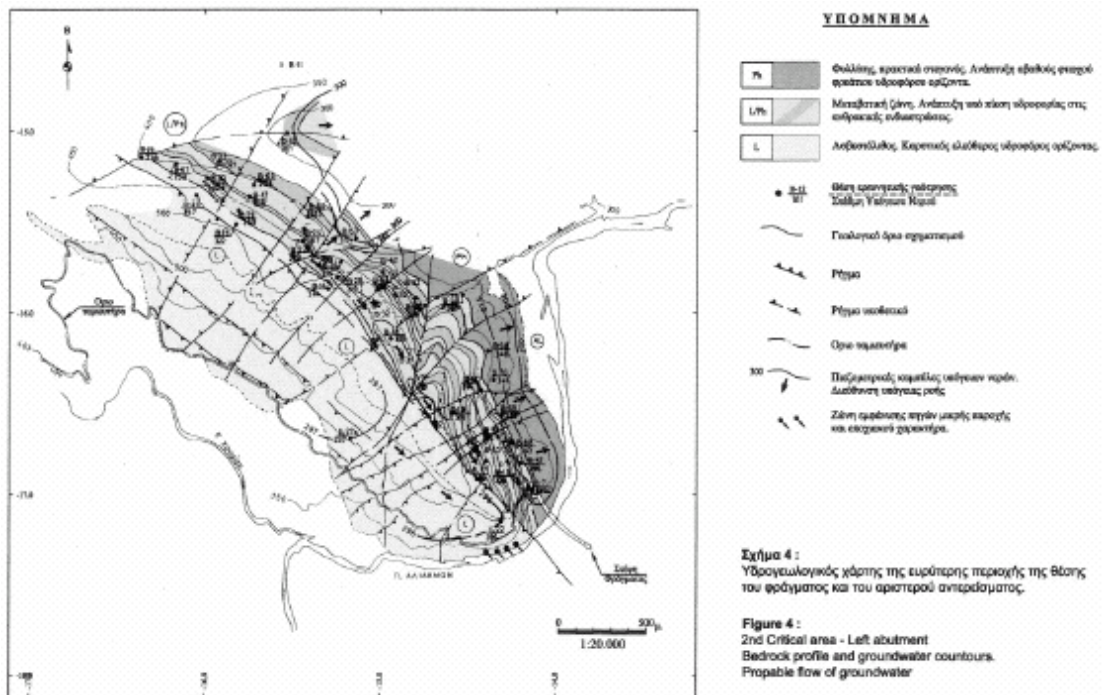
### 2.4.1 Γενική θεώρηση

Η δεύτερη κρίσιμη για την στεγανότητα περιοχή εντοπίζεται στο πλέον κατάντη άκρο του ταμιευτήρα και οριοθετείται από τη θέση του φράγματος έως το ρέμα Χρωμίου. Η περιοχή αυτή δομείται από τον φυλλίτη (ο παλαιότερος σχηματισμός της σειράς των τριαδικοϊουρασικών), τους σχηματισμούς της μεταβατικής ζώνης, τον κρυσταλλικό ασβεστόλιθο, τους οφιόλιθους και την ζώνη του τεκτονικού melange, τους πλειο-πλειστοκαινικούς σχηματισμούς και τους τεταρτογενείς σχηματισμούς. Οι πιθανοί δίοδοι διαφυγής νερού από τον ταμιευτήρα προς τα κατάντη απεικονίζονται στο σχήμα 4.

Ειδικότερα :

- στην περιοχή του δεξιού αντρείσματος η ακολουθία των σχηματισμών της μεταβατικής ζώνης και του υποκείμενου φυλλίτη, περιβάλλουν την καρστικοποιημένη ασβεστολιθική μάζα, εμποδίζοντας την κίνηση του νερού προς κατάντη, καθόσον το παλαιομορφολογικό ανάγλυφο των σχηματισμών αυτών – επί των οποίων επικάθονται οι πλειοπλειστοκαινικές αποθέσεις – βρίσκεται σε υψόμετρα μεγαλύτερα της Α.Σ.Α. (Εμμανουηλίδης, 1986).
- στην περιοχή του αριστερού αντρείσματος ο μελλοντικός ταμιευτήρας έρχεται σε επαφή με την μέτρια καρστικοποιημένη μάζα του κρυσταλλικού ασβεστόλιθου και τους καρστικοποιημένους ορίζοντες της μεταβατικής ζώνης με αποτέλεσμα την πιθανή ανάπτυξη διαφυγών μέσα από τις ζώνες αυτές και τα υλικά των πλειο-πλειστοκαινικών σχηματισμών. Στην περιοχή αυτή το παλαιομορφολογικό ανάγλυφο

αποτελεί ευνοϊκό παράγοντα για την ανάπτυξη διαφυγών καθόσον στο βόρειο άκρο του αντερείσματος έχει εντοπιστεί ένα παλιό βύθισμα ή παλιά κοίτη χαμηλότερα από την Α.Σ.Π. Επισημαίνουμε ότι νότια της θέσης αυτής και αμέσως δυτικά του άξονα φράγματος Παλιαλώνων έχει, επίσης εντοπιστεί, μία παλιά κοίτη (υψόμετρο παλαιοκοίτης 350.0 μ., με διεύθυνση ροής προς Β), η παρουσία της οποίας στη θέση αυτή δεν επηρεάζει την λειτουργία του ταμιευτήρα Ιλαρίωνα. (S.N.C. 1972, ΔΕΗ/Εμμανουηλίδης 1986).



**Σχήμα 4.** Υδρογεωλογικός χάρτης της ευρύτερης περιοχής της θέσης του φράγματος.

#### 2.4.2 Γεωλογική και Τεκτονική δομή

**Ο Φυλλίτης**, ο οποίος δομεί το βορειοανατολικό τμήμα της περιοχής έρευνας, έχει εύρος μεγαλύτερο από 800 m και αποτελεί τον κατώτερο ορίζοντα της σειράς. Στα πλαίσια των γεωλογικών εργασιών υπαίθρου και με βάση την "πυκνότητα" των επιφανειών σχιστότητας προχωρήσαμε στην κατάταξη των φυλλιτών σε τάξεις σχιστοποίησης ως ακολούθως :

**Τάξη σχιστοποίησης I :** Φυλλίτης γκρι σκούρου έως μελανού χρώματος. Αυξημένο ποσοστό γραφίτη και μαρμαρυγιών. Πυκνή ανάπτυξη επιφανειών σχιστότητας (3 cm).

**Τάξη σχιστοποίησης II :** Φυλλίτης γκρι χρώματος. Επικρατούν μαρμαρυγίες, χαλαζίας, ασβεστίτης. Μέτρια ανάπτυξη επιφανειών σχιστότητας : από 3 έως 10 cm (>10 επιφάνειες /μέτρο μήκους).

**Τάξη σχιστοποίησης III:** Φυλλίτης γκρι ανοικτού - πρασίνου χρώματος. Επικρατούν σερίκίτης, ασβεστίτης, χαλαζίας.



Αραιή ανάπτυξη επιφανειών σχιστότητας >10 cm (<10 επιφάνειες / μέτρο μήκους).

**Η Μεταβατική ζώνη δομεί** το κεντρικό τμήμα της περιοχής μελέτης και παρουσιάζει σημαντική εξάπλωση στην περιοχή του αριστερού αντερείσματος. Στην μεταβατική ζώνη συναντώνται όλες οι λιθολογικές φάσεις μεταξύ φυλλίτη και κρυσταλλικού ασβεστολίθου με αντίστοιχη διαφοροποίηση των φυσικών και μηχανικών χαρακτηριστικών των σχηματισμών. Έτσι, προχωρήσαμε στην μακροσκοπική ομαδοποίηση των διαφόρων λιθολογικών τύπων της μεταβατικής ζώνης ως ακολούθως :

- *Φυλλίτης με πολύ αραιές και λεπτές ενδιαστρώσεις ασβεστιτικού υλικού.* Παρουσιάζει πυκνή έως μέτρια ανάπτυξη των επιφανειών σχιστότητας. Τάξη σχιστοποίησης I και II.
- *Φυλλίτης με συχνές ασβεστιτικές ενδιαστρώσεις πάχους λίγων mm.* Παρουσιάζει αραιή ανάπτυξη των επιφανειών σχιστότητας (τάξη σχιστοποίησης III) και χαρακτηρίζεται ως ασβεστιτικός φυλλίτης.
- *Κρυσταλλικός ασβεστόλιθος με συχνές φυλλιτικές ενδιαστρώσεις πάχους λίγων mm.* Το πέτρωμα παρουσιάζει αραιή και τοπικά μέτρια ανάπτυξη των επιφανειών σχιστότητας. Οι ασβεστιτικές ενδιαστρώσεις παρουσιάζουν μικρή-μέτρια καρστική διάβρωση.
- *Κρυσταλλικός ασβεστόλιθος, παχυστρωματώδης, μέτρια έως έντονα καρστικοποιημένος.*

**Ο Κρυσταλλικός ασβεστόλιθος**, ο οποίος υπέρκειται της μεταβατικής ζώνης, δομεί το νοτιοδυτικό τμήμα της περιοχής του έργου, είναι παχυστρωματώδης, λεπτο- έως μεσοκρυσταλλικός, γκρι ανοικτού έως σκούρου χρώματος, και τοπικά μόνο λευκού ή μελανού ή ροδόχρου, μέτρια έως ελαφρά και τοπικά μόνο έντονα καρστικοποιημένος.

Η γενική διεύθυνση των σχηματισμών είναι NA-B. με κλίση προς N.. Η γωνία κλίσης των σχηματισμών κυμαίνεται από 25-45° και μόνο στην περιοχή μεγάλων ρηματογόνων δομών η κλίση γίνεται 60-80°.

Κύριο τεκτονικό γεγονός της περιοχής είναι η επώθηση των οφιολίθων επί της ζώνης των ιζημάτων του Ιουρασικού. Η επώθηση αυτή, η οποία εντοπίζεται στο ρέμα Χρωμίου, έχει γενική διεύθυνση B.-NA και κλίση 40° και συνοδεύεται από ζώνη τεκτονικού melange, πάχους 150.0 μ. τουλάχιστον. Στην ίδια περιοχή τοποθετείται η επώθηση των οφιολίθων επί των κροκαλοπαγών της βάσης των Νεογενών (FAUGERES L. & VERGELY P. 1974). Η ευρύτερη περιοχή διατέμενεται από ρήγματα με γενική διεύθυνση A-, B-N, B.-NA και BA-N.

#### 2.4.3 Διαπερατότητα των σχηματισμών

Η διαπερατότητα των βραχωδών σχηματισμών ελέγχθηκε με δοκιμές εισπίεσης νερού σε βράχου κατά Lugeon ενώ η διαπερατότητα των πλειοπλειστοκαινικών ιζημάτων ελέγχθηκε με δοκιμές Maag και Lefrank. Από την αξιολόγηση των στοιχείων αυτών προκύπτει ότι :

- ο φυλλίτης και οι φυλλιτικές ενδιαστρώσεις της μεταβατικής ζώνης χαρακτηρίζονται από πολύ μικρή διαπερατότητα ( $k < 10^{-6}$  m/sec). Από τη συσχέτιση των τιμών αυτών με τις τάξεις σχιστοποίησης, προκύπτει σχετική αύξηση της διαπερατότητας όσο μειώνεται η ανάπτυξη των επιφανειών σχιστότητας και αυξάνεται η συχνότητα των επιφανειών διάκλασης. Αντίστοιχη διαφοροποίηση παρατηρήσαμε και στις δύο κύριες φυλλιτικές ενότητες της μεταβατικής ζώνης η διαπερατότητα των οποίων κυμαίνεται από  $10^{-6}$  έως  $10^{-9}$  m/sec.
- η διαπερατότητα του κρυσταλλικού ασβεστολίθου και των αντίστοιχων οριζόντων της μεταβατικής ζώνης καλύπτει σημαντικό εύρος τιμών και κυμαίνεται από  $10^{-4}$  έως  $10^{-9}$  m/sec με σαφή επικράτηση υψηλών απορροφήσεων ( $>30$  Lugeon). Από την μορφή των διαγραμμάτων P-Q συμπεραίνουμε ότι στην περιοχή του αριστερού αντερείσματος, ανεξάρτητα από την καρστικοποίηση της βραχομάζας και τον βαθμό πλήρωσης των καρστικών, σημειώθηκαν μεγαλύτερες απορροφήσεις στις κατιούσες βαθμίδες πίεσης, γεγονός που υποδηλώνει γρήγορη απόπλυση των υλικών πλήρωσης. Αντίθετα στην περιοχή του δεξιού αντερείσματος, όπου τα φαινόμενα καρστικοποίησης είναι λιγότερο έντονα παρατηρήσαμε μείωση των απορροφήσεων στις κατιούσες βαθμίδες πίεσης, κατά πλειοψηφία. Στους οριζόντες της μεταβατικής ζώνης, η σχέση διαπερατότητας-καρστικοποίησης είναι περισσότερο σαφής. Στα τμήματα καρστικοποίησης I-II, η διαπερατότητα είναι της τάξης του  $10^{-7}$  m/sec ενώ αυτή αυξάνει κατά μία δύναμη ( $10^{-6}$  m/sec) όταν η καρστικοποίηση αυξάνει κατά μία τάξη (III).
- Η διαπερατότητα των πλειο-πλειστοκαινικών σχηματισμών που καλύπτουν την ευρύτερη περιοχή του αριστερού αντερείσματος είναι γενικά μικρή και κυμαίνεται από  $10^{-6}$  έως  $5 \times 10^{-9}$  m/sec. Επειδή οι τιμές αυτές προέρχονται από πολύ μικρό αριθμό δοκιμών, δε θεωρούμε ότι είναι αντιπροσωπευτικές της μάζας των πλειο-πλειστοκαινικών ιζημάτων. Το γεγονός ότι, το μεγαλύτερο μήκος διάτρησης στα πλειο-πλειστοκαινικά ιζήματα έγινε χωρίς απόληψη δείγματος, δεν μας επιτρέπει να προχωρήσουμε σε μία, κατά προσέγγιση εκτίμηση, των χαρακτηριστικών της μάζας όπως το ποσοστό του αδροκλαστικού και του λεπτοκλαστικού κλάσματος και κατά συνέπεια το ποσοστό του ημιπερατού και αδιαπέρατου υλικού, την παρουσία ζωνών τεκτονισμού με ή χωρίς ζώνη κερματισμού, όπου θα πρέπει να θεωρείται δυνατή η ανάπτυξη υψηλών τιμών διαπερατότητας.

#### 2.4.4 Παλαιομορφολογικό ανάγλυφο

Η ευρύτερη περιοχή του αριστερού αντερείσματος διερευνήθηκε με σειρά ερευνητικών γεωτρήσεων από τα αποτελέσματα των οποίων σχεδιάστηκε ο υπεδαφικός χάρτης του βραχώδους υποβάθρου.

Κύριο παλαιομορφολογικό χαρακτηριστικό στο τμήμα αυτό είναι ένα μεγάλο βύθισμα, πιθανότατα μία παλιά κοίτη, που έχει εντοπιστεί στο Βόρειο άκρο του αντερείσματος. Η βαθιά γραμμή της κοίτης, η οποία διέρχεται από τον άξονα των γεωτρήσεων B-26 και B-12, έχει γενική διεύθυνση σχεδόν A-κα και

ταυτίζεται με μία από τις κύριες ομάδες τεκτονικών δομών που αναπτύσσονται στην περιοχή. Το βαθύτερο σημείο εντοπίζεται στην περιοχή της γεώτρησης B-12 και βρίσκεται στο υψόμετρο 281 m., είναι δηλαδή ~5.00 μ. χαμηλότερα από το σημερινό υψόμετρο της κοίτης του Αλιάκμονα.

Η βραχομάζα διατέμενεται από ρήγματα με γενική διεύθυνση BA-N. και διεύθυνση βύθισης προς Β. είτε προς ΝΑ. Ρήγματα κλιμακωτής δομής, με διεύθυνση παράλληλη προς τη γενική διεύθυνση των σχηματισμών και ρήγματα με διεύθυνση Α-κα συμπληρώνουν την τεκτονική δομή του βραχώδους υποβάθρου.

#### 2.4.5 Υπόγεια υδροδυναμική

Στο σχήμα 4 απεικονίζουμε τις ισοπιεζομετρικές καμπύλες και την διεύθυνση κίνησης του υπόγειου νερού, σύμφωνα με τις ενδείξεις των πιεζομέτρων, από το οποίο προκύπτει ότι :

- μέσα στην ενότητα του κρυσταλλικού ασβεστολίθου η στάθμη του υπόγειου νερού είναι πολύ χαμηλή με διεύθυνση κίνησης προς τον Αλιάκμονα. (υδραυλική κλίση 1.5%) Η παρουσία μικρών εποχιακών πηγών στην κοίτη πιστοποιεί την κίνηση αυτή (Εμμανουηλίδης, 1986).
- στη μεταβατική ζώνη παρατηρείται μία σημαντική διαφοροποίηση με την παρουσία δύο διόδων εκφόρτωσης του υδάτινου δυναμικού. Η μία σχηματίζεται στο ΝΑ τμήμα και έχει διεύθυνση ροής προς τον Αλιάκμονα με υδραυλική κλίση της τάξης του 0,5% και η άλλη σχηματίζεται στο Β. τμήμα με διεύθυνση κίνησης προς το παλαιό βύθισμα που έχει εντοπιστεί. Επισημαίνουμε ότι στην μεταβατική ζώνη επικρατεί μία αρκετά πολύπλοκη πιεζομετρική εικόνα, η οποία ελέγχεται από τις συνεχείς εναλλαγές στεγανών και μη στεγανών σχηματισμών. Η έντονη αυτή ανισοτροπία δεν μας επέτρεψε να προσδιορίσουμε με ακρίβεια τη διεύθυνση κίνησης του υπόγειου νερού σε όλη την μεταβατική ζώνη, παρά μόνο στους ανώτερους ορίζοντες, όπου αυξάνει σημαντικά το ποσοστό συμμετοχής των οριζόντων του καρστικοποιημένου κρυσταλλικού ασβεστολίθου.
- στη ζώνη του φυλλίτη, ο πιεζομετρικός ορίζοντας είναι αρκετά ψηλότερα, με διεύθυνση ροής προς τον ποταμό Αλιάκμονα και μέση υδραυλική κλίση περίπου 18%.

#### 2.4.6 Πρόδρομος σχολιασμός επί των απαιτούμενων μέτρων στεγανοποίησης

Η ιδιαίτερα πολύπλοκη γεωλογική, τεκτονική και υδρογεωλογική δομή της ευρύτερης περιοχής του αριστερού αντερείσματος δεν επέτρεψε την σύνταξη ενός αντιπροσωπευτικού μοντέλου για τον έλεγχο της πιθανότητας ανάπτυξης διαφυγών μέσα από το παλαιοανάγλυφο που έχει εντοπιστεί. Στοιχεία που συνηγορούν υπέρ της άποψης ότι θα υπάρξουν διαρροές :

- η έντονη καρστικοποίηση, η υψηλή διαπερατότητα και η χαμηλή στάθμη των καρστικοποιημένων κρυσταλλικών ασβεστολίθων και των ασβεστιτικών οριζόντων της μεταβατικής ζώνης.

- η παρουσία του παλαιού βυθίσματος στο B-B τμήμα μέχρι το υψόμετρο 281 m δηλαδή 3.00-5.00 m χαμηλότερα από το υψόμετρο της σημερινής κοίτης του Αλιάκμονα πληρωμένου με κοκκώδεις αποθέσεις.
- οι τεκτονικές δομές οι οποίες αναπτύσσονται κάθετα προς τη γενική διεύθυνση των σχηματισμών.
- η εκτιμώμενη μακροσκοπικά μέση έως υψηλή διαπερατότητα των κροκαλοπαγών της βάσης των πλειο-πλειστοκαινικών ιζημάτων τα οποία καλύπτουν την περιοχή του ρέματος Χρωμίου και βρίσκονται σε άμεση επαφή με τον ταμιευτήρα.

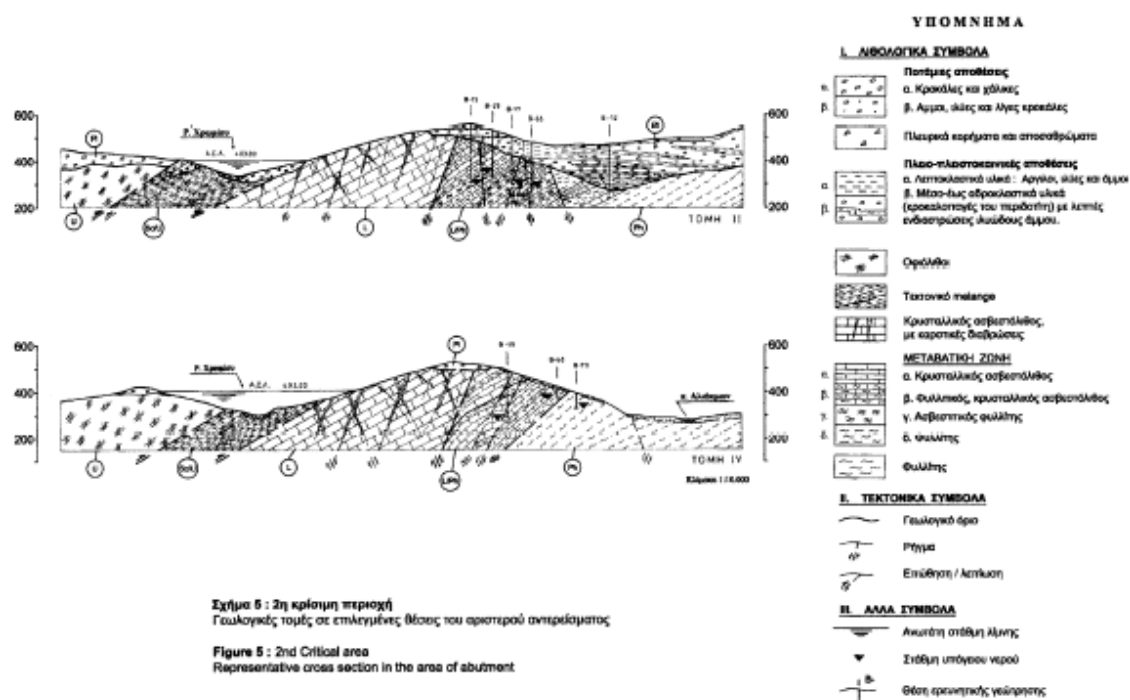
Στον αντίποδα των παραπάνω παρατηρήσεων είναι :

- η ευνοϊκή διάταξη της στρωμάτωσης των σχηματισμών
- οι στεγανοί φυλλιτικοί ορίζοντες της μεταβατικής ζώνης και η υποκείμενη, επίσης στεγανή, φυλλιτική μάζα με την προϋπόθεση ότι φθάνουν σε υψόμετρο μεγαλύτερο της Α.Σ.Λ.
- η εκτιμώμενη μικρή διαπερατότητα των πλειοπλειστοκαινικών σχηματισμών που πληρεί την περιοχή του αριστερού αντερείσματος όπως φαίνεται από τα διαγράμματα διακύμανσης του νερού κατά την διάτρηση.

Στοιχεία τα οποία έχουν καθοριστικό ρόλο στην διαμόρφωση των συνθηκών στεγανότητας αλλά δεν έχουν προσδιοριστεί με απόλυτη σαφήνεια είναι η δομή, η διαπερατότητα και η στάθμη του υπόγειου νερού μέσα στα πλειοπλειστοκαινικά ιζήματα που καλύπτουν την ευρύτερη περιοχή του αριστερού αντερείσματος.

Από την συναξιολόγηση όλων αυτών των στοιχείων συμπεραίνουμε ότι :

- από την θέση του φράγματος μέχρι την περιοχή της γεώτρησης B-59 δεν απαιτείται η λήψη μέτρων στεγανοποίησης επειδή η φυλλιτική βραχομάζα φθάνει μέχρι το υψόμετρο 396 έως 412 m και αποτελεί ένα φυσικό στεγανό διάφραγμα. (Σχήμα 5, Τομή II).
- από τη θέση του φράγματος μέχρι την περιοχή της γεώτρησης B-12 (περιοχή παλαιού βυθίσματος) απαιτείται η διερεύνηση της κοκκομετρικής διαβάθμισης, της διαπερατότητας και της στάθμης του υπόγειου νερού των πλειοπλειστοκαινικών ιζημάτων. Η ανάγκη κατασκευής κουρτίνας τσιμεντενέσεων θα αποφασιστεί από την αξιολόγηση των ερευνητικών αυτών εργασιών. (Σχήμα 5, Τομή I).

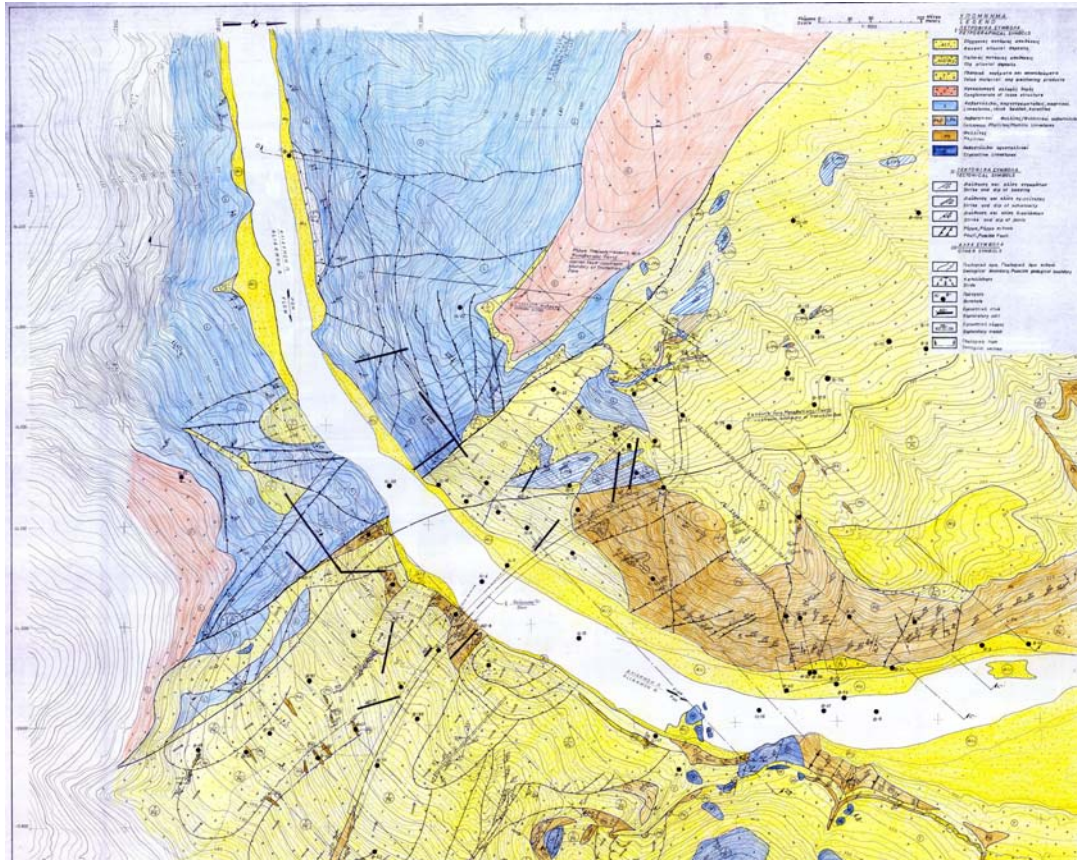


**Σχήμα 5.** Γεωλογικές τομές σε επιλεγμένες θέσεις του αριστερού αντερείσματος της 2<sup>ης</sup> κρίσιμης περιοχής.

## 2.5 Γεωλογικά – Γεωτεχνικά δεδομένα της περιοχής έργου

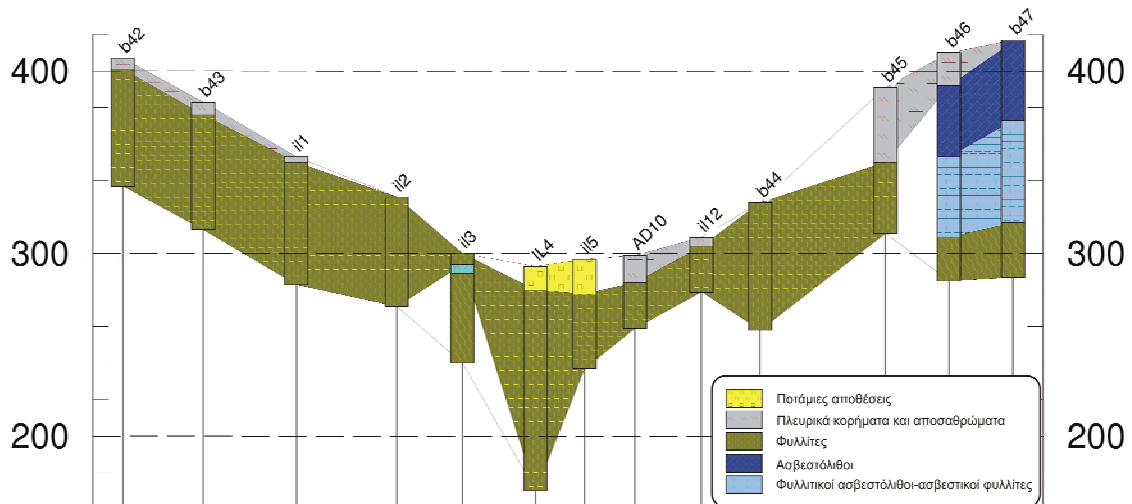
Γεωλογικά, η περιοχή ανήκει στη γεωτεκτονική ζώνη της Πελαγονικής. Η ευρύτερη περιοχή δομείται από μεταμορφωμένα (φυλλίτες - σχιστολιθικά) πετρώματα με σημαντική παρουσία κρυσταλλικών ασβεστόλιθων, τα οποία επιφανειακά καλύπτονται συχνά από επιφανειακά. αποσαθρώματα και πλευρικά κορήματα αυτών (κυρίως των φυλλιτών). Κατά μήκος της κοίτης του Αλιάκμονα έχουμε σημαντική παρουσία από αλλούβια αδρόκοκκα υλικά (ποτάμιες αποθέσεις).

Το αντικείμενο διερεύνησης, της παρούσας μελέτης είναι οι εδαφικές συνθήκες και οι αντίστοιχες γεωφυσικές ιδιότητες των γεωλογικών σχηματισμών στην ευρύτερη περιοχή του φράγματος. Στο σχήμα 1 παρουσιάζεται ο συνοπτικός γεωλογικός χάρτης της περιοχής, όπου διακρίνονται οι δύο βασικοί σχηματισμοί του υποβάθρου και συγκεκριμένα οι καρστικοί-παχυστρωματώδεις ασβεστόλιθοι (ανοικτό μπλε χρώμα) και οι σειρά των φυλλιτών (καφέ χρώμα) καθώς και η μεγάλη επώθηση των ασβεστόλιθων (ρήγμα Ιλαρίωνα) πάνω στους φυλλίτες. Διακρίνεται επίσης η ζώνη μετάβασης μεταξύ ασβεστόλιθων και φυλλιτών, η οποία και έχει σφηνοειδή μορφή με μεγαλύτερη έκταση (πλάτος) στο αριστερό αντέρεισμα. Η περιοχή μελέτης και στέψης του φράγματος βρίσκεται κυρίως σε αυτή τη μεταβατική ζώνη στην οποία παρουσιάζονται κυρίως ασβεστόλιθοι αλλά και φυλλίτες.



**Σχήμα 6.** Συνοπτικός γεωλογικός χάρτης της περιοχής μελέτης (απόσπασμα προκαταρκτικού γεωλογικού χάρτη από διδακτορική διατριβή Σ. Φώτη).

Στο σχήμα 6 παρουσιάζεται μία ενδεικτική γεωλογική τομή κατά μήκος του άξονα του φράγματος από το δεξί προς το αριστερό αντέρεισμα, όπως αυτή προκύπτει από τα στοιχεία των διαθέσιμων γεωτρήσεων (τομή από γεώτρηση b42 μέχρι τη γεώτρηση b47).



**Σχήμα 7.** Σχηματική γεωλογική τομή παράλληλα με τον άξονα του φράγματος με βάση τα στοιχεία των γεωτρήσεων στην περιοχή θεμελίωσης

Διακρίνεται η κυριαρχία των φυλλιτών ως υποβάθρου, με επιφανειακή παρουσία αποσαθρωμάτων-κορημάτων στα ανώτερα στρώματα (φαίνονται με γκρι χρώμα). Στο κέντρο της τομής (ποτάμι) τη θέση των κορημάτων παίρνουν οι ποτάμιες αποθέσεις. Γενικά το πάχος τόσο των κορημάτων, όσο και των ποτάμιων αποθέσεων είναι σχετικά μικρό (~5-10 μέτρα) και δεν ξεπερνάει τα 20 μέτρα παρά μόνο σε λίγα σημεία στη μεταβατική ζώνη. Στο δεξιό τμήμα της τομής έχουμε την εμφάνιση πλευρικής ασυνέχειας με τη διακοπή των φυλλιτών και την παρουσία ασβεστόλιθων λόγω του ότι η τομή εισέρχεται στη μεταβατική ζώνη, όπου κυριαρχούν, τουλάχιστον επιφανειακά, οι παχυστρωματώδεις ασβεστόλιθοι. Γενικά στρωματογραφία και αναμενόμενη γεωφυσική δομή των σχηματισμών είναι σχετικά απλή, με ένα επιφανειακό σχηματισμό με αναμενόμενες μικρές τιμές ταχύτητας (αλλούβια, κορήματα) και ένα υπόβαθρο με υψηλές τιμές, σχετικά ομογενές (κυρίως οι ασβεστόλιθοι) ή με κάποια στρωμάτωση π.χ. μανδύα αποσάθρωσης (κυρίως οι φυλλίτες).

Μία εποπτική εικόνα το αριστερού αντερείσματος του φράγματος, όπου φαίνεται καθαρά ο η μετάβαση από τους ασβεστόλιθους προς τους φυλλίτες και ο καθρέπτης του ρήγματος Ιλαρίωνα παρουσιάζεται στο σχήμα 7.



**Σχήμα 8.** Εποπτική φωτογραφία αριστερού αντερείσματος περιοχής θεμελίωσης φράγματος Ιλαρίωνα. Στο αριστερό μέρος φαίνονται οι παχυστρωματώδεις καρστικοί ασβεστόλιθοι και οι επαφή με τη μεταβατική ζώνη με το ρήγμα του Ιλαρίωνα.

### 3. ΓΕΩΦΥΣΙΚΕΣ ΔΙΑΣΚΟΠΗΣΕΙΣ

#### 3.1 Εισαγωγή

Η γεωφυσική ως επιστήμη χρησιμοποιείται για τη μέτρηση των φυσικών ιδιοτήτων του υπεδάφους χωρίς την απαραίτητη εκτέλεση γεωτρήσεων. Η ανάπτυξη και χρηματοδότηση αυτής της έρευνας ξεκίνησε από τις εταιρίες πετρελαίων και εκμετάλλευσης μεταλλείων.

Η εφαρμογή των γνωστών γεωφυσικών μεθόδων και η ανάπτυξη και η εξέλιξη νέων γεωφυσικών τεχνολογιών οδήγησε στη δυνατότητα λήψης όλων των διαθέσιμων πληροφοριών που αφορούν το υπέδαφος χωρίς την απαραίτητη διάτρηση αυτού λόγω του αυξημένου κόστους.

Οι γεωφυσικές διασκοπήσεις εκτελούνται τόσο στην επιφάνεια του εδάφους, μέσα σε γεωτρήσεις, σε θέσεις μεταλλείων και εντός στοών όσο και εναέρια εξαρτώμενες πάντα της κλίμακας του προβλήματος που ζητείται να λυθεί. Στην περίπτωση κατά την οποία το ζητούμενο είναι ο εντοπισμός υπόγειων υδατικών πόρων και η μόλυνση (contamination) υπόγειων υδροφορών, εκτελούνται μετρήσεις στην επιφάνεια και μέσα σε γεωτρήσεις.

Για την επιτυχής εκτέλεση των γεωφυσικών μετρήσεων και την επίλυση του προβλήματος, απαιτείται η πλευρική και κατακόρυφη διαφοροποίηση των σχηματισμών ως προς τις φυσικές του ιδιότητες. Εντοπισμός μιας ασυνέχειας – διαφοροποίησης στις φυσικές ιδιότητες κατά την διάρκεια των μετρήσεων, συνεπάγεται με τον εντοπισμό διαφορετικών γεωλογικών σχηματισμών ή τεκτονικών ασυνεχειών. Φυσικά το παραπάνω δεν ισχύει σε όλες τις περιπτώσεις, δεδομένου ότι διαφορετικοί γεωλογικοί σχηματισμοί μπορούν και έχουν παρόμοιες έως ίδιες φυσικές ιδιότητες.

Οι επιφανειακές μέθοδοι γεωφυσικών διασκοπήσεων συνήθως οδηγούν στη γενικότερη γνώση των φυσικών ιδιοτήτων του υπεδάφους. Για την λεπτομερέστερη μελέτη των ιδιοτήτων του υπεδάφους απαιτείται η εκτέλεση των μετρήσεων μέσα στις γεωτρήσεις ή ακόμα και σε δείγματα τα οποία ελήφθησαν από πυρήνες γεωτρήσεων.

#### 3.2 Φυσικές ιδιότητες

Οι γεωφυσικές μέθοδοι κάνουν χρήση διαφόρων φυσικών ιδιοτήτων που σχετίζονται με εδάφη και πετρώματα. Οι κύριες φυσικές ιδιότητες και οι μέθοδοι που σχετίζονται με αυτές παρουσιάζονται στο Πίνακα 2.

**Πίνακας 2.**

Φυσικές Ιδιότητες	Γεωφυσικές Μέθοδοι
Ηλεκτρική αγωγιμότητα	Αντίστασης / Αγωγιμότητας
Ηλεκτρομαγνητισμός	Αντίστασης / Αγωγιμότητας
Ταχύτητα σεισμικών κυμάτων	Σεισμικές
Πυκνότητα	Βαρυτικές
Μαγνητισμός	Μαγνητικές
Ραδιενεργά στοιχεία	Ραδιομετρικές



Διηλεκτρική σταθερά

Υπεδάφιο ραντάρ

### 3.3 Γεωφυσικές Διασκοπήσεις

Όλες οι γεωφυσικές διασκοπήσεις περιλαμβάνουν 3 βασικά στάδια,

1. σχεδίαση έργου, εκτέλεση αναγνωριστικών μετρήσεων και οικονομοτεχνική μελέτη,
2. εκτέλεση των μετρήσεων και συλλογή των δεδομένων και
3. επεξεργασία και ερμηνεία των δεδομένων.

Το πρώτο από τα στάδια της μελέτης είναι ίσως και το πιο σημαντικό δεδομένου ότι η επιλογή τόσο της μεθοδολογίας και των παραμέτρων αυτής όσο και των οργάνων εφαρμογής της μεθόδου, παίζουν καθοριστικό ρόλο στην επιτυχής ολοκλήρωση μιας έρευνας. Καλή εκτέλεση των μετρήσεων υπαίθρου οδηγούν και στην ευκολότερη επεξεργασία και ερμηνεία των δεδομένων.

Μέλημα ενός καλού επιστήμονα είναι η σωστή σχεδίαση του έργου όσο και η επιλογή των κατάλληλων (πέραν της μίας) γεωφυσικών μεθόδων διασκόπησης. Το τελικό μοντέλο των γεωφυσικών ιδιοτήτων μιας περιοχής έρευνας, πρέπει να είναι αποτέλεσμα της ερμηνείας και συναξιολόγησης των δεδομένων όλων των εφαρμοζόμενων στην περιοχή μεθοδολογιών και των διαθέσιμων στοιχείων από προϋπάρχουσες εργασίες.

#### 3.3.1 Ηλεκτρικές Μέθοδοι Διασκόπησης

Οι ηλεκτρικές ιδιότητες των περισσότερων πετρωμάτων του ανώτερου φλοιού, εξαρτώνται από την περιεκτικότητα αυτών σε νερό, από την αλατότητα ή μη του περιεχόμενου νερού και από την κατανομή του νερού στα πετρώματα. Τα κορεσμένα πετρώματα παρουσιάζουν πολύ μικρότερες αντιστάσεις από αυτές των ακόρεστων ή ξηρών πετρωμάτων. Όσο υψηλότερο είναι το πορώδες και η αλατότητα των κορεσμένων πετρωμάτων τόσο χαμηλότερες είναι οι αντιστάσεις αυτών. Η παρουσία της αργίλου και άλλων αγώγιμων υλικών μειώνει την αντίσταση των πετρωμάτων.

Κατά την εφαρμογή των ηλεκτρικών μεθόδων δύο είναι οι ιδιότητες που μελετώνται, α) η ηλεκτρική αγωγιμότητα των πετρωμάτων και β) η πόλωση που δημιουργείται με τη διέλευση ηλεκτρικού ρεύματος από αυτά ( επαγόμενη πολικότητα ).

Η μέτρηση της ηλεκτρικής αγωγιμότητας ενός πετρώματος πραγματοποιείται είτε με την εισαγωγή σε αυτό ηλεκτρικού ρεύματος και τη μέτρηση της κατανομής της διαφοράς δυναμικού στο υπέδαφος, είτε με τη μελέτη του ηλεκτρομαγνητικού πεδίου όπως αυτό παράγεται από τη διέλευση εναλλασσόμενου ρεύματος από τη Γη.

Υπάρχουν μέθοδοι ηλεκτρικής διασκόπησης οι οποίες κάνουν χρήση φυσικών πηγών ενέργειας και βρίσκουν μεγάλη εφαρμογή στη γεωλογία. Οι κυριότερες από αυτές είναι :

- ✓ η μέθοδος των τελλουρικών ρευμάτων
- ✓ η μαγνητοτελλουρική μέθοδος
- ✓ η μέθοδος του φυσικού δυναμικού

### 3.3.2 Ηλεκτρομαγνητικές Μέθοδοι

Μεταβαλλόμενο ρεύμα διέρχεται από πηνίο που βρίσκεται πάνω στο έδαφος και αυτό επάγει ηλεκτρικά ρεύματα στους υπεδάφειους αγωγούς. Το παραγόμενο μαγνητικό πεδίο ανιχνεύεται και καταγράφεται από το πηνίο δέκτης. Μεταβολή στις συχνότητες του αρχικού παλμού δίνει τη δυνατότητα έρευνας σε μεγαλύτερα βάθη.

Οι μαγνητοτελλουρικές μέθοδοι καταγράφουν το φυσικό ηλεκτρομαγνητικό πεδίο χαμηλών συχνοτήτων.

Η μέθοδος χαμηλών συχνοτήτων (Very Low Frequency) κάνει χρήση διαφόρων στρατιωτικών αναμεταδοτών που εκπέμπουν στις χαμηλές συχνότητες. Η μέθοδος στηρίζεται στη καταγραφή του δευτερογενούς ηλεκτρομαγνητικού πεδίου που επάγεται λόγω της διέγερση των υπεδάφειων αγωγίμων ζωνών με τη διέλευση του πρωτογενούς ηλεκτρομαγνητικού κύματος από την επιφάνεια του εδάφους μέχρι και σε βαθύτερους ορίζοντες. Τα δευτερογενή παραγόμενα κύματα έχουν την ίδια συχνότητα με τα αρχικά κύματα αλλά οι άλλες ιδιότητές τους ( διεύθυνση, πλάτος και φάση ) είναι διαφορετικές καθώς αυτές εξαρτώνται από τη γεωηλεκτρική δομή των επιφανειακών στρωμάτων.

Περιορισμός στην εφαρμογή των ηλεκτρομαγνητικών μεθόδων για την ανίχνευση αγωγίμων ζωνών είναι η παρουσία υψηλά αγωγίμων επιφανειακών στρωμάτων.

### 3.3.3 Σεισμικές Μέθοδοι Διασκόπησης

Με τις μεθόδους σεισμικής διασκόπησης επιδιώκεται ο καθορισμός των μεταβολών των ταχυτήτων διάδοσης των ελαστικών κυμάτων στα επιφανειακά στρώματα της Γης. Οι σεισμικές μέθοδοι βασίζονται στη δημιουργία ελαστικών κυμάτων με τη χρήση διαφόρων πηγών ( μηχανικές κρούσεις ή εκρηκτικές ύλες ) και στην ακριβή μέτρηση του χρόνου άφιξης στη θέση του γεωφώνου. Οι κύριες μέθοδοι σεισμικής διασκόπησης διακρίνονται επίσης σε α) σεισμική διάθλαση, β) σεισμική ανάκλαση και γ) στη σεισμική διασκόπηση μεταξύ γεωτρήσεων.

Σαν μεθοδολογία εφαρμόζεται συνήθως στα πρώτα στάδια μιας μελέτης και σε συνδυασμό με άλλες μεθόδους. Προϋπόθεση εφαρμογής της μεθόδου είναι, η ταχύτητα διάδοσης των κυμάτων στα υποκείμενα στρώματα να είναι πάντοτε μεγαλύτερη από την αντίστοιχη ταχύτητα στα υπερκείμενα.

### 3.3.4 Βαρυτικές Μέθοδοι Διασκόπησης

Κατά τις βαρυτομετρικές μεθόδους διασκόπησης μετρώνται οι οριζόντιες μεταβολές της πυκνότητας των επιφανειακών στρωμάτων του φλοιού της Γης, μετρώντας τη μεταβολή της έντασης του πεδίου βαρύτητας και των χωρικών παραγώγων αυτής.

Οι οριζόντιες ανωμαλίες της πυκνότητας που προκαλούν αντίστοιχες ανωμαλίες στο πεδίο βαρύτητας, οφείλονται σε γεωτεκτονικά αίτια ή μικρές γεωλογικές δομές. Οι βαρυτικές ανωμαλίες που οφείλονται σε τέτοιες δομές είναι μικρότερες του ενός δισεκατομμυριοστού του βαρυτικού πεδίου της Γης, αλλά η

απευθείας μέτρηση των ανωμαλιών με υψηλής ακρίβειας όργανα κάνουν δυνατή την εφαρμογή της μεθόδου.

Η βαρυτική μέθοδος έχει χρησιμοποιηθεί με ιδιαίτερη επιτυχία τόσο για τον εντοπισμό κοιτασμάτων πετρελαίου και ορυκτών όσο και για τον προσδιορισμό του βάθους του υποβάθρου.

### **3.3.5 Μαγνητικές Μέθοδοι Διασκόπησης**

Η αρχή κάθε μεθόδου γεωμαγνητικής διασκόπησης βασίζεται στον εντοπισμό μεταβολών της μαγνήτισης των πετρωμάτων μέσα στα επιφανειακά στρώματα του φλοιού της Γης, με μετρήσεις στην επιφάνεια της Γης μαγνητικών ανωμαλιών μικρής κλίμακας, δηλαδή τοπικών μεταβολών της έντασης του γεωμαγνητικού πεδίου.

Η μαγνητικές μέθοδοι είναι από τις παλαιότερες μεθόδους διασκόπησης και αρχικά χρησιμοποιήθηκαν για τον εντοπισμό μεταλλευμάτων ( κυρίως σιδήρου ) και για τον εντοπισμό πετρελαίου.

Οι μαγνητικές μέθοδοι είναι παρόμοιες με τις βαρυτομετρικές μεθόδους αλλά με δυσκολότερη την εφαρμογή αυτών και ευκολότερη την γεωλογική ερμηνεία των μαγνητικών μετρήσεων καθώς είναι γνωστό ότι οι μαγνητικές ανωμαλίες που παρατηρούνται στην επιφάνεια της Γης είναι αποτέλεσμα των μεταβολών της μαγνήτισης των πυριγενών ή κρυσταλλικών πετρωμάτων και όχι των επιφανειακών ίζηματογενών πετρωμάτων που έχουν ασθενή μαγνητική.

### **3.3.6 Ραδιομετρικές Μέθοδοι Διασκόπησης**

Οι ραδιομετρικές μέθοδοι γεωφυσικής διασκόπησης βασίζονται σε μετρήσεις της ραδιοακτινοβολίας που εκπέμπεται από πυρήνες στοιχείων μεγάλου ατομικού αριθμού τα οποία αποτελούν συστατικά ορισμένων ορυκτών. Η φυσική αυτή ραδιοακτινοβολία που λέγεται συνήθως φυσική ραδιενέργεια αποτελείται από στοιχειώδη σωμάτια ή κβάντα τα οποία εκπέμπονται από ορισμένα ισότοπα κατά τη φυσική μεταστοιχείωσή τους.

Με τις ραδιομετρικές μεθόδους επιδιώκεται ο εντοπισμός ραδιενεργών μεταλλευμάτων για την ανεύρεση ραδιενεργών στοιχείων όπως είναι το ουράνιο και το θόριο ή για την ανεύρεση μη ραδιενεργών ( ή μικρής ραδιενέργειας ) αλλά εμπορικά χρήσιμων στοιχείων όπως είναι το κολόμβιο, το ζιρκόνιο, το βηρύλλιο και οι σπάνιες γαίες, τα οποία συνυπάρχουν με ραδιενεργά υλικά.

## **3.4 Αρχές των μεθόδων σεισμικής διασκόπησης**

### **3.4.1 Εισαγωγή**

Με τις μεθόδους σεισμικής διασκόπησης επιδιώκεται ο καθορισμός των μεταβολών των ταχυτήτων διάδοσης των ελαστικών (σεισμικών) κυμάτων στα επιφανειακά στρώματα του φλοιού της Γης, με μετρήσεις των χρόνων διαδρομής τους μέσα στα στρώματα αυτά και εφαρμογή γνωστών νόμων της Φυσικής, στους οποίους υπακούει η διάδοση αυτή (νόμοι διάθλασης, ανάκλασης, κλπ). Τα κύματα αυτά παράγονται τεχνητά (με εκρήξεις, πτώση βαρών, κλπ) στην

επιφάνεια της Γης ή σε μικρό βάθος μέσα σ' αυτή (10-80 m) και αφού διαδοθούν μέσα στα επιφανειακά στρώματα του φλοιού της Γης, επιστρέφουν στην επιφάνεια της και γράφονται σε διάφορες αποστάσεις από σεισμόμετρα, ειδικά για το σκοπό αυτό κατασκευασμένα, τα οποία λέγονται γεώφωνα.

Με βάση τις αναγραφές των ελαστικών κυμάτων, κατασκευάζονται καμπύλες χρόνων διαδρομής, δηλαδή, γραφικές παραστάσεις των χρόνων διαδρομής των κυμάτων σε συνάρτηση με την οριζόντια απόσταση, από τις οποίες υπολογίζεται η ταχύτητα διάδοσης των ελαστικών κυμάτων σε συνάρτηση με το βάθος. Η γνώση της μεταβολής της ταχύτητας αυτής μέσα στα επιφανειακά στρώματα του φλοιού είναι δυνατόν να οδηγήσει στον εντοπισμό γεωλογικών δομών οι οποίες παρουσιάζουν οικονομικό ενδιαφέρον δηλαδή, δομών που συνυπάρχουν με κοιτάσματα (πετρελαίου, μεταλλευμάτων, κλπ).

Η σεισμική διασκόπηση βασίζεται στις απλές βασικές αρχές που διέπουν τη διάδοση των κυμάτων, όπως είναι η αρχή του Huygens, η αρχή του Fermat, κλπ. Παρότι οι αρχές αυτές είναι απλές, η εφαρμογή των σεισμικών μεθόδων είναι σχετικά δύσκολη, γιατί οι αρχές αυτές στην περίπτωση αυτή εφαρμόζονται στο πιο ανομοιογενές τμήμα της Γης, το οποίο αποτελούν τα επιφανειακά στρώματα του φλοιού της.

Οι σεισμικές μέθοδοι γεωφυσικής διασκόπησης και ιδιαίτερα η μέθοδος της σεισμικής ανάκλασης είναι οι πιο ακριβείς μέθοδοι γεωφυσικής διασκόπησης και οι πλατύτερα χρησιμοποιούμενες στη διασκόπηση πετρελαίου. Επιπλέον, τα δεδομένα παρατήρησης της σεισμικής διασκόπησης ερμηνεύονται ευκολότερα από τα δεδομένα άλλων γεωφυσικών μεθόδων (βαρυτομετρικών, μαγνητικών, κλπ). Όμως, οι μέθοδοι αυτές είναι πολυδάπανες και ιδιαίτερα η μέθοδος της **σεισμικής ανάκλασης**. Για το λόγο αυτό, η μέθοδος αυτή εφαρμόζεται μόνο για λεπτομερή μελέτη των γεωλογικών δομών, αφού πρώτα εφαρμοστούν στην ευρύτερη περιοχή των δομών αυτών αναγνωριστικές μέθοδοι διασκόπησης μεταξύ των οποίων συγκαταλέγεται και η μέθοδος της **σεισμικής διάθλασης**.

### 3.4.2 Είδη Ελαστικών Κυμάτων

Όταν τάση (stress) εφαρμοστεί απότομα σε σημείο ελαστικού μέσου (π.χ. με χτύπημα του εδάφους με ένα σφυρί, με την πτώση βάρους, λόγω τεχνητής έκρηξης, κλπ) ή όταν στο σημείο αυτό απελευθερωθεί απότομα ενέργεια (π.χ. λόγω διάρρηξης των πετρωμάτων στην εστία σεισμού) προκαλείται παραμόρφωση (deformation) η οποία διαδίδεται στο ελαστικό μέσο υπό μορφή ελαστικών κυμάτων.

Σε ένα ελαστικό και ισότροπο μέσο άπειρων διαστάσεων αναπτύσσονται δύο είδη ελαστικών κυμάτων τα επιμήκη κύματα και τα εγκάρσια κύματα, τα οποία ονομάζονται κύματα χώρου. Όταν, όμως, το ελαστικό μέσο δεν επεκτείνεται στο άπειρο προς όλες τις διευθύνσεις αλλά περιορίζεται από ορισμένη επιφάνεια (π.χ. την επιφάνεια της Γης) αναπτύσσεται και ένα άλλο είδος ελαστικών κυμάτων, τα επιφανειακά κύματα, τα οποία διακρίνονται σε κύματα Rayleigh και σε κύματα Love.

### 3.4.2.1 Κύματα χώρου

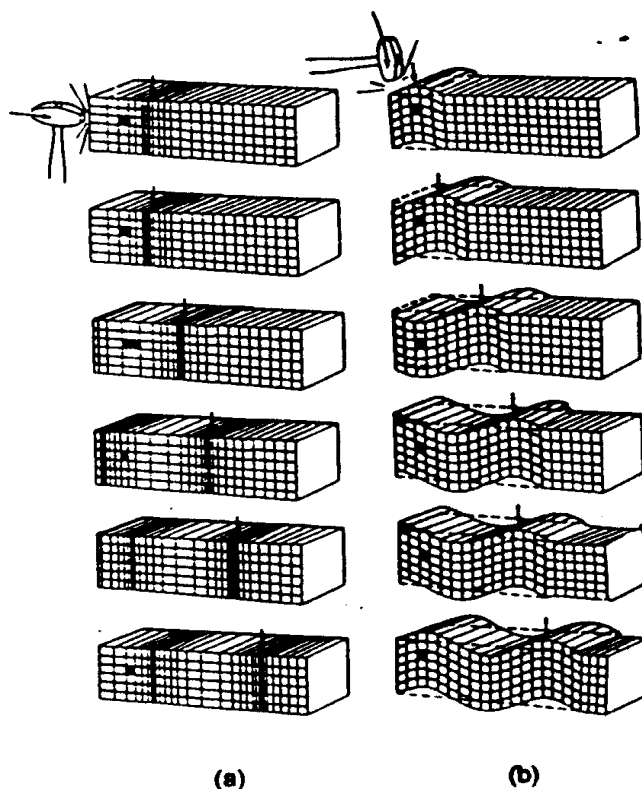
Η κυματική κίνηση αναπτύσσεται εξαιτίας μιας διαταραχής μέσα στην ύλη και περιγράφεται από δυο είδη κυμάτων χώρου. Τη μια κατηγορία αποτελούν τα διαμήκη ή επιμήκη κύματα. Την δεύτερη κατηγορία αποτελούν, τα εγκάρσια ή διατμητικά κύματα. Τα κύματα αυτά συμβολίζονται με τα αγγλικά γράμματα P και S, αντίστοιχα.

**α) Επιμήκη κύματα.** Κατά τη διάδοση των κυμάτων αυτών, τα υλικά σημεία του μέσου διάδοσης ταλαντώνονται κατά διεύθυνση παράλληλη προς τη διεύθυνση διάδοσης του κύματος, δηλαδή προς τη διεύθυνση της σεισμικής ακτίνας και μάλιστα κατά τέτοιο τρόπο ώστε να δημιουργούνται διαδοχικά πυκνώματα και αραιώματα, με συνέπεια την παροδική διαδοχική αύξηση και ελάττωση της πυκνότητας μέσου (σχήμα 9).



**Σχήμα 9.** Κινήσεις των υλικών σημείων κατά τη διάδοση επιμήκους κύματος.

Η ταλάντωση των υλικών σημείων κατά τη διάδοση των επιμηκών ελαστικών κυμάτων λέγεται **συμπίση** όταν η φορά της συμπίπτει με τη φορά (κατεύθυνση) διάδοσης του κύματος, ενώ η ταλάντωση αυτή λέγεται **αραίωση** όταν είναι αντίθετη της φοράς διάδοσης του κύματος.



**Σχήμα 10.** Αναπαράσταση της κίνησης ενός ελαστικού μέσου, κατά την διάδοση ελαστικών κυμάτων. (F.Press και B.Siener, 1978) (α) Επιμήκη κύματα, (β) Εγκάρσια κύματα.

Τα επιμήκη κύματα διαδίδονται γρηγορότερα μέσα στο χώρο, κατά την διεύθυνση διάδοσης του κύματος. Σε ελαστικό και ισότροπο μέσο τα επιμήκη κύματα διαδίδονται με ταχύτητα,  $\alpha$ , η οποία δίνεται από τη σχέση (1)

$$\eta \quad V\rho = \sqrt{\frac{\lambda + 2\mu}{\rho}} \quad (1)$$

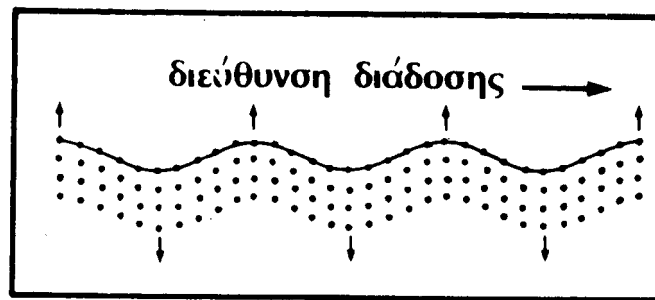
$$\alpha = \sqrt{\frac{\lambda + 2\mu}{\rho}}$$

όπου  $\lambda$  και  $\mu$  είναι παράμετροι γνωστές ως **ελαστικές σταθερές** του Lamé και  $\rho$  είναι η πυκνότητα του μέσου διάδοσης του κύματος.

Τα επιμήκη κύματα παριστάνονται στη Σεισμολογία με το σύμβολο P (Primus), επειδή τα επιμήκη κύματα που παράγονται στην εστία μιας δόνησης φθάνουν σε ορισμένο σταθμό και αναγράφονται πρώτα αυτά από τα σεισμόμετρά του και κατόπιν φθάνουν και αναγράφονται τα εγκάρσια και τα επιφανειακά κύματα, τα οποία παράγονται συγχρόνως με τα επιμήκη κύματα, στην εστία της δόνησης. Αυτό οφείλεται στο γεγονός ότι η ταχύτητα διάδοσης των επιμηκών κυμάτων είναι μεγαλύτερη από την ταχύτητα διάδοσης των εγκάρσιων και των επιφανειακών κυμάτων σ' ορισμένο μέσο.

Στην τελευταία αυτή ιδιότητα των επιμηκών κυμάτων, στο γεγονός δηλαδή ότι αυτά φτάνουν και αναγράφονται πρώτα και κατόπιν φθάνουν και αναγράφονται τα άλλα είδη κυμάτων, οφείλεται η αποκλειστική σχεδόν αξιοποίηση των αναγραφών των κυμάτων αυτών στη σεισμική διασκόπηση. Έτσι, ο χρόνος της αρχής της αναγραφής της δόνησης, η οποία, όπως αναφέραμε, οφείλεται στα επιμήκη κύματα, μπορεί να μετρηθεί με ακρίβεια, ενώ οι επόμενες φάσεις της αναγραφής δεν μπορούν να διακριθούν εύκολα από άλλες φάσεις που προηγούνται και η ακριβής μέτρηση του χρόνου άφιξης τους στη θέση ενός σεισμομέτρου είναι προβληματική

**β) Εγκάρσια κύματα.** Κατά τη διάδοση των εγκαρσίων κυμάτων τα υλικά σημεία του μέσου διάδοσης ταλαντώνονται κάθετα προς τη διεύθυνση διάδοσης του κύματος και κατά τέτοιο τρόπο ώστε το μέσο να παθαίνει διατμητική παραμόρφωση. Δηλαδή η διάδοση της διατμητικής παραμόρφωσης αποτελεί τα εγκάρσια κύματα.



**Σχήμα 11** Κινήσεις των υλικών σημείων κατά τη διάδοση εγκάρσιου κύματος.

Η ταχύτητα διάδοσης των εγκαρσίων ελαστικών κυμάτων μέσα σε ελαστικό και ισότροπο μέσο δίνεται από τη σχέση (2)

$$\beta = \sqrt{\frac{\mu}{\rho}}$$

ή

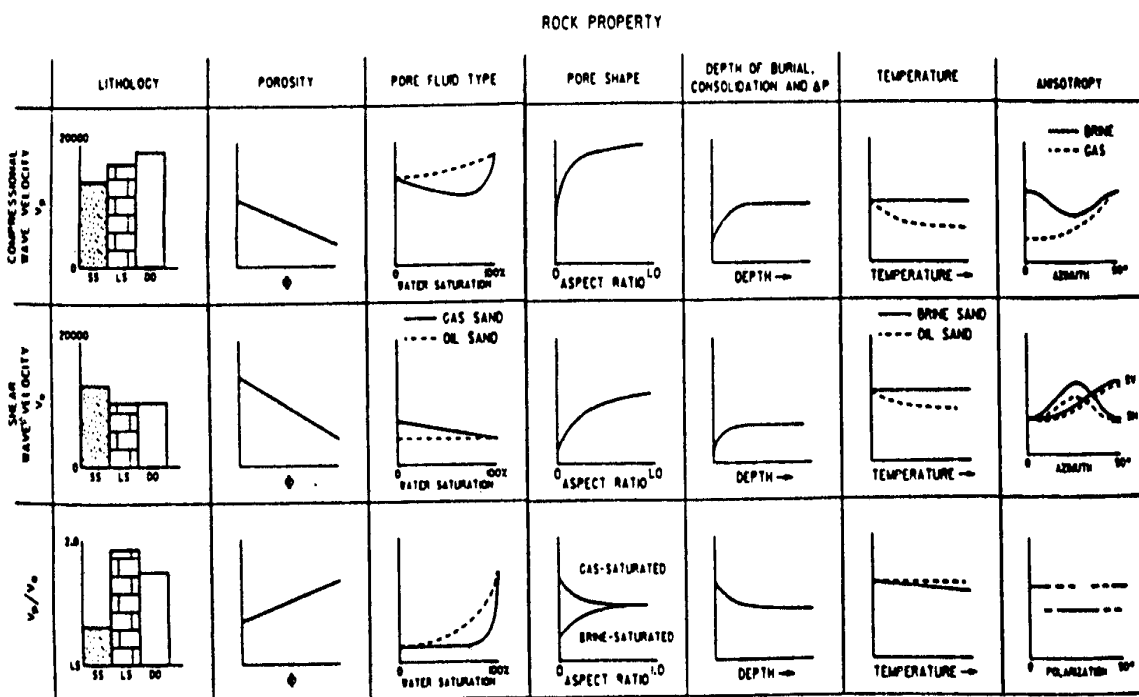
$$v_s = \sqrt{\frac{\mu}{\rho}}$$

όπου  $\mu$  είναι η ελαστική σταθερά του Lamé και  $\rho$  η πυκνότητα του μέσου διάδοσης των κυμάτων.

Η σταθερά  $\mu$  αποτελεί μέτρο της διατμητικής παραμόρφωσης του μέσου κατά τη διάδοση των κυμάτων και έχει τόσο μεγαλύτερη τιμή όσο μεγαλύτερη είναι η αντίδραση του μέσου στη διατμητική παραμόρφωση του. Έτσι, για τα ρευστά είναι  $\mu = 0$ . Για το λόγο αυτό, η ταχύτητα διάδοσης των εγκαρσίων κυμάτων μέσα στα ρευστά (υγρά, αέρια) είναι ίση με μηδέν, σύμφωνα με τη σχέση (2), δηλαδή δεν διαδίδονται εγκάρσια κύματα μέσα στα ρευστά.

Από τη σύγκριση των σχέσεων (1), (2) προκύπτει ότι η ταχύτητα διάδοσης των εγκαρσίων κυμάτων σε ένα μέσο είναι μικρότερη από την αντίστοιχη

ταχύτητα διάδοσης των επιμηκών κυμάτων. Γι' αυτό, τα εγκάρσια κύματα που γεννιούνται στην εστία μιας δόνησης φθάνουν και γράφονται σ' ορισμένο σταθμό μετά τα επιμήκη κύματα της δόνησης. Για το λόγο αυτό, τα εγκάρσια σεισμικά κύματα συμβολίζονται με το S (Secundus).



Σχήμα 12. Σύνοψη των επιδράσεων των διαφορετικών ιδιοτήτων των πετρωμάτων, στις ταχύτητες και στους λόγους των ταχυτήτων, των επιμηκών και εγκάρσιων κυμάτων (Tatham και McCormack, 1991).

### 3.4.2.2 Επιφανειακά κύματα

Τα επιφανειακά κύματα παράγονται κοντά στην επιφάνεια της Γης, επειδή οι ελαστικές ιδιότητες του φλοιού διαφέρουν σημαντικά από τις ελαστικές ιδιότητες της Ατμόσφαιρας και έτσι η στερεά Γη περιορίζεται από την επιφάνεια της. Όπως έχουμε ήδη αναφέρει, υπάρχουν δύο κύριες κατηγορίες επιφανειακών κυμάτων, τα κύματα και τα κύματα Love.

**α) Κύματα Rayleigh.** Κατά τη διάδοση των κυμάτων αυτών τα υλικά σημεία του μέσου διάδοσης διαγράφουν ελλείψεις με κατακόρυφο το μεγάλο άξονα και το μικρό άξονα παράλληλο προς τη διεύθυνση διάδοσης του κύματος. Κοντά στην επιφάνεια της Γης, η φορά κίνησης κάθε σημείου πάνω στην ελλειπτική τροχιά του είναι ανάστροφη, δηλαδή, η φορά κίνησης στο κατώτερο σημείο της τροχιάς συμπίπτει με τη φορά διάδοσης του κύματος (σχήμα 13).

Τα πλάτη των κυμάτων **Rayleigh**, δηλαδή, τα μεγέθη των τροχιών των υλικών σημείων κατά τη διάδοση των κυμάτων αυτών, ελαττώνονται όσο

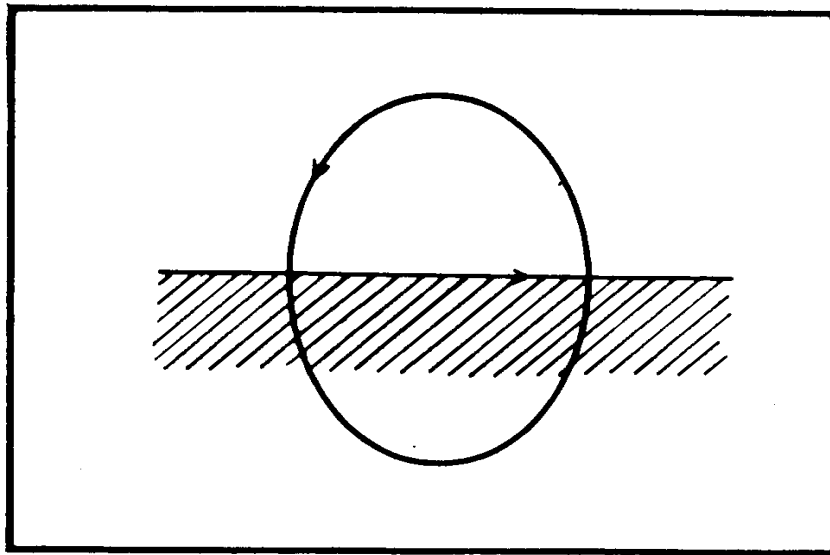


απομακρυνόμαστε από την επιφάνεια της Γης προς τα κάτω και σε ένα βάθος μέσα στη Γη ίσο με το μήκος κύματος,  $\lambda$ , του κύματος **Rayleigh**, τα πλάτη των κυμάτων αυτών σχεδόν μηδενίζονται.

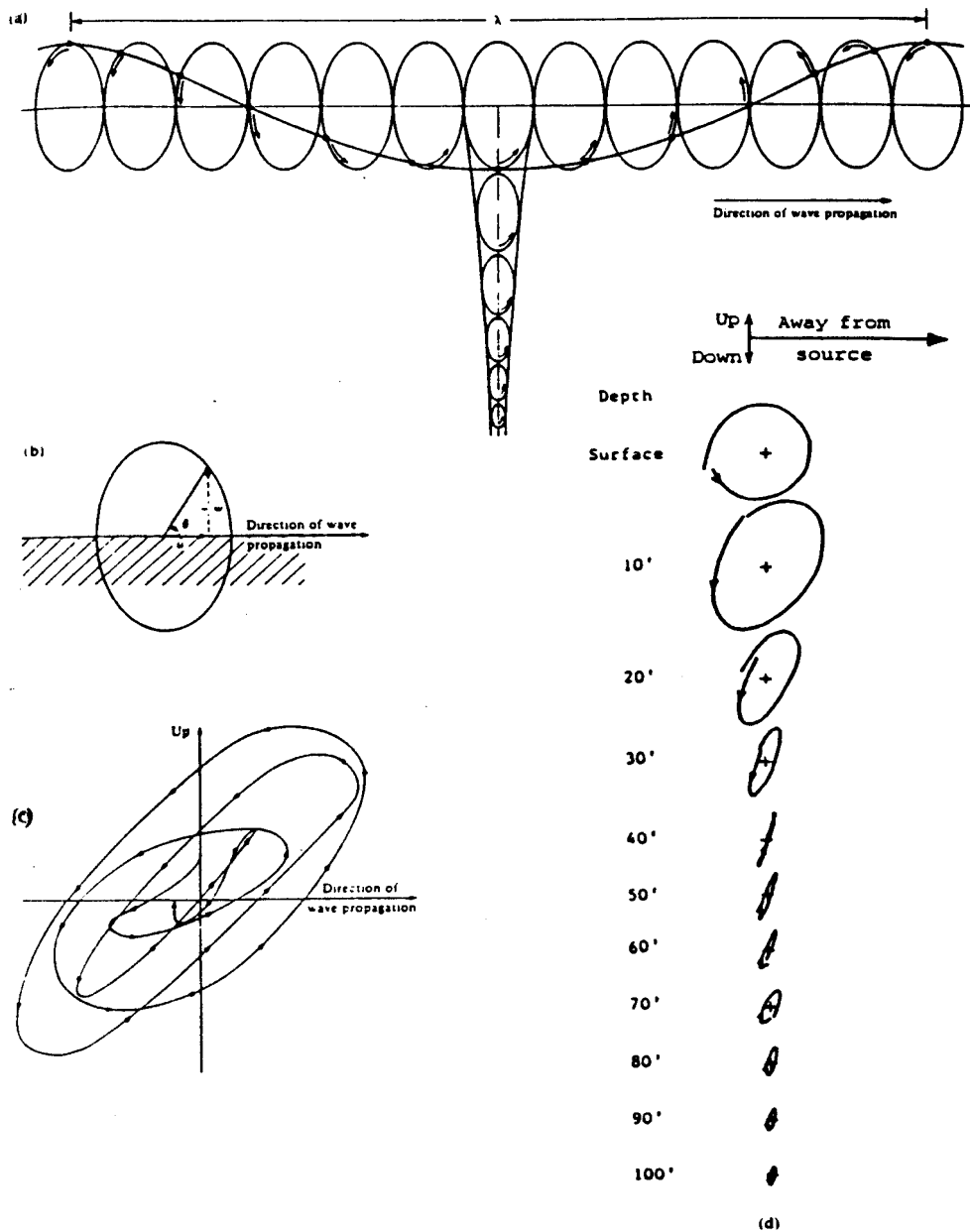
Κατά τη διάδοση των κυμάτων **Rayleigh** στο επιφανειακό τμήμα ελαστικού και ισότροπου μέσου για το οποίο ισχύει η σχέση  $\lambda = \mu$  (σχέση Poisson), η ταχύτητα τους δίνεται από τη σχέση (3)

$$c = 0,92 \beta \quad (3)$$

Δηλαδή, η ταχύτητα των κυμάτων **Rayleigh** είναι μικρότερη από την ταχύτητα των εγκάρσιων κυμάτων και για το λόγο αυτό τα κύματα **Rayleigh** φθάνουν και γράφονται σ' ορισμένο σταθμό μετά τα εγκάρσια κύματα.



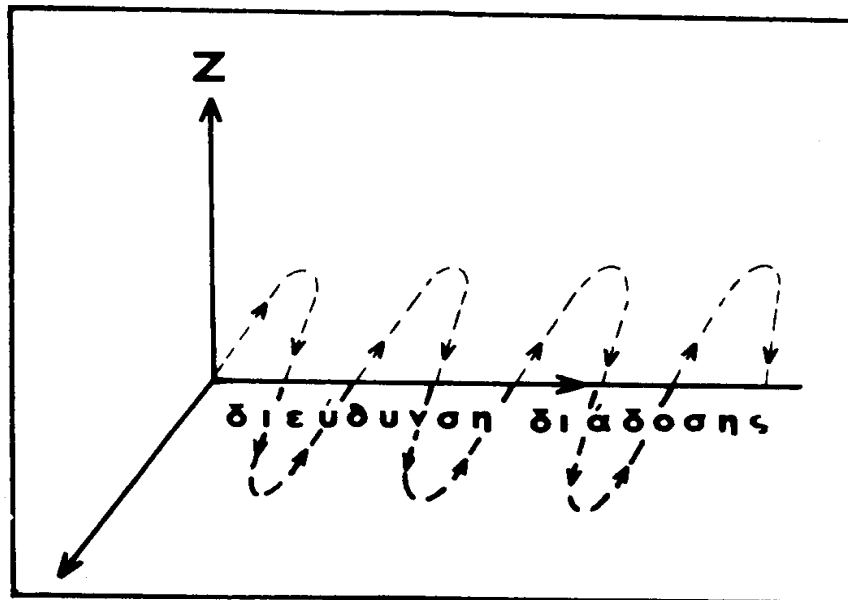
**Σχήμα 13.** Κίνηση υλικού σημείου στην επιφάνεια της Γης κατά τη διάδοση θεμελιώδους κύματος **Rayleigh**.



**Σχήμα 14.** Κύματα Rayleigh. (α) Κατακόρυφη τομή που απεικονίζει την κίνηση των κυμάτων στην επιφάνεια και την ελάττωση με το βάθος για ένα ημιχώρο, (β) Αναμενόμενη κίνηση στοιχειωδών μορίων της ύλης στην επιφάνεια του εδάφους, για ένα ημιχώρο, κατά την διάδοση επιφανειακών κυμάτων, (C) Πραγματική κίνηση στοιχειωδών μορίων της ύλης στην επιφάνεια του εδάφους (Howell, 1959), (d) Κίνηση των επιφανειακών κυμάτων που προκλήθηκαν από έκρηξη, όπως καταγράφηκαν από θαμμένα γεώφωνα : παρατηρείται ότι η κίνηση των υλικών σημείων είναι ανάστροφη μέχρι το βάθος των 40ft (0.192λ) (Dobrin, 1951).

Όταν το μέσο διάδοσης είναι ομογενές η ταχύτητα διάδοσης των κυμάτων **Rayleigh** είναι ανεξάρτητη από την περίοδο τους (και την συχνότητα και το μήκος κύματος) αλλά εξαρτάται μόνο από τις ελαστικές σταθερές του μέσου διάδοσης, όπως συμβαίνει και με τα κύματα χώρου. Παρατηρήθηκε, όμως, ότι η ταχύτητα των κυμάτων **Rayleigh** τα οποία διαδίδονται στα επιφανειακά στρώματα της Γης μεταβάλλεται με την περίοδο (και με τη συχνότητα και το μήκος κύματος) του κύματος, επειδή ο χώρος που διαδίδονται τα κύματα αυτά δεν είναι ομογενής. Το φαινόμενο αυτό, δηλαδή, η μεταβολή της ταχύτητας διάδοσης του κύματος με την περίοδο του κύματος λέγεται **σκέδαση**. Συνεπώς, τα κύματα **Rayleigh** που διαδίδονται στα επιφανειακά στρώματα της Γης παθαίνουν σκέδαση, φαινόμενο που δεν παρατηρείται κατά τη διάδοση των κυμάτων χώρου.

**β) Κύματα Love.** Κατά τη διάδοση των κυμάτων αυτών τα υλικά σημεία του μέσου διάδοσης πραγματοποιούν οριζόντιες ταλαντώσεις κάθετες προς τη διεύθυνση διάδοσης του κύματος (σχήμα 15).



**Σχήμα 15.** Οριζόντιες κινήσεις των υλικών σημείων κατά τη διάδοση θεμελιωδών κυμάτων

Τα κύματα αυτά είναι, ουσιαστικά, γραμμικώς πολωμένα εγκάρσια κύματα τα οποία έχουν μόνο οριζόντια συνιστώσα (η οποία παριστάνεται με το σύμβολο SH). Για τη γένεση των κυμάτων Love είναι απαραίτητη η ύπαρξη ενός στρώματος (ή περισσότερων) ορισμένου πάχους που βρίσκεται πάνω σε ημιχώρο του οποίου οι φυσικές ιδιότητες ( $\rho$ ,  $\mu$ ) διαφέρουν από τις ιδιότητες του στρώματος.

Η ταχύτητα διάδοσης των κυμάτων Love εξαρτάται από την περίοδο τους. Συνεπώς, τα κύματα Love σκευάζονται. Τα κύματα αυτά φθάνουν σε ένα σταθμό και αναγράφονται αμέσως μετά από τα εγκάρσια κύματα.

### 3.4.3 Βασικές Αρχές Διάδοσης των Ελαστικών Κυμάτων

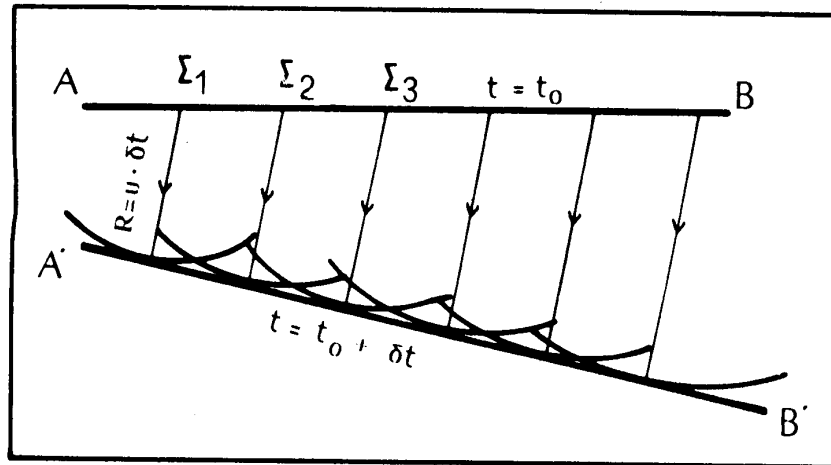
Οι βασικές αρχές που διέπουν τη διάδοση του φωτός και των ηλεκτρομαγνητικών κυμάτων γενικότερα ισχύουν και κατά τη διάδοση των ελαστικών κυμάτων. Αυτές είναι δύο, η αρχή του Huygens και η αρχή του Fermat. Αυτές θεωρούνται βασικές αρχές, γιατί απ' αυτές προκύπτουν εύκολα άλλες αρχές άμεσα εφαρμόσιμες (νόμος διάθλασης, ανάκλασης, περίθλασης).

**α) Αρχή του Huygens.** Όταν σε ένα σημείο,  $O$ , ελαστικού μέσου προκληθεί μια διατάραξη, δημιουργηθούν δηλαδή ελαστικά κύματα, αυτή διαδίδεται από το σημείο αυτό (πηγή των κυμάτων), προς τις διάφορες διευθύνσεις. Μετά από ορισμένο χρόνο,  $\delta t$ , η διατάραξη θα φθάσει σε διάφορα σημεία του υλικού μέσου, τα οποία, όταν το μέσο είναι ισότροπο, θα απέχουν ίση απόσταση από το σημείο,  $O$ , και συνεπώς θα βρίσκονται στην επιφάνεια σφαίρας ακτίνας  $R = v\delta t$ , όπου  $v$  είναι η ταχύτητα διάδοσης της διατάραξης (των κυμάτων) μέσα στο ελαστικό και ισότροπο μέσο. Η σφαίρα αυτή αποτελεί το στιγμιαίο **μέτωπο κύματος**, το οποίο απομακρύνεται από την πηγή των κυμάτων με ταχύτητα  $v$ . Σε μεγάλη απόσταση από την πηγή, το μέτωπο κύματος μπορεί να θεωρηθεί επίπεδο, οπότε το κύμα ονομάζεται **επίπεδο κύμα**. Όταν το μέσο δεν είναι ισότροπο, το μέτωπο κύματος δεν είναι  $s$ , σφαίρα, αλλά άλλη επιφάνεια. Η ευθεία η κάθετη στο μέτωπο κύματος σε ένα σημείο του δείχνει τη διεύθυνση διάδοσης του κύματος και ονομάζεται **σεισμική ακτίνα**.

Η αρχή του Huygens ορίζει ότι:

**«Κάθε σημείο ενός μετώπου κύματος μπορεί να θεωρηθεί ότι αποτελεί πηγή ενός νέου (δευτερογενούς) κύματος».**

Η χρησιμότητα της αρχής αυτής οφείλεται κυρίως στο γεγονός ότι μπορούμε, με βάση αυτή, να ορίσουμε τις μελλοντικές θέσεις του μετώπου κύματος, όταν γνωρίζουμε τη θέση του  $s$  ορισμένη χρονική στιγμή. Έστω ότι  $AB$  είναι το μέτωπο κύματος κατά τη χρονική στιγμή  $t_0$  (σχήμα 16) και θέλουμε να καθορίσουμε το μέτωπο κύματος κατά τη χρονική στιγμή  $t_0 + \delta t$ . Κατά τη διάρκεια του χρόνου  $\delta t$  το κύμα θα προχωρήσει και θα σχηματίσει ένα νέο μέτωπο κύματος  $A'B'$ . Σύμφωνα με την αρχή του Huygens κάθε σημείο  $\Sigma_1, \Sigma_2, \Sigma_3, \dots$  του αρχικού μετώπου κύματος  $AB$  αποτελεί πηγή νέου κύματος. Μπορούμε, συνεπώς, να χαράξουμε τόξα κύκλων με κέντρα τα σημεία  $\Sigma_1, \Sigma_2, \Sigma_3, \dots$  και ακτίνες  $v_i\delta t$ , όπου  $v_i (i = 1, 2, 3, \dots)$  είναι η ταχύτητα του κύματος σε κάθε ένα από τα σημεία αυτά. Τα τόξα αυτά αποτελούν τα μέτωπα κύματος των δευτερογενών κυμάτων που παράγονται στα σημεία του αρχικού μετώπου κύματος. Η επιφάνεια,  $A'B'$ , που περιβάλλει τα δευτερογενή αυτά μέτωπα κύματος, αποτελεί το μέτωπο κύματος κατά τη χρονική στιγμή  $t_0 + \delta t$ . Τα δευτερογενή κύματα κατά τη χρονική στιγμή  $t_0 + \delta t$  συμβάλλουν καταστροφικά σε όλα τα σημεία του χώρου με αποτέλεσμα να αλληλοαναιρούνται εκτός από τα σημεία του νέου μετώπου κύματος,  $A'B'$ .



Σχήμα 5.7 Αρχή του Huygens.

**β) Αρχή του Fermat.** Σύμφωνα με την αρχή αυτή:  
 «Το κύμα το οποίο φθάνει σε ορισμένο σημείο από ορισμένη πηγή ακολουθεί το συντομότερο δρόμο από όλους τους δρόμους που είναι δυνατόν να ακολουθήσει, δηλαδή, ακολουθεί αυτόν που απαιτεί τον ελάχιστο χρόνο».

Αν για ένα ελαστικό μέσο δοθεί η κατανομή της ταχύτητας διάδοσης των ελαστικών κυμάτων, μπορούμε, με βάση την αρχή του **Fermat**, να χαράξουμε τις σεισμικές ακτίνες των κυμάτων. Συνέπεια της αρχής αυτής αποτελεί το γεγονός ότι οι σεισμικές ακτίνες των κυμάτων τα οποία διαδίδονται μέσα σε ομογενές μέσο είναι ευθείες γραμμές. Αποδεικνύεται επίσης ότι οι νόμοι της ανάκλασης και διάθλασης των ελαστικών κυμάτων μπορούν να προκύψουν από την εφαρμογή της αρχής αυτής.

#### 3.4.4 Ενέργεια των Ελαστικών Κυμάτων.

Κατά τη διάδοση των ελαστικών κυμάτων σ' ορισμένο μέσο, το μέσο αυτό αποκτά ορισμένη μηχανική ενέργεια η οποία οφείλεται μερικώς μεν στην ταλάντωση των υλικών σημείων (κινητική ενέργεια) και μερικώς στην ανάπτυξη τάσεων και παραμορφώσεων στο μέσο (δυναμική ενέργεια).

Συνήθως, δεν ενδιαφερόμαστε για την ολική ενέργεια ενός κύματος αλλά για την ενέργεια στη γειτονιά ενός σημείου όπου γίνεται η παρατήρηση. Για το λόγο αυτό, ενδιαφέρον παρουσιάζει η πυκνότητα ενέργειας,  $E$  σε ένα σημείο ελαστικού μέσου, η οποία ορίζεται ως ο λόγος της μηχανικής ενέργειας,  $\delta W$ , η οποία περικλείεται μέσα σε στοιχειώδη όγκο,  $\delta V$ , γύρω από το σημείο, δια του όγκου αυτού. Δηλαδή,

$$E = \frac{\delta W}{\delta V} \quad (4)$$

Ας θεωρήσουμε ένα σφαιρικό αρμονικό κύμα του οποίου νίκη μετάθεση δίνεται από τη σχέση

$$u = A \sin(\omega t + \phi) \quad (5)$$

όπου  $A$  είναι το πλάτος του κύματος και  $\phi$  η φάση του. Η κινητική ενέργεια ενός στοιχείου του υλικού μέσου, όγκου  $\delta V$ , θα δίνεται από τη σχέση

$$\delta W_k = \frac{1}{2} \rho \delta V \dot{u}^2 \quad (6)$$

όπου  $\rho$  η πυκνότητα του υλικού μέσα στον όγκο  $\delta V$  και  $\dot{u} = \partial u / \partial t$  είναι η ταχύτητα ταλάντωσης του υλικού στοιχείου. Συνεπώς, η πυκνότητα της κινητικής ενέργειας θα δίνεται από τη σχέση

$$\frac{\delta W_k}{\delta V} = \frac{1}{2} \rho \omega^2 A^2 \sin^2(\omega t + \phi) \quad (7)$$

και θα μεταβάλλεται από μηδέν μέχρι τη μέγιστη τιμή της που είναι  $\rho \omega^2 A^2 / 2$ .

Το στοιχείο όγκου  $\delta V$  περικλείει και δυναμική ενέργεια και καθώς ταλαντώνεται, έχουμε διαδοχική μετατροπή της μιας από τις δύο μορφές της μηχανικής ενέργειας (κινητικής-δυναμικής) στην άλλη. Όταν η δυναμική ενέργεια έχει τη μέγιστη τιμή της, η κινητική ενέργεια είναι ίση με μηδέν (ταχύτητα ταλάντωσης ίση με μηδέν), ενώ όταν η δυναμική ενέργεια είναι ίση με μηδέν (μέγιστη ταχύτητα ταλάντωσης  $\omega A$ ) η κινητική ενέργεια έχει τη μέγιστη τιμή της ( $\rho \delta V \omega^2 A^2 / 2$ ) η οποία είναι ίση με την ολική μηχανική ενέργεια  $\delta W$ , του στοιχείου όγκου  $\delta W$ . Δηλαδή,

$$\delta W = \frac{\rho \delta V \omega^2 A^2}{2} \quad (8)$$

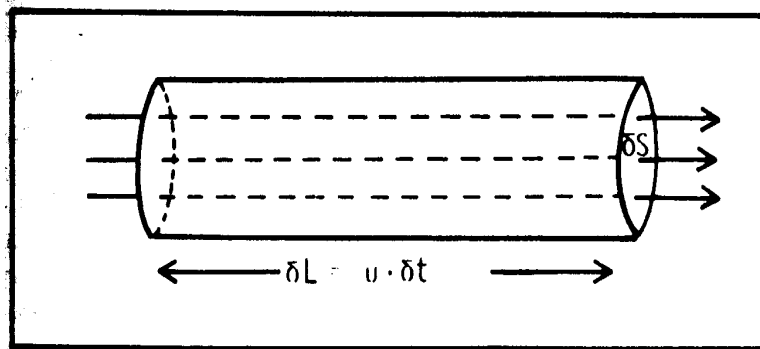
Από τις σχέσεις (4), (8) προκύπτει ότι

$$E = \frac{1}{2} \rho \omega^2 A^2 \quad (9)$$

Επειδή κατά τη διάδοση του κύματος έχουμε ουσιαστικά διάδοση της ελαστικής ενέργειας, παρουσιάζει πρακτικό ενδιαφέρον η ροή της ενέργειας στο μέσο διάδοσης του κύματος. Για το λόγο αυτό, χρησιμοποιείται η ποσότητα **ένταση  $I$** , η οποία ορίζεται ως ο λόγος της ενέργειας,  $\delta W$ , η οποία περνάει σ' ορισμένο χρόνο,  $\delta t$ , από ορισμένη επιφάνεια,  $\delta S$ , η οποία είναι κάθετη στη διεύθυνση διάδοσης του κύματος προς το γινόμενο του χρόνου επί την επιφάνεια. Δηλαδή, είναι

$$I = \frac{\delta W}{\delta S \cdot \delta t} \quad (10)$$

Ας θεωρήσουμε κύλινδρο διατομής  $\delta S$  και μήκους  $\delta L$  του οποίου ο άξονας είναι παράλληλος προς τη διεύθυνση διάδοσης του κύματος (σχ.5.8). Αν το μήκος του κυλίνδρου διατρέχεται από το κύμα σε χρόνο  $\delta t$ , θα είναι  $\delta L = u \delta t$ , όπου  $u$  είναι η ταχύτητα διάδοσης του κύματος. Η ενέργεια που περικλείεται μέσα στον κύλινδρο κατά τη χρονική στιγμή  $t$  θα είναι  $\delta W = E \cdot \delta V = E \cdot \delta L \cdot \delta S$  ή



**Σχήμα 17.** Κατά τη διάδοση του κύματος παράλληλα προς τον άξονα το κυλίνδρου περνάει από τη βάση του  $\delta S$ , σε χρόνο  $\delta t$  η ενέργεια του κύματος που βρισκόταν κατά μήκος,  $\delta L = u \cdot \delta t$ , του κυλίνδρου.

$$\delta W = E \cdot u \cdot \delta S \cdot \delta t \quad (11)$$

Αυτή είναι η ενέργεια η οποία θα περάσει την επιφάνεια  $\delta S$  σε χρόνο  $\delta t$ . Από τις σχέσεις (10), (11) προκύπτει ότι :

$$I = E \cdot u \quad (12)$$

Δηλαδή, η ένταση του κύματος είναι ίση με το γινόμενο της πυκνότητας ενέργειας  $E$ , επί την ταχύτητα διάδοσης  $u$ , του κύματος. Όπως προκύπτει από τις σχέσεις (9), (12) η ένταση, στην περίπτωση αρμονικού κύματος, δίνεται από τη σχέση

$$I = \frac{1}{2} \rho u \omega^2 A^2 \quad (13)$$

Δηλαδή, η ένταση είναι ανάλογη της πυκνότητας του μέσου διάδοσης, της ταχύτητας διάδοσης, του τετραγώνου της συχνότητας και του τετραγώνου του πλάτους του κύματος.

### 3.4.5 Εξασθένηση των Ελαστικών Κυμάτων με την Απόσταση

Τα πλάτη των ελαστικών κυμάτων ελαττώνονται με την απόσταση. Δηλαδή, τα κύματα αυτά υφίστανται **εξασθένηση** κατά τη διάδοσή τους. Η εξασθένηση αυτή μπορεί να διακριθεί σε **γεωμετρική διασπορά**, η οποία είναι ανεξάρτητη των ιδιοτήτων του μέσου διάδοσης και σε **απόσβεση** των κυμάτων, η οποία εξαρτάται από τις ιδιότητες του μέσου διάδοσης.

**α) Γεωμετρική διασπορά των ελαστικών κυμάτων.** Έστω ότι η ένταση του κύματος σε αποστάσεις  $r_0$  και  $R$  από το σημείο,  $O$ , όπου παράγονται σφαιρικά ελαστικά κύματα (τα μέτωπα κύματος είναι σφαίρες κέντρου  $O$ ) είναι  $I_0$  και  $I$ , ενώ το πλάτος του κύματος (μέγιστη τιμή της μετάθεσης) είναι  $A_0$  και  $A$ , αντίστοιχα. Η ενέργεια  $\delta W$  που περνάει από τις δύο σφαιρικές επιφάνειες σε χρόνο  $\delta t$  θα είναι η ίδια. Και θα δίνεται από τις σχέσεις  $\delta W = I_0 S_0 \delta t = I_0 4\pi r_0^2 \delta t$  και  $\delta W = I S \delta t = I 4\pi r^2 \delta t$ . Από αυτές προκύπτει ότι

$$I = I_0 r_0^2 \frac{I}{r^2} \quad (14)$$

Από τη σχέση αυτή και την (13) προκύπτει ότι

$$A = A_0 r_0 \frac{I}{r} \quad (15)$$

Παρατηρούμε δηλαδή, ότι λόγω της γεωμετρικής διασποράς, η ένταση μεταβάλλεται αντιστρόφως ανάλογα του τετραγώνου της απόστασης, ενώ το πλάτος μεταβάλλεται αντιστρόφως ανάλογα με την απόσταση.

**β) Απόσβεση των ελαστικών κυμάτων.** Κατά τη μελέτη της γεωμετρικής διασποράς των ελαστικών κυμάτων υποθέσαμε ότι η ενέργεια, που περνάει από τις δύο σφαιρικές επιφάνειες σε ορισμένο χρόνο είναι η ίδια, δηλαδή, δεν χάνεται η ελαστική ενέργεια (π. χ. λόγω μετατροπής της σε άλλες μορφές ενέργειας), αλλά απλώς η ένταση ελαττώνεται λόγω κατανομής της ενέργειας σ' όλο και μεγαλύτερο χώρο με την πάροδο του χρόνου. Στην πραγματικότητα, όμως, ένα μέρος της ελαστικής ενέργειας των κυμάτων απορροφάται βαθμιαία από το μέσο διάδοσης και μετατρέπεται σε θερμότητα με συνέπεια οι ταλαντώσεις του εδάφους τελικά να μηδενίζονται. Το φαινόμενο ονομάζεται απόσβεση των ελαστικών κυμάτων.

Ο ακριβής μηχανισμός με τον οποίον η ενέργεια των ελαστικών κυμάτων μετατρέπεται σε θερμότητα δεν είναι γνωστός, αλλά φαινόμενα εσωτερικής τριβής στο στερεό μέσο διάδοσης και ιξώδους τριβής στα ρευστά με τα οποία είναι γεμάτοι οι πόροι των πετρωμάτων συντελούν αποτελεσματικά, μεταξύ άλλων (πιεζοηλεκτρικά και θερμοηλεκτρικά φαινόμενα, δαπάνη ενέργειας για τη δημιουργία νέων επιφανειών κατά τη θραύση των πετρωμάτων, κλπ), στην απόσβεση των ελαστικών κυμάτων.

Εμφανίζονται σημαντικές πειραματικές δυσκολίες κατά τη μελέτη της απόσβεσης των ελαστικών κυμάτων, γιατί οι μετρήσεις στο εργαστήριο μπορούν



να γίνουν μόνο σε κύματα σχετικά υψηλών συχνοτήτων σε σχέση με τα κύματα που παρατηρούνται στη φύση και γιατί οι μετρήσεις της απόσβεσης στη φύση επηρεάζονται από απώλειες λόγω άλλων φαινομένων (ανάκλασης, διάθλασης, κλπ).

Όπως και για άλλα φαινόμενα κατά τα οποία έχουμε απώλεια ενέργειας, έτσι και για το φαινόμενο της απόσβεσης των ελαστικών κυμάτων δεχόμαστε ότι η ενέργεια των κυμάτων αυτών μεταβάλλεται εκθετικά με την απόσταση, σε πρώτη προσέγγιση.

Αν  $I_0$  είναι η ένταση σε σημείο  $\Sigma$  κοντά στην εστία του κύματος και  $I$  η ένταση σε απόσταση  $r$  από το  $\Sigma$ , δεχόμαστε ότι

$$I = I_0 e^{-qr} \quad (16)$$

όπου  $q$  είναι ο **συντελεστής απόσβεσης**. Ο συντελεστής αυτός αυξάνεται με τη συχνότητα του κύματος και σε πρώτη προσέγγιση μπορεί να θεωρηθεί ανάλογος της συχνότητας. Αυτός είναι ο λόγος για τον οποίο τα ελαστικά κύματα υψηλής συχνότητας αποσβένονται έντονα με την απόσταση.

Οι σχέσεις (14) και (16) συνδυάζονται, συνήθως, σε μία η οποία έχει τη μορφή

$$I = I_0 \frac{1}{r^2} e^{-qr} \quad (17)$$

Πειραματικά δεδομένα δείχνουν ότι η εξασθένηση των ελαστικών κυμάτων λόγω της γεωμετρικής διασποράς είναι σημαντικότερη από την εξασθένηση λόγω της απόσβεσης για μικρές αποστάσεις και μικρές συχνότητες κυμάτων, ενώ όσο η απόσταση ή η συχνότητα των κυμάτων αυξάνει η εξασθένηση λόγω της απόσβεσης αυξάνει και τελικά (για μεγάλες αποστάσεις ή μεγάλες συχνότητες) είναι αυτή που αποκλειστικά καθορίζει την εξασθένηση.

### 3.4.6 Ανάκλαση και Διάθλαση των Ελαστικών Κυμάτων

Όταν ελαστικό κύμα συναντήσει μια απότομη μεταβολή στις ελαστικές ιδιότητες του μέσου διάδοσης, μέρος της ενέργειας του θα **ανακλασθεί** και θα παραμείνει στο μέσο που βρίσκεται το αρχικό κύμα και το υπόλοιπο της ενέργειας θα **διαθλασθεί** και θα μπει στο άλλο μέσο, ενώ συγχρόνως αλλάζει η διεύθυνση διάδοσης του διαθλώμενου αυτού κύματος. Τόσο η ανάκλαση όσο και η διάθλαση είναι φαινόμενα τα οποία έχουν πρωταρχική σημασία στη σεισμική διασκόπηση και για το λόγο αυτό θα τα μελετήσουμε λεπτομερώς.

Έστω ότι το μέτωπο  $AB$  επίπεδου ελαστικού κύματος προσπίπτει στην επίπεδη διαχωριστική επιφάνεια δύο μέσων,  $I$ ,  $II$ , στα οποία οι ταχύτητες διάδοσης του κύματος είναι  $v_1$ ,  $v_2$ , ενώ οι πυκνότητες των δύο μέσων είναι  $\rho_1$ ,  $\rho_2$ , αντίστοιχα (σχ.18, 19). Όταν το μέτωπο κύματος συναντήσει τη διαχωριστική επιφάνεια, κάθε κοινό σημείο του μετώπου κύματος και της διαχωριστικής επιφάνειας θα γίνει εστία δευτερογενών κυμάτων, σύμφωνα με

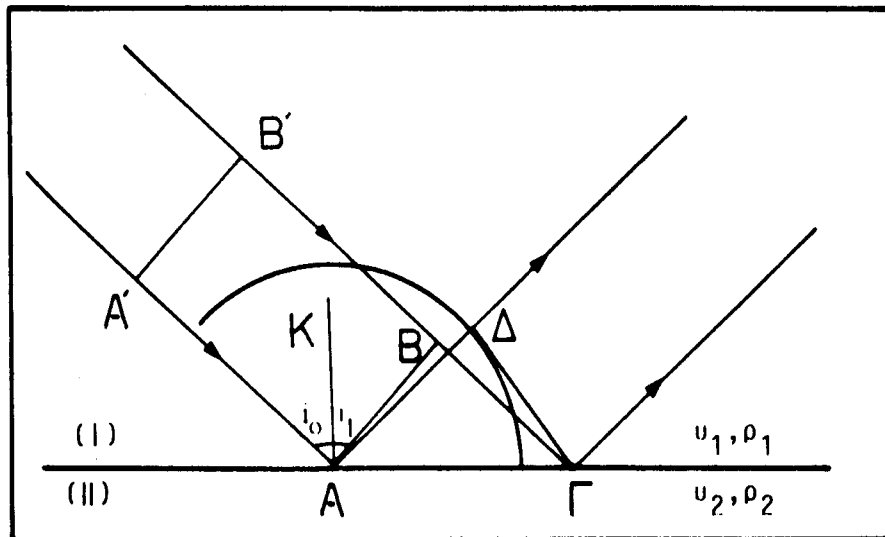
την αρχή του Huygens. Ορισμένα από τα κύματα αυτά θα διαδοθούν στο πρώτο μέσο (ανακλώμενα κύματα) ενώ άλλα θα διαδοθούν στο δεύτερο μέσο (διαθλώμενα κύματα).

### 3.4.6.1 Ανάκλαση των ελαστικών κυμάτων

Ας μελετήσουμε πρώτα τα ανακλώμενα κύματα με βάση την αρχή του Huygens. Έστω ότι το σημείο Β του μετώπου κύματος θα συναντήσει τη διαχωριστική επιφάνεια στο σημείο Γ σε χρόνο  $t$  μετά τη χρονική στιγμή που το Α συνάντησε τη διαχωριστική επιφάνεια (σχ.18). Κατά το χρόνο αυτό  $t$ , τα δευτερογενή κύματα που παράγονται στο Α και επιστρέφουν στο πρώτο μέσο I, θα έχουν φθάσει σε ημιπεριφέρεια ακτίνας  $A\Delta = v_1 t$  και γι' αυτό το νέο μέτωπο κύματος κατά το χρόνο αυτό θα είναι η εφαπτομένη,  $\Gamma\Delta$ , που φέρεται από το σημείο Γ στην ημιπεριφέρεια αυτή. Θα είναι  $B\Gamma = v_1 t = A\Delta$ , με συνέπεια τα ορθογώνια τρίγωνα  $AB\Gamma$  και  $A\Delta\Gamma$  να είναι ίσα και  $\angle B\Gamma A = \angle A\Gamma\Delta$ . Αλλά  $\angle B\Gamma A = i_0$ , όπου  $i_0$  είναι η **γωνία πρόσπτωσης** και  $\angle A\Gamma\Delta = i_1$  όπου  $i_1$  είναι η **γωνία ανάκλασης**, επειδή οι γωνίες αυτές έχουν τις πλευρές κάθετες μεταξύ τους. Συνεπώς,

$$i_0 = i_1 \quad (18)$$

Η σχέση αυτή εκφράζει το γνωστό **νόμο της ανάκλασης**, σύμφωνα με τον οποίον  
**«Η γωνία πρόσπτωσης είναι ίση με τη γωνία ανάκλασης».**



**Σχήμα 18.** Εφαρμογή της αρχής του Huygens για την απόδειξη του νόμου της ανάκλασης.

Στην περίπτωση κατά την οποία έχουμε κάθετη πρόσπτωση ( $i_0 = i_1 = 0$ ) ο λόγος του πλάτους,  $A_1$ , του ανακλώμενου κύματος προς το πλάτος  $A_0$ , του προσπίπτοντος κύματος δίνεται από τη σχέση

$$\frac{A_1}{A_0} = \frac{\rho_2 v_2 - \rho_1 v_1}{\rho_2 v_2 + \rho_1 v_1} \quad (19)$$

Το τετράγωνο του λόγου αυτού δίνει, σύμφωνα με την (9), το λόγο της ανακλώμενης ενέργειας,  $E_1$ , προς την προσπίπτουσα ενέργεια,  $E_0$ , και ονομάζεται **συντελεστής ανάκλασης, R**. Δηλαδή, είναι  $R = E_1/E_0$  ή

$$R = \frac{(\rho_2 v_2 - \rho_1 v_1)^2}{(\rho_2 v_2 + \rho_1 v_1)^2} \quad (20)$$

Το γινόμενο της ταχύτητας διάδοσης του κύματος επί την πυκνότητα του μέσου διάδοσης του κύματος,  $\rho v$ , λέγεται **ακουστική αγωγιμότητα** του μέσου, ενώ ο λόγος  $\delta = \rho_1 v_1 / \rho_2 v_2$  λέγεται **αντίθεση ακουστικής αγωγιμότητας** των δύο μέσων. Από τη σχέση (20) προκύπτει ότι

$$R = \frac{(\delta - 1)^2}{(\delta + 1)^2} \quad (21)$$

Δηλαδή, ο συντελεστής ανάκλασης εξαρτάται από την αντίθεση της ακουστικής αγωγιμότητας των δύο μέσων και είναι ανεξάρτητος από το αν το κύμα προσπίπτει στη διαχωριστική επιφάνεια από το μέσο I ή από το μέσο II.

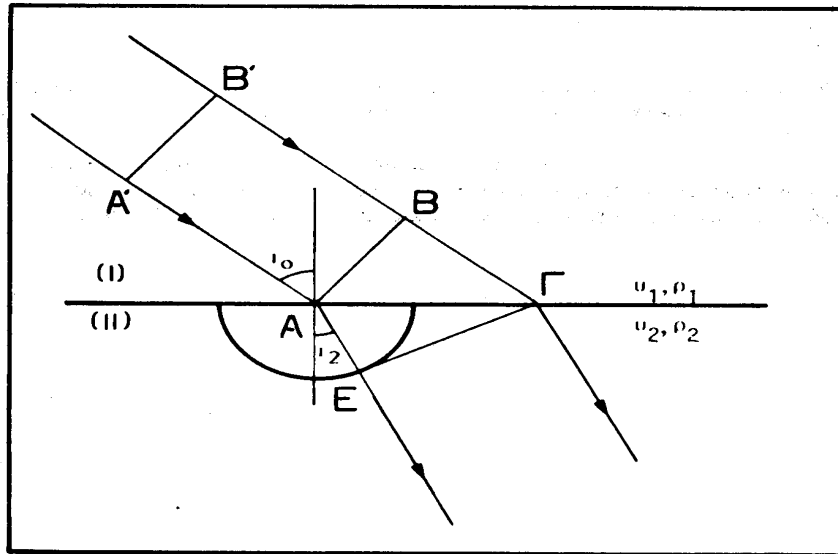
Επειδή οι ταχύτητες των ελαστικών κυμάτων στα πετρώματα της Γης μεταβάλλονται περισσότερο από τις πυκνότητες, ο συντελεστής ανάκλασης εξαρτάται κατά κύριο λόγο από την αντίθεση στις ταχύτητες.

### 3.4.6.2 Διάθλαση των ελαστικών κυμάτων

Ας θεωρήσουμε τα δευτερογενή κύματα που παράγονται στο σημείο A και διαδίδονται στο μέσο II, δηλαδή, τα διαθλώμενα ελαστικά κύματα (σχ.19). Κατά το χρόνο I που το κύμα διέτρεξε στο μέσο I την απόσταση  $B\Gamma = v_1 t$  τα δευτερογενή κύματα που παράγονται στο A και διαδίδονται στο μέσο II, δηλαδή τα διαθλώμενα κύματα, θα έχουν φθάσει σε ημιπεριφέρεια ακτίνας  $A\epsilon = v_2 t$  και το νέο μέτωπο κύματος κατά το χρόνο αυτό t, θα είναι η εφαπτομένη  $\Gamma\epsilon$  που φέρεται από το σημείο  $\Gamma$  στην περιφέρεια αυτή. Θα είναι  $B\Gamma = A\Gamma\eta\mu_1$  και  $A\epsilon = A\Gamma\eta\mu_2$ . Συνεπώς,  $v_1 t = A\Gamma\eta\mu_1$  και  $v_2 t = A\Gamma\eta\mu_2$ . Αν διαιρέσουμε τις δύο αυτές σχέσεις κατά μέλη, βρίσκουμε ότι

$$\frac{v_1}{v_2} = \frac{\eta\mu_1}{\eta\mu_2} \quad (22)$$

Αυτή εκφράζει το γνωστό νόμο του Snell.



**Σχήμα 19.** Εφαρμογή της αρχής του Huygens για την απόδειξη του νόμου της διάθλασης δηλαδή, του νόμου του Snell.

Από το νόμο αυτόν προκύπτει ότι όταν η  $v_2$  είναι μικρότερη από την  $v_1$  τότε και η γωνία  $i_2$  είναι μικρότερη από την  $i_1$  δηλαδή, η διαθλώμενη ακτίνα πλησιάζει προς την κάθετη στην επιφάνεια σε σχέση με την προσπίπτουσα. Αν, όμως, η  $v_2$  είναι μεγαλύτερη από την  $v_1$  η διαθλώμενη ακτίνα απομακρύνεται από την κάθετη και η  $i_2$  γίνεται  $90^\circ$  όταν η  $i_1$  αποκτήσει ορισμένη τιμή  $i_c$ , η οποία δίνεται από τη σχέση

$$\eta \mu i_c = \frac{v_1}{v_2} \quad (23)$$

Η γωνία  $i_c$ , λέγεται **ορική γωνία** και αντιστοιχεί στην γωνία πρόσπτωσης για την οποία η διαθλώμενη ακτίνα είναι παράλληλη προς τη διαχωριστική επιφάνεια. Για γωνίες πρόσπτωσης μεγαλύτερες της  $i_c$  δεν πραγματοποιείται, στην περίπτωση αυτή ( $v_2 > v_1$ ), διάθλαση και έχουμε **ολική ανάκλαση**.

Στην περίπτωση κάθετης πρόσπτωσης του κύματος στην επιφάνεια ( $i_0 = i_1 = 0$ ) ο λόγος του πλάτους,  $A_2$ , του διαθλώμενου κύματος προς το πλάτος,  $A_0$ , του προσπίπτοντος κύματος δίνεται από τη σχέση

$$\frac{A_2}{A_0} = \frac{2\rho_1 v_1}{\rho_2 v_2 + \rho_1 v_1} \quad (24)$$

Το τετράγωνο του λόγου αυτού δίνει το λόγο της διαθλώμενης ενέργειας  $E_2$ , προς την προσπίπτουσα ενέργεια,  $E_0$  και ονομάζεται συντελεστής διάδοσης,  $T$ . Δηλαδή, είναι

$$T = \frac{E_2}{E_0} = \frac{4\delta}{(\delta + 1)^2} \quad (25)$$

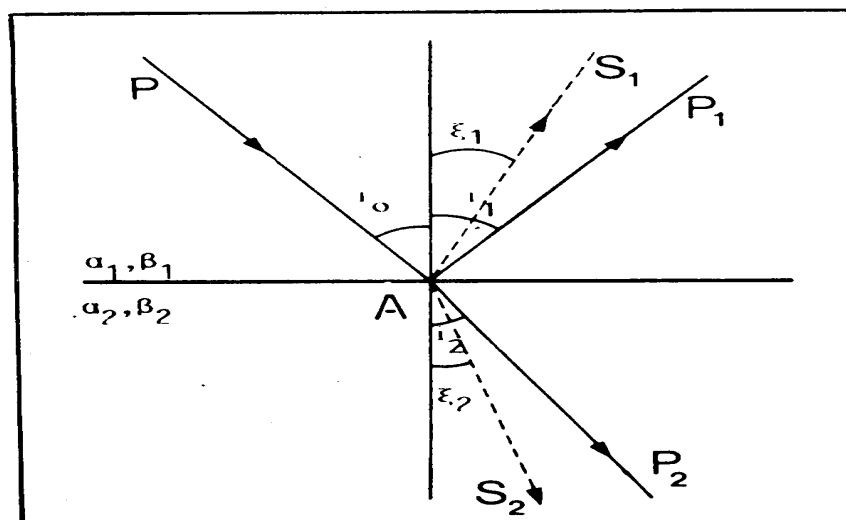
Από τις σχέσεις (21), (25) προκύπτει ότι

$$R + T = 1 \quad (26)$$

Δηλαδή, το άθροισμα του συντελεστή ανάκλασης και του συντελεστή διάδοσης είναι ίσο με τη μονάδα.

### 3.4.7 Γενικευμένος νόμος του Snell

Κατά την πρόσπτωση επιμήκους κύματος στη διαχωριστική επιφάνεια δύο μέσων, τα σημεία της επιφάνειας αυτής γίνονται εστίες τόσο επιμηκών ανακλώμενων και διαθλώμενων κυμάτων όσο και εγκάρσιων ανακλώμενων και διαθλώμενων κυμάτων. Έστω ότι σεισμική ακτίνα επιμήκους κύματος,  $P$ , προσπίπτει σε σημείο,  $A$ , της διαχωριστικής επιφάνειας των δύο μέσων (σχήμα 18). Στο σημείο αυτό θα παραχθεί μια ανακλώμενη σεισμική ακτίνα επιμήκους κύματος  $P_1$ , μία ανακλώμενη σεισμική ακτίνα εγκάρσιου κύματος  $S_1$ , μία διαθλώμενη σεισμική ακτίνα επιμήκους κύματος  $P_2$  και μία διαθλώμενη σεισμική ακτίνα εγκάρσιου κύματος  $S_2$  (σχ.20).



Σχήμα 20. Γενικευμένος νόμος του Snell.

Αν οι σεισμικές ακτίνες των κυμάτων P, P<sub>1</sub>, S<sub>1</sub>, P<sub>2</sub>, S<sub>2</sub> σχηματίζουν γωνίες i<sub>0</sub>, i<sub>1</sub>, ξ<sub>1</sub>, i<sub>2</sub>, ξ<sub>2</sub> αντίστοιχα, με την κάθετη στη διαχωριστική επιφάνεια και οι ταχύτητες των επιμηκών κυμάτων στα δύο μέσα είναι α<sub>1</sub>, α<sub>2</sub>, ενώ οι αντίστοιχες ταχύτητες των εγκαρσίων κυμάτων είναι β<sub>1</sub>, β<sub>2</sub>, ισχύουν οι σχέσεις

$$\frac{\alpha_1}{\eta\mu i_0} = \frac{\alpha_1}{\eta\mu i_1} = \frac{\beta_1}{\eta\mu \xi_1} = \frac{\alpha_2}{\eta\mu i_2} = \frac{\beta_2}{\eta\mu \xi_2} \quad (27)$$

Οι σχέσεις αυτές εκφράζουν το γενικευμένο νόμο του Snell, ο οποίος ορίζει ότι :

**«Τα ημίτονα των γωνιών που σχηματίζουν οι σεισμικές ακτίνες με την κάθετη στη διαχωριστική επιφάνεια δύο μέσων είναι ανάλογα των αντίστοιχων ταχυτήτων διάδοσης των κυμάτων».**

Ο γενικευμένος νόμος του Snell ισχύει βέβαια και στην περίπτωση που το κύμα το οποίο προσπίπτει στη διαχωριστική επιφάνεια είναι εγκάρσιο κύμα και υπάρχουν όχι μόνο εγκάρσια αλλά και επιμήκη ανακλώμενα και διαθλώμενα κύματα.

Είναι φανερό ότι τόσο ο νόμος της ανάκλασης, που εκφράζεται με τη σχέση (18), όσο και ο νόμος της διάθλασης που, εκφράζεται με τη σχέση (22), αποτελούν μερικές περιπτώσεις του γενικευμένου νόμου του Snell που εκφράζεται με την (27).

### 3.4.8 Περίθλαση των Ελαστικών Κυμάτων

Οι νόμοι της ανάκλασης και διάθλασης των ελαστικών κυμάτων, που αναφέραμε παραπάνω, ισχύουν μόνο στην περίπτωση κατά την οποία η διαχωριστική επιφάνεια των δύο μέσων (επιφάνεια αντίθεσης ακουστικής αγωγιμότητας) έχει μικρή καμπυλότητα και είναι σχετικά ομαλή (δεν υπάρχουν ασυνέχειες, κλπ). Όταν όμως, τα ελαστικά κύματα προσπίπτουν σε ασυνεχείς επιφάνειες ή επιφάνειες των οποίων οι ακτίνες καμπυλότητας είναι μικρότερες από το μήκος κύματος του ελαστικού κύματος που τις συναντάει (γωνιακές δομές, κλπ), τότε, δεν ισχύουν πια οι νόμοι της ανάκλασης και διάθλασης.

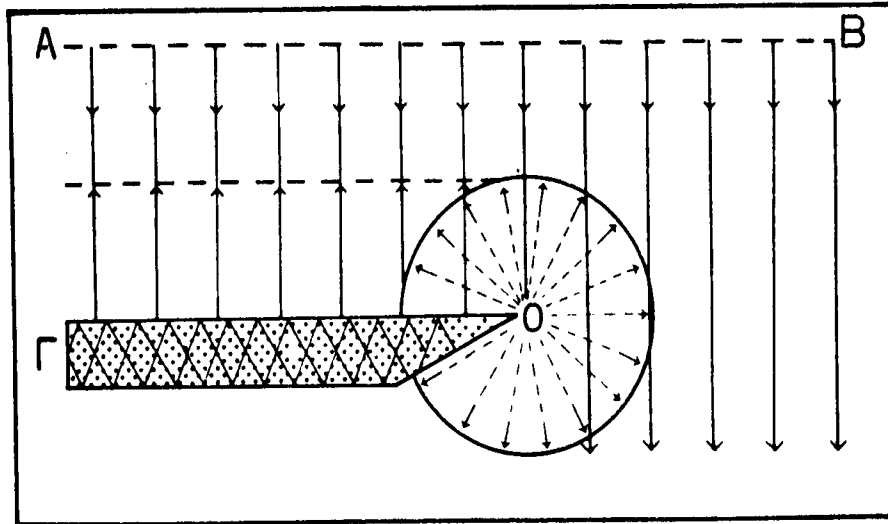
Κατά την πρόσπτωση των ελαστικών κυμάτων σε τέτοιες ανώμαλες δομές, αυτές γίνονται δευτερογενείς εστίες ακτινικής ακτινοβολίας ελαστικών κυμάτων με συνέπεια να φθάνουν κύματα και σε περιοχές όπου δεν αναμένονται σύμφωνα με τη θεωρία της ανάκλασης και διάθλασης. Το φαινόμενο αυτό λέγεται περίθλαση των ελαστικών κυμάτων.

Συνηθισμένες πηγές ελαστικών κυμάτων περίθλασης στη σεισμική διασκόπηση αποτελούν τα άκρα ρηγματωμένων στρωμάτων και μεμονωμένα αντικείμενα τα οποία βρίσκονται μέσα σε ομογενή στρώματα.

Στο σχήμα 21 παριστάνεται γραφικά η περίθλαση κύματος στο άκρο O, ρηγματωμένου στρώματος, ΟΓ. Επίπεδο κύμα μετώπου ΑΒ προσπίπτει κάθετα στο στρώμα όπου ανακλάται ολοκληρωτικά (συντελεστής ανάκλασης R = 1), ενώ το άκρο O γίνεται εστία ακτινικής ακτινοβολίας περιθλώμενων κυμάτων. Δεξιά του σημείου O θα φθάνουν τόσο τα απευθείας όσο και τα περιθλώμενα,

ενώ κάτω από το στρώμα φθάνουν μόνο περιθλώμενα κύματα. Είναι φανερό ότι η εμφάνιση των κυμάτων κάτω από το στρώμα δε μπορεί να ερμηνευθεί με τη θεωρία της ανάκλασης και διάθλασης.

Φάσεις περίθλασης εμφανίζονται συχνά στα εγγραφήματα κατά τη σεισμική διασκόπηση και είναι, συνήθως, δύσκολο να διακριθούν από τις φάσεις ανάκλασης και διάθλασης.



**Σχήμα 21.** Περίθλαση κύματος που προκαλείται στο άκρο O, ρηγματωμένου στρώματος ΟΓ (Kearey and Brooks 1984).

### 3.4.9 Ταχύτητες Διάδοσης των Ελαστικών Κυμάτων

Όπως έχουμε ήδη αναφέρει οι ταχύτητες των επιμηκών κυμάτων είναι αυτές που κατά κύριο λόγο ενδιαφέρουν τη σεισμική διασκόπηση, γιατί αυτές μπορούν να μετρηθούν με σημαντική ακρίβεια. Από τη σχέση (1) προκύπτει ότι η ταχύτητα των επιμηκών κυμάτων σε ελαστικό και ισότροπο μέσο εξαρτάται από τις ελαστικές σταθερές ( $\lambda$ ,  $\mu$ ) και την πυκνότητα ( $\rho$ ). Οι τιμές των ελαστικών σταθερών καθορίζονται από ενδομοριακές δυνάμεις και για αυτό δεν επηρεάζονται σημαντικά από την πίεση, ενώ η πυκνότητα επηρεάζεται έντονα από την πίεση.

Επειδή, τόσο η πίεση όσο και η πυκνότητα αυξάνεται με το βάθος μέσα στη Γη, αναμένεται, σύμφωνα με τη σχέση (1), ελάττωση της ταχύτητας διάδοσης των επιμηκών κυμάτων με το βάθος. Συμβαίνει, όμως, ακριβώς το αντίθετο. Η ταχύτητα αυξάνει όταν αυξάνει η πυκνότητα αλλά και με το βάθος μέσα στη Γη. Αυτό οφείλεται στο γεγονός ότι αυξάνονται έντονα οι ελαστικές σταθερές ( $\lambda$ ,  $\mu$ ) με το βάθος.

Στο σχήμα 22 δίνονται οι γραφικές παραστάσεις της ταχύτητας των επιμηκών και των εγκάρσιων κυμάτων σε συνάρτηση με την πυκνότητα, όπως προέκυψαν από εργαστηριακά κυρίως δεδομένα για ιζήματα και ιζηματογενή πετρώματα και για μεταμορφωμένα και εκρηξιγενή πετρώματα. Παρατηρούμε

ότι για μεταβολή της πυκνότητας μεταξύ  $1 \text{ gr/cm}^3$  και  $3 \text{ gr/cm}^3$ , η ταχύτητα των επιμηκών κυμάτων μεταβάλλεται μεταξύ  $1,5 \text{ Km/sec}$  και  $7 \text{ Km/sec}$ .

Ένα ουσιαστικό γνώρισμα που διακρίνει τα πετρώματα της Γης από ομογενή υλικά είναι το ότι τα πετρώματα έχουν κοκκώδη δομή με σημαντικά κενά (πόρους) μεταξύ των κόκκων. Έτσι, το πορώδες  $\phi$  ενός πετρώματος, δηλαδή, ο λόγος του όγκου των πόρων του πετρώματος προς τον συνολικό του όγκο καθορίζει την ταχύτητα διάδοσης των κυμάτων μέσα στο πέτρωμα αυτό σε σημαντικό βαθμό. Έχει δειχθεί (Wyllie et al 1958) ότι η ταχύτητα,  $\alpha$ , των επιμηκών κυμάτων σε πέτρωμα του οποίου το πορώδες είναι  $\phi$  δίνεται από τη σχέση

$$\frac{1}{\alpha} = \frac{\phi}{\alpha_f} + \frac{1-\phi}{\alpha_m} \quad (28)$$

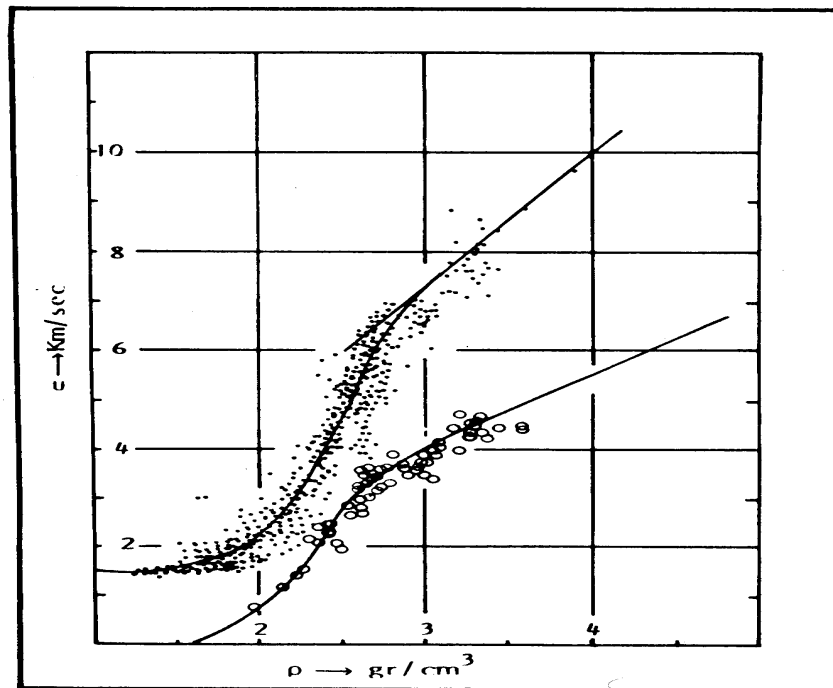
όπου  $\alpha_f$  είναι η ταχύτητα διάδοσης του κύματος μέσα στο ρευστό (υγρό, αέριο) με το οποίο είναι γεμάτοι οι πόροι του πετρώματος και  $\alpha_m$  η ταχύτητα διάδοσης του κύματος μέσα στο πέτρωμα όταν αυτό δεν έχει πόρους.

Η έντονη εξάρτηση της ταχύτητας από το πορώδες ισχύει βέβαια για πετρώματα των οποίων το πορώδες είναι σημαντικό, όπως είναι οι ψαμμίτες, αργιλικόι σχιστόλιθοι, ορισμένα είδη χαλαρών ασθεστολίθων και οι άργιλοι. Όμως, τα περισσότερα εκρηξιγενή και μεταμορφωμένα πετρώματα και οι συμπαγείς ασβεστόλιθοι, οι δολομίτες και οι εβαπορίτες έχουν πολύ μικρό πορώδες και για το λόγο αυτό η ταχύτητα διάδοσης των ελαστικών κυμάτων μέσα στα πετρώματα αυτά εξαρτάται αποκλειστικά σχεδόν από τις ελαστικές ιδιότητες των ορυκτών που συνθέτουν τα πετρώματα αυτά.

Από τα παραπάνω προκύπτει ότι η ταχύτητα διάδοσης των ελαστικών κυμάτων στη Γη είναι πολύπλοκη συνάρτηση πολλών παραγόντων. Μπορούμε, όμως, να πούμε ότι οι ταχύτητες διάδοσης των ελαστικών κυμάτων μέσα στα πετρώματα του φλοιού της Γης εξαρτάται από το είδος του πετρώματος (ορυκτά που το συνθέτουν, πορώδες), από την ηλικία του και από το βάθος που βρίσκεται μέσα στη Γη.

Στον πίνακα (3) δίνονται τα διαστήματα τιμών των ταχυτήτων διάδοσης των επιμηκών κυμάτων σε διάφορα είδη πετρωμάτων. Παρατηρούμε ότι γενικά οι ταχύτητες στα εκρηξιγενή και μεταμορφωμένα πετρώματα είναι μεγαλύτερες από τις ταχύτητες στα ιζηματογενή πετρώματα. Εξαιρετικά μικρές ταχύτητες ( $0,2-1 \text{ Km/sec}$ ) παρατηρούνται στα μη συνεκτικά υλικά που συνήθως συνθέτουν το εντελώς επιφανειακό στρώμα του φλοιού της Γης, το οποίο έχει συνήθως πάχος από  $4\text{m}$  μέχρι  $50\text{m}$  και δημιουργεί σοβαρά προβλήματα στην ερμηνεία των δεδομένων παρατήρησης στη σεισμική διασκόπηση.





**Σχήμα 22.** Ταχύτητες των επιμηκών κυμάτων (πάνω) και των εγκάρσιων κυμάτων (κάτω) σε συνάρτηση με την πυκνότητα (Nafe 1970).

Η εξάρτηση της ταχύτητας των επιμηκών κυμάτων από την ηλικία  $T$ , και το βάθος  $z$ , των ιζηματογενών πετρωμάτων (ψαμμίτες, αργιλικόι σχιστόλιθοι) εκφράζεται με τη σχέση

$$\alpha = K (zT)^{1/6} \quad (29)$$

όπου  $K$  είναι σταθερά της οποίας η τιμή είναι 46,5 όταν το  $z$  μετριέται σε μέτρα, η  $T$  σε χρόνια και η ταχύτητα σε μέτρα ανά δευτερόλεπτο.

<b>ΙΖΗΜΑΤΟΓΕΝΗ</b>	<b>α(Km/sec)</b>
Άμμος (ξηρή)	0,2 - 1,0
Άμμος (υγρή)	1,5 - 2,0
Άργιλος	1,0 - 2,5
Ψαμμίτης (Τριτογενής)	2,0 - 2,5
Ψαμμίτης (Λιθανθρακοφόρου)	4,0 - 4,5
Ασβεστόλιθος (Κρητιδικός)	2,0 - 2,5
Ασβεστόλιθος (Λιθανθρακοφόρου)	5,0 - 5,5
Ανυδρίτης	4,5 - 6,5
<b>ΠΥΡΙΓΕΝΗ ΚΑΙ ΜΕΤΑΜΟΡΦΩΜΕΝΑ</b>	
Γρανίτης	5,5 - 6,0
Σερπεντίνης	5,5 - 6,5
Γάβρος	6,5 - 7,0
Υπερβασικά	7,5 - 8,5

**Πίνακας 3.** Ταχύτητες των επιμηκών κυμάτων σε διάφορα πετρώματα της Γης.

### 3.4.10 Τρόποι Παραγωγής των Ελαστικών Κυμάτων στη Σεισμική Διασκόπηση

Η πηγή των ελαστικών κυμάτων που παράγονται τεχνητά για τους σκοπούς της σεισμικής διασκόπησης είναι ένας περιορισμένος χώρος μέσα στον οποίον γίνεται απότομη απελευθέρωση ενέργειας. Η ενέργεια αυτή προκαλεί έντονη μεταβολή του πεδίου των τάσεων στη γύρω περιοχή με συνέπεια τη δημιουργία ελαστικών κυμάτων τα οποία διαδίδονται μέσα στα επιφανειακά στρώματα του φλοιού της Γης για να φθάσουν στην επιφάνεια της και να καταγραφούν από κατάλληλα όργανα. Συνήθως, στις πηγές αυτές παράγονται κατά προτίμηση επιμήκη ελαστικά κύματα τα οποία κυρίως χρησιμοποιούνται στη σεισμική διασκόπηση.

Υπάρχουν διάφοροι τρόποι τεχνητής παραγωγής ελαστικών κυμάτων ανάλογα με τις συνθήκες που επικρατούν στην περιοχή (ξηρά, θάλασσα, κλπ) και τον επιδιωκόμενο σκοπό (βαθιά ή επιφανειακή διασκόπηση, διασκόπηση πετρελαίου ή μεταλλευμάτων, κλπ). Αναφέρονται εδώ οι περισσότερο χρησιμοποιούμενες πηγές ελαστικών κυμάτων.

**α) Τεχνητές εκρήξεις.** Οι τεχνητές εκρήξεις με δυναμίτη ή με άλλες εκρηκτικές ύλες ήταν η αποκλειστική σχεδόν πηγή των ελαστικών κυμάτων για τους σκοπούς της σεισμικής διασκόπησης μέχρι το 1953 και εξακολουθούν ακόμα να χρησιμοποιούνται σε μεγάλο βαθμό.

Οι τεχνητές εκρήξεις πραγματοποιούνται, συνήθως, σ' ορισμένο βάθος μέσα στο έδαφος σε τρύπες για να υπάρχει ισχυρή σύζευξη με τα πετρώματα ώστε μεγάλο ποσοστό της ενέργειας της έκρηξης να μετατρέπεται σε ελαστικά κύματα και να μη προκαλείται ζημιά στην επιφάνεια του εδάφους.

Οι εκρήξεις αποτελούν σχετικά φτηνή πηγή ενέργειας ελαστικών κυμάτων και δίνουν κύματα σχετικά μεγάλου φάσματος συχνοτήτων. Έχουν, επίσης, το πλεονέκτημα ότι η διάρκεια του σήματος που παράγουν είναι πολύ μικρή, γιατί η διάρκεια της έκρηξης είναι μικρή. Όμως, επειδή οι εκρηκτικές ύλες είναι επικίνδυνες, δημιουργούνται προβλήματα αποθήκευσης και μεταφοράς και απαιτούνται ειδικές άδειες και σχετική γραφειοκρατική εργασία. Παρουσιάζουν, επίσης, το μειονέκτημα ότι η πειραματική εργασία είναι χρονοβόρα, γιατί πρέπει να γίνουν τρύπες στο έδαφος. Πέρα απ' αυτά, δε μπορεί μ' αυτές να παραχθούν επαναλαμβανόμενα πανομοιότυπα ελαστικά κύματα που απαιτούν ορισμένες μοντέρνες τεχνικές επεξεργασίας σεισμικών δεδομένων κατά την εφαρμογή της μεθόδου της σεισμικής ανάκλασης.

Οι τεχνητές εκρήξεις στη θάλασσα παρουσιάζουν το πρόσθετο μειονέκτημα ότι το αέριο που απελευθερώνεται δημιουργεί **φουσαλίδα υψηλής πίεσης** η οποία ταλαντώνεται, με συνέπεια να αυξάνεται υπέρμετρα η διάρκεια του σήματος. Για το λόγο αυτό, οι εκρήξεις αυτές γίνονται κατά προτίμηση κοντά στην επιφάνεια της θάλασσας ώστε το αέριο της φουσαλίδας να φεύγει στην ατμόσφαιρα.

**β) Άλλες πηγές ελαστικών κυμάτων στην ξηρά.** Άλλες πηγές ενέργειας παραγωγής ελαστικών κυμάτων για τη σεισμική διασκόπηση στην ξηρά, εκτός από τις εκρήξεις, έχουν χρησιμοποιηθεί κατά τις τελευταίες τρεις δεκαετίες. Η ενέργεια σ' αυτές παράγεται στην επιφάνεια της Γης με απλά μηχανικά κτυπήματα που προκαλούνται στο έδαφος (π.χ. με πτώση βάρους ή με εκτόνωση αερίου) ή με διαδοχικά περιοδικά κτυπήματα του εδάφους. Από τα πιο γνωστά όργανα της πρώτης κατηγορίας είναι ο Thumper (πτώση βάρους) και ο Dinoseis (εκτόνωση αερίου) και της δεύτερης κατηγορίας (παραγωγή περιοδικών εδαφικών δονήσεων) ο Vibroseis.

Οι πηγές αυτές ενέργειας ελαστικών κυμάτων έχουν διάφορα πλεονεκτήματα, σε σχέση με τις τεχνητές εκρήξεις, μεταξύ των οποίων είναι το ότι δεν προκαλούν βλάβες στην επιφάνεια του εδάφους, δεν απαιτούν οικονομική δαπάνη για τρύπες στο έδαφος και δεν υπάρχουν προβλήματα απρόβλεπτων εκρήξεων.

Ο Thumper αποτελείται από τετραγωνική μάζα σιδήρου τριών τόνων η οποία μεταφέρεται με φορτηγό αυτοκίνητο και πέφτει από ύψος 3 m. Η μάζα συλλέγεται γρήγορα για να χρησιμοποιηθεί αμέσως πάλι καθώς το αυτοκίνητο μετακινείται σε νέα θέση. Χρησιμοποιούνται, συνήθως, περισσότερες μονάδες για να κερδίζεται χρόνος. Σήμερα η παραγωγή ελαστικών κυμάτων με πτώση βάρους γίνεται μόνο σε περιοχές (ερημικές, κλπ) όπου τα ογκώδη οχήματα μπορούν να μετακινηθούν εύκολα.

Ο Dinoseis αποτελείται από θάλαμο ο οποίος περιέχει εκρηκτικό αέριο (π.χ. προπάνιο και οξυγόνο) και είναι τοποθετημένος στο κάτω μέρος φορτηγού αυτοκινήτου. Η κάτω πλευρά του θαλάμου αποτελείται από οριζόντια πλάκα η οποία μπορεί να μετακινείται κατά την κατακόρυφη διεύθυνση. Κατά την πραγματοποίηση του πειράματος μετακινείται η πλάκα προς τα κάτω ώστε να βρίσκεται σε επαφή με το έδαφος και με ηλεκτρική εκκένωση πραγματοποιείται έκρηξη στο αέριο με συνέπεια την έντονη εκτόνωση του και την εξάσκηση ισχυρής πίεσης στο έδαφος μέσα από την πλάκα. Για να αυξηθεί η ενέργεια, πραγματοποιείται σύγχρονο πείραμα με τρεις ή τέσσερις μονάδες,

οι οποίες μπορεί να βρίσκονται και σε ορισμένη απόσταση μεταξύ τους, με συνέπεια το πλάτος του σήματος να αυξάνει. Η δυνατότητα αυτή αποτελεί και το πλεονέκτημα του Dinoseis σε σχέση με τον Thumper. Όμως και η μονάδα αυτή παρουσιάζει το μειονέκτημα ότι μπορεί να χρησιμοποιηθεί μόνο σε σχετικά ανοικτές περιοχές λόγω του μεγάλου όγκου της.

Ο Vibroseis είναι μια μονάδα η οποία παράγει ταλαντώσεις (συνήθως με υδραυλικό τρόπο) μικρού πλάτους και συνεχώς αυξανόμενης συχνότητας, οι οποίες μεταφέρονται στο έδαφος μέσα από μια χαλύβδινη τετραγωνική πλάκα που τοποθετείται σταθερά πάνω στο έδαφος. Η μονάδα είναι εγκατεστημένη στο κάτω μέρος φορτηγού αυτοκινήτου. Σε αντίθεση με τους άλλους τρόπους παραγωγής ελαστικών κυμάτων, κατά την εφαρμογή των οποίων επιδιώκεται η παραγωγή σήματος όσο το δυνατόν μικρότερης διάρκειας, στην περίπτωση του Vibroseis το σήμα διαρκεί περίπου 7 δευτερόλεπτα και η συχνότητα του μεταβάλλεται από 6 Hz μέχρι 8 Hz. Τα σήματα αυτά, μετά τη διαδότηση τους στα επιφανειακά στρώματα της Γης, συμβάλλουν (προστίθενται) με συνέπεια η καταγραφή που παίρνουμε να είναι πολύπλοκη. Όμως, με κατάλληλη μεθοδολογία επεξεργασίας των ψηφιακών καταγραφών (συσχέτιση με το αρχικό σήμα που παράγει το όργανο, κλπ) επιτυγχάνεται σήμα μικρής διάρκειας όμοιο με αυτό που παράγεται με τις τεχνητές εκρήξεις. Ο Vibroseis παράγει, με σχετικά εύκολο και γρήγορο τρόπο, επαναλαμβανόμενα όμοια σήματα μικρής ενέργειας. Έχει επίσης το πλεονέκτημα ότι δεν προκαλεί βλάβες στην επιφάνεια της Γης, όπως συμβαίνει με τα εκρηκτικά, και μπορεί να χρησιμοποιηθεί και σε κατοικημένες περιοχές. Για το λόγο αυτό, η χρησιμοποίηση του συστήματος αυτού επεκτείνεται συνεχώς.

**γ) Άλλες πηγές ελαστικών κυμάτων στη θάλασσα.** Εκτός από τις τεχνητές εκρήξεις υπάρχουν και διάφορες άλλες πηγές ελαστικών κυμάτων οι οποίες χρησιμοποιούνται κατά τη σεισμική διασκόπηση στη θάλασσα. Αυτές μπορούν να διακριθούν σ' αυτές που παράγουν ταλαντώσεις στο νερό με εκτόξευση αέρα ή νερού (αεροβόλα, υδροβόλα) και σ' αυτές που παράγουν ηχητικά κύματα στο νερό με μετατροπή ηλεκτρικής ενέργειας σε μηχανική (ηλεκτρικός εκκενωτής).

Τα αεροβόλα (AIR GUNS) περιέχουν σε θάλαμο αέρα υπό μεγάλη πίεση (10-15 MPa) ο οποίος εκτονώνεται στο νερό και προκαλεί δονήσεις. Υπάρχουν αεροβόλα διαφόρων διαστάσεων ώστε να μπορεί να επιτευχθεί η παραγωγή κυμάτων διαφόρων συχνοτήτων και ενεργειών. Υπάρχει και στην περίπτωση αυτή το πρόβλημα της εμφάνισης της φυσαλίδας υψηλής πίεσης, της οποίας η ταλάντωση έχει σα συνέπεια την αύξηση της διάρκειας του σήματος, αλλά οι συνέπειες της ελαττώνονται με διάφορες τεχνικές, όπως είναι η ελάττωση του ρυθμού εκτόνωσης του αέρα, η χρησιμοποίηση σειράς αεροβόλων με συνέπεια την ενίσχυση του σήματος και την αλληλοαναίρεση του αποτελέσματος των φυσαλίδων.

Στα **υδροβόλα** (water guns), συμπιεσμένος αέρας κινεί έμβολο το οποίο εκτοξεύει νερό μέσα στη θάλασσα με μεγάλη ταχύτητα ώστε να προκαλεί έντονη ταλάντωση στο θαλασσινό νερό και τη γένεση ελαστικών κυμάτων. Στην περίπτωση αυτή δεν υπάρχει φυσαλίδα αέρα με υψηλή πίεση και έτσι τα παραγόμενα κύματα είναι μικρής διάρκειας και σε αυτό πλεονεκτούν τα υδροβόλα σε σχέση με τα αεροβόλα.

Ο **ηλεκτρικός εκκενωτής** (Sparker) είναι από τα πιο γνωστά όργανα τα οποία μετατρέπουν ηλεκτρική ενέργεια σε ακουστική μέσα στο νερό της θάλασσας. Αυτό γίνεται με απευθείας εκφόρτιση πυκνωτών μεγάλης χωρητικότητας μέσα στο θαλασσινό νερό με σειρά από ηλεκτρόδια. Δημιουργείται έτσι, μια φυσαλίδα πλάσματος και παράγονται ακουστικά κύματα. Οι τάσεις που αναπτύσσονται είναι της τάξης των 4 KV και οι εντάσεις των παραγομένων ρευμάτων της τάξης των 200 A.

Υπάρχουν και άλλα όργανα μετατροπής ηλεκτρικής ενέργειας σε ενέργεια ηχητικών κυμάτων στο νερό με διάφορους μηχανισμούς, όπως είναι ο boomer (με ηλεκτρομαγνητικό μηχανισμό) και ο ringe (με πιεζοηλεκτρικό μηχανισμό).

Οι συχνότητες των τεχνητά παραγόμενων ελαστικών κυμάτων για τη σεισμική διασκόπηση ποικίλουν συνήθως από 1 Hz μέχρι 100 Hz αλλά σε ορισμένες περιπτώσεις μπορεί να φθάσουν μέχρι μερικές εκατοντάδες Hz. Έτσι, τα ελαστικά κύματα που παράγονται: α) με εκρήξεις σε φουρνέλα έχουν συχνότητες στο διάστημα 1 Hz - 20 Hz, β) από τον Vibroseis στο διάστημα 10 Hz - 100 Hz, γ) από τα αεροβόλα στο διάστημα 20 Hz - 300 Hz και δ) από τον ηλεκτρικό εκκενωτή στο διάστημα 50 Hz - 1000 Hz.

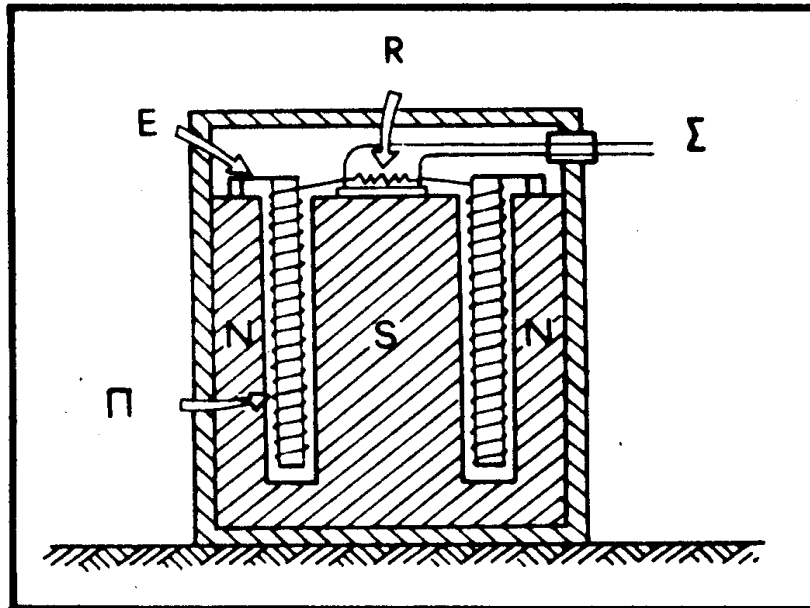
Οι συχνότητες αυτές είναι πολύ μεγαλύτερες από τις συχνότητες των σεισμικών κυμάτων που παράγονται με φυσικό τρόπο κατά την γένεση των σεισμών. Οι συχνότητες των επιμηκών σεισμικών κυμάτων κυμαίνονται μεταξύ 0,5 Hz και 10 Hz των δε επιφανειακών κυμάτων είναι αρκετά μικρότερες.

### **3.4.11 Όργανα Αναγραφής των Ελαστικών Κυμάτων στη Σεισμική Διασκόπηση.**

Τα όργανα που χρησιμοποιούνται στη σεισμική διασκόπηση για την αναγραφή των ελαστικών κυμάτων (εδαφικών κινήσεων) τα οποία παράγονται τεχνητά με τους τρόπους που ήδη αναφέραμε αποτελούνται: από το σύστημα που άμεσα αποκρίνεται στην εδαφική κίνηση και ονομάζεται **γεώφωνο** (για διασκόπηση στην ξηρά) ή **υδρόφωνο** (για διασκόπηση στη θάλασσα), από το σύστημα ενίσχυσης του σήματος εξόδου των γεωφώνων (ή υδροφώνων) το οποίο ονομάζεται **ενισχυτής** και από το σύστημα καταγραφής της σεισμικής κίνησης που ονομάζεται **καταγραφέας**.

#### **3.4.11.1 Γεώφωνο**

Τα γεώφωνα που χρησιμοποιούνται αποκλειστικά σχεδόν σήμερα βασίζονται στην ίδια αρχή με τα ηλεκτρομαγνητικά σεισμόμετρα κινούμενου πηνίου, Η αρχή λειτουργίας ενός τέτοιου οργάνου δίνεται στο σχήμα 23. Αποτελείται από ένα μόνιμο μαγνήτη (NSN) ο οποίος συνδέεται στερεά με το υπόβαθρο και από πηνίο (Π) ο οπλισμός του οποίου συνδέεται με το υπόβαθρο με ελατήριο (ελάσματα E) για να μπορεί να ταλαντώνεται ελεύθερα κατά την κατακόρυφη διεύθυνση



**Σχήμα 23.** Αρχή λειτουργίας γεωφώνου (Kearey and Brooks 1984). Δείχνονται ο μαγνήτης (NSN), το πηνίο (Π), το έλασμα εξάρτησης (E), η ηλεκτρική αντίσταση (R) και τα καλώδια (Σ) που συνδέουν το γεώφωνο με τον ενισχυτή.

Όταν τα ελαστικά κύματα φθάνουν στη θέση του γεωφώνου, το έδαφος ταλαντώνεται κατακόρυφα με συνέπεια ο μαγνήτης να πραγματοποιεί την ίδια ακριβώς ταλάντωση, λόγω της στερεάς σύνδεσης του με αυτό, ενώ η ταλάντωση του πηνίου είναι διαφορετική επειδή παρεμβάλλονται τα ελατήρια. Αποτέλεσμα αυτού είναι η σχετική κίνηση μεταξύ πηνίου και μαγνήτη, η μεταβολή της μαγνητικής ροής που περνάει από το πηνίο και η δημιουργία τάσης στα άκρα του (Σ) κατά την κατακόρυφη ταλάντωση του εδάφους (τάση εξόδου του γεωφώνου).

Η τάση εξόδου του γεωφώνου εξαρτάται όχι μόνο από ορισμένα χαρακτηριστικά μεγέθη του γεωφώνου (ένταση του μαγνητικού πεδίου που δημιουργεί ο μαγνήτης, αριθμός σπειρών και διάμετρος του πηνίου) αλλά και από την ταχύτητα του μαγνήτη (δηλαδή του εδάφους) σχετικά με το πηνίο. Η τάση αυτή για τα σύγχρονα ευαίσθητα γεώφωνα είναι της τάξης των 0,5-0,7 Volt για ταχύτητα του εδάφους ίση με 1 cm/sec.

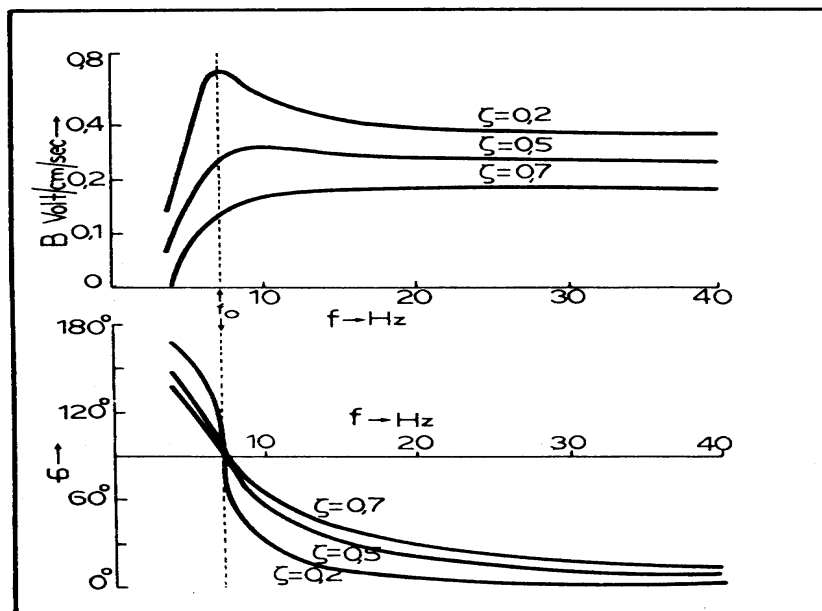
Το σύστημα που ταλαντώνεται σε σχέση με το έδαφος περιλαμβάνει το πηνίο και τον οπλισμό του (μαλακός σίδηρος). Αν το σύστημα αυτό έχει μάζα  $m$  και η σταθερά των ελατηρίων είναι  $\kappa$ , η **ιδιοσυχνότητα του γεωφώνου**, η οποία αποτελεί σταθερά του οργάνου, δίνεται από τη σχέση

$$f_0 = \frac{1}{2\pi} \sqrt{\frac{\kappa}{m}} \quad (30)$$

Η συχνότητα αυτή είναι 4 Hz - 15 Hz για τα γεώφωνα που χρησιμοποιούνται στη σεισμική ανάκλαση, ενώ για τα γεώφωνα που χρησιμοποιούνται στη σεισμική διάθλαση είναι 1 Hz - 10 Hz.

Για να περιορίζεται κατά το δυνατόν η ιδιοταλάντωση του πηνίου, ώστε η παραγόμενη τάση εξόδου να καθορίζεται αποκλειστικά σχεδόν από την πραγματική κίνηση του εδάφους, εφαρμόζεται στο σύστημα δύναμη ηλεκτρομαγνητικής **απόσβεσης** της ιδιοταλάντωσης του πηνίου. Αυτή οφείλεται στα ρεύματα Foucault, που παράγονται στο μαλακό σίδηρο και στο ρεύμα που διαρρέει εξωτερική αντίσταση (R στο σχήμα 23) η οποία συνδέεται στα άκρα του πηνίου. Η δύναμη απόσβεσης είναι ανάλογη της ταχύτητας της σχετικής κίνησης πηνίου-εδάφους και ο συντελεστής αναλογίας,  $c$ , λέγεται **συντελεστής απόσβεσης**. Η τιμή  $c_0$ , του συντελεστή απόσβεσης για την οποία το πηνίο φθάνει στην κατάσταση ηρεμίας στο συντομότερο δυνατό χρόνο λέγεται συντελεστής κρίσιμης απόσβεσης, ενώ ο λόγος  $c/c_0 = \zeta$  λέγεται **παράγοντας απόσβεσης**. Όταν είναι  $\zeta > 1$ ,  $\zeta = 1$  και  $\zeta < 1$  έχουμε **ισχυρή, κρίσιμη** και **ασθενή** απόσβεση, αντίστοιχα.

Ο λόγος,  $B$ , του πλάτους της τάσης εξόδου,  $V$ , (σε Volt) προς το πλάτος της ταχύτητας,  $v$ , (σε cm/s) του εδάφους εξαρτάται από τη συχνότητα ταλάντωσης του εδάφους,  $f$ , από την ιδιοσυχνότητα του γεωφώνου,  $f_0$ , και από τον παράγοντα απόσβεσης του γεωφώνου,  $\zeta$ . Ο λόγος αυτός ονομάζεται δυναμική μεγέθυνση του γεωφώνου. Εξάλλου, υπάρχει μια διαφορά φάσης,  $\phi$ , μεταξύ της ταχύτητας ταλάντωσης του εδάφους και της τάσης εξόδου, η οποία εξαρτάται από τους ίδιους παράγοντες που εξαρτάται και ο λόγος  $B$ , με συνέπεια να υπάρχει καθυστέρηση ( $t = \phi/2\pi f$ ) του χρόνου που η τάση αποκτάει ορισμένη τιμή σε σχέση προς το χρόνο που πραγματοποιείται η αντίστοιχη κίνηση του εδάφους.



**Σχήμα 24.** Δυναμική μεγέθυνση,  $B$ , του γεωφώνου (πάνω) και διαφορά φάσης,  $\phi$ , μεταξύ ταχύτητας εδάφους και τάσης εξόδου του γεωφώνου (κάτω) σε συνάρτηση με τη συχνότητα ταλάντωσης του εδάφους για τρεις τιμές του παράγοντα απόσβεσης (Telford et al. 1976).

Το πάνω μέρος του σχήματος 24 δίνει τη μεταβολή του λόγου,  $B$ , σε συνάρτηση με τη συχνότητα,  $f$ , της ταλάντωσης του εδάφους (καμπύλες απόκρισης) για γεώφωνο ιδιοσυχνότητας  $f_0 = 7$  Hz και για τρεις τιμές του παράγοντα απόσβεσης ( $\zeta = 0,2-0,5-0,7$ ), ενώ το κάτω μέρος του σχήματος δίνει την αντίστοιχη μεταβολή της διαφοράς φάσης,  $\varphi$ .

Παρατηρούμε (πάνω μέρος του σχήματος 24) ότι όταν η τιμή του παράγοντα απόσβεσης είναι μεγάλη (π.χ. 0,7) και η συχνότητα της εδαφικής κίνησης αρκετά μεγαλύτερη της ιδιοσυχνότητας του γεωφώνου, η καμπύλη απόκρισης είναι σχεδόν παράλληλη με τον άξονα των συχνοτήτων, δηλαδή, η  $B$  είναι σχεδόν ανεξάρτητη των συχνοτήτων. Αυτό έχει σα συνέπεια οι τιμές της τάσης εξόδου να είναι απλώς πολλαπλάσιες των αντίστοιχων τιμών της ταχύτητας του εδάφους επί ένα σταθερό παράγοντα (τον  $B$ ) ανεξάρτητο από τις συχνότητες ταλάντωσης του εδάφους, δηλαδή, να μεταβάλλονται οι τιμές της τάσης κατά ανάλογο τρόπο και ομοιόμορφα με τις τιμές της ταχύτητας του εδάφους σε όλο το χρονικό διάστημα που διαρκεί η εδαφική ταλάντωση.

Παρατηρούμε επίσης (κάτω μέρος του σχήματος 24) ότι, όταν ο παράγοντας απόσβεσης είναι μεγάλος (π.χ. 0,7) και η συχνότητα έχει σχετική μεγάλη τιμή, η διαφορά φάσης είναι σχεδόν γραμμική συνάρτηση της συχνότητας του εδάφους, πράγμα που έχει σα συνέπεια όλες οι τιμές της τάσης εξόδου να εμφανίζονται χρονικά μετατοπισμένες, σε σχέση με το χρόνο πραγματοποίησης της αντίστοιχης εδαφικής ταλάντωσης, κατά σταθερό χρονικό διάστημα, ανεξάρτητα από τη συχνότητα της εδαφικής ταλάντωσης.

Από τα παραπάνω προκύπτει ότι για σχετικά μεγάλη τιμή του παράγοντα απόσβεσης (π.χ. 0,7) και για σχετικά μεγάλες τιμές της συχνότητας της εδαφικής ταλάντωσης, σε σχέση με την ιδιοσυχνότητα του γεωφώνου, η μεταβολή της τάσης εξόδου με το χρόνο αποτελεί πιστή εικόνα (μη παραμορφωμένη) της μεταβολής της ταχύτητας της εδαφικής κίνησης με το χρόνο.

Η περιοχή συχνοτήτων των εδαφικών ταλαντώσεων είναι ορισμένη για κάθε πείραμα σεισμικής διασκόπησης. Οι συχνότητες των κυμάτων που οφείλονται σε ανακλάσεις στα επιφανειακά στρώματα της Γης κυμαίνονται μεταξύ 10 Hz και 100 Hz αλλά συνήθως είναι μεγαλύτερες των 20 Hz, ενώ τα κύματα που οφείλονται σε ανακλάσεις στα βαθύτερα στρώματα έχουν χαμηλότερες συχνότητες, μέχρι 5 Hz. Οι συχνότητες των κυμάτων διάθλασης βρίσκονται μεταξύ 1 Hz και 50 Hz. Συνεπώς, για να πετύχουμε καμπύλη απόκρισης παράλληλη προς τον άξονα των συχνοτήτων (ενίσχυση ανεξάρτητη της συχνότητας του κύματος), πρέπει να κατασκευάσουμε γεώφωνα με μικρή ιδιοσυχνότητα (αυξάνοντας τη μάζα ή ελαττώνοντας τη σταθερά του ελατηρίου, ή με μεγάλο παράγοντα απόσβεσης). Έτσι, η ιδιοσυχνότητα των γεωφώνων που χρησιμοποιούνται στη σεισμική ανάκλαση κυμαίνεται συνήθως μεταξύ 4 Hz και 15 Hz και των γεωφώνων που χρησιμοποιούνται στη σεισμική διάθλαση μεταξύ 1 Hz και 10 Hz, ενώ ο παράγοντας απόσβεσης έχει συνήθως τιμή μεταξύ 0,7 και 1,

Πρέπει όμως, να έχουμε υπόψη μας ότι η επιλογή μικρής ιδιοσυχνότητας για τα γεώφωνα, σε σχέση με τη συχνότητα των ελαστικών κυμάτων καθώς επίσης και η επιλογή μεγάλης τιμής παράγοντα απόσβεσης έχει σα συνέπεια την ελάττωση της ευαισθησίας (μεγέθυνσης) των γεωφώνων. Πρέπει συνεπώς, να



επιλέγουμε σταθερές των γεωφώνων ανάλογα με το επιδιωκόμενο αποτέλεσμα. Υπάρχουν π.χ. περιπτώσεις που αδιαφορούμε για την παραμόρφωση της τάσης εξόδου, σε σχέση με την ταχύτητα του εδάφους, και ενδιαφερόμαστε περισσότερο να έχει το γεώφωνο μεγάλη ευαισθησία. Τέτοια είναι η περίπτωση που θέλουμε να έχουμε έντονες τις πρώτες αφίξεις των κυμάτων για να τις διακρίνουμε από το θόρυβο. Αυτό το πετυχαίνουμε εύκολα με ελάττωση του παράγοντα απόσβεσης (π.χ.  $\zeta = 0,5$ ).

#### 3.4.11.2 Υδρόφωνο

Τα υδρόφωνα πίεσης (ή θαλάσσια γεώφωνα) είναι συνήθως πιεζοηλεκτρικού τύπου και τοποθετούνται μέσα στο νερό της θάλασσας σε βάθη μεταξύ 10m και 20m. Αυτά αποτελούνται από κατάλληλο πιεζοηλεκτρικό υλικό (τιτανιούχο Βάριο, κλπ). Όταν στο υλικό αυτό ασκείται πίεση, δημιουργείται διαφορά δυναμικού (ηλεκτρική τάση) μεταξύ των δύο επιφανειών του που είναι κάθετες στη διεύθυνση κατά την οποία ασκείται η πίεση.

Τα υδρόφωνα τοποθετούνται, συνήθως, σε ειδικούς θαλάμους πλαστικού κυλινδρικού καλωδίου (streamers) οι οποίοι είναι γεμάτοι με λάδι και περιέχουν και άλλα όργανα. Η πίεση του νερού, που οφείλεται στα ελαστικά κύματα που παράγονται τεχνητά και διαδίδονται μέσα στο νερό, είναι ανάλογη της ταχύτητας ταλάντωσης των υλικών σημείων του νερού και ασκείται στις πλευρές των υδροφώνων μέσα από τα τοιχώματα του πλαστικού θαλάμου. Δημιουργείται έτσι τάση στα άκρα του γεωφώνου. Η τάση αυτή εξαρτάται από την πίεση και συνεπώς από την ταχύτητα ταλάντωσης των υλικών σημείων του νερού κατά τη διάδοση των ελαστικών κυμάτων.

#### 3.4.11.3 Ενισχυτές

Το σήμα (τάση) εξόδου των γεωφώνων είναι συνήθως πολύ μικρό για να είναι δυνατή η απευθείας αναγραφή του χωρίς προηγούμενη ενίσχυση. Πέρα από το βασικό αυτό λόγο, υπάρχουν δύο ακόμα σημαντικοί λόγοι για τους οποίους επιβάλλεται η χρησιμοποίηση ενισχυτών του σήματος των γεωφώνων.

Ο δεύτερος λόγος για τον οποίο επιβάλλεται η χρήση ενισχυτών είναι ότι αυτοί φιλτράρουν την έξοδο των γεωφώνων και αυξάνουν έτσι το λόγο του σήματος προς το θόρυβο.

Ο τρίτος λόγος για τον οποίον χρησιμοποιούνται ενισχυτές είναι ότι οι τάσεις εξόδου των γεωφώνων κατά την αναγραφή μιας έκρηξης ποικίλουν εξαιρετικά και δεν είναι δυνατή η αναγραφή διαφόρων σημάτων που καλύπτουν μεγάλο διάστημα πλατών. Το διάστημα δυνατότητας των γεωφώνων, δηλαδή, ο λόγος του μέγιστου προς το ελάχιστο πλάτος του σήματος που μπορούν να ανιχνεύσουν είναι της τάξης του  $10^5$  ή 100 db ( $= 20 \log 10^5$ ), γιατί η τάση εξόδου στην αρχή, που η εδαφική κίνηση είναι ισχυρή, είναι της τάξης των λίγων δεκάτων του IVolt, ενώ στο τέλος, που η εδαφική κίνηση πλησιάζει το μέγεθος του εδαφικού θορύβου, είναι της τάξης του  $1 \mu V (= 10^{-6} V)$ . Συνεπώς, ο ενισχυτής πρέπει να έχει τη δυνατότητα καθορισμού του διαστήματος αξιόπιστης ανίχνευσης των σημάτων.

Οι σύγχρονοι ενισχυτές, οι οποίοι περιλαμβάνουν ηλεκτρονικά κυκλώματα στερεάς κατάστασης για να είναι μικρών διαστάσεων, έχουν μέγιστη ενίσχυση της τάξης του  $10^5$  (100db). Δηλαδή, όταν η τάση εισόδου τους είναι 10μV, η τάση εξόδου τους είναι IV. Η μέγιστη αυτή ενίσχυση μπορεί πολλές φορές να φθάσει μέχρι  $10^7$  (140 db). Μικρότερες ενισχύσεις μπορεί να επιτευχθούν με ειδικό διακόπτη, ο οποίος ελαττώνει την ενίσχυση κατά στάδια.

Η ενίσχυση μεταβάλλεται αυτόματα κατά τη διάρκεια της αναγραφής ώστε να γίνεται περιορισμός (συμπίεση) του διαστήματος δυνατότητας. Αυτό επιτυγχάνεται με ειδικό κύκλωμα το οποίο ονομάζεται AGC (Automatic Gain Control) και το οποίο μετράει το σήμα εξόδου επί ορισμένο μικρό χρονικό διάστημα για να ρυθμίσει την ενίσχυση έτσι ώστε η τάση εξόδου να είναι σχεδόν σταθερή και ανεξάρτητη από τις τιμές της τάσης εισόδου.

Οι καμπύλες απόκρισης των ενισχυτών που χρησιμοποιούνται στη σεισμική διασκόπηση ανάκλασης (σήματα 10-100Hz) και διάθλασης (σήματα 1-50Hz) είναι παράλληλες προς τον άξονα των συχνοτήτων από 1 Hz μέχρι 200 Hz ώστε να μη παραμορφώνεται το σήμα εξόδου, το οποίο δίνουν στους καταγραφείς, σε σχέση με το σήμα εισόδου, το οποίο παίρνουν από τα γεώφωνα. Οι ενισχυτές που χρησιμοποιούνται στη σεισμική διασκόπηση των επιφανειακών στρωμάτων (<200m) της Γης (διασκόπηση μεταλλευμάτων, κλπ), όπου τα ελαστικά κύματα είναι μεγάλων συχνοτήτων, έχουν καμπύλες απόκρισης παράλληλες προς τον άξονα των συχνοτήτων, πολλές φορές μέχρι τα 500 Hz.

Οι σεισμικοί ενισχυτές έχουν ένα αριθμό φίλτρων (κατάλληλα ηλεκτρονικά κυκλώματα) για να απαλλάσσουν, κατά το δυνατόν, την αναγραφή από ανεπιθύμητο θόρυβο ή από σήματα ελαστικών κυμάτων για τα οποία δεν ενδιαφερόμαστε. Συνήθως, παρέχεται η δυνατότητα επιλογής της ελαχίστης και μέγιστης συχνότητας των σημάτων για τα οποία ενδιαφερόμαστε και εμποδίζεται ο εκτός των ορίων αυτών «θόρυβος» να εμφανιστεί στην έξοδο του ενισχυτή.

### 3.4.12 Καταγραφείς

Υπάρχουν δύο βασικοί τρόποι καταγραφής των σεισμικών σημάτων, ο αναλογικός τρόπος καταγραφής και ο ψηφιακός τρόπος καταγραφής.

**α) Αναλογική καταγραφή.** Οι καταγραφές των τεχνητών δονήσεων κατά τα πρώτα τριάντα χρόνια της σεισμικής διασκόπησης γίνονταν απευθείας πάνω σε φωτογραφική ταινία κατά ανάλογο τρόπο που γίνονταν και γίνονται ακόμα σε σημαντικό βαθμό οι αναγραφές των σεισμών. Η καταγραφή αυτή γίνεται ως εξής:

Η έξοδος του ενισχυτή διαβιβάζεται στους ακροδέκτες κατοπτρικού γαλβανομέτρου στον καθρέφτη του οποίου ανακλάται φωτεινή δέσμη η οποία καταλήγει τελικά σε φωτογραφική ταινία. Κατά την ταλάντωση του εδάφους δημιουργείται ηλεκτρικό σήμα στα άκρα του γεωφώνου (ή υδροφώνου) το οποίο, μετά την ενίσχυση του, διαβιβάζεται στους ακροδέκτες του γαλβανομέτρου. Ο καθρέφτης του γαλβανομέτρου μπαίνει σε αντίστοιχη ταλάντωση η οποία τελικά μεταβιβάζεται στη φωτογραφική ταινία και

γράφεται με τη μορφή συνεχούς γραμμής. Η συνεχής αυτή καταγραφή του σήματος λέγεται **αναλογική καταγραφή**.

Πάνω στην ταινία που γράφονται τα ελαστικά κύματα, σημειώνεται αυτόματα και ο χρόνος πραγματοποίησης της έκρηξης. Η αναγραφή του χρόνου της έκρηξης πραγματοποιείται με σύνδεση της θέσης της έκρηξης με τη θέση της αναγραφής, με καλώδιο στην περίπτωση της εργασίας ανάκλασης και ραδιοφωνικά στην περίπτωση της εργασίας διάθλασης. Πάνω στην ταινία σημειώνεται επίσης ο χρόνος, με γραμμές κάθετες προς τη διεύθυνση μετάθεσης αυτής. Οι αναγραφές αυτές σημειώνονται, συνήθως, ανά 0,01 sec ή ανά 0,005 sec και είναι εντονότερες ανά 0,1 sec για να διευκολύνεται η ανάγνωση.

Γύρω στις αρχές της δεκαετίας του 1950 άρχισε η αναγραφή των σημάτων κατά συνεχή (αναλογικό) επίσης τρόπο πάνω σε **μαγνητικές ταινίες**. Οι αναλογικοί μαγνητικοί καταγραφείς έχουν, συνήθως, κεφαλές για να αναγράφουν συγχρόνως με πολλά παράλληλα κανάλια (μέχρι 50). Αρχικά, η έξοδος του ενισχυτή συνδεόταν απευθείας στην κεφαλή του μαγνητικού καταγραφέα και προκαλούσε μαγνήτιση στην ταινία ανάλογη με την ένταση του ρεύματος και συνεπώς ανάλογη με το πλάτος του σήματος. Αργότερα, η απευθείας καταγραφή αντικαταστάθηκε με έμμεση καταγραφή που περιλαμβάνει διαμόρφωση κατά συχνότητα ή κατά πλάτος, γιατί με τον τρόπο αυτό μειώνεται ο θόρυβος και μπορεί να γίνει καταγραφή σημάτων μεγαλύτερου διαστήματος πλατών. Τα δεδομένα που είναι γραμμένα σε μαγνητική ταινία μετατρέπονται κατόπιν σε οπτική καταγραφή (play back) για να είναι δυνατή η παρακολούθηση των σημάτων και η ερμηνεία τους.

**β) Ψηφιακή καταγραφή.** Η εισαγωγή της ψηφιακής καταγραφής στη σεισμική διασκόπηση αποτέλεσε σταθμό στην ανάπτυξη της διασκόπησης αυτής. Ενώ στην αναλογική καταγραφή το σήμα παριστάνεται με τη συνεχή καταγραφή μιας ποσότητας (ηλεκτρικής τάσης, κλπ), κατά την ψηφιακή καταγραφή το σήμα παριστάνεται με σειρά αριθμών οι οποίοι αποτελούν μέτρο της τιμής της ποσότητας ανά ίσα χρονικά διαστήματα (π.χ. ανά 2 msec).

Κατά την ψηφιακή καταγραφή δεν εφαρμόζεται το δεκαδικό σύστημα, που χρησιμοποιεί δέκα ψηφία και αποτελεί τη βάση της συνηθισμένης αριθμητικής μας, αλλά το **δυαδικό σύστημα**, που χρησιμοποιεί αντί δέκα δύο μόνο ψηφία, το 0 και το 1. Έτσι, όπως ο αριθμός 3217 στο δεκαδικό σύστημα αποτελεί συνοπτική αναγραφή του αριθμού  $7 \times 10^0 + 1 \times 10^1 + 2 \times 10^2 + 3 \times 10^3$  έτσι και ο αριθμός 1011 στο δυαδικό σύστημα αποτελεί συνοπτική αναγραφή του αριθμού  $1 \times 2^0 + 1 \times 2^1 + 0 \times 2^2 + 1 \times 2^3$  ο οποίος στο δεκαδικό σύστημα είναι ο 11.

Η χρησιμοποίηση του δυαδικού συστήματος παρουσιάζει το πλεονέκτημα ότι έχει μόνο δύο ψηφία, το 0 και το 1, και έτσι δύο μόνο συνθήκες (ναι ή όχι) αρκούν για να παραστήσουν δυαδικούς αριθμούς, όπως π.χ. είναι το άνοιγμα (1) ή το κλείσιμο (0) ενός διακόπτη, η μαγνήτιση (1) ή η μη μαγνήτιση (0) ενός τμήματος μαγνητικής ταινίας, θετικός τετραγωνικός παλμός (1) ή αρνητικός τετραγωνικός παλμός (0). Κάθε μία συνθήκη (π.χ. παλμός) που παριστάνει το 1 ή το 0 ονομάζεται bit και η σειρά των bit που δίνει την τιμή της ποσότητας λέγεται **λέξη**.

Κατά την ψηφιακή καταγραφή, τα αναλογικά σήματα της εξόδου ενός γεωφώνου (ή ενός αναλογικού ενισχυτή) **ψηφιοποιούνται**, δηλαδή, λαμβάνονται τιμές της τάσης εξόδου ανά ίσα χρονικά διαστήματα με ηλεκτρονικό κύκλωμα

ADC (Analog to Digital Converter) και μετατρέπονται στο δυαδικό σύστημα για να καταγραφούν σε μαγνητική ταινία. Οι μαγνητικές ταινίες έχουν συνήθως πλάτος μισής ή μιας ίντσας. Για ταινίες μισής ίντσας ο μαγνητικός καταγραφέας έχει συνήθως εννιά κεφαλές. Έτσι, μια λέξη με 6 bits γράφεται σε μια σειρά (byte), δηλαδή σε μια γραμμή εγκάρσια της ταινίας, ενώ οι υπόλοιπες τρεις θέσεις της σειράς χρησιμοποιούνται για την καταγραφή πρόσθετων πληροφοριών. Αν η λέξη έχει περισσότερα από εννιά bits χρησιμοποιείται και άλλη σειρά της ταινίας. Όταν η ταινία είναι μιας ίντσας χρησιμοποιούνται 21 κεφαλές. Το ψηφίο 1 δηλώνεται με απλή μαγνήτιση του αντίστοιχου τμήματος (θέσης) της ταινίας, ενώ το ψηφίο 0 δηλώνεται με τη μη μαγνήτιση της αντίστοιχης θέσης της ταινίας.

Κατά την ψηφιακή καταγραφή μπορεί να χρησιμοποιηθεί αναλογικός ενισχυτής. Σήμερα, όμως, χρησιμοποιούνται ψηφιακοί ενισχυτές, επειδή αυτοί έχουν διάφορα πλεονεκτήματα, μεταξύ των οποίων είναι το ότι έχουν μεγαλύτερο διάστημα δυναμότητας (dynamic range). Οι ενισχυτές αυτοί είναι, συνήθως, δυαδικής μεγέθυνσης (binary-gain), δηλαδή, η ενίσχυση σε κάθε βήμα (κάθε στροφή του διακόπτη) διπλασιάζεται σε σχέση προς την προηγούμενη τιμή της ή όπως συνηθέστερα λέγεται η ενίσχυση αυξάνεται κατά 6 db ( $20 \log 2 = 6$ ) σε κάθε βήμα.

Η ψηφιακή καταγραφή και επεξεργασία των σεισμικών δεδομένων περιλαμβάνει μια μακρά σειρά διαδικασιών οι οποίες γίνονται σε χρόνο της τάξης των μικροδευτερολέπτων. Η όλη διαδικασία ελέγχεται από χρονόμετρο κρυστάλλου το οποίο δίνει τον πραγματικό χρόνο (real time) ανά σταθερά χρονικά διαστήματα με σειρά παλμών ορισμένου σχήματος. Ο χρόνος αυτός γράφεται με ψηφιακή μορφή σε προσδιορισμένες θέσεις της μαγνητικής ταινίας.

Ενώ η ψηφιακή μορφή των σεισμικών δεδομένων είναι κατάλληλη για καταγραφή και επεξεργασία, η αναλογική τους μορφή είναι περισσότερο κατάλληλη για έλεγχο της ομαλής λειτουργίας των διαφόρων μονάδων και βοηθάει επίσης σημαντικά στην ερμηνεία των δεδομένων. Για το λόγο αυτό, συνήθως, τα ψηφιακά δεδομένα μετατρέπονται τελικά σε αναλογική μορφή με κύκλωμα DAC (Digital to Analog Converter). Κατά τη διαδικασία αυτή, που είναι γνωστή ως play back, κάθε θέση (bit) της μαγνητικής ταινίας δημιουργεί ή δε δημιουργεί σήμα αν είναι ή δεν είναι μαγνητισμένη, αντίστοιχα, και δίνεται έτσι η τιμή της τάσης στο δυαδικό σύστημα και στη συνέχεια μετατρέπεται στο δεκαδικό σύστημα. Επειδή οι τιμές δίνονται κατά ασυνεγή τρόπο, χρησιμοποιούνται φίλτρα αποβολής των υψηλών συχνοτήτων για να εξομαλύνονται οι τιμές και να αντιστοιχούν σε ομαλή καμπύλη. Οι εξομαλυμένες τιμές ενισχύονται κατόπιν ανάλογα με το σύστημα καταγραφής που διαθέτουμε και δίνονται σε οπτική μορφή.

Η ψηφιακή καταγραφή παρουσιάζει τόσο σοβαρά πλεονεκτήματα σε σχέση με την αναλογική ώστε να τείνει να την αντικαταστήσει σχεδόν ολοκληρωτικά. Έτσι, ενώ το διάστημα δυναμότητας στην αναλογική καταγραφή είναι της τάξης των 45 db στην ψηφιακή καταγραφή αυτό είναι της τάξης των 156 db. Η ψηφιακή καταγραφή παρέχει τεράστιες δυνατότητες επεξεργασίας των σεισμικών δεδομένων. Με κατάλληλο προγραμματισμό

γίνεται απευθείας επεξεργασία με ψηφιακό ηλεκτρονικό υπολογιστή των δεδομένων που είναι γραμμένα με ψηφιακή μορφή σε μαγνητική ταινία.

Παρά τα πλεονεκτήματα αυτά της ψηφιακής καταγραφής, η αρχική μορφή των δεδομένων (γεώφωνα, υδρόφωνα) και η τελική τους μορφή είναι αναλογική.

### 3.4.13 Εδαφικός Θόρυβος

Στις αναγραφές των γεωφώνων, οι οποίες λαμβάνονται κατά την πραγματοποίηση των σεισμικών διασκοπήσεων, εμφανίζονται και εδαφικές ταλαντώσεις οι οποίες είναι ανεπιθύμητες, γιατί εμποδίζουν την ακριβή διάκριση των σημάτων των οποίων οι χρόνοι άφιξης πρέπει να μετρούνται με ακρίβεια. Οι ανεπιθύμητες αυτές εδαφικές ταλαντώσεις ονομάζονται **εδαφικός θόρυβος**, ενώ οι εδαφικές ταλαντώσεις από τις οποίες λαμβάνονται χρήσιμες πληροφορίες για τη σεισμική διασκόπηση ονομάζονται **σήματα**.

Η ποιότητα των καταγραφών κατά τη σεισμική διασκόπηση και ο βαθμός αξιοποίησης τους καθορίζεται σε μεγάλο βαθμό από το λόγο, S/N, του πλάτους, S, του σήματος προς το πλάτος, N, του θορύβου. Τεράστια προσπάθεια έχει γίνει μέχρι σήμερα για την όσο το δυνατόν αύξηση του λόγου αυτού.

Ο εδαφικός θόρυβος διακρίνεται σε **συναφή θόρυβο** (coherent noise) ο οποίος παρατηρείται με παρόμοια μορφή στις αναγραφές διαφόρων γεωφώνων τα οποία βρίσκονται σε διάφορες θέσεις και μπορεί να προβλεφθεί η μορφή του σε μια θέση από τις αναγραφές του σε κοντινές θέσεις, και σε **μη συναφή θόρυβο** (incoherent noise) ο οποίος δεν έχει αυτές τις ιδιότητες.

Ο συναφής θόρυβος μπορεί να οφείλεται σε κατακόρυφη διάδοση της ελαστικής ενέργειας ή σε οριζόντια διάδοση της και μπορεί η αναγραφή του σε μια ορισμένη θέση να είναι επαναλήψιμη. Ο συναφής θόρυβος μπορεί να είναι επιφανειακά ελαστικά κύματα, ανακλάσεις σε σχετικά ομαλές επιφανειακές δομές, εδαφικές κινήσεις που προκαλούνται από μέσα συγκοινωνίας, κλπ. Για την ελάττωση του συναφούς εδαφικού θορύβου εφαρμόζονται τεχνικές οι οποίες βασίζονται στις ιδιότητες της συνάφειας, στη διεύθυνση διάδοσης του θορύβου (οριζόντια ή κατακόρυφη) και στην επαναληψιμότητά του.

Ο μη συναφής θόρυβος, ο οποίος παρουσιάζει τυχαία χωρική κατανομή και είναι επαναλήψιμος, οφείλεται σε διασπορά της ελαστικής ενέργειας σε ανώμαλες και ανομοιογενείς επιφάνειες. Ο επαναλήψιμος τυχαίος θόρυβος προκαλείται από τον αέρα ο οποίος θέτει σε ταλάντωση τα γεώφωνα ή τις ρίζες των δένδρων, από το περπάτημα των ανθρώπων και ζώων, κλπ.

### 3.4.14 Παράδειγμα Τρόπου Εφαρμογής των Μεθόδων Σεισμικής Διασκόπησης

Οι σεισμικές μέθοδοι γεωφυσικής διασκόπησης βασίζονται στην κατασκευή πειραματικών **καμπύλων χρόνων διαδρομής**, δηλαδή, των γραφικών παραστάσεων των χρόνων διαδρομής,  $T_i$ , των ελαστικών κυμάτων (ανακλωμένων, διαθλώμενων) σε συνάρτηση με τις αποστάσεις,  $\Delta_i$  των γεωφώνων από την πηγή των ελαστικών κυμάτων και στη σύγκριση των πειραματικών αυτών σχέσεων

$$T_i = f(\Delta_i) \quad (31)$$

με θεωρητικές σχέσεις  $T = f(\Delta, u, z)$  οι οποίες εξάγονται για θεωρητικά μοντέλα και στις οποίες υπεισέρχονται ως παράμετροι η ταχύτητα,  $u$ , των ελαστικών (επιμηκών) κυμάτων και το βάθος,  $z$ , μέσα στη Γη. Από τη σύγκριση αυτή των πειραματικών με τις θεωρητικές σχέσεις καθορίζεται η ταχύτητα,  $u$ , σε διάφορα βάθη,  $z$ , δηλαδή, καθορίζεται η σχέση

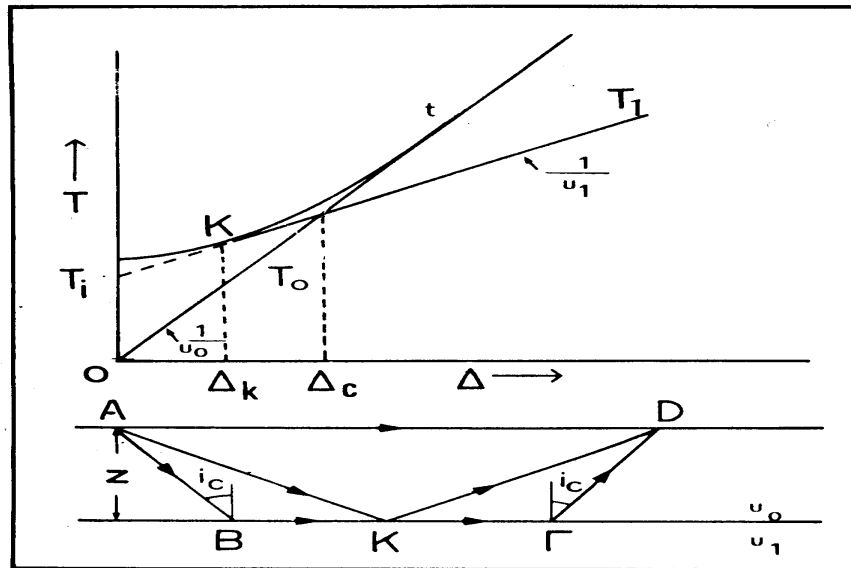
$$u = F(z) \quad (32)$$

η οποία εκφράζει τη γεωφυσική δομή του χώρου όπου έγινε η σεισμική διασκόπηση.

Οι χρόνοι,  $T_i$ , μπορεί να είναι οι χρόνοι διαδρομής των «απευθείας» και των «διοθλωμένων» κυμάτων, οπότε έχουμε εφαρμογή της μεθόδου της διάθλασης, ή οι χρόνοι διαδρομής των «ανακλωμένων» κυμάτων, οπότε έχουμε εφαρμογή της μεθόδου της ανάκλασης.

Για την κατανόηση του τρόπου εφαρμογής των δύο αυτών μεθόδων θα δείξουμε εδώ πώς βγαίνουν οι αναλυτικές (αλγεβρικές) μορφές της εξίσωσης  $T = f(\Delta, u, z)$  των θεωρητικών καμπύλων χρόνων διαδρομής των απευθείας, των διαθλωμένων και των ανακλωμένων ελαστικών κυμάτων στην απλή περίπτωση κατά την οποία η δομή αποτελείται από ένα οριζόντιο στρώμα πάχους  $z$  στο οποίο η ταχύτητα διάδοσης των ελαστικά κυμάτων είναι σταθερή,  $u_1$ , και το οποίο βρίσκεται πάνω σε ημιχώρο στον οποίο η ταχύτητα είναι επίσης σταθερή,  $u_0$ , αλλά μεγαλύτερη της ταχύτητας των κυμάτων στο οριζόντιο στρώμα ( $u_1 > u_0$ ) που βρίσκεται από πάνω (σχήμα 25). Καθορισμός της δομής στη συγκεκριμένη περίπτωση σημαίνει καθορισμό των ταχυτήτων  $u_0$ ,  $u_1$  και του πάχους  $z$  του στρώματος.

Σε σημείο  $A$ , της επιφάνειας της Γης παράγονται ελαστικά κύματα, με μια από τις Μεθόδους που έχουμε ήδη αναφέρει, τα οποία καταγράφονται από γεώφωνα που είναι κατανεμημένα στην επιφάνεια του εδάφους κατά μήκος γραμμής (τομής) η οποία περνάει από το σημείο  $A$  της πηγής των κυμάτων (σχήμα 25, κάτω).



**Σχήμα 25.** Σεισμικές ακτίνες των απευθείας κυμάτων (AD), των διαθλωμένων κυμάτων (ABΓD) και των ανακλωμένων κυμάτων (AKD) στην περίπτωση στρώματος που βρίσκεται πάνω από ημιχώρο (κάτω) και καμπύλες χρόνων διαδρομής των κυμάτων αυτών (πάνω).

Τα κύματα που παράγονται στη πηγή A, μπορούν να φθάσουν στη θέση D, ενός γεωφώνου ακολουθώντας τρεις διαφορετικούς δρόμους: **α) απευθείας**, ακολουθώντας την ευθεία σεισμική ακτίνα AD, **β)** μετά από **διάθλαση** στην επιφάνεια που χωρίζει τα δύο στρώματα (επιφάνεια ασυνέχειας της ταχύτητας) όταν προσπέσουν υπό την ορική γωνία  $i_{\text{ημί}c} = v_0/v_1$ , ακολουθώντας τη διαδρομή ABΓD, **γ)** μετά από **ανάκλαση** στη διαχωριστική επιφάνεια, ακολουθώντας τη διαδρομή AKD, όπου K είναι το σημείο ανάκλασης των κυμάτων (σχήμα 25, κάτω).

**α) Καμπύλες χρόνων διαδρομής των απευθείας κυμάτων και των κυμάτων διάθλασης.** Τα απευθείας κύματα ακολουθούν τη διαδρομή AD και συνεπώς η σεισμική τους ακτίνα είναι η ευθεία γραμμή που ενώνει το σημείο της πηγής, A, με το σημείο του γεωφώνου D. Αν  $AD = \Delta$  είναι η απόσταση του γεωφώνου από την πηγή των κυμάτων και  $T_0$  είναι ο **χρόνος διαδρομής** των απευθείας κυμάτων, δηλαδή, ο χρόνος στον οποίον τα κύματα αυτά διατρέχουν την απόσταση  $\Delta$ , θα είναι  $T_0 = \Delta/v_0$  ή

$$T_0 = \frac{\Delta}{v_0} \quad (33)$$

Αυτή είναι η εξίσωση της καμπύλης χρόνων διαδρομής των απευθείας κυμάτων, η οποία δείχνει ότι ο χρόνος διαδρομής,  $T_0$ , των κυμάτων αυτών είναι γραμμική συνάρτηση της απόστασης,  $\Delta$ . Η καμπύλη αυτή περνάει από

την αρχή του ορθογώνιου συστήματος των αξόνων (T, Δ) και παριστάνεται με την ευθεία OT<sub>0</sub> στο πάνω μέρος του σχήματος (25).

Το αντίστροφο της κλίσης της καμπύλης χρόνων διαδρομής των απευθείας κυμάτων είναι  $v_0$ . Αν, συνεπώς, πραγματοποιήσουμε μετρήσεις των χρόνων διαδρομής,  $T_i$ , των κυμάτων αυτών για διάφορες θέσεις των γεωφώνων ( $i = 1, 2, 3, \dots$ ) και χαρτογραφήσουμε τους χρόνους αυτούς σε συνάρτηση με τις αντίστοιχες αποστάσεις,  $\Delta_i$ , των γεωφώνων από την πηγή των κυμάτων, τα διάφορα σημεία ( $T_i, \Delta_i$ ) θα ορίζουν, σύμφωνα με την (33), μια ευθεία γραμμή της οποίας η κλίση θα είναι  $1/v_0$ . Έτσι, από την καμπύλη χρόνων διαδρομής μπορούμε στην περίπτωση της δομής αυτής (σχήμα 25 κάτω) να υπολογίσουμε την  $1/v_0$  και απ' αυτήν την ταχύτητα,  $v_0$ , των κυμάτων μέσα στο στρώμα.

Τα κύματα τα οποία προσπίπτουν στη διαχωριστική επιφάνεια υπό την ορική γωνία  $i_c$  διατρέχουν το δρόμο AB με ταχύτητα  $v_0$  και στη συνέχεια διαδίδονται παράλληλα προς τη διαχωριστική επιφάνεια με ταχύτητα  $v_1$ . Κατά τη διάδοση των κυμάτων αυτών παράλληλα προς τη διαχωριστική επιφάνεια αναγκάζουν τα υλικά σημεία της επιφάνειας αυτής να ταλαντώνονται και έτσι τα σημεία αυτά γίνονται πηγές δευτερογενών κυμάτων τα οποία διαδίδονται μέσα και στα δύο στρώματα. Οι ακτίνες των δευτερογενών κυμάτων, τα οποία διαδίδονται στο πάνω στρώμα, σχηματίζουν με τις καθέτους στη διαχωριστική επιφάνεια γωνίες ίσες με την ορική γωνία  $i_c$ . Τα κύματα αυτά λέγονται **μετωπικά** κύματα ή κύματα **διάθλασης**. Έτσι το κύμα διάθλασης που φθάνει στο γεώφωνο D διατρέχει με ταχύτητα  $v_0$ , όχι μόνο το δρόμο AB, αλλά και το δρόμο ΓD, ενώ το δρόμο ΒΓ τον διατρέχει με ταχύτητα  $v_1$ , όπως έχουμε ήδη αναφέρει.

Από τα παραπάνω προκύπτει ότι ο χρόνος διαδρομής,  $T_1$ , των κυμάτων διάθλασης θα είναι  $T_1 = (AB+GD)/v_0 + BG/v_1$ . Αλλά είναι  $AB = GD = z/\sin i_c$  και  $BG = \Delta - 2z \cot i_c$ . Αν λάβουμε υπόψη και τη σχέση  $\eta_{i_c} = v_0/v_1$  βρίσκουμε ότι η εξίσωση της καμπύλης χρόνων διαδρομής των κυμάτων διάθλασης είναι η

$$T_1 = \frac{\Delta}{v_1} + 2z \frac{\sqrt{v_1^2 - v_0^2}}{v_0 v_1} \quad (34)$$

Από τη σχέση αυτή προκύπτει ότι ο χρόνος διαδρομής,  $T_1$ , των κυμάτων διάθλασης είναι γραμμική συνάρτηση της απόστασης,  $\Delta$ . Δηλαδή, η καμπύλη χρόνων διαδρομής των κυμάτων αυτών είναι επίσης ευθεία γραμμή. Αυτή παριστάνεται με την ευθεία KT<sub>1</sub> στο πάνω μέρος του σχήματος 25.

Από τη σχέση (34) προκύπτει ότι η κλίση της καμπύλης χρόνων διαδρομής των κυμάτων διάθλασης είναι  $1/v_1$ . Αν συνεπώς, μετρήσουμε τους χρόνους διάθλασης των κυμάτων διάθλασης για διάφορες θέσεις των γεωφώνων και τις χαρτογραφήσουμε, σε συνάρτηση με τις αντίστοιχες αποστάσεις των γεωφώνων από την πηγή των κυμάτων μπορούμε να ορίσουμε (π.χ. με τη μέθοδο των ελαχίστων τετραγώνων) τις δύο παραμέτρους της καμπύλης αυτής η μια από τις οποίες είναι ίση με  $1/v_1$ . Έτσι, μπορούμε πειραματικά να ορίσουμε την ταχύτητα  $v_1$  των ελαστικών κυμάτων στον ημιχώρο κάτω από το στρώμα.



Η άλλη από τις δύο παραμέτρους της καμπύλης χρόνων διαδρομής, που μπορεί επίσης να προσδιοριστεί με πειραματικά δεδομένα, είναι ο χρόνος συνάντησης,  $T_i$  ο οποίος αντιστοιχεί στο σημείο όπου η προέκταση της καμπύλης αυτής τέμνει τον άξονα των χρόνων (σχ.25, πάνω). Από τη σχέση (34) προκύπτει ότι

$$T_i = 2z \frac{\sqrt{v_1^2 - v_0^2}}{v_0 v_1} \quad (35)$$

Η σχέση αυτή μπορεί να χρησιμοποιηθεί για τον υπολογισμό του πάχους,  $z$ , του στρώματος επειδή τα  $v_0$ ,  $v_1$  και  $T_i$  είναι γνωστά αφού η ταχύτητα  $v_0$  έχει προσδιοριστεί από την καμπύλη των χρόνων διαδρομής των απευθείας κυμάτων και η ταχύτητα  $v_1$  και ο χρόνος συνάντησης  $T_i$  έχουν προσδιοριστεί από την καμπύλη χρόνων διαδρομής των κυμάτων διάθλασης.

Από τα παραπάνω προκύπτει ότι με βάση τις πειραματικές καμπύλες χρόνων διαδρομής των απευθείας κυμάτων και των κυμάτων διάθλασης μπορούν να προσδιοριστούν οι παράμετροι  $v_0$ ,  $v_1$ , και  $z$  οι οποίες καθορίζουν τη δομή στη συγκεκριμένη αυτή περίπτωση.

**β) Καμπύλη χρόνων διαδρομής των κυμάτων ανάκλασης.** Το κύμα που ανακλάται στην διαχωριστική επιφάνεια των δύο στρωμάτων και καταγράφεται από το γεώφωνο D βρίσκεται συνεχώς μέσα στο πάνω στρώμα και διατρέχει τόσο το δρόμο AK όσο και το δρόμο KD με ταχύτητα  $v_0$  (σχ.23, κάτω). Συνεπώς, ο χρόνος διαδρομής  $I$  του ανακλώμενου κύματος θα είναι  $t = (AK + KD)/v_0$ . Αλλά  $AK = KD = \sqrt{(\Delta/2)^2 + z^2}$ . Συνεπώς,

$$t = \frac{\sqrt{\Delta^2 + 4z^2}}{v_0} \quad (36)$$

Αυτή είναι η εξίσωση της καμπύλης χρόνων διαδρομής των κυμάτων ανάκλασης. Η καμπύλη αυτή είναι υπερβολή της οποίας ο άξονας συμμετρίας είναι η ευθεία  $\Delta = 0$  και παριστάνεται με την  $K_i$  στο σχήμα 25, πάνω. Αυτή τέμνει τον άξονα των χρόνων ( $\Delta = 0$ ) στο σημείο  $2z/v_0$ .

Αν υψώσουμε τα δύο μέλη της (36) στο τετράγωνο παίρνουμε τη σχέση

$$t^2 = \frac{\Delta^2}{v_0^2} + \frac{4z^2}{v_0^2} \quad (37)$$

Από τη σχέση αυτή προκύπτει ότι το τετράγωνο  $t^2$ , του χρόνου διαδρομής των κυμάτων ανάκλασης είναι γραμμική συνάρτηση του τετραγώνου της απόστασης  $\Delta^2$ . Αν, συνεπώς, χαρτογραφήσουμε τα τετράγωνα των χρόνων διαδρομής των κυμάτων ανάκλασης που γράφονται στα διάφορα γεώφωνα, σε συνάρτηση με τα τετράγωνα των αποστάσεων θα προκύψει μια ευθεία γραμμή της οποίας η κλίση είναι  $1/v_0^2$  και η τομή της με τον άξονα των  $t^2$  είναι  $4z^2/v_0^2$ . Μπορούν, έτσι, να προσδιοριστούν οι δύο αυτές ποσότητες από τις οποίες υπολογίζονται εύκολα οι παράμετροι  $v_0$  και  $z$ .

Από τα παραπάνω προκύπτει ότι με βάση την πειραματική καμπύλη των χρόνων διαδρομής των κυμάτων ανάκλασης μπορούμε να προσδιορίσουμε τόσο την ταχύτητα διάδοσης  $v_0$ , των κυμάτων μέσα στο πάνω στρώμα όσο και το πάχος  $z$ , του οριζόντιου αυτού στρώματος.

Από το σχήμα 25, πάνω προκύπτει ότι τα απευθείας κύματα φθάνουν και γράφονται πρώτα στα γεώφωνα που βρίσκονται σε μικρές αποστάσεις,  $\Delta < \Delta_c$ . Στην απόσταση  $\Delta = \Delta_c$  τα απευθείας και τα μετωπικά κύματα φθάνουν συγχρόνως, ενώ για μεγαλύτερες αποστάσεις,  $\Delta > \Delta_c$  πρώτα φθάνουν τα μετωπικά κύματα. Η καμπύλη χρόνων διαδρομής των κυμάτων ανάκλασης είναι σ' όλες τις αποστάσεις πάνω από τις καμπύλες των απευθείας και των μετωπικών κυμάτων. Για το λόγο αυτό, τα κύματα ανάκλασης δεν φθάνουν στην επιφάνεια της Γης ποτέ (σε καμιά απόσταση) πρώτα δηλαδή, πριν από τα απευθείας και από τα κύματα διάθλασης.

Η καμπύλη των μετωπικών κυμάτων είναι εφαπτομένη της καμπύλης των κυμάτων ανάκλασης σε ορισμένο σημείο  $K$  το οποίο αντιστοιχεί στη μικρότερη απόσταση  $\Delta_K$ , στην οποία παρατηρούνται τα μετωπικά κύματα. Τα κύματα ανάκλασης που αντιστοιχούν στην απόσταση  $\Delta_K$  προσπίπτουν στην επιφάνεια ασυνέχειας υπό την ορική γωνία  $i_c$  η οποία δίνεται από τη σχέση  $\eta_{μ_1} = v_0/v_1$ . Όσο η απόσταση μεγαλώνει, η καμπύλη χρόνων διαδρομής των κυμάτων ανάκλασης τείνει ασυμπτωτικά στην καμπύλη χρόνων διαδρομής των απευθείας κυμάτων.

Έτσι, από τις καμπύλες χρόνων διαδρομής (σχήμα 25, πάνω) που ισχύουν για την απλή δομή που εξετάσαμε (σχήμα 25, κάτω) προκύπτει ότι όταν το γεώφωνο βρίσκεται στο διάστημα  $0 < \Delta < \Delta_K$ , γράφει πρώτα τα απευθείας κύματα και κατόπιν τα κύματα ανάκλασης και δεν γράφει κύματα διάθλασης. Στην απόσταση  $\Delta = \Delta_K$  το γεώφωνο γράφει πρώτα τα απευθείας κύματα και κατόπιν γράφει συγχρόνως τα κύματα ανάκλασης και τα κύματα διάθλασης. Στο διάστημα  $\Delta_K < \Delta < \Delta_c$ , το γεώφωνο γράφει πρώτα τα απευθείας κύματα, κατόπιν γράφει τα κύματα διάθλασης και μετά τα κύματα ανάκλασης. Στην απόσταση  $\Delta = \Delta_c$ , το γεώφωνο γράφει συγχρόνως τα απευθείας κύματα και τα κύματα διάθλασης και κατόπιν γράφει τα κύματα ανάκλασης. Για  $\Delta > \Delta_c$ , το γεώφωνο γράφει πρώτα τα κύματα διάθλασης, μετά τα απευθείας κύματα και μετά τα κύματα ανάκλασης. Σε αρκετά μεγάλες αποστάσεις ( $\Delta \gg \Delta_c$ ) τα απευθείας κύματα γράφονται σχεδόν συγχρόνως με τα κύματα ανάκλασης.



## 4. ΜΕΘΟΔΟΣ ΤΗΣ ΣΕΙΣΜΙΚΗΣ ΔΙΑΘΛΑΣΗΣ

### 4.1 Εισαγωγή

Τη θεωρία της μεθόδου αυτής ανέπτυξαν και εφάρμοσαν οι σεισμολόγοι για τη μελέτη της δομής του εσωτερικού της Γης πολύ πριν από την εφαρμογή της στη Γεωφυσική Διασκόπηση.

Για την εφαρμογή της μεθόδου αυτής, απαιτείται η μέτρηση των χρόνων διαδρομής των σεισμικών κυμάτων που παράγονται τεχνητά σε ορισμένο σημείο της επιφάνειας της Γης και γράφονται πρώτα από σεισμόμετρα, τα οποία βρίσκονται σε διάφορες αποστάσεις από την εστία των κυμάτων. Τα κύματα αυτά υφίστανται κατά τη διαδρομή τους διάφορες διαθλάσεις και γι' αυτό οι τροχιές τους δεν είναι γενικά, ευθείες γραμμές. Σε ορισμένες απλές δομές, οι σεισμικές ακτίνες θεωρούνται κατά τμήματα ευθείες γραμμές. Η μορφή των σεισμικών ακτινών εξαρτάται από τη δομή του μέσου διάδοσης.

Η αρχή της μεθόδου αυτής βασίζεται στον πειραματικό προσδιορισμό των χρόνων διαδρομής των απευθείας επιμηκών κυμάτων και των επιμηκών κυμάτων διάθλασης και στη χρησιμοποίηση, κατόπιν, των καμπύλων των χρόνων διαδρομής των κυμάτων αυτών, για τον καθορισμό των ταχυτήτων των επιμηκών κυμάτων στο πάνω μέρος του φλοιού με θεωρητικές σχέσεις.

Η μέθοδος της διάθλασης δεν είναι τόσο ακριβής όσο η μέθοδος της ανάκλασης. Είναι, όμως, πολύ χρήσιμη γιατί, σε περιοχές μορφολογικών ανωμαλιών, όπου άλλες μέθοδοι δε μπορούν να εφαρμοστούν εύκολα, αυτή δίνει ικανοποιητικά αποτελέσματα. Η μέθοδος της διάθλασης παρουσιάζει, σε σχέση με τη μέθοδο της ανάκλασης μεγαλύτερες δυσκολίες κατά τη λήψη των μετρήσεων, γιατί τα γεώφωνα κατανέμονται σε μεγάλες σχετικά αποστάσεις. Η απόσταση μεταξύ του σημείου της έκρηξης και του πιο απομακρυσμένου γεωφώνου είναι πολλές φορές μεγαλύτερη του βάθους της ασυνέχειας την συνήθως μεταξύ 6 και 20 Km.

Περιγράφεται παρακάτω η εφαρμογή της μεθόδου της διάθλασης για τον καθορισμό των πιο απλών δομών που εμφανίζονται στη φύση και παρουσιάζουν οικονομικό ενδιαφέρον.

### 4.2 Δομή δύο Οριζόντιων Στρωμάτων

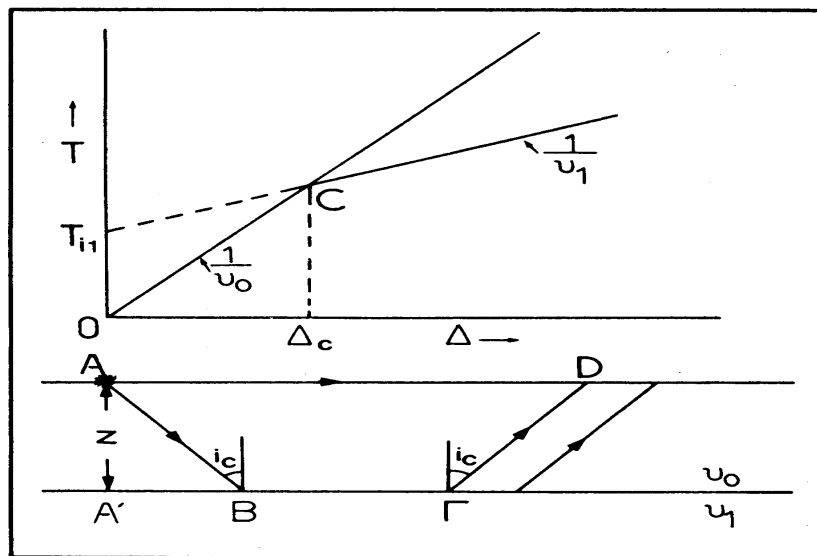
Ας υποθέσουμε ότι η δομή αποτελείται από ένα οριζόντιο στρώμα μέσα στο οποίο η ταχύτητα των επιμηκών κυμάτων είναι σταθερή  $v_0$ , ότι κάτω από το στρώμα αυτό υπάρχει άλλο στρώμα μέσα στο οποίο η ταχύτητα είναι  $v_1$  και ότι  $v_1 > v_0$ . Καθορισμός της δομής στην περίπτωση αυτή σημαίνει προσδιορισμό των ταχυτήτων  $v_0$  και  $v_1$ , και του πάχους  $z$ , του πάνω στρώματος.

Για τον καθορισμό της δομής με τη μέθοδο της διάθλασης, πραγματοποιούμε έκρηξη σε ορισμένο σημείο, A, της επιφάνειας της Γης και τοποθετούμε τα γεώφωνα σε διάφορα σημεία, O, τομής, η οποία βρίσκεται στην επιφάνεια της Γης και περνάει από το σημείο της έκρηξης (σχήμα 26). Τα γεώφωνα αυτά, τα οποία τοποθετούνται μέχρι απόσταση πολύ μεγαλύτερη από το βάθος,  $z$ , γράφουν τα πρώτα κύματα που αναχωρούν από την εστία και από τις αναγραφές αυτών βρίσκονται οι χρόνοι άφιξης των κυμάτων. Με αφαίρεση από τους χρόνους αυτούς του χρόνου γένεσης των κυμάτων, δηλαδή, του χρόνου

πραγματοποίησης της έκρηξης, βρίσκονται οι χρόνοι διαδρομής των κυμάτων. Εξάλλου, πραγματοποιείται μέτρηση των αποστάσεων των γεωφώνων από το σημείο της έκρηξης. Κατά τον τρόπο αυτό, προσδιορίζεται πειραματικά η σχέση μεταξύ χρόνων διαδρομής και αποστάσεων και κατασκευάζονται οι καμπύλες χρόνων διαδρομής.

Από την εστία A, αναχωρούν κύματα προς διάφορες διευθύνσεις, Απ' αυτά, εκείνα που φθάνουν πρώτα στις θέσεις των γεωφώνων είναι τα απευθείας και τα μετωπικά κύματα. Τα απευθείας κύματα φθάνουν σε ορισμένο σταθμό D, αφού διατρέξουν την απόσταση AD, με σταθερή ταχύτητα,  $v_0$  δηλαδή, οι σεισμικές ακτίνες των κυμάτων αυτών είναι ευθείες γραμμές. Τα μετωπικά κύματα, που γράφονται στον ίδιο σταθμό, προσπίπτουν στη διαχωριστική επιφάνεια των δύο στρωμάτων υπό την ορική γωνία  $i_c$  και διατρέχουν την απόσταση AB με ταχύτητα  $v_0$ . Μετά διαδίδονται κατά μήκος της τομής BΓ, της διαχωριστικής επιφάνειας και του κατακόρυφου επίπεδου, με ταχύτητα  $v_1$ , και φθάνουν στο σταθμό από το συμμετρικό δρόμο ΓD, τον οποίο διατρέχουν με ταχύτητα  $v_0$ .

Τα απευθείας κύματα φθάνουν και γράφονται πρώτα στους σταθμούς, που βρίσκονται μέχρι ορισμένη απόσταση  $\Delta_c$ , από το σημείο της έκρηξης. Αυτή λέγεται **ορική απόσταση**.



**Σχήμα 26.** Σεισμικές ακτίνες των απευθείας και των μετωπικών κυμάτων (κάτω) και οι καμπύλες χρόνων διαδρομής (πάνω) των κυμάτων αυτών.

Αν  $\Delta$  είναι η απόσταση κάποιου γεωφώνου D, από το σημείο, A, της έκρηξης, ο χρόνος διαδρομής  $T_0$  των απευθείας κυμάτων θα είναι  $T = AD/v_0$  ή

$$T_0 = \frac{\Delta}{v_0} \quad (38)$$

Παρατηρούμε ότι ο χρόνος διαδρομής των απευθείας κυμάτων είναι γραμμική συνάρτηση της απόστασης. Συνεπώς η καμπύλη χρόνων διαδρομής των απευθείας κυμάτων είναι ευθεία γραμμή. Αυτή παριστάνεται με την OC στο πάνω μέρος του σχήματος 26.

Από τη σχέση 38 προκύπτει ότι το αντίγραφο της κλίσης της καμπύλης χρόνων διαδρομής των απευθείας κυμάτων είναι ίσο με την ταχύτητα  $u_0$  μέσα στο στρώμα. Συνεπώς για τον καθορισμό της ταχύτητας διάδοσης των κυμάτων μέσα στο στρώμα χαράζεται η ευθεία, με βάση τις παρατηρήσεις, και υπολογίζεται το αντίστροφο της κλίσης αυτής.

Ο χρόνος διαδρομής των μετωπικών κυμάτων θα είναι :

$$T_1 = \frac{AB + \Gamma D}{u_0} + \frac{B\Gamma}{u_1}$$

Αλλά  $AB = \Gamma D = z/\sigma\eta\mu^i c$  και  $B\Gamma = \Delta - 2z\epsilon\phi^i c$ . Συνεπώς:

$$T_1 = \frac{\Delta}{u_1} + 2z\left(\frac{1}{u_0\sigma\eta\mu^i c} - \frac{\eta\mu^i c}{u_1\sigma\eta\mu^i c}\right)$$

Από τον νόμο του Snell έχουμε ότι  $u_1 = u_0/\eta\mu^i c$ . Επομένως:

$$T_1 = \frac{\Delta\eta\mu^i c}{u_0} + 2z\left(\frac{1}{u_0\sigma\eta\mu^i c} - \frac{\eta\mu^2 i c}{u_0\sigma\eta\mu^i c}\right)$$

Από τη σχέση αυτή προκύπτει :

$$T_1 = \frac{\Delta\eta\mu^i c}{u_0} + \frac{2z\sigma\eta\mu^i c}{u_0} \quad (39)$$

ή

$$T_1 = \frac{\Delta}{u_1} + \frac{2z\sigma\eta\mu^i c}{u_0} \quad (40)$$

Η σχέση αυτή γράφεται συνήθως με τη μορφή :

$$T_1 = \frac{\Delta}{v_1} + T_{11} \quad (41)$$

όπου  $T_{11}$  είναι ο **χρόνος συνάντησης** της καμπύλης χρόνων διαδρομής των μετωπικών κυμάτων δηλαδή, η τομή της καμπύλης χρόνων διαδρομής με τον άξονα των χρόνων που δίνεται από τη σχέση

$$T_{11} = \frac{2z\sqrt{v_1^2 - v_0^2}}{v_0 v_1} \quad (42)$$

Από την (41) προκύπτει ότι η σχέση μεταξύ  $T_1$  και  $\Delta$  είναι ευθεία γραμμή της οποίας η κλίση είναι το αντίστροφο της ταχύτητας του κύματος στο κάτω στρώμα. Συνεπώς και η ταχύτητα αυτή μπορεί να υπολογιστεί από την καμπύλη που χαράζεται με βάση τις παρατηρήσεις. Στο πάνω μέρος του σχήματος 26 δείχνεται και η ευθεία αυτή. Το τμήμα  $OT_{11}$  παριστάνει το χρόνο συνάντησης.

**Χρόνο καθυστέρησης** σε ορισμένο κλάδο της τροχιάς ελάχιστου χρόνου ABGD, ονομάζουμε τον πρόσθετο χρόνο που χρειάζεται το κύμα για να διατρέξει τον κλάδο αυτό, σε σχέση με το χρόνο που θα χρειαζόταν για να διατρέξει την οριζόντια προβολή του κλάδου με τη μέγιστη ταχύτητα που απόκτησε αυτό κατά τη διαδρομή του. Έτσι, ο χρόνος καθυστέρησης στον κλάδο AB ή στον κλάδο ΓD είναι  $T_{01} = AB/v_0 - A'B/v_1$ . Αλλά  $AB = z/\sin i_c$  και  $A'B = z\cos i_c$ . Από αυτές βρίσκουμε ότι:

$$T_{01} = \frac{z \sin i_c}{v_0} \quad (43)$$

και αν λάβουμε υπόψη και το νόμο του Snell, βρίσκουμε ότι

$$T_{01} = \frac{z\sqrt{v_1^2 - v_0^2}}{v_0 v_1} \quad (44)$$

Από τη σύγκριση των σχέσεων (42) και (44) προκύπτει ότι ο χρόνος συνάντησης είναι το άθροισμα των χρόνων καθυστέρησης. Η αρχή αυτή ισχύει και όταν η διαχωριστική επιφάνεια δεν είναι οριζόντια, καθώς και στις περιπτώσεις περισσότερων στρωμάτων ή συνεχούς μεταβολής της ταχύτητας με το βάθος.

Το βάθος  $z$ , της επιφάνειας ασυνέχειας της ταχύτητας μπορεί να υπολογιστεί από το χρόνο συνάντησης ή από την κρίσιμη απόσταση.

Για τον υπολογισμό του  $z$  από το χρόνο συνάντησης, χρησιμοποιούμε την (42).

Εξάλλου για  $\Delta = \Delta_c$ , τα πρώτα μέλη των (38), (41) είναι ίσα. Εξισώνοντας τα δεύτερα μέλη των δύο αυτών σχέσεων και λύνοντας ως προς  $z$ , βρίσκουμε ότι

$$z = \frac{\Delta_c}{2} \sqrt{\frac{v_1 - v_0}{v_1 + v_0}} \quad (45)$$

Το βάθος της επιφάνειας ασυνέχειας μπορεί να υπολογιστεί και από το χρόνο καθυστέρησης με χρησιμοποίηση της (44). Στην περίπτωση κατά την οποία η επιφάνεια ασυνέχειας είναι σχεδόν οριζόντια, η τιμή που βρίσκεται με την (44) είναι το βάθος  $\zeta$ , κάτω από την εστία των κυμάτων ή το βάθος  $z_2$  κάτω από το γεώφωνο, ενώ η τιμή του  $z$  που υπολογίζεται με την (42) είναι ίση με  $(z_1 + z_2)/2$ .

### 4.3 Δομή Πολλών Οριζόντιων Στρωμάτων

Ας θεωρήσουμε τη γενικότερη περίπτωση κατά την οποία η δομή αποτελείται από η οριζόντια διαδοχικά στρώματα, που χωρίζονται με επιφάνειες ασυνέχειας και που έχουν πάχη  $z_0, z_1, \dots, z_{n-1}$ . Έστω ότι οι ταχύτητες διάδοσης των επιμηκών κυμάτων είναι  $v_0, v_1, \dots, v_{n-1}$  μέσα στα αντίστοιχα στρώματα και  $v_n$  αμέσως κάτω από το κατώτερο στρώμα. Υποθέτουμε ότι  $v_0 < v_1 < \dots < v_n$ .

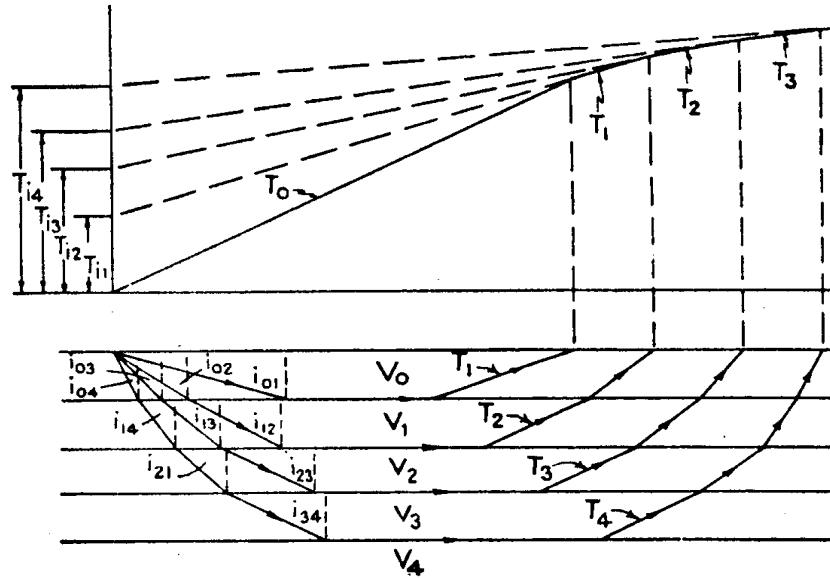
Το σχήμα 27 παριστάνει τον τρόπο διάδοσης των μετωπικών κυμάτων στην περίπτωση δομής πέντε οριζόντιων στρωμάτων (κάτω) και τις καμπύλες χρόνων διαδρομής των κυμάτων αυτών (πάνω) καθώς και των απευθείας κυμάτων. Οι γωνίες πρόσπτωσης σε κάθε επιφάνεια ασυνέχειας παριστάνονται με το σύμβολο  $i_{mn}$ . Ο πρώτος δείκτης  $m$ , παριστάνει το στρώμα μέσα στο οποίο βρίσκεται η προσπίπτουσα σεισμική ακτίνα και ο δεύτερος δείκτης  $n$ , παριστάνει εκείνο από τα στρώματα στην πάνω επιφάνεια του οποίου το κύμα διαδίδεται οριζόντια με την ταχύτητα του κύματος μέσα σ' αυτό το στρώμα. Στη γενική αυτή περίπτωση, ορικές είναι οι γωνίες που οι δείκτες τους είναι διαδοχικοί ακέραιοι αριθμοί δηλαδή, οι γωνίες  $i_{01}, i_{12}, \dots$

Με εφαρμογή του νόμου του Snell βρίσκουμε ότι  $\eta_{\mu i_{01}} = v_0/v_1$ ,  $\eta_{\mu i_{02}} = v_0/v_2$ ,  $\eta_{\mu i_{12}} = v_1/v_2, \dots$  και γενικά ότι

$$\eta_{\mu i_{mn}} = \frac{v_m}{v_n} \quad (46)$$

Η σχέση αυτή δείχνει ότι οποιαδήποτε γωνία πρόσπτωσης καθορίζεται από την ταχύτητα  $v_m$ , του κύματος στο στρώμα όπου βρίσκεται η προσπίπτουσα ακτίνα και από τη μέγιστη ταχύτητα  $v_n$ , που αποκτάει το κύμα κατά τη διάδοση του, δηλαδή, η γωνία αυτή είναι ανεξάρτητη των ταχυτήτων στα ενδιάμεσα στρώματα από τα οποία περνάει η ακτίνα.





**Σχήμα 27.** Σεισμικές ακτίνες (κάτω) και καμπύλες χρόνων διαδρομής (πάνω) των απευθείας και των μετωπικών κυμάτων στην περίπτωση πέντε οριζόντιων στρωμάτων (Nettleton 1940).

Αποδεικνύεται ότι ο χρόνος διαδρομής οποιουδήποτε μετωπικού κύματος ισούται με το χρόνο στον οποίο το κύμα αυτό θα διέτρεχε την απευθείας απόσταση  $\Delta$ , μεταξύ εστίας και γεωφώνου με τη μέγιστη πραγματική ταχύτητα αυτού κατά την διαδρομή του συν τους χρόνους καθυστέρησης στους πλάγιους κλάδους. Έτσι έχουμε

$$\begin{aligned}
 T_0 &= \frac{\Delta}{v_0} & T_0 &= \frac{\Delta}{v_0} \\
 T_1 &= \frac{\Delta}{v_1} + 2T_{01} & T_1 &= \frac{\Delta}{v_1} + 2T_{01} \\
 T_2 &= \frac{\Delta}{v_2} + 2T_{02} + 2T_{12} \\
 T_3 &= \frac{\Delta}{v_3} + 2T_{03} + 2T_{13} + 2T_{23} \\
 &\dots \dots \dots \\
 T_n &= \frac{\Delta}{v_n} + 2T_{0n} + 2T_{1n} + 2T_{2n} + \dots + 2T_{(n-1)n}
 \end{aligned} \tag{47}$$



Με τη σχέση αυτή είναι απευθείας συγκρίσιμη η σχέση που δίνει το χρόνο διαδρομής στην περίπτωση πολλών στρωμάτων με κεκλιμένες επιφάνειες.

#### 4.4 Στρώμα με Κεκλιμένη την Κάτω Επιφάνεια

Έχουμε δείξει (§ 4.2) ότι όταν ένα στρώμα έχει οριζόντια και την κάτω επιφάνεια, ο χρόνος διαδρομής των μετωπικών κυμάτων είναι ίσος με την οριζόντια απόσταση  $\Delta$ , πηγής-γεωφώνου δια της ταχύτητας του κύματος κάτω από το στρώμα συν τους δύο χρόνους καθυστέρησης στη θέση της πηγής και στη θέση του γεωφώνου. Οι δύο αυτοί χρόνοι καθυστέρησης μπορούν να υπολογιστούν εύκολα, όπως έχουμε δει, γιατί το άθροισμα τους είναι ίσο με τον γνωστό χρόνο συνάντησης και είναι, στην περίπτωση αυτή (οριζόντια και η κάτω επιφάνεια), μεταξύ τους ίσοι. Εύκολα επίσης υπολογίζεται και το πάχος του στρώματος στην περίπτωση αυτή, όπως έχουμε ήδη αναφέρει.

Στην περίπτωση στρώματος με κεκλιμένη την κάτω επιφάνεια (σχήμα 28) ο χρόνος διαδρομής δίνεται από ανάλογη σχέση με τη διαφορά ότι οι δύο χρόνοι καθυστέρησης  $T_{01}$  (στην πηγή),  $T'_{01}$  (στο γεώφωνο) δεν είναι ίσοι και αντί της απόστασης  $\Delta$ , στον τύπο μπαίνει η απόσταση  $\Delta'$  των προβολών της πηγής και του γεωφώνου πάνω στην κεκλιμένη επιφάνεια. Δηλαδή, στην περίπτωση κεκλιμένης επιφάνειας ο χρόνος διαδρομής  $T_1$ , δίνεται από τη σχέση

$$(52) \quad T_1 = \frac{\Delta'}{v_1} + T_{01} + T'_{01}$$

Υπάρχουν δύο λόγοι για τους οποίους δε μπορεί η σχέση αυτή να χρησιμοποιηθεί για τον υπολογισμό των δύο χρόνων καθυστέρησης και των αντίστοιχων παχών του στρώματος με τον απλό τρόπο που χρησιμοποιήθηκε η σχέση (40).

Ο πρώτος λόγος είναι ότι η απόσταση  $\Delta'$  είναι άγνωστη και δεν υπάρχει έτσι δυνατότητα χαρτογράφησης του χρόνου διαδρομής σε συνάρτηση με την απόσταση αυτή για να μπορεί να καθοριστεί ο χρόνος συνάντησης και η κλίση ( $1/v_1$ ) της καμπύλης χρόνων διαδρομής. Το πρόβλημα αυτό μπορεί να λυθεί μόνο στην περίπτωση που η κλίση του στρώματος είναι μικρή ( $<10^\circ$ ) οπότε μπορεί να υποτεθεί ότι  $\Delta' \approx \Delta$  και να γίνει χαρτογράφηση του χρόνου διαδρομής σε συνάρτηση με τη γνωστή απόσταση  $\Delta$ .

Ο δεύτερος λόγος για τον οποίο δε μπορεί να χρησιμοποιηθεί η (52) κατά ανάλογο τρόπο που χρησιμοποιήθηκε η (40) για τον υπολογισμό των χρόνων καθυστέρησης είναι ότι στην περίπτωση κεκλιμένου στρώματος οι δύο αυτοί χρόνοι δεν είναι ίσοι και συνεπώς δε μπορούν να υπολογιστούν ο καθένας χωριστά (να χωριστούν) αφού μόνο το άθροισμα τους είναι γνωστό, γιατί είναι ίσο με το χρόνο συνάντησης και αυτό όταν το στρώμα έχει μικρή κλίση. Σε ορισμένες περιπτώσεις μπορεί να λυθεί το πρόβλημα όταν ο ένας από τους

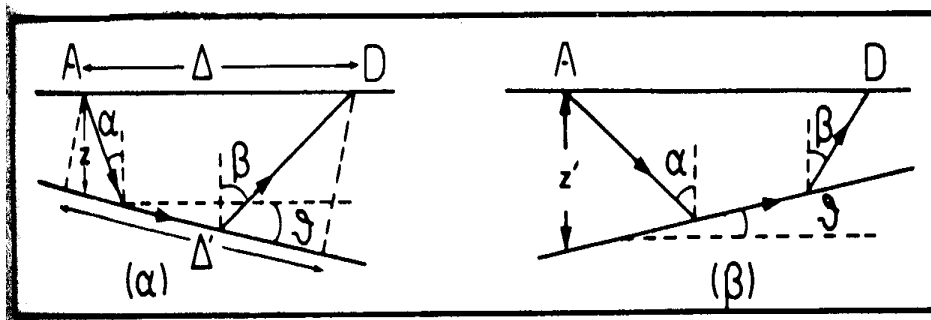
δύο χρόνους συνάντησης είναι γνωστός. Τέτοια είναι η περίπτωση κατά την οποία το πάχος του στρώματος είναι γνωστό σε ένα από τα δύο σημεία (από γεώτρηση, κλπ) οπότε ο αντίστοιχος χρόνος καθυστέρησης υπολογίζεται με τη σχέση (44).

Επειδή, όμως, πολλές φορές συναντάμε στρώματα με σημαντική κλίση πρέπει να διαθέτουμε γενικά εφαρμόσιμη μέθοδο λύσης του προβλήματος αυτού και τέτοια είναι η μέθοδος της **αντίστροφης μέτρησης**, την οποία αναπτύσσουμε παρακάτω.

#### 4.5 Βασικές θεωρητικές σχέσεις

Ας θεωρήσουμε στρώμα, του οποίου η κάτω επιφάνεια σχηματίζει γωνία  $\theta$  με το οριζόντιο επίπεδο (σχήμα 28). Εμφανίζονται δύο περιπτώσεις. Η πρώτη είναι η περίπτωση κατά την οποία το στρώμα κλίνει από το σημείο της έκρηξης A, προς τα γεώφωνα, D (σχήμα 28α) και η δεύτερη είναι η περίπτωση κατά την οποία το στρώμα κλίνει από τα γεώφωνα προς το σημείο της έκρηξης (σχήμα 28β). Τόσο στη μία όσο και στην άλλη περίπτωση ισχύει η σχέση

$$T_1 = \frac{\eta\mu\beta}{v_0} \Delta + \frac{z(\sigma\upsilon\upsilon\alpha + \sigma\upsilon\upsilon\beta)}{v_0} \quad (53)$$



**Σχήμα 28.** Κλίση στρώματος από το σημείο της πηγής των ελαστικών κυμάτων προς τα γεώφωνα (α) και από τα γεώφωνα προς το σημείο της πηγής (β).

όπου  $v_0$  είναι η ταχύτητα διάδοσης του κύματος μέσα στο στρώμα,  $z$  είναι το κατακόρυφο πάχος του στρώματος κάτω από το σημείο της έκρηξης,  $\alpha$  είναι η γωνία που σχηματίζει με την κατακόρυφη η κατευθυνόμενη προς τα κάτω σεισμική ακτίνα και  $\beta$  είναι η γωνία που σχηματίζει με την κατακόρυφη η κατευθυνόμενη προς τα πάνω σεισμική ακτίνα.

Στην πρώτη περίπτωση (σχ.28α) ισχύουν οι σχέσεις

$$\alpha = i_c - \theta \quad \text{και} \quad \beta = i_c + \theta$$

Συνεπώς η σχέση (53) γίνεται

$$T_1 = \frac{\eta\mu(i_c + \theta)}{v_0} \Delta + \frac{z\sigma\upsilon\nu(i_c - \theta)}{v_0} + \frac{z\sigma\upsilon\nu(i_c + \theta)}{v_0}$$

ή

$$T_1 = \frac{\eta\mu(i_c + \theta)}{v_0} \Delta + \frac{2z\sigma\upsilon\nu i_c \sigma\upsilon\nu\theta}{v_0} \quad (54)$$

Αν  $d$  είναι η απόσταση του σημείου της έκρηξης από την κεκλιμένη επιφάνεια, θα ισχύει η σχέση

$$d = z\sigma\upsilon\nu\theta \quad (55)$$

Συνεπώς, η (54) γίνεται

$$T_1 = \frac{\eta\mu(i_c + \theta)}{v_0} \Delta + \frac{2d\sigma\upsilon\nu i_c}{v_0} \quad (56)$$

Από τη σχέση αυτή προκύπτει ότι η κλίση  $S_-$ , της καμπύλης χρόνων διαδρομής των μετωπικών κυμάτων στην περίπτωση αυτή (σχήμα 28α) δίνεται από τη σχέση

$$S_- = \frac{\eta\mu(i_c + \theta)}{v_0} \quad (57)$$

και επειδή είναι  $v_0 = v_1\eta\mu i_c$  η κλίση αυτή μπορεί να δοθεί και από τη σχέση

$$S_- = \frac{\eta\mu(i_c + \theta)}{v_1\eta\mu i_c} \quad (58)$$

Στη δεύτερη περίπτωση, όταν δηλαδή το στρώμα κλίνει από τα γεώφωνα προς το σημείο της έκρηξης (σχήμα 28β), ισχύουν οι σχέσεις

$$\alpha = i_c + \theta \quad \text{και} \quad \beta = i_c - \theta$$

Συνεπώς, η σχέση (53) γίνεται στην περίπτωση αυτή

$$T'_1 = \frac{\eta\mu(i_c - \theta)}{v_0} \Delta + \frac{z' \sigma\upsilon\nu(i_c + \theta) + z \sigma\upsilon\nu(i_c - \theta)}{v_0}$$

Από την οποία εύκολα βρίσκουμε την

$$T_1 = \frac{\eta\mu(i_c - \theta)}{v_1} \Delta + \frac{2d' \sigma\upsilon\nu i_c}{v_2} \quad (59)$$

Από αυτή προκύπτει ότι η κλίση  $S_+$  της καμπύλης χρόνων διαδρομής των μετωπικών κυμάτων στην περίπτωση αυτή (σχήμα 28β) δίνεται από τη σχέση

$$S_+ = \frac{\eta\mu(i_c - \theta)}{v_0} \quad (60)$$

ή

$$S_+ = \frac{\eta\mu(i_c - \theta)}{v_2 \eta \mu i_c} \quad (61)$$

#### 4.6 Τρόπος υπολογισμού των παραμέτρων

Για τον καθορισμό της κλίσης  $\theta$ , της επιφάνειας ασυνέχειας, της ταχύτητας,  $v_1$ , αμέσως κάτω από αυτή και των παχών  $z$  και  $z'$  του στρώματος κάτω από τα δύο σημεία A και D πρέπει να γίνουν δύο πειράματα. Κατά το πρώτο πείραμα, πραγματοποιείται έκρηξη στο σημείο A και τα γεώφωνα που γράφουν αυτή τοποθετούνται σε διάφορα σημεία του τμήματος AD, ενώ κατά το δεύτερο πείραμα, η έκρηξη πραγματοποιείται στο σημείο D και τα γεώφωνα τοποθετούνται σε διάφορα σημεία του τμήματος DA. Το σχήμα 29 δείχνει τις σεισμικές ακτίνες (κάτω) και τις καμπύλες χρόνων διαδρομής (πάνω) για τις δύο περιπτώσεις.

Οι κλίσεις των καμπύλων χρόνων διαδρομής των απευθείας κυμάτων είναι και στις δύο περιπτώσεις ίσες με  $1/v_0$  και συνεπώς η ταχύτητα,  $v_0$ , μέσα στο στρώμα υπολογίζεται από τις κλίσεις αυτές.

Όμως, οι κλίσεις των καμπύλων χρόνων διαδρομής,  $S_-$ ,  $S_+$ , των μετωπικών κυμάτων, όπως προκύπτει από τις (58), (61), δεν είναι ίσες. Επίσης δεν είναι ίσοι οι χρόνοι συνάντησης  $T_i$ , και  $T'_i$ .

Με την πραγματοποίηση τόσο του ενός πειράματος (πραγματοποιώντας έκρηξη στο A) όσο και του αντιστρόφου (έκρηξη στο D), μπορούμε να χαρτογραφήσουμε τους χρόνους διαδρομής των κυμάτων σε συνάρτηση με την απόσταση, να χαράξουμε τις πειραματικές καμπύλες χρόνων διαδρομής και απ' αυτές να υπολογίσουμε τις ποσότητες  $v_0$ ,  $S_-$ ,  $S_+$ ,  $T_i$ ,  $T'_i$ . Τις τιμές αυτές θα χρησιμοποιήσουμε για να βρούμε τις ποσότητες  $v_1, z$  και  $d$  με τον τρόπο που περιγράφεται παρακάτω.

Αν λύσουμε τόσο την (58) όσο και την (61) ως προς  $i_c$  και πρώτα προσθέσουμε τις δύο σχέσεις που θα προκύψουν κατά μέλη και μετά τις αφαιρέσουμε κατά μέλη θα βρούμε τις σχέσεις:

$$i_c = \frac{\text{τοξημ}(v_0 S_-) + \text{τεξημ}(v_0 S_+)}{2} \quad (62)$$

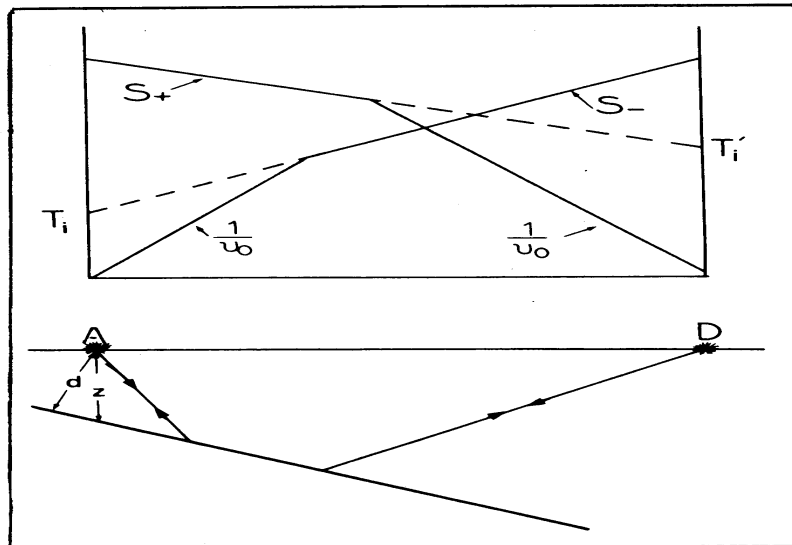
$$\theta = \frac{\text{τοξημ}(v_0 S_-) - \text{τεξημ}(v_0 S_+)}{2} \quad (63)$$

Από την τελευταία αυτή σχέση βρίσκουμε την κλίση,  $\theta$ , του στρώματος.

Από τις σχέσεις (58), (61) προκύπτει ότι  $S_- = (\eta_{i_c} \sin\theta + \sigma_{i_c} \eta \cos\theta) / v_1 \eta_{i_c}$  και  $S_+ = (\eta_{i_c} \sin\theta - \sigma_{i_c} \eta \cos\theta) / v_1 \eta_{i_c}$ . Αν προσθέσουμε τις δύο αυτές σχέσεις και λύσουμε ως προς  $v_1$  βρίσκουμε την

$$v_1 = \frac{2 \sigma \sin\theta}{S_- + S_+} \quad (64)$$

Η σχέση αυτή χρησιμοποιείται για τον υπολογισμό της ταχύτητας κάτω από το στρώμα.



**Σχήμα 29.** Σεισμικές ακτίνες (κάτω) και καμπύλες χρόνων διαδρομής (πάνω) στην περίπτωση στρώματος με κεκλιμένη την κάτω επιφάνεια.

Ο υπολογισμός του πάχους,  $z$ , του στρώματος στα δυο σημεία A και D μπορεί να γίνει με χρησιμοποίηση των τιμών των ορικών αποστάσεων ή των χρόνων συνάντησης.

Η τομή των δύο καμπύλων που οι κλίσεις τους είναι  $1/v_0$  και  $S$  αντιστοιχεί στην ορική απόσταση  $\Delta_c$ . Για την απόσταση αυτή οι χρόνοι άφιξης των απευθείας κυμάτων,  $T_0 = \Delta_c/v_0$ , και οι χρόνοι των μετωπικών κυμάτων είναι ίσοι. Δηλαδή  $\Delta_c/v_0 = \Delta_0 \eta(\theta) / (v_0 + 2d \sin \theta)$ . Από αυτή προκύπτει ότι

$$d = \frac{\Delta_c}{2 \sin \theta} [1 - \eta(\theta)] \quad (65)$$

Αν λάβουμε υπόψη και την  $z = d / \sin \theta$ , βρίσκουμε

$$z = \frac{\Delta_c [1 - \eta(\theta)]}{2 \sin \theta} \quad (66)$$

Για τον υπολογισμό του πάχους του στρώματος κάτω από το σημείο της έκρηξης, χρησιμοποιούμε μέσα στην παρένθεση το σημείο + όταν το στρώμα κλίνει από το σημείο της έκρηξης προς τα γεώφωνα και το σημείο - όταν το στρώμα κλίνει από τα γεώφωνα προς το σημείο της έκρηξης.

Εξάλλου, από τη σχέση (56) προκύπτει ότι ο χρόνος συνάντησης δίνεται από τη σχέση  $T_i = 2d \sin \theta / v_0$ . Από αυτή παίρνουμε την

$$d = \frac{v_0 T_i}{2 \sin \theta} \quad (67)$$

Αν λάβουμε υπόψη και την  $z = d / \sin \theta$  βρίσκουμε ότι

$$z = \frac{v_0 T_i}{2 \sin \theta} \quad (68)$$

Με τη σχέση αυτή βρίσκουμε το πάχος του στρώματος κάτω από το σημείο της έκρηξης με χρησιμοποίηση του αντίστοιχου χρόνου συνάντησης.

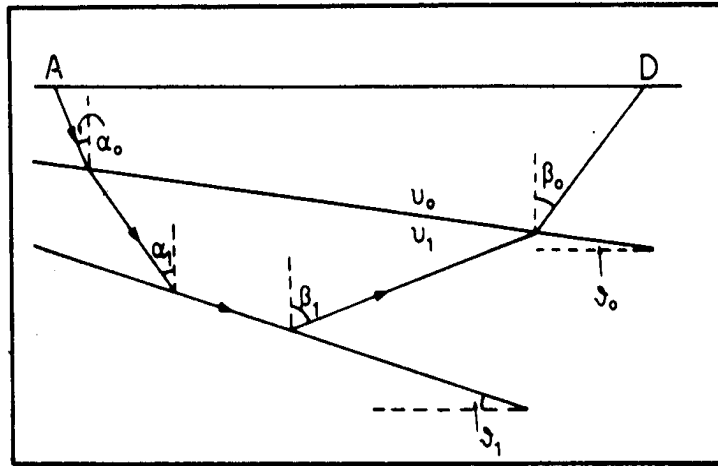
#### 4.7 Δομή Πολλών Στρωμάτων με Κεκλιμένες Επιφάνειες

Στη γενική περίπτωση κατά την οποία η δομή αποτελείται από πολλά στρώματα τα οποία έχουν κεκλιμένες τις επιφάνειες τους (σχήμα 30) ισχύει η ακόλουθη σχέση μεταξύ του χρόνου διαδρομής  $T_n$ , του κύματος το οποίο διεισδύει



μέχρι το  $\pi$  στρώμα και διαδίδεται παράλληλα προς την πάνω επιφάνεια του στρώματος αυτού και της απόστασης  $\Delta$ , στην οποία αναδύεται το κύμα αυτό:

$$T_n = \frac{\eta\mu\beta_0}{v_0}\Delta + \sum_{i=0}^{n-1} \frac{z_i(\sigma\upsilon\alpha_i + \sigma\upsilon\upsilon\beta_i)}{v_i} \quad (69)$$



**Σχήμα 30.** Σεισμικές ακτίνες στην περίπτωση δύο στρωμάτων με κεκλιμένη την κάτω επιφάνεια (Kearey and Brooks 1984).

όπου  $z_i$  είναι η κατακόρυφη απόσταση του  $i$  στρώματος κάτω από την έκρηξη  $v_i$  είναι η ταχύτητα του κύματος στο  $i$  στρώμα  $\alpha_i$  είναι η γωνία που σχηματίζει με την κατακόρυφη στο  $i$  στρώμα η σεισμική ακτίνα που κατευθύνεται προς τα κάτω και  $\beta_i$  είναι η γωνία που σχηματίζει με την κατακόρυφη στο  $i$  στρώμα η σεισμική ακτίνα που κατευθύνεται προς τα πάνω. Η σχέση (6.32) είναι άμεσα συγκρίσιμη με την (51). Η μόνη διαφορά είναι ότι αντί των γωνιών  $i_{in}$  στην (51), συναντάμε τις γωνίες  $\alpha_i$  και  $\beta_i$  στην (69) που περιλαμβάνουν και τις αντίστοιχες κλίσεις των στρωμάτων. Έτσι, στην περίπτωση που η σεισμική ακτίνα που κατευθύνεται προς τα κάτω συναντήσει επιφάνεια που κλίνει επίσης προς την ίδια κατεύθυνση (downdip) ισχύουν οι σχέσεις

$$\alpha_i = i_{in} - \theta_i \text{ και } \beta_i = i_{in} + \theta_i \quad (70)$$

όπου  $\theta_i$  είναι η κλίση του  $i$  στρώματος, ενώ στην περίπτωση που η σεισμική ακτίνα που κατευθύνεται προς τα κάτω συναντήσει επιφάνεια που δεν έχει την ίδια κατεύθυνση (updip) ισχύουν οι σχέσεις

$$\alpha_i = i_{in} + \theta_i \text{ και } \beta_i = i_{in} - \theta_i \quad (71)$$

Υπενθυμίζουμε ότι η  $\eta\mu i_{in} = v_i/v_n$ . Έτσι με διαδοχικές εφαρμογές της σχέσης (69) μπορούμε να υπολογίσουμε τα πάχη  $z_i$  τις κλίσεις  $\theta_i$  και τις ταχύτητες των διαφόρων στρωμάτων όταν έχουμε πραγματοποιήσει και αντίστροφες μετρήσεις.

#### 4.8 Στρώμα με μη Επίπεδη την Κάτω Επιφάνεια

Η σχέση ( ) ισχύει και στην περίπτωση που η κάτω επιφάνεια του στρώματος δεν είναι επίπεδη με τη διαφορά ότι στην περίπτωση αυτή η  $\Delta'$  δεν είναι το μήκος ευθυγράμμου τμήματος αλλά καμπύλου (σχ.31).

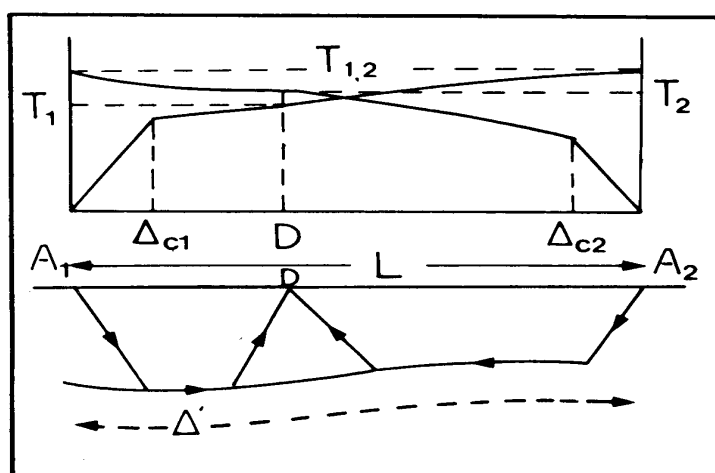
Για να μπορεί όμως να γίνει εύκολη εφαρμογή της σχέσης (52) πρέπει να μπορούμε να αντικαταστήσουμε τη  $\Delta'$  με τη γνωστή απόσταση  $\Delta$ . Πρέπει δηλαδή να είναι  $\Delta' \approx \Delta$ . Η συνθήκη αυτή ισχύει όταν η επιφάνεια παρουσιάζει μικρή μέση κλίση ( $\theta < 10^\circ$ ) και δεν είναι εξαιρετικά ανώμαλη. Στην περίπτωση αυτή εφαρμόζεται, συνήθως, η **μέθοδος συν-πλην** (plus-minus) την οποία αναπτύσσουμε παρακάτω.

Δύο σημεία  $A_1, A_2$ , ορισμένης τομής αποτελούν πηγές ελαστικών κυμάτων τα οποία καταγράφονται σε διάφορα σημεία μεταξύ των δύο πηγών από γεώφωνα  $D$ , με στόχο τον υπολογισμό των διαφόρων αποστάσεων  $d$ , των γεωφώνων από την μη επίπεδη κάτω επιφάνεια του στρώματος. Στο σχήμα 31 φαίνεται η πορεία των μετωπικών κυμάτων από τις πηγές  $A_1, A_2$  στο γεώφωνο (κάτω) και οι αντίστοιχες καμπύλες χρόνων διαδρομής (πάνω).

Αν πληρούνται οι προϋποθέσεις που αναφέραμε παραπάνω για την επιφάνεια ασυνέχειας (σχετικά ομαλή και με μικρή κλίση) ισχύει η σχέση

$$T_{1,2} = \frac{L}{v_1} + T_{01} + T_{02} \quad (72)$$

όπου  $T_{1,2}$  είναι ο χρόνος διαδρομής των μετωπικών κυμάτων μεταξύ των δύο πηγών και  $T_{01}, T_{02}$  είναι οι χρόνοι καθυστέρησης στις θέσεις των πηγών, ενώ  $L$  είναι η απόσταση μεταξύ των δύο πηγών. Ο χρόνος  $T_{1,2}$  ονομάζεται και **αντιστρέψιμος χρόνος** γιατί είναι ο ίδιος για να φθάσει το κύμα από την πηγή  $A_1$  στην  $A_2$  και αντίστροφα. Ο χρόνος αυτός υπολογίζεται εύκολα, γιατί αντιστοιχεί στα δύο πάνω σημεία που οι καμπύλες χρόνων διαδρομής των μετωπικών κυμάτων τέμνουν τους άξονες των χρόνων (σχήμα 31).



**Σχήμα 31.** Σεισμικές ακτίνες (κάτω) και καμπύλες χρόνων διαδρομής (πάνω) στην περίπτωση στρώματος με μη επίπεδη την κάτω επιφάνεια (Kearey and Books 1984).

Οι χρόνοι διαδρομής των μετωπικών κυμάτων μεταξύ κάθε μιας πηγής και του γεωφώνου δίνονται από τις σχέσεις

$$T_1 = \frac{\Delta}{v_1} + T_{01} + T_{0D} \quad (73)$$

$$T_2 = \frac{L - \Delta}{v_1} + T_{02} + T_{0D} \quad (74)$$

όπου  $T_1$  είναι ο χρόνος διαδρομής των μετωπικών κυμάτων μεταξύ του σημείου της πηγής  $A_1$  και του γεωφώνου  $T_2$  είναι ο χρόνος διαδρομής των μετωπικών κυμάτων μεταξύ του σημείου της πηγής  $A_2$  και του γεωφώνου, και  $T_{0D}$  ο χρόνος καθυστέρησης στη θέση του γεωφώνου τον οποίο θέλουμε να υπολογίσουμε.

Αν προσθέσουμε τις (73), (74) κατά μέλη και από αυτή που θα προκύψει αφαιρέσουμε την (72) κατά μέλη θα προκύψει σχέση την οποία όταν λύσουμε ως προς  $T_{0D}$  θα βρούμε την

$$T_{0D} = \frac{T_1 + T_2 - T_{1,2}}{2} \quad (75)$$

Αυτή ονομάζεται σχέση **συν** (plus) και χρησιμοποιείται για τον υπολογισμό του χρόνου καθυστέρησης  $T_{0D}$ . Για τον υπολογισμό της απόστασης  $d$  του γεωφώνου από την κάτω επιφάνεια που είναι ο τελικός στόχος της μεθόδου χρησιμοποιείται η σχέση

$$d = T_{0D} \frac{v_0 v_1}{\sqrt{v_1^2 - v_0^2}} \quad (76)$$

Η  $v_0$  είναι γνωστή, γιατί είναι ίση με το αντίστροφο των κλίσεων των καμπύλων χρόνων διαδρομής των απευθείας κυμάτων και μπορεί να υπολογιστεί από τις καμπύλες αυτές οι οποίες είναι ευθείες. Δεν είναι, όμως γνωστή η  $v_1$ , γιατί οι καμπύλες χρόνων διαδρομής των μετωπικών κυμάτων δεν είναι πια ευθείες γραμμές, αφού η επιφάνεια διάθλασης δεν είναι επίπεδη. Συνεπώς, για να λυθεί το πρόβλημα πρέπει πρώτα να βρεθεί μέθοδος υπολογισμού της  $v_1$ . Τέτοια μέθοδος περιγράφεται παρακάτω.

Αν αφαιρέσουμε τις σχέσεις (73), (74) κατά μέλη, θα βρούμε τη σχέση

$$T_1 - T_2 = \frac{2}{v_1} \Delta + \left( -\frac{L}{v_1} + T_{01} - T_{02} \right) \quad (77)$$

Αυτή ονομάζεται σχέση **πλην** (minus) και δείχνει ότι αν η διαφορά  $T_1-T_2$  χαρτογραφηθεί σε συνάρτηση με την απόσταση  $\Delta$ , θα προκύψει ευθεία της οποίας η κλίση είναι  $2/v_1$ . Από την κλίση αυτή υπολογίζεται η  $v$ , και χρησιμοποιείται στη σχέση (76) για τον υπολογισμό του  $d$ .

Ο υπολογισμός του  $d$  μπορεί να γίνει για όλες τις θέσεις του γεωφώνου όπου γράφονται και αναγνωρίζονται μετωπικά κύματα τα οποία προέρχονται και από τις δύο πηγές  $A_1, A_2$ . Στην πράξη αυτό είναι δυνατόν να γίνει αποτελεσματικά για τις θέσεις μεταξύ των αποστάσεων  $\Delta_{c1}$ , και  $\Delta_{c2}$  (σχ.31).

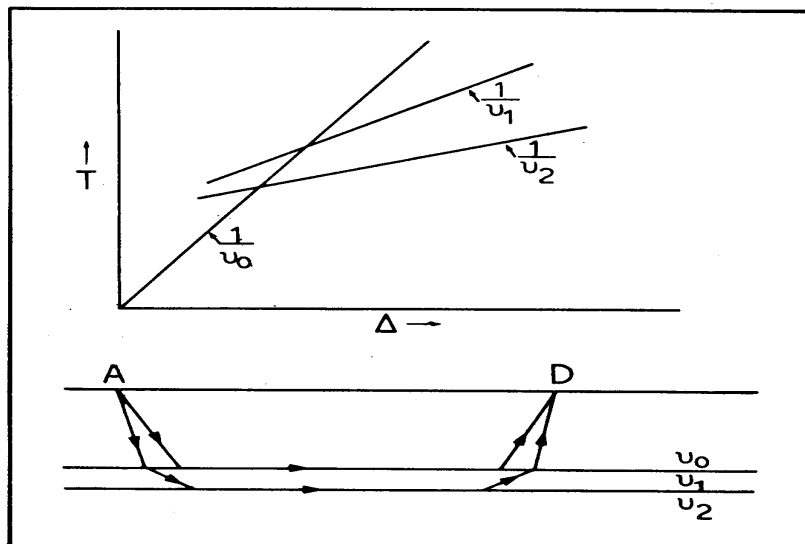
#### 4.9 Περιορισμοί της Μεθόδου της Σεισμικής Διάθλασης

Η εύρεση του πάχους των στρωμάτων και των αντίστοιχων ταχυτήτων με τη μέθοδο της σεισμικής διάθλασης είναι θεωρητικά απλή. Στην πράξη, όμως, υπάρχουν διάφορες πηγές σοβαρών λαθών κατά την εφαρμογή της μεθόδου. Μόνο όταν η ταχύτητα σε κάθε στρώμα είναι σημαντικά μεγαλύτερη από την ταχύτητα στο από πάνω του στρώμα και όταν τα πάχη των στρωμάτων είναι αρκετά μεγάλα η μέθοδος της σεισμικής διάθλασης δίνει ικανοποιητικά αποτελέσματα.

Δύο είναι οι βασικές πηγές σφαλμάτων κατά την εφαρμογή τη μεθόδου της διάθλασης, γιατί σε δύο περιπτώσεις δε μπορεί στην πράξη να ανιχνευθεί ορισμένο στρώμα με τη μέθοδο αυτή. Πρώτο όταν το στρώμα έχει μικρό πάχος ή η ταχύτητα του είναι σχεδόν η δια με την ταχύτητα στο αμέσως από πάνω του στρώμα και δεύτερο όταν η ταχύτητα μέσα σε αυτό είναι μικρότερη από την ταχύτητα σε αμέσως από πάνω του στρώμα.

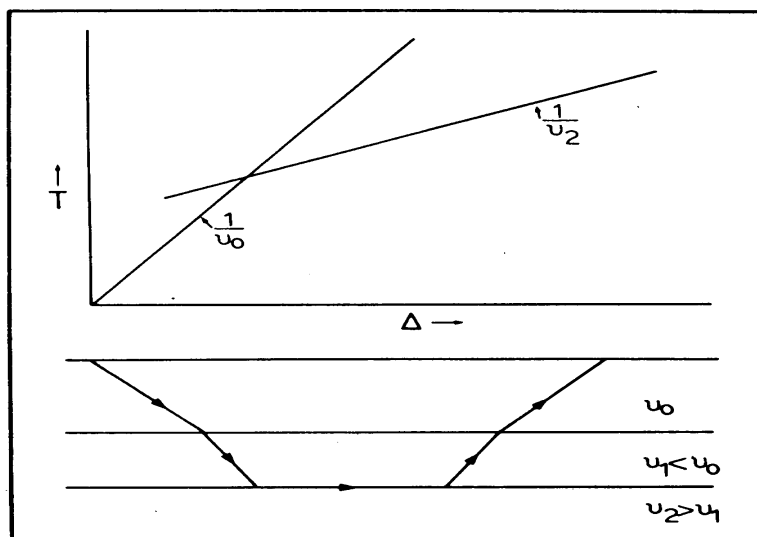
Όταν ένα στρώμα μικρού πάχους (σχ.32) βρίσκεται μεταξύ άλλων στρωμάτων ή όταν το στρώμα αυτό έχει σχεδόν ίση ή λίγο μεγαλύτερη ταχύτητα από το αμέσως πάνω του στρώμα, τα μετωπικά κύματα, που διαδίδονται παράλληλα προς την πάνω επιφάνεια του στρώματος (σχ.32 κάτω) δεν φθάνουν πουθενά (σε καμιά απόσταση) πρῶι αλλά παντού φθάνουν μετά τα άλλα κύματα (απευθείας ή μετωπικά ς άλλα στρώματα), όπως φαίνεται στο σχήμα 32 πάνω. Έτσι, τα μετωπικά κύματα που αντιστοιχούν στο στρώμα αυτό δεν εμφανίζονται στις καταγραφές ως πρώτα κύματα για να μετρηθεί με ακρίβεια χρόνος άφιξης τους και να καθοριστεί το αντίστοιχο τμήμα της κα| πύλης χρόνων διαδρομής ώστε να υπολογιστεί η ταχύτητα και το πάχος του στρώματος. Είναι θεωρητικά δυνατό να μετρηθούν οι δεύτεροι αφίξεις, που αντιστοιχούν στο στρώμα αυτό, αλλά οι μετρήσεις αυτές είναι ανακριβείς.

Αν στρώμα μικρής ταχύτητας βρίσκεται μεταξύ δύο στρώματα μεγαλύτερων ταχυτήτων, οι προσπίπτουσες σεισμικές ακτίνες στην πάνω επιφάνεια του στρώματος αυτού πλησιάζουν προς την κάθετα στην επιφάνεια μετά τη διάθλαση τους, με συνέπεια να μη διαδίδονται μετωπικά κύματα τα οποία να ακολουθούν την πάνω ορική επιφάνεια



**Σχήμα 32.** Στρώμα μικρού πάχους (ταχύτητας  $u_1$ ) μεταξύ δύο στρωμάτων σχετικά μεγάλων παχών (κάτω) και αντίστοιχες καμπύλες χρόνων διαδρομής (πάνω) (Kearey and Books 1984).

του στρώματος (σχ.33). Επομένως, δεν αναγράφονται τέτοια κύματα και δε μπορεί να κατασκευαστεί η καμπύλη των χρόνων διαδρομής αυτών. Έτσι, το στρώμα αυτό δε μπορεί να αναγνωριστεί και να καθοριστούν οι παράμετροι του με τη μέθοδο της διάθλασης, μπορεί όμως να καθοριστεί με τη μέθοδο της ανάκλασης, γιατί η πάνω επιφάνεια του δίνει ισχυρές ανακλάσεις. Η μη αναγνώριση του στρώματος αυτού έχει ως συνέπεια την υπερεκτίμηση των παχών των από κάτω απ' αυτό στρωμάτων όταν εφαρμόζεται η μέθοδος της διάθλασης.



**Σχήμα 33.** Στρώμα μικρής ταχύτητας ( $u_1$ ) μεταξύ δύο στρωμάτων μεγαλύτερων ταχυτήτων (κάτω) και αντίστοιχες καμπύλες χρόνων διαδρομής (πάνω). (Kearey and Books 1984).

#### 4.10 Δομές Συνεχούς Μεταβολής της Ταχύτητας με το Βάθος

Υπάρχουν περιοχές όπου η ταχύτητα αυξάνει συνεχώς με το βάθος. Τέτοια μεταβολή παρατηρήθηκε στις ακτές του κόλπου του Μεξικού, όπου υπάρχουν ιζηματογενή πετρώματα αρκετών χιλιάδων μέτρων πάχους. Στην περίπτωση αυτή η σεισμική ακτίνα είναι καμπύλη γραμμή με το κυρτό μέρος προς τα κάτω.

Διατυπώθηκαν διάφορες απόψεις όσον αφορά την αναλυτική σχέση μεταξύ ταχύτητας και βάθους. Στη σεισμική διασκόπηση βρήκε μεγαλύτερη εφαρμογή η γραμμική σχέση μεταξύ των δυο αυτών μεγεθών, την οποία και θα μελετήσουμε.

Έστω, ότι η ταχύτητα,  $v$ , μεταβάλλεται με το βάθος  $z$ , σύμφωνα με τη σχέση

$$v = v_0 + \kappa z \quad (78)$$

όπου  $v_0$  είναι η ταχύτητα στην επιφάνεια της Γης και  $\kappa$  η βαθμίδα μεταβολής της ταχύτητας με το βάθος. Το ημίτονο της γωνίας πρόσπτωσης,  $i$ , σε τυχόν σημείο της τροχιάς, όπου η ταχύτητα είναι  $v$ , δίνεται από τη σχέση

$$\eta \mu i = \frac{v}{v_m} \quad (79)$$

όπου  $v_m$ , η μέγιστη ταχύτητα του κύματος, δηλαδή, η ταχύτητα στο κατώτερο σημείο της σεισμικής ακτίνας. Από την (78) και την (79) παίρνουμε

$$\eta \mu i = \frac{(v_0/\kappa) + z}{v_m/\kappa} \quad (80)$$

Από αυτή προκύπτει ότι κάθε σεισμική ακτίνα είναι περιφέρεια κύκλου, της οποίας η ακτίνα δίνεται από τη σχέση

$$r = \frac{v_m}{\kappa} \quad (81)$$

και ότι τα κέντρα,  $c_1, c_2, \dots$ , όλων των περιφερειών αυτών βρίσκονται σε απόσταση από την επιφάνεια της Γης (σχήμα 34).

$$d = \frac{v_0}{\kappa} \quad (82)$$

Το μεγαλύτερο βάθος κάθε σεισμικής ακτίνας είναι  $z_m = r - d$ . Αλλά  $r = \dots(\Delta/2)^2 + d^2$ , όπου  $\Delta$  είναι η απόσταση μεταξύ του σημείου της έκρηξης και του σημείου ανάδυσης της σεισμικής ακτίνας. Από τα παραπάνω προκύπτει ότι

$$z_m = \sqrt{(\Delta/2)^2 + (v_0/\kappa)^2} - \frac{v_0}{\kappa} \quad (83)$$

Από τις σχέσεις (81) και (83) προκύπτει ότι

$$v_m = \sqrt{\frac{\kappa^2 \Delta^2}{4} + v_0^2} \quad (84)$$

Η σχέση αυτή δίνει την ταχύτητα του κύματος στο κατώτερο σημείο της σεισμικής ακτίνας σε συνάρτηση με την απόσταση στην οποία το κύμα αναδύεται.

Ο χρόνος διαδρομής του κύματος, δηλαδή, ο χρόνος που χρειάζεται για να διατρέξει αυτό το τόξο της κυκλικής τροχιάς που βρίσκεται μέσα στη Γη, θα είναι

$$T = 2 \int_0^{z_m} \frac{dz}{v_{\text{συνι}}} \quad (85)$$

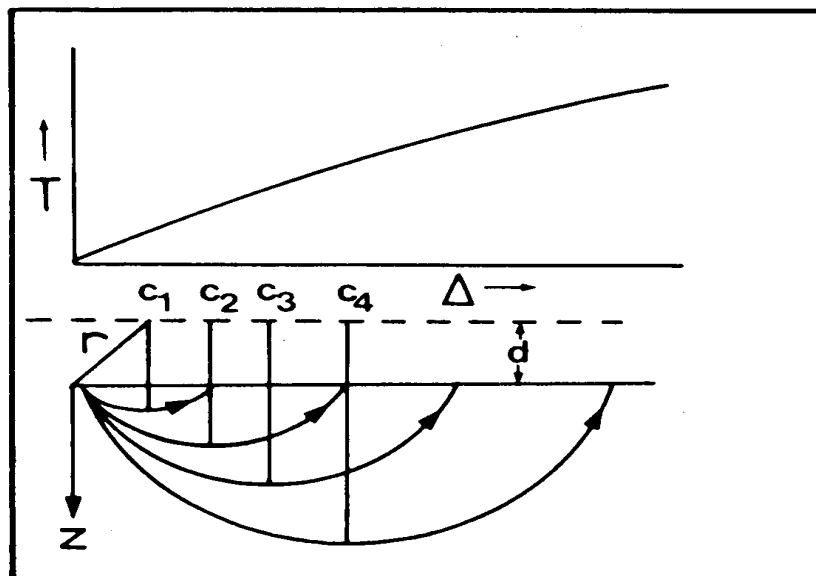
Αν εκφράσουμε την  $v$  και το  $\text{συνι}$  σε συνάρτηση με το  $z$ , με την χρησιμοποίηση των (78) και (79) και πραγματοποιήσουμε την ολοκλήρωση, βρίσκουμε σχέση η οποία σε συνδυασμό με την (83) δίνει τη

$$T = \frac{2}{\kappa} \text{τοξημη}\left(\frac{\kappa \Delta}{2v_0}\right) \quad (86)$$

όπου  $\text{ημη}$  είναι το υπερβολικό ημίτονο, το οποίο βρίσκεται από πίνακες. Το πάνω μέρος του σχήματος 34 αποτελεί τη γραφική παράσταση του  $T$  σε συνάρτηση με τη  $\Delta$ , δηλαδή την καμπύλη χρόνων διαδρομής για την περίπτωση γραμμικής μεταβολής της ταχύτητας με το βάθος.

Αν παραγωγίσουμε την (86) ως προς  $\Delta$  και λάβουμε υπόψη και την (84), βρίσκουμε ότι η κλίση  $dT/d\Delta$  της καμπύλης χρόνων διαδρομής είναι ίση με το αντίστροφο της μέγιστης ταχύτητας  $v_m$ , δηλαδή, την ταχύτητα στο κατώτερο σημείο της σεισμικής ακτίνας.

Αν ο χρόνος,  $T$ , μετρηθεί για διάφορες αποστάσεις  $\Delta$ , η (86) μπορεί να χρησιμοποιηθεί για τον υπολογισμό του  $\kappa$ , οπότε η σχέση (78) μεταξύ ταχύτητας και βάθους θα είναι γνωστή. Η τιμή του  $\kappa$  είναι, συνήθως, της τάξης του  $\text{Im/sec/m}$ . Στον κόλπο του Μεξικού η τιμή αυτή βρέθηκε ίση με  $0,6 \text{ m/sec/m}$ .



**Σχήμα 34.** Σεισμικές ακτίνες (κάτω) και καμπύλη χρόνων διαδρομής (πάνω) στην περίπτωση γραμμικής μεταβολής της ταχύτητας με το Βάθος (Dobrin 1976).

#### 4.11 Καθορισμός της Θέσης Διάρρηξης και του Άλματος Μετάπτωσης

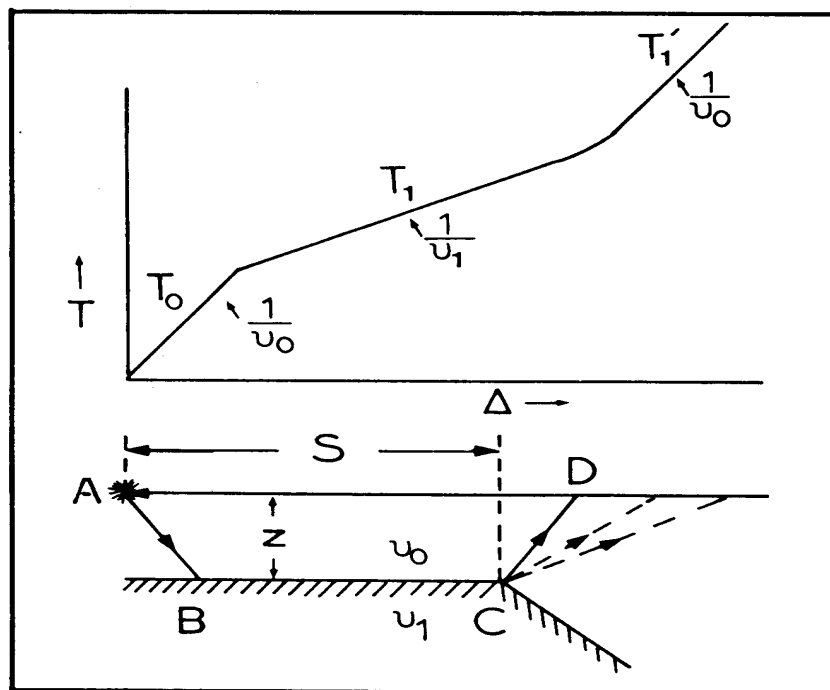
Σε αρκετές περιπτώσεις δομών που αποτελούνται από ένα στρώμα το οποίο βρίσκεται πάνω σε άλλο στρώμα μεγαλύτερης ταχύτητας, το κάτω στρώμα υφίσταται κατακόρυφη διάρρηξη και το τμήμα του στρώματος αυτού που βρίσκεται προς το ένα μέρος της διαρρήξης υφίσταται κατακόρυφη μετάπτωση. Με τη μέθοδο της διάθλασης μπορούμε να καθορίσουμε τη θέση της διάρρηξης και το μήκος του άλματος μετάπτωσης. Διακρίνουμε δύο περιπτώσεις: την περίπτωση του μεγάλου και την περίπτωση του μικρού άλματος.

**α) Μετάπτωση μεγάλου άλματος.** Όταν το άλμα είναι πολύ μεγάλο (σχήμα 35), η καμπύλη χρόνων διαδρομής των πρώτων αφίξεων μέχρι ορισμένη απόσταση  $O$  αποτελείται από δύο ευθύγραμμους κλάδους, που οι κλίσεις τους είναι  $1/v_0$  και  $1/v_1$  και οι χρόνοι διαδρομής δίνονται από τις σχέσεις (38) και (41). Δηλαδή μέχρι την απόσταση  $D$  έχουμε την απλή περίπτωση δύο στρωμάτων.

Πέρα από την απόσταση  $D$  τα κύματα, που φθάνουν πρώτα στην επιφάνεια της Γης, ακολουθούν το δρόμο  $ABC$  και στο  $C$  ακτινοβολούν τα κύματα που ακολουθούν τις διακαμένες τροχιές του σχήματος 35. Ο χρόνος διαδρομής των κυμάτων αυτών σε συνάρτηση με την απόσταση από το σημείο της έκρηξης, δίνεται από τη σχέση

$$T'_1 = \frac{z \sin i_c}{v_0} + \frac{S}{v_1} + \frac{\sqrt{(\Delta - S)^2 + z^2}}{v_0} \quad (87)$$





**Σχήμα 35.** Σεισμικές ακτίνες (κάτω) και καμπύλη χρόνων διαδρομής (πάνω) στην περίπτωση διάρρηξης μεγάλου άλματος μετάπτωσης (Nettleton 1940).

Συνεπώς, θα υπάρχει και τρίτος κλάδος της καμπύλης χρόνων διαδρομής, που η κλίση του θα τείνει να αποκτήσει την τιμή  $1/v_0$ , όταν αυξάνεται η απόσταση από την έκρηξη. Η οριζόντια απόσταση της διάρρηξης από το σημείο της έκρηξης μπορεί να βρεθεί με την  $S = D - z \text{cosec } \theta$  ή

$$S = D - \frac{zv_0}{\sqrt{v_1^2 - v_0^2}} \quad (88)$$

**β) Μετάπτωση μικρού άλματος.** Όταν το άλμα της μετάπτωσης είναι σχετικά μικρό, η καμπύλη χρόνων διαδρομής μέχρι ορισμένη απόσταση θα αποτελείται, επίσης, από δύο κλάδους και οι εξισώσεις αυτών θα είναι της μορφής (38) και (41). Πέρα από την οριζική αυτή απόσταση, τα κύματα, που φθάνουν πρώτα στην επιφάνεια της Γης, ακολουθούν το δρόμο ABCED (σχήμα 36).

Επειδή το μήκος του άλματος,  $\Delta z$ , είναι μικρό, ο χρόνος στον οποίο το κύμα διατρέχει την απόσταση BC μπορεί, κατά προσέγγιση, να θεωρηθεί ίσος με το χρόνο στον οποίο το κύμα αυτό θα διέτρεχε την οριζόντια προβολή της απόστασης αυτής. Τότε, η εξίσωση του τρίτου κλάδου της καμπύλης χρόνων διαδρομής θα είναι

$$T'_1 = \frac{\Delta}{v_1} + \frac{z \text{cosec } \theta}{v_0} + \frac{(z \pm \Delta z) \text{cosec } \theta}{v_0} \quad (89)$$

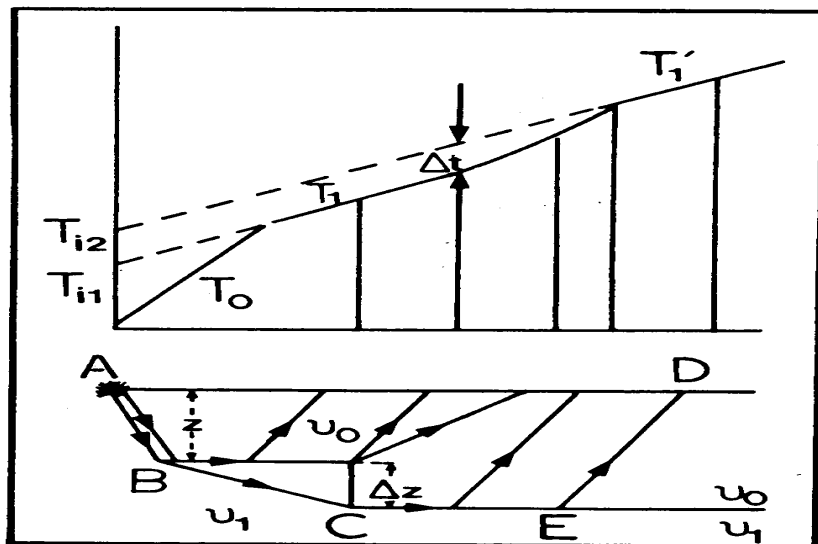
Το σημείο +, μέσα στην παρένθεση, αφορά την περίπτωση κατά την οποία το σημείο της έκρηξης βρίσκεται στο πάνω μέρος της διάρρηξης, όπως στο σχήμα 36,

ενώ το σημείο —, αφορά την περίπτωση κατά την οποία το σημείο της έκρηξης βρίσκεται πάνω από το κάτω μέρος της διάρρηξης.

Αν δεν γινόταν η μετάπτωση, ο χρόνος διαδρομής θα δινόταν από την (40) Επομένως, η απόλυτη τιμή της διαφοράς  $\Delta t$  των χρόνων  $T_1$  και  $T'_1$  οφείλεται στην μετάπτωση και δίνεται από την  $\Delta t = \Delta z \sin i_c / v_0$ . Από αυτή και την  $\eta_{i_c} = v_0 / v_1$  βρίσκουμε ότι

$$\Delta z = \frac{v_0 v_1}{\sqrt{v_1^2 - v_0^2}} \quad (90)$$

Ο χρόνος  $\Delta t$  ισούται με τη διαφορά,  $T_{i2} - T_{i1}$ , των χρόνων συνάντησης και βρίσκεται απ' αυτούς (σχήμα 36 πάνω). Η σχέση (90) χρησιμοποιείται για τον υπολογισμό του μήκους του άλματος της μετάπτωσης.

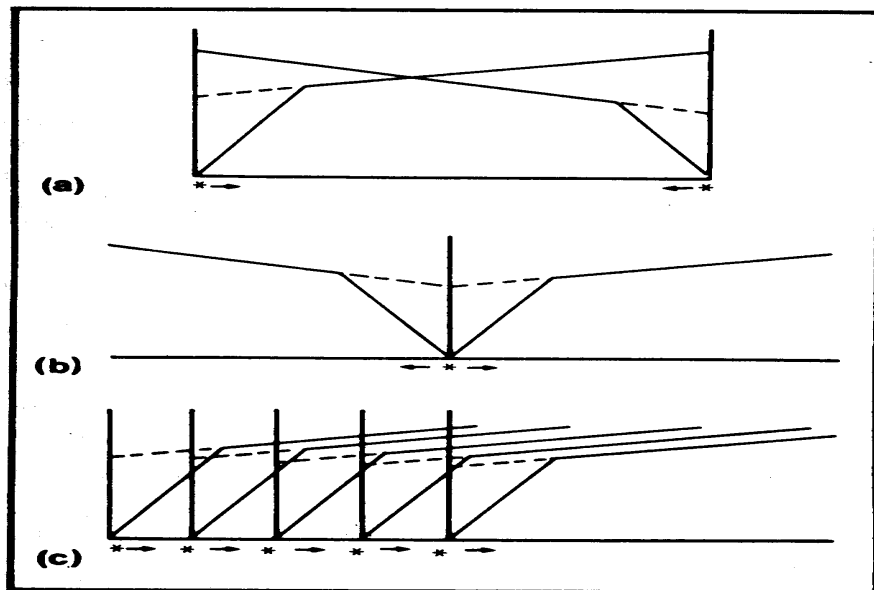


**Σχήμα 36.** Σεισμικές ακτίνες (κάτω) και καμπύλες χρόνων διαδρομής (πάνω) στην περίπτωση διάρρηξης μικρού άλματος μετάπτωσης (Nettleton 1940).

#### 4.12 Τρόποι Διάταξης Γεωφώνων σε Εργασίες Διάθλασης

Στην ιστορία της μεθόδου της σεισμικής διάθλασης εφαρμόστηκαν διάφορες διατάξεις γεωφώνων οι περισσότερες από τις οποίες δεν χρησιμοποιούνται πια. Σήμερα χρησιμοποιείται αποκλειστικά σχεδόν η «διάταξη τομής» τα τρία κύρια είδη της οποίας θα περιγράψουμε. Θα περιγράψουμε, επίσης, και τη «διάταξη βεντάλιας» επειδή έπαιξε σημαντικό ρόλο στην ιστορία της σεισμικής διάθλασης πετρελαίου (εντοπισμός αλατούχων δόμων, κλπ) και επειδή χρησιμοποιείται ακόμη και σήμερα σε ορισμένες περιπτώσεις.

**α) Διάταξη τομής.** Στη διάταξη αυτή τα γεώφωνα και οι πηγές των ελαστικών κυμάτων (εκρήξεις, κλπ) τοποθετούνται στην ίδια οριζόντια γραμμή (τομή). Αυτή είναι η διάταξη που κυρίως χρησιμοποιείται σήμερα και αυτός είναι ο λόγος για τον οποίον όλη η θεωρία της



**Σχήμα 37.** Διατάξεις τομής στη σεισμική διάθλαση, α) Αντιστρεπτή διάταξη, β) διπλή ή διχασμένη διάταξη, γ) απλή συνεχής διάταξη (Kearey and Books 1984).

σεισμικής διάθλασης έχει αναπτυχθεί με την υπόθεση ότι οι μετρήσεις διάθλασης πραγματοποιούνται μ' αυτή τη διάταξη γεωφώνων και πηγών. Υπάρχουν διάφορα είδη διάταξης τομής αλλά τρία είναι τα είδη των διατάξεων που χρησιμοποιούνται περισσότερο (σχήμα 37).

Η πρώτη είναι η **αντιστρεπτή διάταξη** (σχήμα 37α) που βασίζεται στη γένεση ελαστικών κυμάτων στα άκρα της και καταγραφή από γεώφωνα που βρίσκονται μεταξύ των δύο πηγών ελαστικών κυμάτων.

Η δεύτερη διάταξη τομής η οποία ονομάζεται **διπλή διάταξη ή διχασμένη διάταξη** (σχήμα 37β) αποτελείται από δύο σειρές γεωφώνων και πηγή που βρίσκεται στο μέσο μεταξύ αυτών.

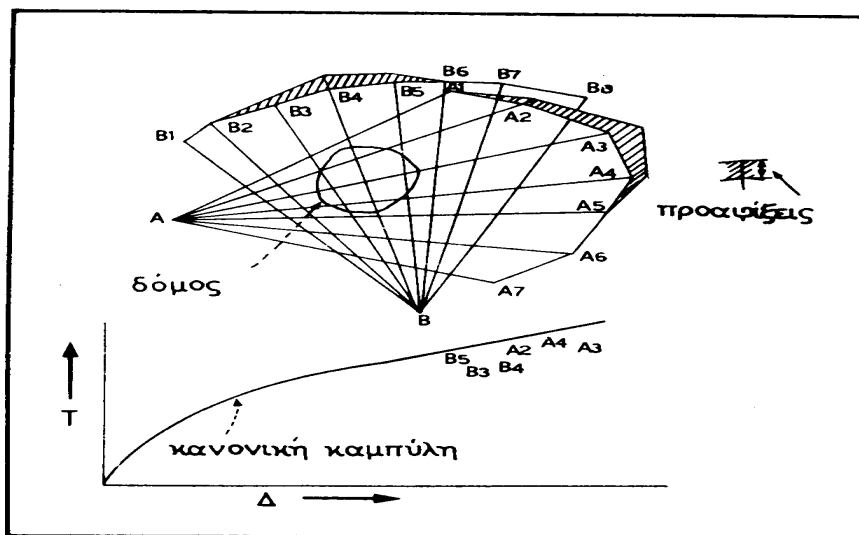
Η τρίτη είναι η **απλή συνεχής διάταξη** (σχήμα 37γ). Σ' αυτή πραγματοποιείται σειρά διαδοχικών εκρήξεων (ή παράγονται κύματα με άλλο τρόπο) των οποίων τα σημεία μετακινούνται διαδοχικά προς ορισμένη κατεύθυνση και τα γεώφωνα που καταγράφουν τις εκρήξεις τοποθετούνται στην ίδια γραμμή και προς την κατεύθυνση μετακίνησης των πηγών. Κατασκευάζεται έτσι σειρά από καμπύλες χρόνων διαδρομής και γίνεται συνεχής χαρτογράφηση της επιφάνειας διάθλασης. Με τη διάταξη αυτή μπορεί να καθοριστεί η δομή και στις περιπτώσεις που υπάρχουν στρώματα με κεκλιμένες επιφάνειες.

**β) Διάταξη βεντάλιας.** Αυτή χρησιμοποιήθηκε, κυρίως, κατά τα πρώτα χρόνια της σεισμικής διασκόπησης (1926-1930) για τον κατά προσέγγιση εντοπισμό επιφανειακών αλατούχων δόμων στο Τέξας και τις ακτές της Λουϊζιάνας.

Οι δόμοι αυτοί αποτελούνται από αλάτι μέσα στο οποίο η ταχύτητα των σεισμικών κυμάτων είναι σημαντικά μεγαλύτερη από την ταχύτητα μέσα στα ιζήματα, που περιβάλλουν τους δόμους. Συνεπώς, οι χρόνοι διαδρομής των κυμάτων που περνάν από ένα δόμο θα είναι μικρότεροι από τους χρόνους διαδρομής των

κυμάτων που δεν περνάν από το δόμο και αντιστοιχούν στην ίδια απόσταση έκρηξης-γεωφώνου.

Για το λόγο αυτό, παρατηρούνται **προαφίξεις** των κυμάτων που περνάν από το δόμο. Οι προαφίξεις αυτές μπορούν να προσδιοριστούν με χαρτογράφηση των χρόνων διαδρομής των κυμάτων, σε συνάρτηση με τις αποστάσεις, πάνω στο ίδιο σχέδιο στο οποίο έχει χαρτογραφηθεί η **κανονική καμπύλη** χρόνων διαδρομής, δηλαδή, η καμπύλη που κατασκευάστηκε με βάση τις μετρήσεις που έγιναν σε γειτονική περιοχή, όπου δεν υπάρχουν αλατούχοι δόμοι. Η κανονική αυτή καμπύλη λέγεται και καμπύλη βαθμολογίας.



**Σχήμα 38.** Διάταξη βεντάλιας

Κατά την εφαρμογή της μεθόδου αυτής, γίνεται μια έκρηξη σε ορισμένο σημείο A (σχήμα 38 πάνω), η οποία αναγράφεται από γεώφωνα, που βρίσκονται στις θέσεις  $A_1, A_2, \dots$ , και απέχουν από το A την ίδια απόσταση περίπου. Με σύγκριση των χρόνων διαδρομής, που αντιστοιχούν στις αποστάσεις  $AA_1, AA_2, \dots$ , προς τους αντίστοιχους κανονικούς χρόνους διαδρομής, που βρίσκονται από την καμπύλη βαθμολογίας (σχήμα 38 κάτω), προσδιορίζονται οι προαφίξεις. Αυτές παριστάνονται με ευθύγραμμα τμήματα που έχουν μήκη ανάλογα προς τις προαφίξεις και αντίστοιχες διευθύνσεις  $AA_1, AA_2, \dots$ , αρχή δε τα σημεία τυχούσας περιφέρειας κέντρου A.

Κατόπιν, γίνεται δεύτερη έκρηξη σε άλλο σημείο B, η οποία γράφεται από γεώφωνα  $B_1, B_2, \dots$ , που βρίσκονται σε τέτοιες θέσεις, ώστε οι ευθείες  $BB_1, BB_2, \dots$ , να είναι περίπου κάθετες προς τις αντίστοιχες ευθείες  $AA_1, AA_2, \dots$ , και καθορίζονται, και στην περίπτωση αυτή, οι προαφίξεις. Αυτές παριστάνονται με ευθύγραμμα τμήματα όπως στην πρώτη περίπτωση. Η τομή των ευθειών,  $AA_3$  και  $BB_4$ , που αντιστοιχούν στις μέγιστες τιμές των προαφίξεων, ορίζει το σημείο της επιφάνειας της Γης που βρίσκεται πάνω από το κέντρο του δόμου, ενώ οι διαστάσεις του δόμου κατά, τις διευθύνσεις των άλλων ευθειών ορίζονται από τις αντίστοιχες προαφίξεις.

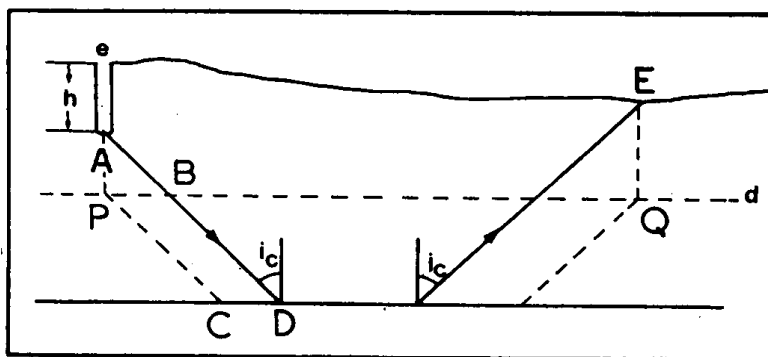
### 4.13 Διορθώσεις των Παρατηρήσεων Διάθλασης

Οι χρόνοι διαδρομής στις εργασίες διάθλασης περιέχουν συστηματικά σφάλματα, που οφείλονται σε διάφορα αίτια. Τα σημαντικότερα από τα αίτια αυτά είναι η διαφορά του υψομέτρου μεταξύ των θέσεων των εκρήξεων και των θέσεων των σταθμών αναγραφής και η ύπαρξη ενός πολύ επιφανειακού στρώματος αποσαθρωμένων ιζημάτων, όπου τα κύματα διαδίδονται με πολύ μικρή ταχύτητα. Για το λόγο αυτό, οι χρόνοι διαδρομής πρέπει να υποστούν τη διόρθωση λόγω διαφοράς του υψομέτρου και τη διόρθωση λόγω της ύπαρξης του στρώματος αποσάθρωσης.

**α) Διόρθωση λόγω διαφοράς υψομέτρου.** Για τον υπολογισμό της διόρθωσης αυτής θεωρούμε τόσο το σημείο της έκρηξης όσο και το γεώφωνο στο ίδιο οριζόντιο επίπεδο, που λέγεται **επιφάνεια αναγωγής**. Από τους μετρούμενους χρόνους διαδρομής αφαιρούμε ή προσθέτουμε τους χρόνους που χρειάζεται το κύμα για να φθάσει από την επιφάνεια αναγωγής στο σημείο του γεωφώνου και από την επιφάνεια αναγωγής στο σημείο της έκρηξης, όταν η επιφάνεια αναγωγής βρίσκεται κάτω ή πάνω από τα σημεία αυτά, αντίστοιχα.

Στο σχήμα 39 η στιγμμένη γραμμή παριστάνει την επιφάνεια αναγωγής, που έχει υψόμετρο  $\acute{\alpha}$ . Έστω ότι A είναι το σημείο της έκρηξης, που βρίσκεται σε βάθος  $h$  κάτω από το σημείο της επιφάνειας της Γης, όπου το υψόμετρο είναι  $\epsilon$  και ότι E είναι το υψόμετρο του γεωφώνου. Αν το σημείο της έκρηξης και το γεώφωνο βρισκόταν στις ανοιγμένες τους θέσεις P και Q, οι δυο πλάγιες στιγμμένες γραμμές θα ήταν οι τροχιές του κύματος μέσα στο στρώμα. Έτσι, η διόρθωση για την έκρηξη θα είναι  $t_1 = (AB/v_0) - (CD/v_1)$  ή  $t_1 = (AB/v_0) - (PB/v_1)$ . Αλλά ο χρόνος αυτός είναι ο χρόνος καθυστέρησης, που αντιστοιχεί στο στρώμα πάχους  $AP = \epsilon - h - d$  και συνεπώς θα είναι  $t_1 = (\epsilon - h - d) \text{ συν} i_c / v_0$ . Κατά όμοιο τρόπο αποδεικνύεται ότι η διόρθωση, που αντιστοιχεί στο γεώφωνο, είναι  $t_2 = (E - d) \text{ συν} i_c / v_0$ . Η ολική διόρθωση λόγω της διαφοράς υψομέτρου θα είναι  $\Delta t_0 = t_1 + t_2$ . Αν εκφράσουμε το  $\text{συν} i_c$  σε συνάρτηση με τις ταχύτητες  $v_0$  και  $v_1$  βρίσκουμε τελικά ότι

$$\Delta t_0 = \frac{(e - h + E - 2d) \sqrt{v_1^2 - v_0^2}}{v_0 v_1} \quad (91)$$



**Σχήμα 39** Το σημείο της έκρηξης, A, και το γεώφωνο, E, βρίσκονται σε διαφορετικό υψόμετρο (Dobrin 1976).

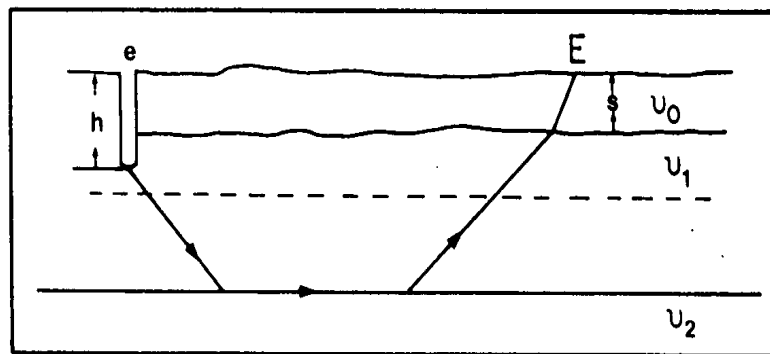
**β) Διόρθωση για το στρώμα αποσάθρωσης.** Η ταχύτητα των κυμάτων στο πολύ επιφανειακό αποσαθρωμένο στρώμα είναι μικρή σε σχέση με την ταχύτητα των κυμάτων μέσα στα ιζηματογενή πετρώματα, που βρίσκονται κάτω από αυτό. Συνέπεια αυτού είναι ο υπολογισμός εικονικού βάθους της επιφάνειας διάθλασης. Για το λόγο αυτό, πρέπει να γίνει κατάλληλη διόρθωση.

Η απλούστερη μέθοδος καθορισμού της διόρθωσης αυτής βασίζεται στην εύρεση του πάχους και της ταχύτητας του αποσαθρωμένου στρώματος, για τον υπολογισμό, με βάση τα στοιχεία αυτά, του αντίστοιχου χρόνου συνάντησης. Ο χρόνος αυτός αφαιρείται από το χρόνο συνάντησης που βρίσκεται από την καμπύλη χρόνων διαδρομής. Για τον καθορισμό του πάχους,  $s$ , και της ταχύτητας,  $u_0$ , του αποσαθρωμένου στρώματος, γίνεται βοηθητικό πείραμα. Κατά το πείραμα αυτό γίνεται σειρά μικρών εκρήξεων, οι οποίες γράφονται από γεώφωνα που βρίσκονται σε μικρές αποστάσεις. Με βάση το πείραμα αυτό υπολογίζεται ο χρόνος καθυστέρησης, που αντιστοιχεί στο πάχος  $s$  του αποσαθρωμένου στρώματος.

Μετά, βρίσκεται η υψομετρική διόρθωση, που αντιστοιχεί στον πυθμένα του στρώματος αποσάθρωσης κάτω από το γεώφωνο (σχ.40), δηλαδή, βρίσκεται ο χρόνος καθυστέρησης, που αντιστοιχεί στο πάχος  $E - s$ .

Συνεπώς, η συνολική διόρθωση, η οποία πρέπει να αφαιρεθεί από το μετρούμενο χρόνο συνάντησης που βρίσκεται κατά το κανονικό πείραμα, δίνεται από τη σχέση

$$\Delta t_{\alpha} = \frac{s\sqrt{u_2^2 - u_0^2}}{u_0 u_2} + \frac{(e + E - h - s - 2d)\sqrt{u_2^2 - u_1^2}}{u_1 u_2} \quad (92)$$



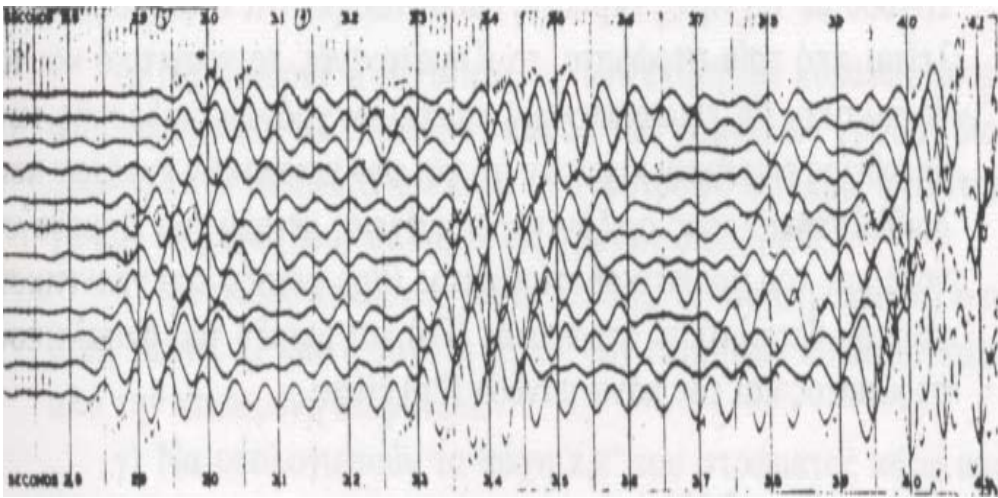
**Σχήμα 40.** Το αποσαθρωμένο στρώμα, πάχους  $\delta$ , πρέπει να λαμβάνεται υπόψη κατά την εφαρμογή της μεθόδου της διάθλασης (Dobrin 1976).

#### 4.14 Συσχέτιση των Αναγραφών Διάθλασης

Κατά τα πρώτα χρόνια εφαρμογής της μεθόδου της διάθλασης χρησιμοποιούνταν οι πρώτες αφίξεις των κυμάτων για τον καθορισμό του βάθους μιας ασυνέχειας όπου τα κύματα υφίστανται διάθλαση. Η συσχέτιση των πρώτων αφίξεων των κυμάτων που αναγράφονται από μια σειρά γεωφώνων δεν παρουσιάζει σημαντικές δυσκολίες. Συνεπώς, η κατασκευή καμπύλων χρόνων διαδρομής των απευθείας κυμάτων, καθώς και των διαθλωμένων στην επιφάνεια αυτή κυμάτων, είναι

σχετικά εύκολη. Αργότερα, όμως, χρησιμοποιήθηκαν και άλλες αφίξεις μετωπικών κυμάτων που διαθλάστηκαν σε επιφάνειες οι οποίες βρίσκονται σε διάφορα βάθη. Για τον καθορισμό των βαθών αυτών και των ταχυτήτων μέσα στα στρώματα, είναι απαραίτητη η ορθή συσχέτιση των αφίξεων, που οφείλονται στην ίδια επιφάνεια διάθλασης και έχουν αναγραφεί από γεώφωνα τα οποία βρίσκονται σε διάφορες αποστάσεις.

Το σχήμα 41 παριστάνει τις αναγραφές έκρηξης από 12 γεώφωνα κατανεμημένα σε αποστάσεις μεταξύ 13,4 και 16,2 ΚΜ περίπου, από το σημείο της έκρηξης. Οι αναγραφές αυτές πραγματοποιήθηκαν στο δυτικό Τέξας. Παρατηρούμε ότι σε τρεις περιπτώσεις τα πλάτη των κυμάτων είναι σημαντικά και οι συσχετίσεις είναι σαφείς. Συνεπώς, υπάρχουν τρεις, τουλάχιστον, επιφάνειες διάθλασης των κυμάτων.

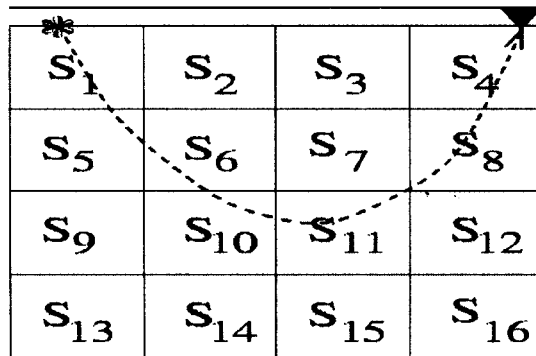


**Σχήμα 41.** Αναγραφές κυμάτων διάθλασης από δώδεκα γεώφωνα που βρίσκονται σε διάφορες αποστάσεις από το σημείο της έκρηξης (Jakosky 1957).

## 5. ΣΕΙΣΜΙΚΕΣ ΕΡΕΥΝΕΣ ΣΕ ΓΕΩΤΡΗΣΕΙΣ

### 5.1 Σεισμική Διασκόπηση Μεταξύ Γεωτρήσεων (CROSSHOLE)

Στην αυξανόμενη αξιοπιστία των σεισμικών μεθόδων σημαντική είναι η συμβολή της σεισμικής τομογραφίας. Στη μέθοδο αυτή γίνεται καθορισμός των γεωφυσικών ιδιοτήτων ενός σώματος μελετώντας τα αποτελέσματα που εξάγονται από τη μελέτη της 'συμπεριφοράς' των σεισμικών ακτίνων διαμέσου του σώματος (σχήμα 42).



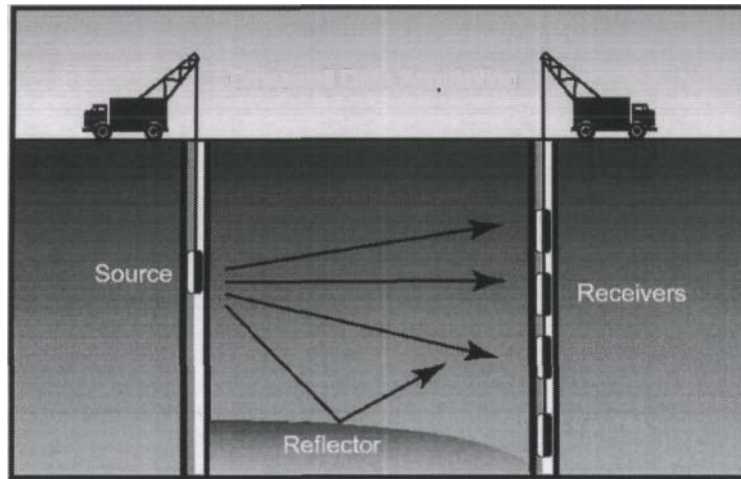
**Σχήμα 42** Πείραμα σεισμικής τομογραφίας. Τα σεισμικά ελαστικά κύματα διαπερνούν το χώρο μελέτης, ενώ καταγράφονται και από τα γεώφωνα επιφανείας. Ετερογένειες στις ταχύτητες του μέσου, προκαλούν μεταβολές στους χρόνους διαδρομής των σεισμικών κυμάτων, οι οποίες χρησιμοποιούνται για την απεικόνιση αυτών των ετερογενειών.

Κατά την τομογραφική ανάλυση υποτίθεται είτε ότι η ιδιότητα είτε το χαρακτηριστικό για το οποίο γίνεται η ερμηνεία είναι μια συνεχής συνάρτηση θέσης (μέθοδος μετασχηματισμού), ή ότι το μέσο που μελετήθηκε, συνίσταται από πεπερασμένο αριθμό στοιχείων, καθένα από τα οποία έχει μια διακριτή τιμή της ιδιότητας. Έτσι ο χώρος χωρίζεται σε έναν τρισδιάστατο κάνναβο και τα δεδομένα εκφράζονται ως γραμμικό ολοκλήρωμα κατά μήκος της σεισμικής ακτίνας που κινείται διαμέσου των 'κελιών' του καννάβου.

Τα σεισμικά κύματα μεταφέρουν πληροφορίες για τον χώρο μελέτης, σκιαγραφώντας τις ανωμαλίες ταχύτητας. Η τομογραφία σαν θεωρία είναι ευρέως εφαρμόσιμη. Σε αντίθεση με άλλες επιστήμες όπου δεχόμαστε ευθύγραμμες ακτίνες, τα σεισμικά κύματα κινούνται σε καμπυλωμένες γραμμές και ο προσδιορισμός της γεωμετρίας αυτών αποτελεί ένα πρόσθετο πρόβλημα.

Η εφαρμογή της μεθόδου προϋποθέτει την ύπαρξη τουλάχιστον δύο γεωτρήσεων, στην μια εκ των οποίων τοποθετείται η πηγή και στην άλλη το γεώφωνο. Στόχος είναι η γνώση των ιδιοτήτων του χώρου μεταξύ των γεωτρήσεων (Wong et al. 1987, Rutledge 1989, Lines 1991) (σχήμα 43).



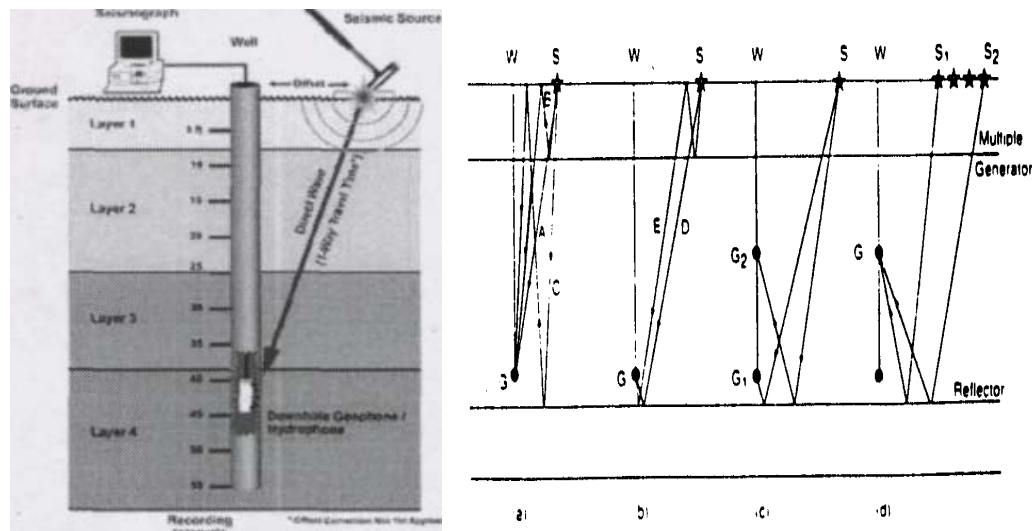


**Σχήμα 43** Διάταξη σεισμικής τομογραφίας μεταξύ γεωτρήσεων. (Williams et al. 1997)

Η εφαρμογή αυτής της μεθόδου επιτρέπει τον άμεσο και ακριβή προσδιορισμό των ταχυτήτων των επιμηκών και διατμητικών κυμάτων με το βάθος. Πραγματοποιώντας έτσι κάποιο πείραμα με τη σεισμική πηγή τοποθετημένη σε μια γεώτρηση και τα γεώφωνα τοποθετημένα σε διάφορα βάθη σε μια άλλη γεώτρηση, έχουμε έναν αριθμό σεισμικών ακτίνων. Εάν αλλάξουμε την θέση της πηγής μέσα στην γεώτρηση, τότε θα έχουμε ένα νέο αριθμό σεισμικών ακτίνων. Επομένως, όσα περισσότερα είναι τα βάθη στα οποία ενεργοποιείται η πηγή, τόσα περισσότερα είναι και τα δεδομένα από τον χώρο μελέτης. Οι χρόνοι διαδρομής των σεισμικών ακτίνων, παρέχουν τομογραφικά δεδομένα τα οποία μας δείχνουν, πως η μεταβολή των ταχυτήτων στον χώρο μεταξύ των γεωτρήσεων μπορεί να επηρεάσει τη σεισμική ακτίνα (Peterson et al. 1985). Θεωρητικά, μπορεί να γίνει καταγραφή τόσο των χρόνων διαδρομής όσο και του πλάτους των κυμάτων. Κατόπιν ακολουθεί επίλυση του συστήματος για τον προσδιορισμό του αγνώστου πεδίου ταχυτήτων και της κατανομής της απόσβεσης στο χώρο (Q-map) στην περιοχή μελέτης. Πρέπει να σημειωθεί ότι η σεισμική τομογραφία μεταξύ γεωτρήσεων πλεονεκτεί έναντι της συμβατικής σεισμικής διάθλασης στο ότι μπορεί να ανιχνεύσει στρώσεις με ταχύτητες μικρότερες από αυτές των υπερκείμενων στρωμάτων.

## 5.2 Κατακόρυφη Σεισμική Τομογραφία

Πολλές φορές η σεισμική τομογραφία εφαρμόζεται τοποθετώντας την πηγή στην επιφάνεια και τα γεώφωνα στην γεώτρηση. Αυτό έχει σαν αποτέλεσμα να παίρνουμε μια κατακόρυφη σεισμική τομή (Κ.Σ.Τ Vertical Seismic - VSP). Στη μέθοδο αυτή, τα γεώφωνα βρίσκονται σε διάφορα βάθη και καταγράφουν τους χρόνους των πρώτων αφίξεων. Τα γεώφωνα είναι συνήθως σε μικρή απόσταση μεταξύ τους, με αποτέλεσμα οι μετρήσεις να είναι της μορφής του σχήματος 7.3. Κατά την εφαρμογή της μεθόδου γίνεται καταγραφή των κυμάτων χώρου P, SV και SH.

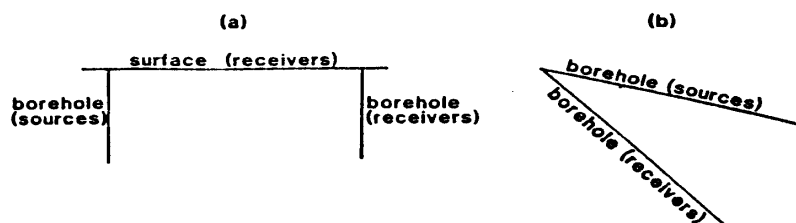


**Σχήμα 44** Αναπαράσταση των σεισμικών ακτίνων σε πείραμα κατακόρυφης σεισμικής τομογραφίας. (B) (α και β) Μηδενικής ολίσθησης Κ.Σ.Τ, το WS είναι πολύ μικρό. (c) Κ.Σ.Τ με ολίσθηση (το WS είναι μεγάλο), (d) walkaway VSP ( $WS_2 \gg WS_1$ ). Οι προς τα κάτω αφίξεις στο γεώφωνο G φαίνονται στο (α), ενώ οι προς τα πάνω στα (b,c και d). A, ένα προς τα κάτω απευθείας κύμα (πρώτη άφιξη), B και C, προς τα κάτω πολλαπλές ανακλάσεις, D, μια προς τα πάνω ανάκλαση και E, μια προς τα πάνω πολλαπλή ανάκλαση (Sheriff και Geldart 1995).

### 5.3 Προδιαγραφές Διάνοιξης Γεώτρησης

Ένα τμήμα της εργασίας υπαίθρου είναι η διάνοιξη των κατάλληλων γεωτρήσεων. Όλες οι εργασίες υπαίθρου (γεωτρήσεις, σωληνώσεις, πλήρωση με ένεμα, επιλογή θέσεων και αποστάσεων) καθώς και οι μετρήσεις που ακολουθούν την εργασία πεδίου, γίνονται σύμφωνα με τις προδιαγραφές της οδηγίας ASTM D4428 / D4428M – 84.

Για την πραγματοποίηση των μετρήσεων γίνονται γεωτρήσεις με διάμετρο 4.5 – 9.5 in, έτσι ώστε να είναι συμβατή με το μέγεθος του τεχνικού εξοπλισμού. Οι γεωτρήσεις γίνονται είτε και οι δύο κατακόρυφες (έχοντας κάποια μικρή απόκλιση από την κατακόρυφο), είτε και οι δύο κεκλιμένες με την ίδια ή διαφορετική κλίση, είτε η μια κατακόρυφη και η άλλη κεκλιμένη (σχήμα 45). συνήθως οι γεωτρήσεις διανοίγονται όσον το δυνατό πιο κοντά στην κατακόρυφο.



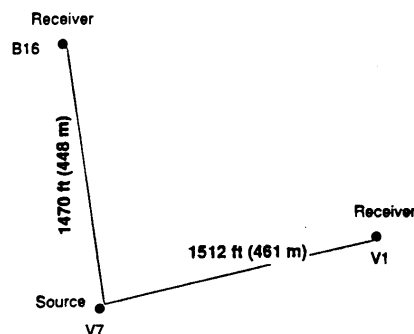
**Σχήμα 45** Δύο τυπικές διατάξεις κατά την εκτέλεση σεισμικής τομογραφίας μεταξύ γεωτρήσεων (S. Ivansson 1986).

Μετρήσεις πραγματοποιούνται τόσο σε σωληνωμένες όσο και σε μη σωληνωμένες γεωτρήσεις. Έχει παρατηρηθεί ότι η σωλήνωση στην γεώτρηση, απλοποιεί τη διαδικασία συγκέντρωσης των δεδομένων πεδίου, διότι εξαλείφει την πιθανότητα βύθισης (κατακρήμνισης της γεώτρησης), κατά την διάρκεια ή πριν της εργασίας υπαίθρου. Στην περίπτωση αμμωδών ή χαλικωδών εδαφών, η χρήση σωλήνωσης είναι επιτακτική.

Η γεώτρηση μπορεί να είναι στενή ή γεμάτη με νερό, χωρίς καμία επίδραση στην μέτρηση των ταχυτήτων των διατμητικών κυμάτων.

Συχνά είναι απαραίτητη η χρήση ενέματος, το οποίο είναι μίγμα τσιμέντου, μπετονίτη και νερού, έτσι ώστε ο σωλήνας και το περιβάλλον μέσο να αποκτήσουν στενή επαφή. Το πάχος του ενέματος μεταξύ του σωλήνα και των τοιχωμάτων της γεώτρησης δεν πρέπει να υπερβαίνει το 1% της απόστασης μεταξύ των γεωτρήσεων. Ένα πιο παχύ ένεμα θα είχε αρνητικές επιδράσεις στον χρόνο διαδρομής μεταξύ των γεωτρήσεων. Η χρήση ενέματος δεν είναι πάντα απαραίτητη. Η γεώτρηση στην οποία τοποθετούνται τα γεώφωνα, μπορεί να παραμείνει γεμάτη από την λάσπη που προέρχεται από την διάτρηση. Το γέμισμα με άμμο γύρω από τον σωλήνα της γεώτρησης, δεν φαίνεται να λειτουργεί καλά ειδικά για βαθιές γεωτρήσεις.

Οι γεωτρήσεις διατάσσονται στον χώρο με τρόπο έτσι ώστε να καλύπτεται μεγαλύτερη περιοχή του χώρου μελέτης. Επιδιώκεται επίσης η καλύτερη δυνατή απεικόνιση του αντικειμένου που πρέπει να ανιχνευθεί. Πολλές φορές οι γεωτρήσεις έχουν ακτινική διάταξη, έτσι ώστε μετά το τέλος της έρευνας να παράγεται τρισδιάστατη απεικόνιση του χώρου μελέτης (σχήμα 46)



**Σχήμα 46** Ακτινική διάταξη των γεωτρήσεων σε πείραμα σεισμικής τομογραφίας μεταξύ γεωτρήσεων (Lee et al. 1995).

Οι αποστάσεις των γεωτρήσεων μεταξύ τους, είναι της τάξης των δεκάδων μέτρων συνήθως, έως και εκατοντάδες μέτρων για μελέτες με μεγάλη απόσταση γεωτρήσεων. Η επιλογή κάθε φορά της απόστασης των γεωτρήσεων, η οποία παίζει σημαντικό ρόλο στην ποιότητα των δεδομένων, καθορίζεται από το είδος της πηγής και από την ισχύ της, από το είδος των σχηματισμών που μεσολαβούν μεταξύ των γεωτρήσεων και καθορίζουν την απόσβεση ή όχι του σήματος και τέλος, από το αν είναι αναγκαία ή όχι η μεγάλη απόσταση στην έρευνα.

Οι Mathisen et al. (1995) παρατήρησαν ότι τα δεδομένα κυμάτων P και S από δίκτυο γεωτρήσεων με μεγάλη απόσταση, ήταν χαμηλότερης ποιότητας. Αντίθετα, αυτά των μικρών αποστάσεων είχαν υψηλότερο συχνοτικό περιεχόμενο, καλύτερο λόγο σήματος προς θόρυβο και μικρότερη παραμόρφωσης φάσης.

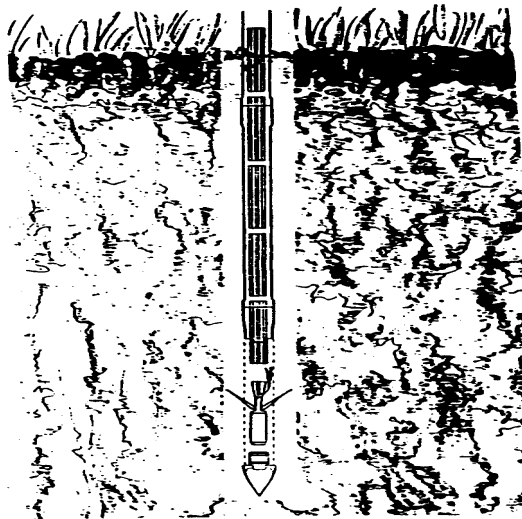
Στην περίπτωση της διασκόπησης σε μεγάλες αποστάσεις προτιμούνται σεισμικές πηγές υψηλών συχνοτήτων (μερικών kHz), οι οποίες βελτιώνουν την ποιότητα των δεδομένων αλλά και την ευκολία με την οποία μπορεί να γίνει ο καθορισμός της πρώτης άφιξης.

Τα βάθη στα οποία πραγματοποιούνται οι μετρήσεις εξαρτώνται από τον στόχο που υπάρχει κάθε φορά. Έτσι, π.χ. στην μεταλλευτική και γεωθερμική έρευνα τα βάθη είναι μεγάλα φτάνοντας πολλές φορές μέχρι και τα 3000m.

Οι γεωτρήσεις κατά την διάρκεια της μελέτης χρησιμοποιούνται κατά ζευγάρια. Στην μία από αυτές τοποθετούνται οι σεισμικές πηγές και στην άλλη τα υδρόφωνα που είναι συνήθως τριών συνιστωσών. Πολλές φορές γίνεται χρήση δύο γεωτρήσεων, ή ενός δικτύου γεωτρήσεων με άλλο τρόπο διάταξης, όπου τοποθετούνται για παράδειγμα, μέσα σε όλες τις γεωτρήσεις, δέκτες και μια πηγή ή ένα δίκτυο πηγών στην επιφάνεια ή και το αντίστροφο.

#### 5.4 Δέκτες – Γεώφωνα

Τα γεώφωνα έχουν τον ρόλο του φωρατή, δηλαδή μετασχηματίζουν την κίνηση του εδάφους σε ηλεκτρικό σήμα. Συνήθως χρησιμοποιούνται γεώφωνα τριών συνιστωσών (μια κατακόρυφη και δύο οριζόντιες), ιδιοσυχνότητας 8-20 Hz. Ο τρόπος με τον οποίο τοποθετούνται οι πηγές και οι φωρατές μέσα στις γεωτρήσεις, ποικίλει, για αυτό και κάθε κατασκευάστρια εταιρία εφαρμόζει την δική της μέθοδο.



**Σχήμα 47** Είδος γεωφώνου εφαρμοζόμενο σε γεώτρηση (Eijkelkamp Seismic Products).

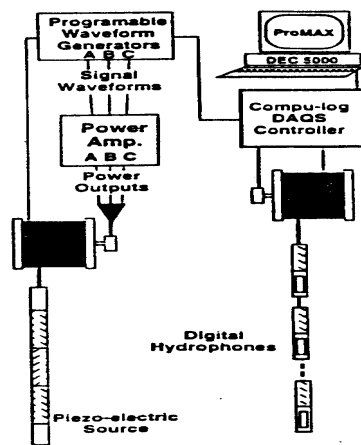
Υπάρχουν συστήματα, όπου ο πομπός και ο δέκτης διαθέτει ένα αερόσακο που φουσκώνει και έτσι αυτά τα όργανα σταθεροποιούνται στο επιθυμητό βάθος. Η πίεση που εφαρμόζεται για να σταθεροποιηθεί το γεώφωνο είναι 5psi περίπου. Για την εισαγωγή του αέρα, χρησιμοποιείται μια αεραντλία. Στην σεισμική τομογραφία, τα γεώφωνα απαιτείται να έχουν υψηλή ευαισθησία, να λειτουργούν σε μεγάλο εύρος συχνοτήτων έτσι ώστε να δίνουν σήμα στις πιθανές μικρές συχνότητες και να παρέχουν καλή ανάλυση του σήματος. Το σύστημα που έχει δώσει τα καλύτερης ποιότητας δεδομένα είναι η μέθοδος με τους τσιμεντομένους δέκτες (cemented

receiver). Το τσιμεντομένο καλώδιο των γεωφώνων παίζει σπουδαίο ρόλο στη συλλογή καλής ποιότητας δεδομένων, διότι :

- 1) Βελτιώνει την ποιότητα των δεδομένων, λόγω καλύτερης σύζευξης μεταξύ γεώτρησης και γεωφώνων.
- 2) Μειώνεται κατά πολύ ο χρόνος που χρειάζεται για την ολοκλήρωση μιας τομογραφίας.
- 3) Μειώνει την αβεβαιότητα που εισάγει στις μετρήσεις η θέση και ο προσανατολισμός των γεωφώνων κατά την διάρκεια των μετρήσεων.

Υπάρχουν διαφορές και στις αποστάσεις μεταξύ των δεκτών ή των πηγών. Οι αποστάσεις κυμαίνονται από τα 10m έως και τα 70cm. Στην τελευταία περίπτωση γίνεται μια πιο λεπτομερής μελέτη του χώρου. Στα πλεονεκτήματα της πολύ πυκνή δειγματοληψίας συμπεριλαμβάνεται η αποφυγή της τμηματικής δίπλωσης των υψηλών συχνοτήτων στα σωληνοκύματα. Με την πολύ πυκνή δειγματοληψία επιτυγχάνεται επίσης η αναγνώριση λεπτών ενστρώσεων.

Κατά την διαδικασία των μετρήσεων μπορεί να χρησιμοποιηθεί καταγραφικό ενός καναλιού ή πολυκάναλο (σχήμα 48)



**Σχήμα 48.** Στο σχήμα απεικονίζονται τα κυριότερα μέρη ενός πολυκάναλου καταγραφικού. Το σύστημα αποτελείται από τρεις πηγές πιεζοηλεκτρικού τύπου και μια διάταξη ψηφιακών υδροφώνων. Η πηγή πυροδοτείται κατά την διάρκεια της κίνησης (on the fly). Τα δεδομένα επεξεργάζονται στο χώρο εργασίας με το πρόγραμμα επεξεργασίας σεισμικών δεδομένων ProMax® (Harris et al. 1995).

Με την χρήση τέτοιου καταγραφικού, επιτυγχάνεται η καταγραφή έως και 1600 σεισμικών ακτίνων (π.χ. με το συνδυασμό 40 πηγών και 40 δεκτών). Η πολλαπλότητα των σεισμικών ακτίνων, παίζει σπουδαίο ρόλο στην ακρίβεια και τη σωστή γεωλογική ερμηνεία των μετρήσεων. Σε διάφορες περιπτώσεις, έχει μετρηθεί ότι για την πραγματοποίηση των μετρήσεων με 40 κανάλια, χρειάζονται περίπου 6 ώρες, ενώ με 120 κανάλια μόνο 2 ώρες.

## 5.5 Πηγές

Ένας από τους σημαντικούς παράγοντες για τη σωστή πραγματοποίηση μιας γεωφυσικής διασκόπηση είναι η πηγή των ελαστικών κυμάτων. Τα είδη των πηγών

που χρησιμοποιούνται κατά την διάρκεια σεισμικής διασκόπησης είναι, το αεροβόλο (Airgun), ο υδραυλικός δονητής (Vibrator), ο δυναμίτης (Dynamite) και ο πιεζοηλεκτρικός καμπτήρας (Piezoelectric bender). Η επιλογή της πηγής (μηχανική ή εκρηκτική), εξαρτάται κάθε φορά από το μέγεθος της ισχύος που επιθυμείται, όπως και από το συχνοτικό περιεχόμενο του συρμού που παράγεται και κατά συνέπεια επηρεάζει το συχνοτικό περιεχόμενο του σήματος (λόγω κοντινού πεδίου). Εάν χρειαζόμαστε υψίσυχο περιεχόμενο, τότε χρησιμοποιούμε έκρηξη, ενώ στην περίπτωση που θέλουμε χαμηλόσυχο περιεχόμενο χρησιμοποιούμε μηχανική πηγή.

Η παραγωγή των ελαστικών κυμάτων πρέπει να είναι επαναλήψιμη, έτσι ώστε στο ίδιο σημείο δοκιμής να επαναλαμβάνονται οι μετρήσεις. Όποιο είδος πηγής και να χρησιμοποιηθεί το σήμα το οποίο κάθε φορά συλλέγεται και καταγράφεται είναι το άθροισμα του αποτελέσματος 4 έως 16 ανά σημείο πυροδοτήσεων.

Η χρήση των εκρηκτικών πηγών, δίνει πιο ευδιάκριτες τις πρώτες αφίξεις των P κυμάτων, σε αντίθεση με τις μηχανικές πηγές που παράγουν πιο ευδιάκριτες τις αφίξεις των S κυμάτων και σχεδόν άτονες αφίξεις των P κυμάτων (McLamore et al. 1978).

### **5.6 Πραγματοποίηση των σεισμικών καταγραφών : stop – and – go method και on the fly method**

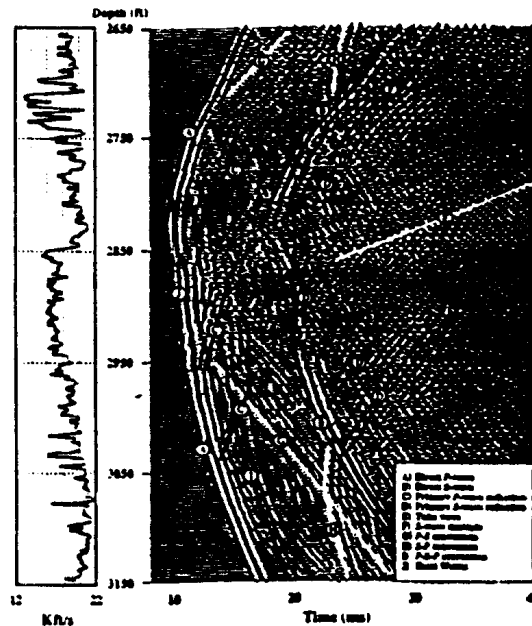
Όταν χρησιμοποιήθηκε για πρώτη φορά η συνεχής μέθοδος μετρήσεων (on the fly) θεωρήθηκε σημαντική καινοτομία. Σύμφωνα με αυτήν, η πηγή πυροδοτείται κατ'επανάληψη, καθώς αυτή κινείται συνεχώς προς τα πάνω. Η μέθοδος με τις διακριτές μετρήσεις (stop and go) είναι γενικά πολύ αργή και ακατάλληλη για πυκνή δειγματοληψία. Η χρήση τη νέας συνεχούς μεθόδου (on the fly) έχει τα εξής πλεονεκτήματα :

1. βελτίωσε κατά πολύ τον έλεγχο των μετρήσεων με το βάθος (improve depth control),
2. έδωσε την δυνατότητα πολύ πυκνής δειγματοληψίας, πράγμα που είχε ως αποτέλεσμα την αποφυγή του φαινομένου της δίπλωσης σε σήματα υψηλών συχνοτήτων
3. έδωσε την δυνατότητα καταγραφής με ρυθμό 1000 μετρήσεις ανά ώρα.

Με τη συνεχή μέθοδο, για να καταγραφούν 40000 σεισμικά ίχνη χρειάζεται περίπου 40 ώρες, δηλαδή 10 φορές ταχύτερα από την προηγούμενη μέθοδο καταγραφής. Η αύξηση της ταχύτητας με την οποία γίνεται η λήψη των μετρήσεων και η δυνατότητα πιο πυκνών μετρήσεων (on the fly method), είχε σαν αποτέλεσμα να μειωθεί η συμμετοχή του ανθρώπινου παράγοντα, και άρα να μειωθεί το ανθρώπινο λάθος, ενώ ταυτόχρονα βελτιώθηκε η ποιότητα των δεδομένων.

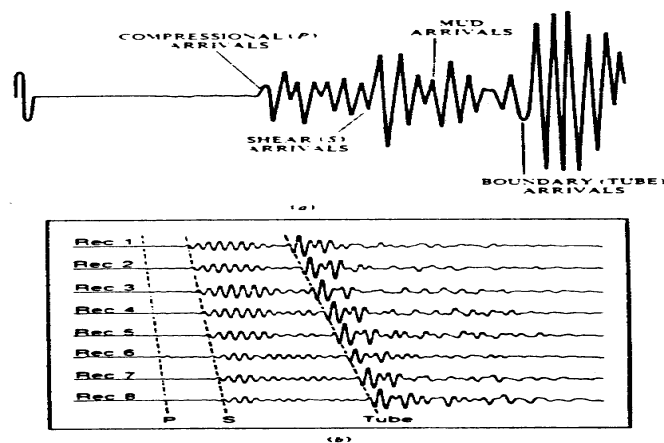
### **5.7 Τι μετράται σε ένα πείραμα μεταξύ γεωτρήσεων**

Κατά την διάρκεια των μετρήσεων γίνεται καταγραφή των απευθείας P και S κυμάτων, των πρώτων P και S ανακλάσεων, των μετατροπών των P σε S και αντίστροφα (σχήμα 49). Τα απευθείας κύματα καταφθάνουν πριν τα εγκάρσια.



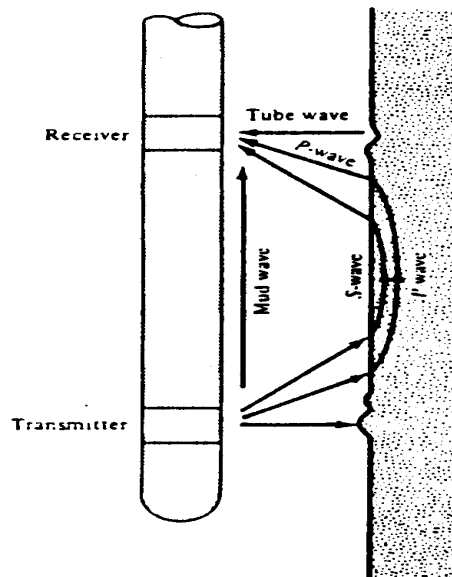
**Σχήμα 49.** Απεικόνιση και ερμηνεία μερικών, από των πολλών τύπων σεισμικών κυμάτων που καταγράφονται κατά την διάρκεια μιας σεισμικής τομογραφίας (Van Schaack et al. 1995).

Οι χρόνοι διαδρομής των απευθείας επιμήκων κυμάτων είναι εύκολο να μετρηθούν με σημαντική ακρίβεια. Μεταγενέστερες αφίξεις επιμήκων κυμάτων δεν αποτελούν δεδομένα για επεξεργασία, διότι περιέχουν καταγραφές θορύβων. Αντίθετα οι πρώτες αφίξεις των εγκάρσιων κυμάτων είναι πολύ ασαφείς λόγω των άλλων τύπων κυμάτων (σωληνοκύματα και κύματα που προέκυψαν από τις μετατροπές), με αποτέλεσμα να χρησιμοποιούνται ελάχιστα στην σεισμική τομογραφία. Τυπικές καταγραφές κυματομορφών μέσα σε γεωτρήσεις δίνονται στο σχήμα 49, στο οποίο παρουσιάζονται οι αφίξεις των P,S κυμάτων, καθώς και οι πρώτες αφίξεις των κυμάτων από τη λάσπη που εμπεριέχεται μέσα στη σωληνωμένη γεώτρηση και τα σωληνοκύματα.



**Σχήμα 50.** Καταγραφές κυματομορφών μέσα σε γεώτρηση. (α) Κυματομορφή με σημειωμένες τις αφίξεις των P,S κυμάτων, των αφίξεων από τη λάσπη της γεώτρησης (mud arrivals) και των σωληνοκυμάτων. (β) Κυματομορφές από οκτώ δέκτες με διάστημα 15cm (Morris, Little and Letton, 1984).

Στο παρακάτω σχήμα 51 εικονίζονται οι ακτίνες διαδοχής για τα παραπάνω κύματα.



**Σχήμα 51.** Ακτίνες διάδοσης για τα P και S όπως και για τα mud και σωληνοκύματα (Labo, 1987).

Στην περίπτωση όμως που γίνει χρήση κατάλληλης πηγής παραγωγής S κυμάτων, τότε τα S κύματα αναγνωρίζονται ευκολότερα από ότι τα P, γιατί χαρακτηρίζονται από σχετικά μεγάλο πλάτος και μεγάλη περίοδο, σε σχέση με τα P. τα P κύματα, εύκολα συγχέονται με το θόρυβο, λόγω του μικρού πλάτους και του πλούσιου σε υψηλές συχνότητες φάσματός τους.

Με χρήση μόνο των P κυμάτων σε πείραμα σεισμικής τομογραφίας, έχει γίνει γεωλογική ερμηνεία μιας περιοχής (Lo et al. 1990, Harris et al. 1990, Lines 1991, Justice et al. 1992), προσδιορισμός λιθολογίας και πορώδους (Inderwiessen and Lo 1990, Lines et al. 1993), προσδιορισμός κορεσμού σε ρευστά (Lo et al. 1990) και ανίχνευση υπεδάφιου CO<sub>2</sub> (Justice et al. 1993).

Έχει παρατηρηθεί ότι η παρουσία ρευστών στον χώρο έρευνας, επηρεάζει πολύ την ταχύτητα των S κυμάτων και όχι των P. σύμφωνα με τα παραπάνω, καταλήγουμε στο συμπέρασμα ότι καλής ποιότητας δεδομένα κατά την έρευνα σε γεωθερμικά πεδία γίνεται μόνο με τη χρήση των διατμητικών κυμάτων όπως προτάθηκε από τους Medlin και Alhilali (1990).

Επίσης, η ύπαρξη υδροφόρου ορίζοντος, η μεγάλη ακουστική αντίθεση και οι ετερογένειες των εδαφικών υλικών είναι ικανές να προκαλέσουν συμβολές των ανακλώμενων, διαθλώμενων και περιθλώμενων κυμάτων, σε βαθμό που να αλλοιώνονται αισθητά οι χρόνοι διαδρομής των πρώτων αφίξεων, ιδιαίτερα των P κυμάτων (Statton et al. 1978).

Σε πειράματα σεισμικής τομογραφίας, έχει παρατηρηθεί ότι τα πλούσια σε υψηλές συχνότητες δεδομένα, είναι κατάλληλα μόνο για τομογραφία χρόνων διαδρομής, ενώ είναι ακατάλληλα για τομογραφία ανακλάσεων (Rector et al. 1995).



Υπάρχει διαφορά στην καταγραφή και την επεξεργασία των P και των S κυμάτων. Έτσι για τα P κύματα χρησιμοποιούμε κοινές οικογένειες δεκτών ενώ για τα S κύματα χρησιμοποιούνται κοινές οικογένειες πηγών.

Ταυτόχρονα γίνεται καταγραφή διαθλάσεων και ανακλάσεων, προς τα πάνω και προς τα κάτω (upgoing – downgoing) επιφανειακών κυμάτων, κωνικών κυμάτων (conical waves) κ.α.

## 5.8 Θόρυβος

Τα κύματα που παράγει η σεισμική πηγή, είναι αυτά που απαιτούνται για την μελέτη της ερευνόμενης περιοχής. Στην περίπτωση όμως της σεισμικής διασκόπησης, τα κύματα που φθάνουν και καταγράφονται στα γεώφωνα, είναι ένα μίγμα από αυτά τα κύματα και θόρυβο. Ως θόρυβο θεωρούμε όλα τα σήματα, τα οποία παρεμβάλλονται σε αυτά που παρήγαγε η πηγή, και από τα οποία δεν μπορούμε να πάρουμε πληροφορίες για την δομή του υπεδάφους.

### 5.8.1 Θόρυβος κατά την διάρκεια των καταγραφών

Ο θόρυβος ανάλογα με την προέλευση του χωρίζεται σε πέντε κατηγορίες :

#### ➤ **θόρυβος περιβάλλοντος**

Ο τύπος αυτός του θορύβου προέρχεται από σήματα που καταφθάνουν στα όργανα συνεχώς, ακόμα και κατά την απουσία του σήματος της πηγής. Ο θόρυβος αυτός αποτελεί κάτι το μόνιμο αλλά μεταβάλλεται με τον χρόνο και την απόσταση. Πηγές του θορύβου είναι ο άνεμος, η ανθρώπινη κίνηση κατά την διάρκεια των μετρήσεων, καθώς και οι μικροδονήσεις από την κυκλοφορία οχημάτων κοντά στην περιοχή μελέτης.

Για την εξουδετέρωση της επίδρασης του θορύβου αυτού, ενισχύεται το πλάτος του σεισμικού σήματος, δηλαδή αυξάνεται η ενέργεια του. Έτσι αφού ο θόρυβος δεν εξαρτάται από την πηγή γένεσης των κυμάτων, δεν θα αυξάνεται με την αύξηση της ενέργειας την οποία εισάγουμε στο έδαφος στην θέση της πηγής.

#### ➤ **Γεωλογικός θόρυβος**

Παράγοντα σφάλματος μπορεί να αποτελέσει επίσης, η πληρότητα ή όχι των διακένων ανάμεσα στην γεώτρηση και στην σωλήνωση της, καθώς και το είδος του υλικού πλήρωσης. Πρέπει τα διάκενα να γεμίσουν με υλικό που να έχει ανάλογη υφή με αυτή του εδάφους. Η πλήρωση με ένεμα βοηθάει, έτσι ώστε να περιορίζεται η ζώνη διατάραξης.

#### ➤ **Θόρυβος από την πηγή**

Ο θόρυβος που παράγεται από την πηγή είναι αυτός της ιδιοκίνησης του εδάφους λόγω πυροδότησης. Γενικά το μέγεθος αυτού του θορύβου αυξάνεται με την αύξηση της μεταδιδόμενης ενέργειας στο έδαφος. Έτσι αύξηση της ενέργειας της πηγής δεν βελτιώνει τον λόγο του σήματος προς το θόρυβο.

Ακόμη θόρυβος είναι οι φυσαλίδες που παράγονται κατά την διάρκεια της εκτόνωσης των αεροβόλων μέσα στις γεωτρήσεις. Άρα όσο μεγαλύτερης ενέργειας πηγή αυτού του είδους χρησιμοποιούμε, τόσο περισσότερο θόρυβο θα παράγουμε. Επίσης έχει διαπιστωθεί ότι ο θόρυβος μπορεί να προέρχεται από την εισαγωγή αέρα μέσα στα υγρά της γεώτρησης κατά την διάνοιξη.

### ➤ **Θόρυβος από τα όργανα**

Ο θόρυβος αυτός είναι μια διαφορετική κατηγορία. Οι παραπάνω τύποι καταγράφονται μαζί με τα χρήσιμα σήματα. Ο θόρυβος των οργάνων υπάρχει από τα ίδια τα όργανα και μπορεί να υφίσταται ακόμα και αν δεν υπάρχει εισαγωγή σήματος. Αποτελεί ουσιαστικά παραμόρφωση που προέρχεται από την επεξεργασία που υφίστανται το σήμα όταν εισάγεται στο όργανο. Τέτοιο παράδειγμα είναι η μετατροπή του αναλογικού σήματος εξόδου του γεωφώνου σε ψηφιακό από τον καταγραφέα.

### ➤ **Θόρυβος εξαιτίας ατελειών στη σχεδίαση της διασκόπησης και σφαλμάτων παρατήρησης.**

Στην κατηγορία αυτή συμπεριλαμβάνονται τα σφάλματα κατά τον σχεδιασμό του καννάβου μετρήσεων, καθώς και στη μέτρηση των αποστάσεων.

Η μη σωστή εκτίμηση του κατακόρυφου των γεωτρήσεων μπορεί να εισάγει λάθη μεγάλης τάξης στους χρόνους διαδρομής των αφίξεων βάσει των οποίων υπολογίζονται οι ταχύτητες. Το σφάλμα υπεισέρχεται λόγω του ότι η απόκλιση αυτή ως προς την κατακόρυφο, μεγαλώνει ή μικραίνει την απόσταση μεταξύ των γεωτρήσεων με αποτέλεσμα όταν υπολογίζετε η ταχύτητα να υπάρχει λάθος στους υπολογισμούς.

Σφάλματα παρατηρήσεως κατά την μέτρηση των χρόνων άφιξης των σεισμικών κυμάτων από τις κυματομορφές συμπεριλαμβάνονται επίσης στην κατηγορία αυτή.

Τέλος, σφάλματα κατά την επεξεργασία των μετρήσεων από τον ηλεκτρονικό υπολογιστή, μπορούν να εισαχθούν είτε ως παρενέργεια της συγκεκριμένης μαθητικής διεργασίας που χρησιμοποιήθηκε, είτε από επιπολαιότητα του χειριστή.

## **5.8.2 Αξιολόγηση θορύβου – αντιμετώπιση**

Έχοντας αξιολογήσει το πλάτος των σημάτων που καταγράφονται, πρέπει να γίνει και μια αξιολόγηση του θορύβου, έτσι ώστε κατόπιν να ακολουθήσει φιλτράρισμα των κυματομορφών.

Ο διαχωρισμός του σεισμικού σήματος από τη σύνθεση σήματος και θορύβου την οποία τελικά καταγράφουμε, εξαρτάται από τον λόγο του σήματος προς το θόρυβο και από την ύπαρξη κάποιων διαφορών μεταξύ των δύο αυτών ποσοτήτων. Το πιο σωστό είναι να επιμένουμε στη μεγιστοποίηση του λόγου σήματος προς το θόρυβο. Βέβαια πρέπει πάντα να έχουμε ως αρχή την προστασία της ακεραιότητας του σήματος. Ένας τρόπος βελτίωσης του λόγου σήματος προς θόρυβο είναι η χρήση φίλτρων κατά την διαδικασία συλλογής των μετρήσεων.

Γενικά προβλήματα που αντιμετωπίζουμε είναι, η δυσκολία στον προσδιορισμό των ανακλαστήρων λόγω του χαμηλού λόγου σήματος προς θόρυβο, η μη επάρκεια δεδομένων που προκαλεί δίπλωση και η παρουσία μεγάλου πλάτους σημάτων όπως οι αφίξεις των σωληνοκυμάτων.

## **5.9 Σφάλματα που οφείλονται στην επεξεργασία των μετρήσεων και στις ερμηνευτικές υποθέσεις.**

Σφάλματα τέτοιου είδους προέρχονται από το στάδιο στο οποίο γίνεται η επεξεργασία των μετρήσεων από το πρόγραμμα επεξεργασίας ώστε να καταλήξουμε σε αναπαραγωγή του πεδίου των ταχυτήτων στην περιοχή.

Αιτίες τέτοιων σφαλμάτων είναι οι ακόλουθες :

- Η προσπάθεια ερμηνείας μοντέλων που δεν συμφωνούν με την υπόθεση της επίπεδης και οριζόντιας γεωμετρίας των εδαφικών στρώσεων.
- Για την ίδια περιοχή μελέτης οι υψηλές αντιθέσεις ταχύτητας, συντελούν στο να εξάγονται λανθασμένα αποτελέσματα.
- Η περίπτωση κατά την οποία έχουμε ορική διάθλαση της σεισμικής ακτίνας.
- Όταν η σεισμική ακτίνα εφάπτεται μιας πλευράς ενός κελιού, έτσι ώστε το κελί στο οποίο διέρχεται η ακτίνα, να μην αναγνωρίζεται.
- Ο μεγάλος αριθμός επαναλήψεων σύγκλισης στην λύση οδηγεί τελικά σε απόκλιση αυτής.
- Όταν το μέγεθος της κλίμακας των ανομοιογενειών του πετρώματος είναι συγκρίσιμο με το μήκος κύματος της σεισμικής ακτίνας. Στην περίπτωση αυτή δεν εντοπίζεται η ανομοιογένεια.
- Όταν δεν υπάρχουν αρκετές μετρήσεις χρόνων διαδρομής ακτινών οι οποίες να διέρχονται από τα κελιά.

#### **5.10 Σφάλματα που προέρχονται από μεθοδολογικούς περιορισμούς**

Κατά την εφαρμογή της μεθόδου διάθλασης, υπάρχουν δύο περιορισμοί οι οποίοι δεν επιτρέπουν την ανίχνευση ορισμένου στρώματος κάτω από συγκεκριμένες συνθήκες. Συγκεκριμένα ο πρώτος περιορισμός είναι, όταν το στρώμα έχει μικρό πάχος ή η ταχύτητα του είναι σχεδόν η ίδια με την ταχύτητα στο αμέσως υπερκείμενο στρώμα. Ο δεύτερος περιορισμός αφορά την περίπτωση που η ταχύτητα μέσα σε κάποιο στρώμα είναι μικρότερη από τη ταχύτητα στο αμέσως από πάνω στρώμα.

#### **5.11 Επίδραση των γεωτρήσεων πηγών – δεκτών**

Οι γεωτρήσεις οι οποίες είναι πληρωμένες με νερό προκαλούν πολύπλοκα φαινόμενα με κύματα που κατά βάση είναι θόρυβος και καταγράφονται κατά την έρευνα. Η παρουσία σωληνοκυμάτων στην γεώτρηση πηγών, η παρουσία μαλακών σχηματισμών (στρώματα χαμηλής ταχύτητας) και η υψηλής αντίθεσης τοπική στρωματογραφία (επιφάνεια επαφής μαλακού με σκληρό πέτρωμα) είναι οι παράγοντες οι οποίοι είναι υπεύθυνοι για την εμφάνιση τέτοιων κυμάτων.

Σε πειράματα όπου γίνεται χρήση πηγών υψηλών συχνοτήτων και καταγράφονται υψηλές ταχύτητες, μπορούμε να παραβλέψουμε την επίδραση των γεωτρήσεων. Αυτό γιατί η πηγή εισάγει μόνο ένα μικρό ποσοστό της ενέργειας μέσα στην γεώτρηση και οι υψηλές ταχύτητες εξουδετερώνουν την πιθανότητα εμφάνισης κωνικών κυμάτων (Meredith 1990).

## 6. ΜΕΤΡΗΣΕΙΣ ΣΕΙΣΜΙΚΗΣ ΔΙΑΘΛΑΣΗΣ ΣΤΗ ΠΕΡΙΟΧΗ ΕΡΕΥΝΑΣ

Οι μετρήσεις πραγματοποιήθηκαν σε θέσεις που επιλέχθηκαν κατά την επίσκεψη της ομάδας υπαίθρου στην ευρύτερη περιοχή διασκόπησης. Οι τομές αυτές φαίνονται με κόκκινες γραμμές στον γεωλογικό χάρτη του σχήματος 52. Κατά τη διεξαγωγή των μετρήσεων ορισμένες από τις τομές τροποποιήθηκαν ελαφρά σε σχέση με τον αρχικό σχεδιασμό, λόγω μορφολογικών ανωμαλιών όπου ήταν αδύνατη η πρόσβαση. Ακριβή τοπογραφικά στοιχεία των τομών μετρήθηκαν από τοπογραφικό συνεργείο της ΔΕΗ.

Το όργανο που χρησιμοποιήθηκε και στην περίπτωση ήταν το μοντέλο StrataView της εταιρείας Geometrics. Οι καταγραφές πραγματοποιούνταν ταυτόχρονα σε 24 κανάλια (εκτός από την τομή 3 όπου χρησιμοποιήθηκαν 12 κανάλια), ενώ τα γεώφωνα ήταν ιδιοσυχνότητας 10Hz. Η συχνότητα αυτή είναι κατάλληλη για διασκοπήσεις διάθλασης (Παπαζάχος, 1986). Η καταγραφή των P και S κυμάτων γίνονταν σε διαφορετικά γεώφωνα τα οποία είχαν είτε μόνο κατακόρυφη (P), είτε μόνο οριζόντια (S) απόκριση.

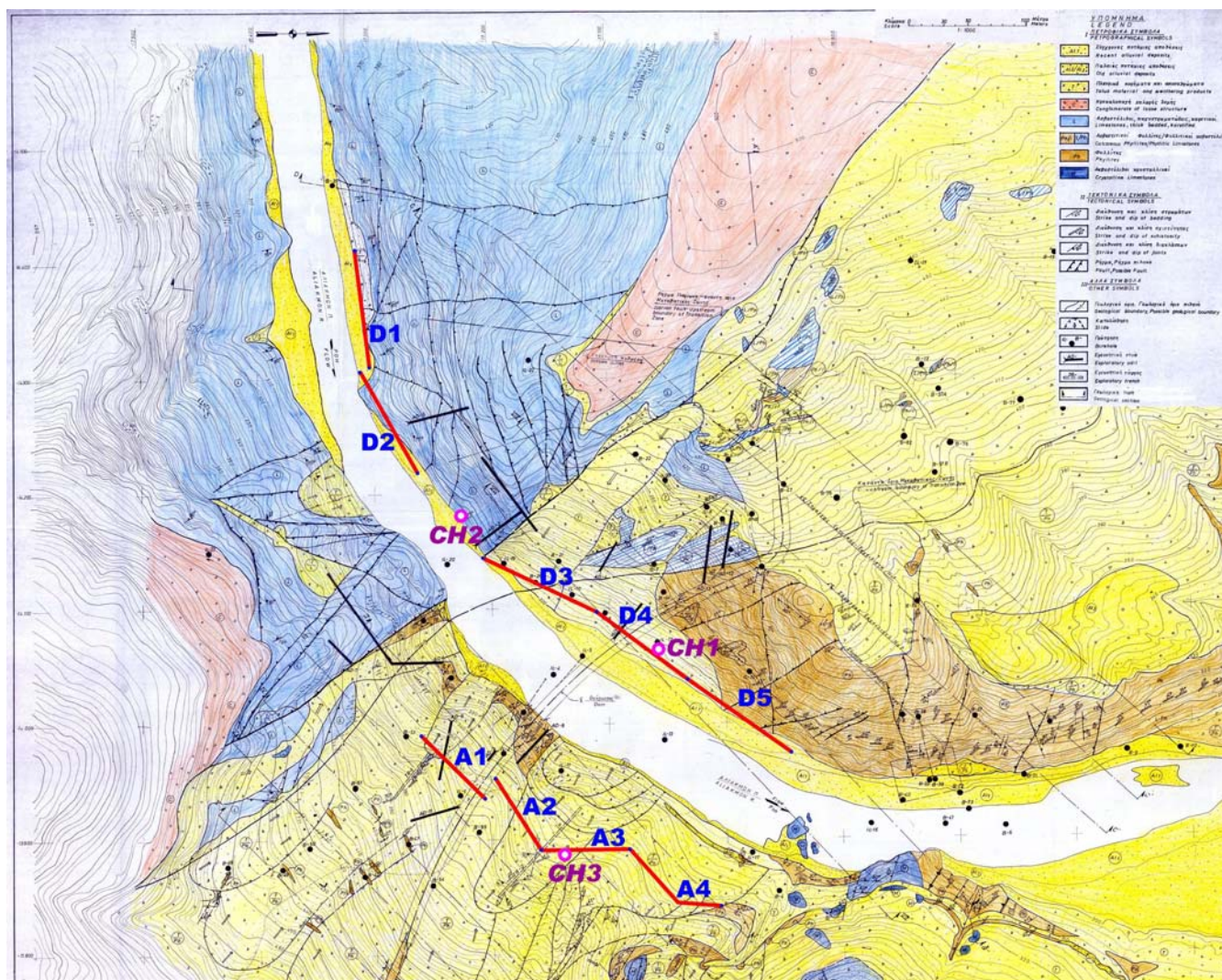
Η τεχνική παραγωγής επιμήκων (P) κυμάτων γίνεται με τη χρήση σφυριού το οποίο προσκρούει με δύναμη σε μεταλλική πλάκα πακτωμένη στο έδαφος. Στο στέλεχος του σφυριού υπάρχει στερεωμένος κρουστικός διακόπτης ο οποίος “ανοίγει” την στιγμή της πρόσκρουσης δίνοντας έτσι τον χρόνο αναφοράς για την καταγραφή των αφικνούμενων στα γεώφωνα κυμάτων. Σημαντικό πλεονέκτημα σε σχέση με τα εκρηκτικά η πολύ καλύτερη “σύζευξη” της πηγής με το έδαφος, το μικρότερο κόστος, το καλύτερο συχνοτικό περιεχόμενο (πιο κοντά στην ιδιοσυχνότητα των γεωφώνων) και η θεωρητικά απεριόριστη επαναληψιμότητα των μετρήσεων.

Η παραγωγή των εγκάρσιων σεισμικών κυμάτων (S κύματα) έγινε με τη χρήση σφυριού το οποίο προσκρούει οριζόντια σε ξύλινη δοκό η οποία έχει προηγούμενα πακτωθεί στο έδαφος με διεύθυνση κάθετη στη διεύθυνση της τομής. Για να επιτευχθεί καλύτερη πάκτωση της δοκού με το έδαφος ώστε να έχουμε τις μικρότερες δυνατές απώλειες ενέργειας, επάνω στη δοκό τοποθετείται βάρος, είτε προσωπικό που βοηθάει στις εργασίες υπαίθρου, είτε, όπου αυτό είναι δυνατό, το αυτοκίνητο υπαίθρου. Μετά από μία σειρά αρχικών κρούσεων το χτύπημα γίνεται απ’ την αντίθετη άκρη της δοκού. Με τον τρόπο αυτό στις νέες κρούσεις τα P κύματα που παράγονται έχουν ίδιο πλάτος ενώ τα S κύματα έχουν αντίθετη διεύθυνση. Αντιστρέφοντας την πολικότητα της καταγραφής στο δεύτερο σετ μετρήσεων έχουμε σαν αποτέλεσμα την απάλειψη των P κυμάτων με ταυτόχρονη ενίσχυση των καταγραφών των S κυμάτων, όπως έχει προταθεί και από άλλους ερευνητές (Dobecki, 1988). Η παραγωγή S κυμάτων με αυτό τον τρόπο είναι εξαιρετικά καλύτερης ποιότητας από αντίστοιχες με εκρηκτικά (όπου οι αφίξεις των S κυμάτων συχνά επισκιάζονται από τις αφίξεις των P κυμάτων) και με πυροβόλο όπλο (όπου πραγματοποιούνται πλάγιες βολές υπό γωνία με υψηλό ποσοστό θορύβου και χαμηλής ισχύος σεισμικό σήμα).

Στα σχήματα 53 και 54 παρουσιάζονται φωτογραφίες οι οποίες δείχνουν τη συλλογή των μετρήσεων των επιφανειακών διασκοπήσεων διάθλασης. Επίσης, στο σχήμα 52 παρουσιάζονται οι με κόκκινες γραμμές οι επιφανειακές γεωφυσικές τομές οι οποίες τελικά υλοποιήθηκαν. Σε κάθε τομή έχει δοθεί και ένας αντίστοιχος κωδικός, ο οποίος εμφανίζεται στο σχήμα με μπλε γράμματα. Στο ίδιο σχήμα παρουσιάζονται και οι θέσεις όπου πραγματοποιήθηκαν δοκιμές σε γεωτρήσεις, με αντίστοιχη κωδική ονομασία (μωβ γράμματα). Γενικά οι μετρήσεις έγιναν με τέτοιο

τρόπο ώστε να υπάρχει μία συνεχής εικόνα του υπεδάφους και έτσι το τέλος κάθε τομής αποτελούσε την αρχή της επόμενης γεωφυσικής τομής. Αυτό δεν επιτεύχθηκε μεταξύ των τομών D2 και D3 λόγω της παρουσίας μανδύα από σκυρόδεμα πάνω στο έδαφος, πιθανότατα από τις εργασίες ενεμάτωσης της γεώτρησης CH2. Το πάχος του σκυροδέματος δεν επέτρεπε τη σωστή πάκτωση των γεωφώνων έτσι ώστε να επιτευχθεί ικανοποιητική σύζευξη του γεωφώνου με το έδαφος. Όμως ακόμα και εάν είχε επιτευχθεί η τοποθέτησή του, δεν θα ήταν δυνατή η λήψη μετρήσεων λόγω της υψηλής ταχύτητας διάδοσης του σκυροδέματος η οποία θα «κάλυπτε» τις καθυστερημένες αφίξεις των υποκείμενων αλλουβίων-κορημάτων (φαινόμενο στρώματος χαμηλής ταχύτητας-Παπαζάχος, 1986), καθιστώντας τις μετρήσεις εντελώς αναξιόπιστες. Για το λόγο αυτό η αρχή της τομής D3 τοποθετήθηκε στο τμήμα του παραποτάμιου δρόμου το οποίο ήταν ελεύθερο αυτού του επιφανειακού καλύμματος.

Σύμφωνα με τα παραπάνω σε κάθε σεισμική τομή πραγματοποιήθηκαν τόσο καταγραφές P κυμάτων όσο και καταγραφές S κυμάτων. Οι καταγραφές ήταν γενικά καλής ποιότητας, με εξαίρεση τις μετρήσεις των S κυμάτων στην τομή D5, οι οποίες παρά τις επανειλημμένες προσπάθειες και τις πολλαπλές καταγραφές υπαίθρου παρουσίαζαν υψηλή «μόλυνση» με σήμα P κυμάτων, πιθανότατα λόγω επιφανειακών μετατροπών της S ενέργειας σε P κύματα. Έτσι επιλέχθηκε να μην υπολογιστούν ταχύτητες S κυμάτων σε αυτό το μικρό τμήμα της τομής. Το γεγονός αυτό δεν περιορίζει καθόλου την αξιοπιστία των αποτελεσμάτων, αφού υπάρχει μεγάλος αριθμός εκτιμήσεων S ταχυτήτων σε φυλλίτες (τομές D3, D4, A1, A2, A3, A4 και γεωτρήσεις CH1 και CH3) και η συμβατότητα των τιμών ταχύτητας S της τομής D5 ελέγχεται έμμεσα και από τις ταχύτητες των P κυμάτων.



**Σχήμα 52.** Χωροθέτηση των επιφανειακών τομών (κόκκινες γραμμές) σεισμικής διάθλασης (μπλε κωδικοί) και των θέσεων γεωφυσικής διασκόπησης σε γεωτρήσεις (μωβ κύκλοι και κωδικοί).

Οι καταγραφές που συλλέχθηκαν μελετήθηκαν και επιλέχθηκαν οι αφίξεις των σεισμικών φάσεων (P και S) οι οποίες και ερμηνεύθηκαν για την εξαγωγή των τελικών μοντέλων ταχύτητας των κυμάτων χώρου σε κάθε τομή. Συνεπώς, το τελικό αποτέλεσμα ήταν να προσδιοριστεί η γεωφυσική στρωματογραφία του χώρου, να καθοριστούν τα πάχη συγκεκριμένων σχηματισμών και να γίνει ο προσδιορισμός των ταχυτήτων των κυμάτων χώρου μέσα σ' αυτούς. Η ερμηνεία έγινε με το πρόγραμμα SIP SHELL της εταιρείας Rimrock Geophysics, το οποίο χρησιμοποιεί τη μεθοδολογία η οποία περιγράφηκε στην παράγραφο 3.1. Το σύνολο των καταγραμμένων κυματομορφών, ερμηνειών των χρόνων άφιξης και αναλύσεων ταχύτητας για κάθε τομή παρουσιάζεται σε ξεχωριστό τεύχος-προσάρτημα της παρούσας μελέτης. Στη συνέχεια παρουσιάζεται ενδεικτικά η πορεία ερμηνείας για μία επιλεγμένη τομή. Η ίδια πορεία έχει ακολουθηθεί για το σύνολο των γεωφυσικών τομών.

Στα σχήματα 55 και 56 παρουσιάζονται οι κυματομορφές των P και S κυμάτων αντίστοιχα, όπως αυτά καταγράφηκαν από τα γεώφωνα της τομής A4, όταν η σεισμική πηγή βρισκόταν στο τέλος της τομής για τα P κύματα και στην αρχή για τα S κύματα. Στα σχήματα αυτά έχουν σημειωθεί και οι αφίξεις των P και S κυμάτων. Μπορούμε να παρατηρήσουμε τους σημαντικά μεγαλύτερους χρόνους διαδρομής των S κυμάτων οι οποίοι φτάνουν τα 115ms για τη μεγαλύτερη απόσταση πηγής-γεώφωνου (~92m) σε σχέση με τα P κύματα (~ 68ms). Στα σχήματα 57 και 58 παρουσιάζονται οι καμπύλες χρόνων - διαδρομής των P και S κυμάτων για την ίδια τομή. Οι αφίξεις αυτές έχουν υποστεί την κατάλληλη τοπογραφική διόρθωση. Στα σχήματα αυτά εκτός των προηγούμενων αφίξεων παρουσιάζονται και οι αφίξεις από άλλες θέσεις των σεισμικών πηγών στα γεώφωνα της τομής. Για την ερμηνεία των αφίξεων αυτών αντιστοιχίζεται κάθε άφιξη σε ένα στρώμα από το οποίο έγινε η βαθύτερη διάθλασή του. Έτσι, οι πρώτες αφίξεις (κοντά στη σεισμική πηγή) οφείλονται σε απ' ευθείας κύματα τα οποία δεν έχουν διαθλασθεί και τα οποία μας δίνουν την ταχύτητα του πρώτου στρώματος. Τα σημεία αυτά σημειώνονται στα σχήματα 57 και 58 ως N<sub>0</sub> 1. Τα πρώτα διαθλώμενα κύματα αντιστοιχούν στο δεύτερο στρώμα και σημειώνονται ως N<sub>0</sub> 2. Η αναγνώρισή τους γίνεται σχετικά εύκολα με την απότομη αλλαγή της κλίσης της καμπύλης χρόνων διαδρομής-απόστασης. Όμοια συνεχίζουμε και για βαθύτερα στρώματα, όταν υπάρχουν. Προσεγγιστικά, η ταχύτητα σε κάθε στρώμα είναι ίση με την κλίση των αντίστοιχων τμημάτων της καμπύλης χρόνων διαδρομής-απόστασης. Η χρησιμότητα παραγωγής σεισμικών κυμάτων στα άκρα και στη μέση του αναπτύγματος φαίνεται από τις διαφορετικές κλίσεις των κλάδων που "οδεύουν" προς τα δεξιά (πηγή A και δεξιός κλάδος πηγής B) και προς τα αριστερά (πηγή C και αριστερός κλάδος πηγής B). Η διαφορά των κλίσεων λόγω και της κλίσεως των γεωλογικών σχηματισμών δείχνει ότι η χρήση σεισμικών αφίξεων μίας πηγής οδηγεί σε συστηματική υπερ- ή υποεκτίμηση των σεισμικών ταχυτήτων.

Η τελική γεωφυσική ερμηνεία της τομής A4 φαίνεται στο σχήμα 59 (για τα επιμήκη κύματα-P) και στο σχήμα 60 (για τα εγκάρσια κύματα-S), όπου παρουσιάζεται τόσο η μορφολογία των ασυνεχειών, όσο και οι τιμές των ταχυτήτων των κυμάτων χώρου. Παρατηρείται, όπως αναμένεται, αύξηση των ταχυτήτων, τόσο των P όσο και των S κυμάτων με το βάθος. Η αύξηση αυτή είναι πολύ σημαντική και οι τιμές ταχύτητας στα βαθύτερα στρώματα είναι ιδιαίτερα υψηλές. Οι τελικές

γεωφυσικές ερμηνείες (P και S) για όλες τις τομές, αντίστοιχες με τα σχήματα 59 και 60, παρουσιάζονται στη συνέχεια.

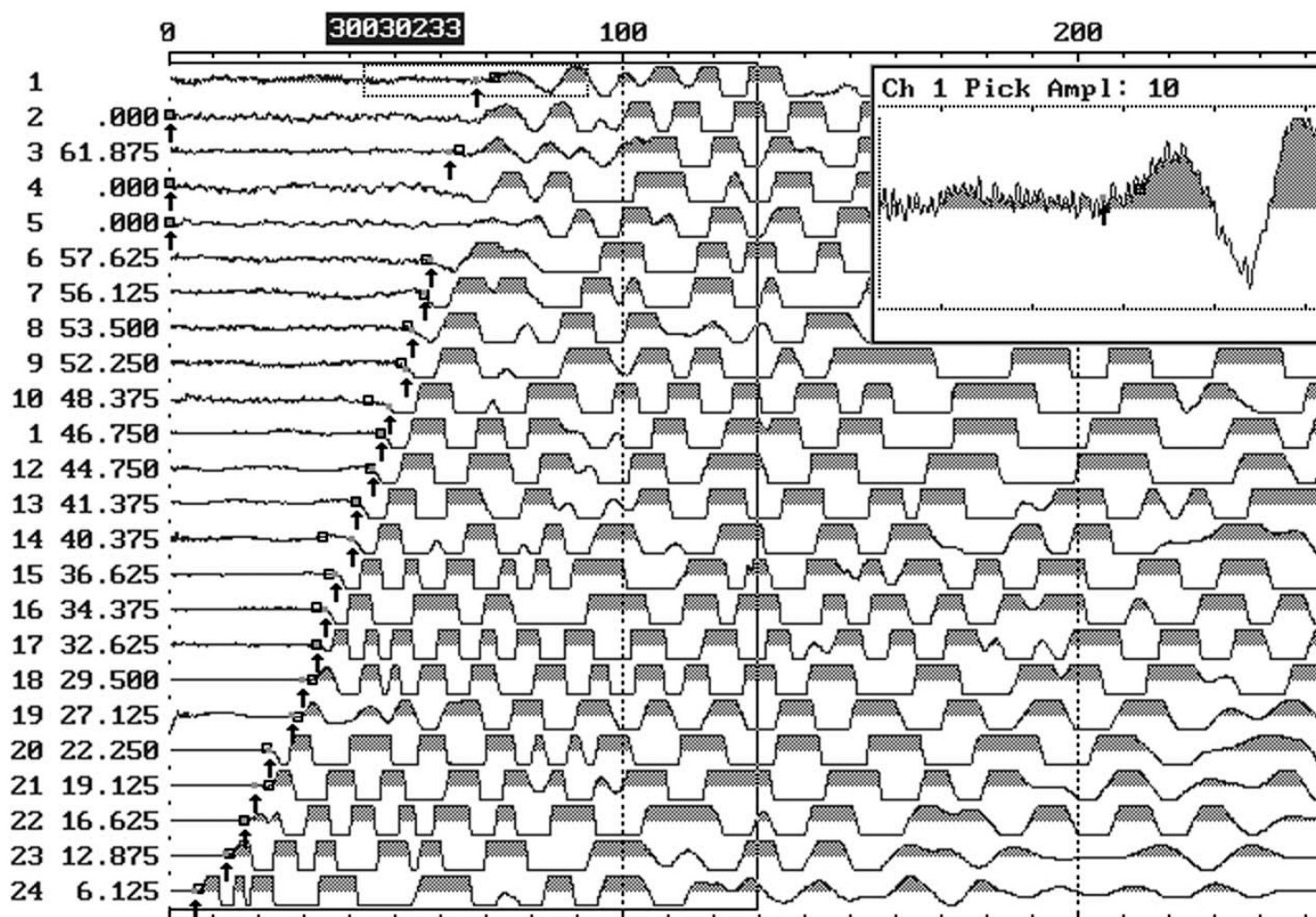


**Σχήμα 53.** Συλλογή μετρήσεων διάθλασης κατά μήκος της τομής D4.

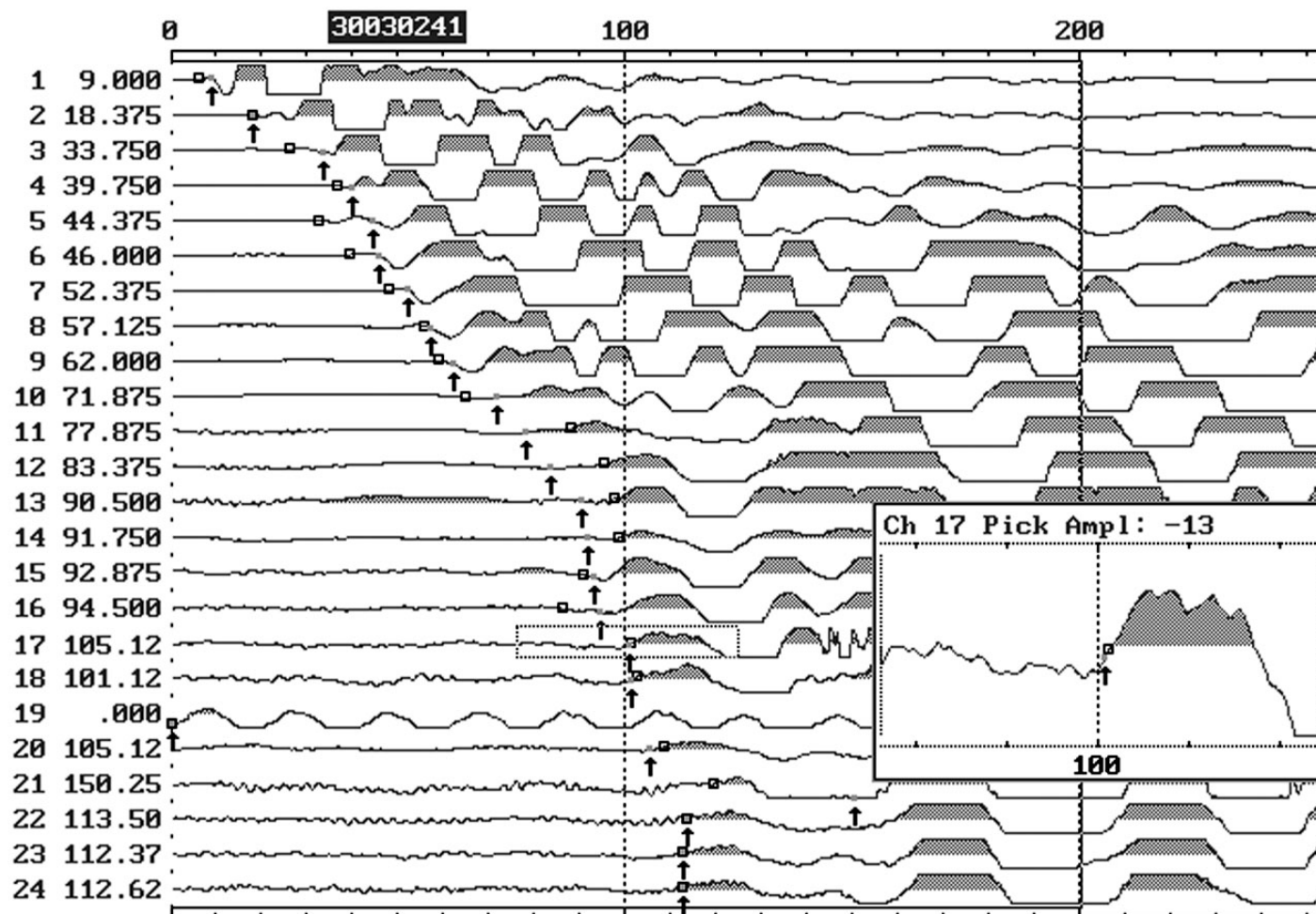


**Σχήμα 54.** Συλλογή μετρήσεων διάθλασης κατά μήκος της τομής A3.

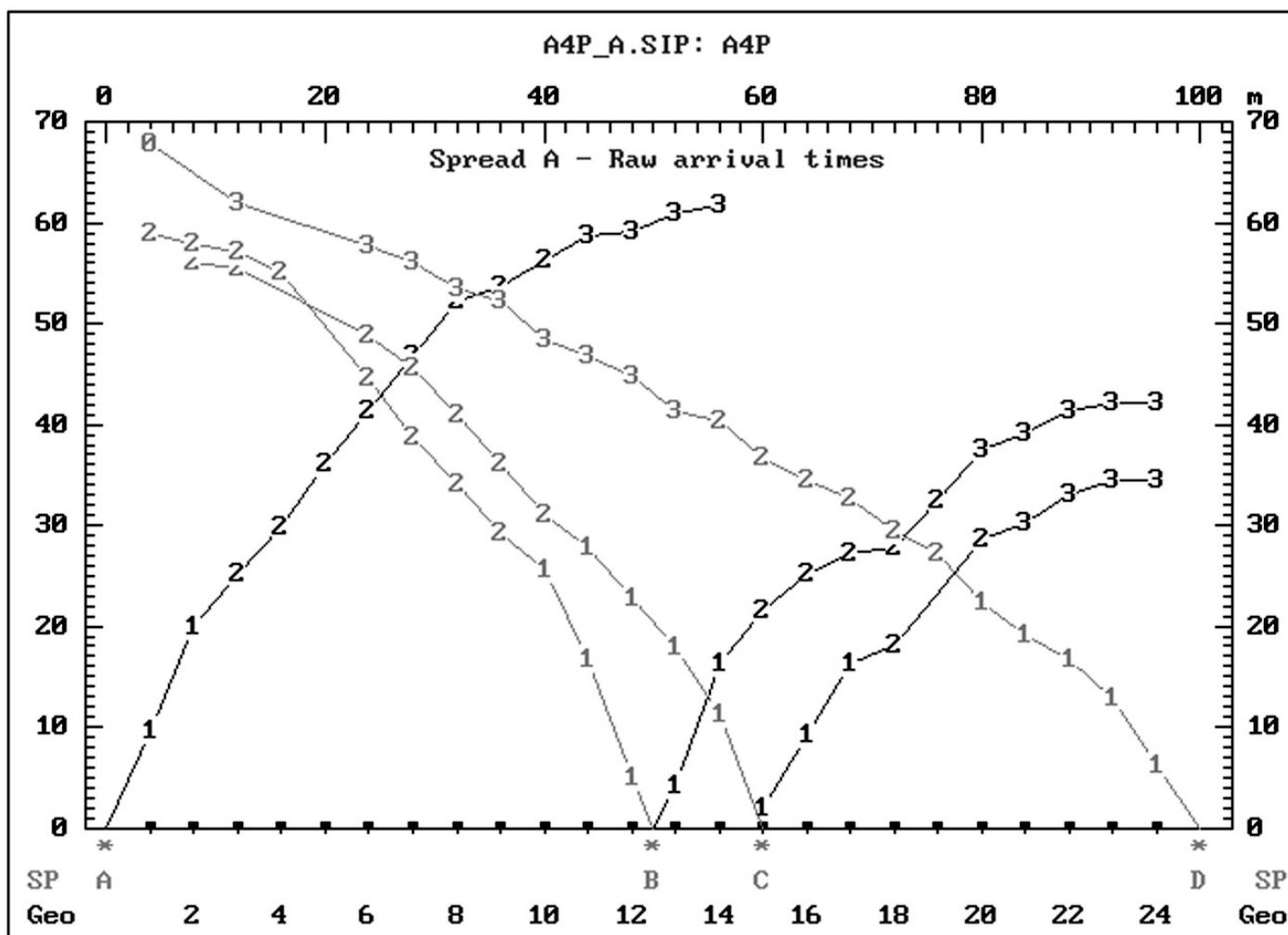




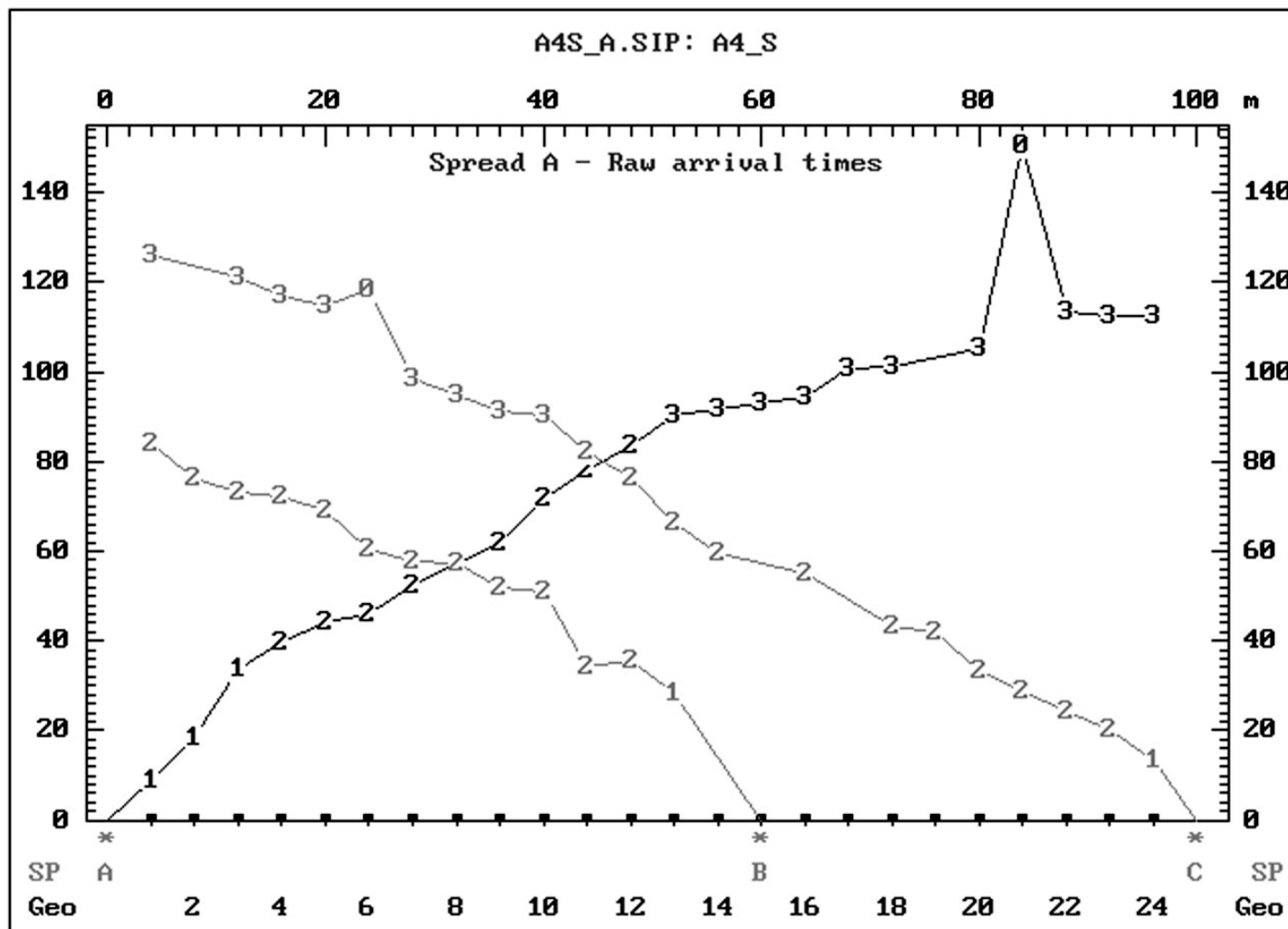
Σχήμα 55. Κυματομορφές και αφίξεις P κυμάτων στην τομή A4 (πηγή στα 0m)



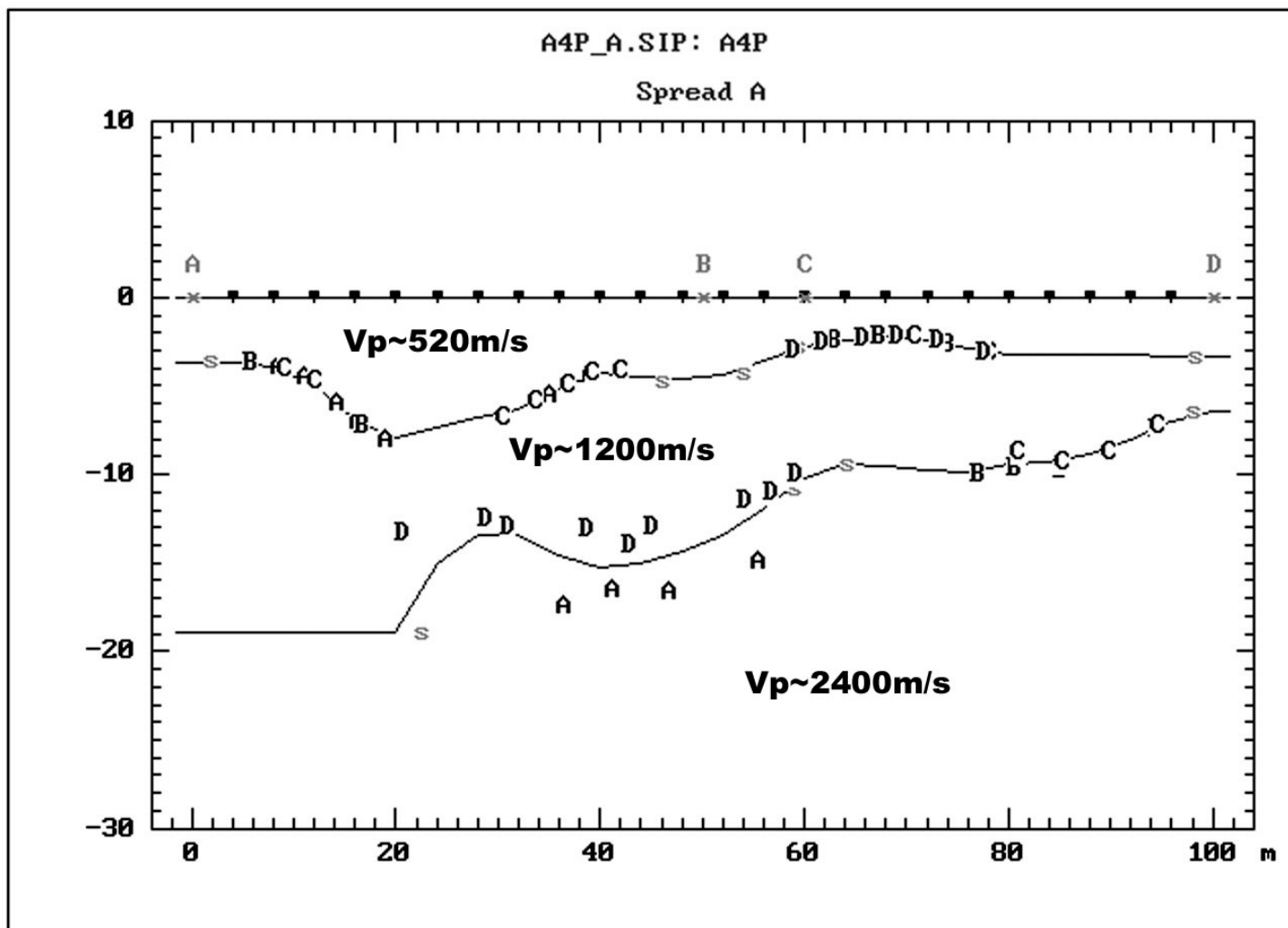
Σχήμα 56. Κυματομορφές και αφίξεις S κυμάτων στην τομή A4 (πηγή στα 100m)



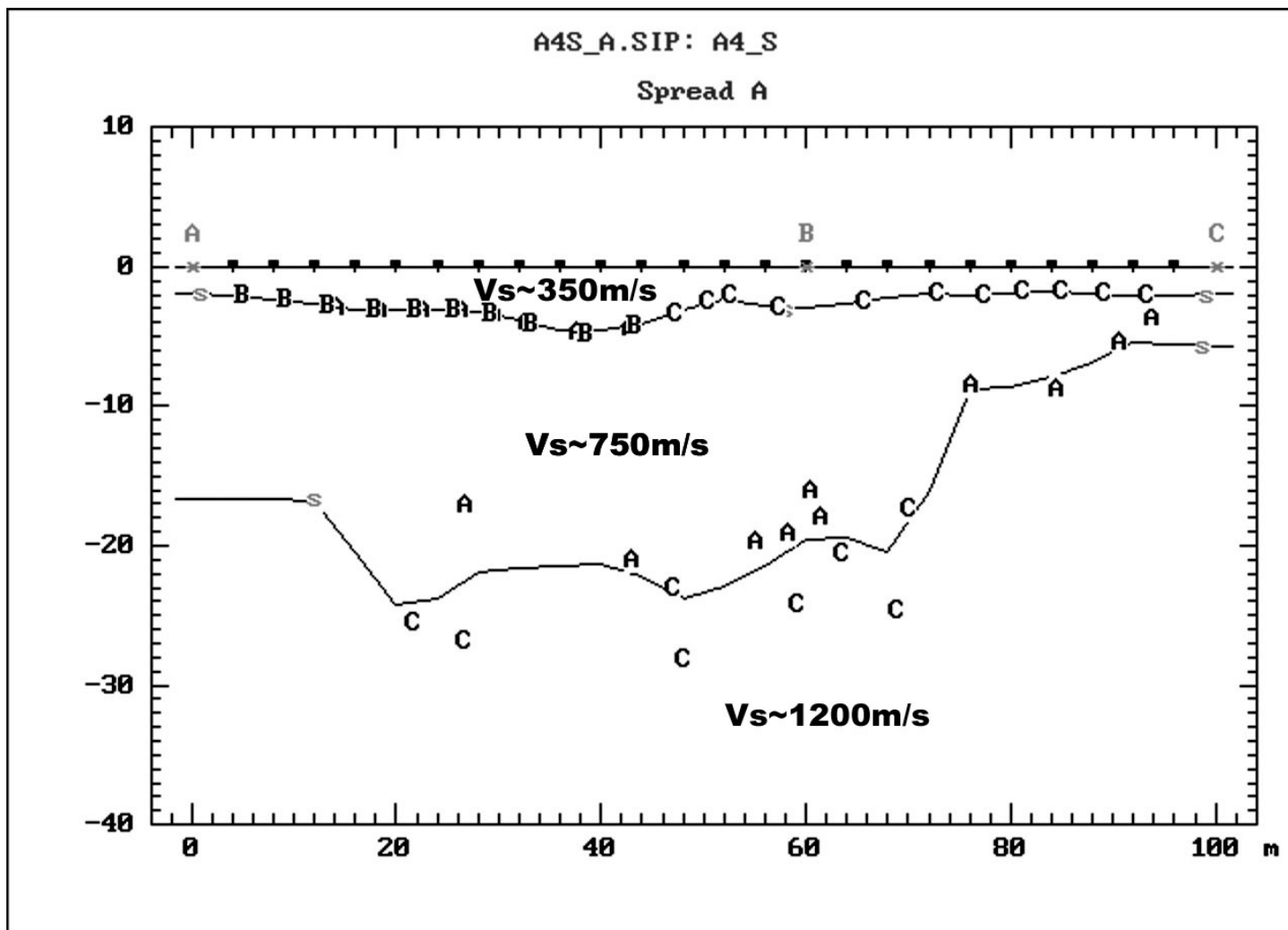
**Σχήμα 57.** Προσδιορισμός γεωφυσικών στρωμάτων υπεδάφους βάσει της αντιστοίχιση των αφίξεων των P κυμάτων για την τομή A4. Με 0 σημειώνονται οι αφίξεις που δε χρησιμοποιούνται (θόρυβος στα δεδομένα).



**Σχήμα 58.** Προσδιορισμός γεωφυσικών στρωμάτων υπεδάφους βάσει της αντιστοίχιση των αφίξεων των S κυμάτων για την τομή A4. Με 0 σημειώνονται οι αφίξεις που δε χρησιμοποιούνται (θόρυβος στα δεδομένα).



Σχήμα 59. Γεωφυσική τομή (A4) ταχυτήτων P κυμάτων.



Σχήμα 60. Γεωφυσική τομή (A4) ταχυτήτων S κυμάτων.



## 7. ΕΚΤΕΛΕΣΘΕΙΣΕΣ ΕΡΓΑΣΙΕΣ ΣΕ ΓΕΩΤΡΗΣΕΙΣ

Στην υπό μελέτη περιοχή θεμελίωσης, πραγματοποιήθηκαν 8 γεωερευνητικές γεωτρήσεις συνολικού μήκους 555 μέτρων. Οι θέσεις των γεωτρήσεων δίνονται στο σχήμα 52. Στις γεωτρήσεις εκτελέστηκαν τρεις (3) σεισμικές τομογραφίες cross-hole σε ένα (1) ζεύγος γεωτρήσεων (πηγή – δέκτης, θέση CH-3) και σε δύο (2) τριάδες γεωτρήσεων (πηγή – 2 δέκτες, θέσεις CH-1 και CH-2). Σε όλες τις θέσεις εκτελέστηκαν μετρήσεις crosshole σύμφωνα με τις συμβατικές υποχρεώσεις. Παράλληλα, εκτελέστηκαν και πρόσθετες μετρήσεις με την υλοποίηση και απλών ή διπλών δοκιμών downhole με σκοπό την καλύτερη κάλυψη του χώρου από δεδομένα (σεισμικές ακτίνες), άρα την πληρέστερη γνώση του μοντέλου ταχύτητας για τις θέσεις των γεωτρήσεων.

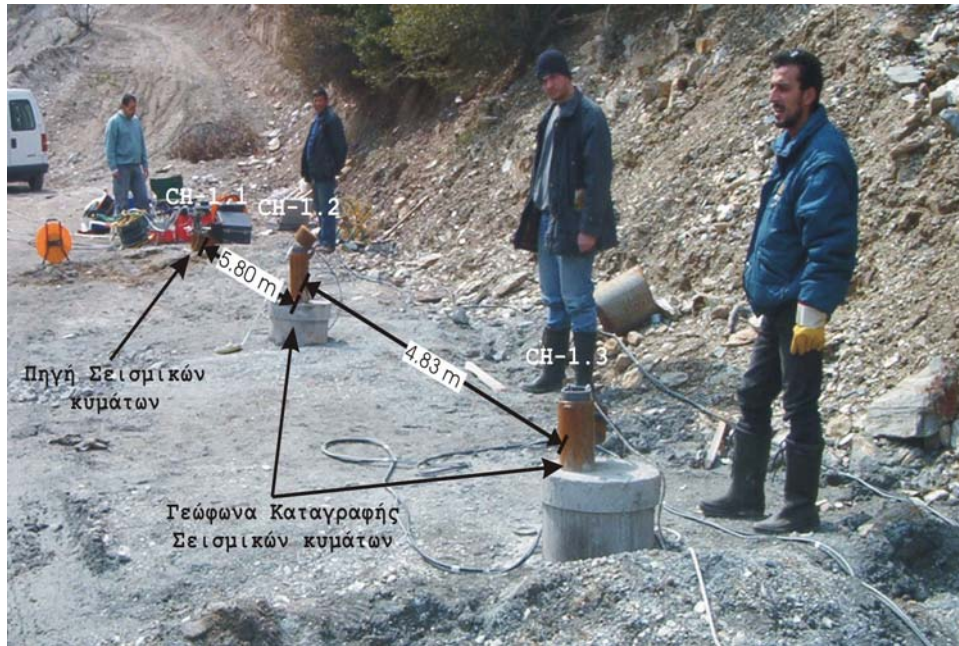
Οι μετρήσεις crosshole πραγματοποιήθηκαν με χρήση της ηλεκτρομαγνητικής πηγής της BGS με επαναληπτικά χτυπήματα και προς τις δύο κατευθύνσεις (πάνω ή κάτω) και άθροιση των κυματομορφών κατά κατεύθυνση. Οι μετρήσεις downhole ελήφθησαν με την χρήση σφυριού (sledgehammer) το οποίο προσέκρουε με δύναμη σε μεταλλική πλάκα πακτωμένη στο έδαφος. Η παραγωγή των διατμητικών σεισμικών κυμάτων (S κύματα) έγινε με τη χρήση του σφυριού με επαναλαμβανόμενες κρούσεις αντίθετης φοράς σε οριζόντια ξύλινη δοκό, σύμφωνα με όσα περιγράφησαν και για τις επιφανειακές μετρήσεις διάθλασης.

Εκτελέστηκαν (υπό την επίβλεψη του υπεύθυνου εκ μέρους του Ι.Τ.Σ.Α.Κ) οι σχετικές εργασίες σύμφωνα με τις διαδικασίες του προτύπου ASTM standard D 4228 / D 4228M (πρότυπος οδηγός για τον σχεδιασμό και εκτέλεση γεωφυσικών δοκιμών γεωτρήσεων). Τα τοιχώματα των γεωτρήσεων υποστηρίζονται με πακτωμένους σωλήνες PVC, μέγιστης διαμέτρου 100mm ή 4in και αντοχής 8 ατμοσφαιρών, για να διασφαλιστεί η συνεχής διάδοση των πρωτεύοντων κυμάτων στη βραχομάζα. Η εκτέλεση των μετρήσεων τομογραφίας καθώς και των διαθλάσεων έγιναν κατά την χρονική περίοδο 28 έως και 31 Μαρτίου 2002. Η εκτέλεση των μετρήσεων έγινε υπό την επίβλεψη του ΙΤΣΑΚ.

### 7.1 ΘΕΣΗ ΓΕΩΤΡΗΣΕΩΝ CH-1

Η θέση γεωτρήσεων CH-1 βρίσκεται στο αριστερό αντέρεισμα του φράγματος και εντός της ζώνης των φυλλιτών. Σκοπός της εκτέλεσης των μετρήσεων σεισμικής τομογραφίας στην παρούσα θέση είναι ο προσδιορισμός του μοντέλου ταχυτήτων με το βάθος στο σχηματισμό των φυλλιτών.





**Σχήμα 61.** Υλοποίηση μετρήσεων crosshole στην τριάδα γεωτρήσεων της θέσης CH-1.

Οι μετρήσεις εκτελέστηκαν σε 3 συνευθειακές γεωτρήσεις με μεταξύ τους απόσταση 5.80 και 4.83 μέτρα, αντίστοιχα (σχήμα 61). Στη θέση αυτή πραγματοποιήθηκαν μετρήσεις crosshole από τα 40 μέτρα και μέχρι την επιφάνεια. Κατά την διάρκεια των μετρήσεων ελήφθησαν 1266 κυματομορφές για τον προσδιορισμό των αφίξεων των διαμήκων και διατμητικών κυμάτων. Η πηγή των σεισμικών κυμάτων εγκαταστάθηκε στη γεώτρηση CH-1.1 και τα δύο γεώφωνα στις γεωτρήσεις CH-1.2 και CH-1.3, αντίστοιχα. Οι μετρήσεις πραγματοποιήθηκαν ανά δύο (2) μέτρα από την επιφάνεια και μέχρι τα 40 μέτρα. Συμπληρωματικά, εκτελέστηκαν 177 μετρήσεις downhole με σεισμική πηγή στην επιφάνεια και γεώφωνο στη γεώτρηση CH-1.3 σε απόσταση 3.15 μέτρα από την κεφαλή της γεώτρησης, διατηρώντας σταθερή την απόσταση μεταξύ των μετρήσεων.

## 7.2 ΘΕΣΗ ΓΕΩΤΡΗΣΕΩΝ CH-2

Η θέση των γεωτρήσεων CH-2 βρίσκεται ανάντι των θέσεων των γεωτρήσεων CH-1 και εντός της ζώνης των κρυσταλλικών ασβεστολίθων (σχήμα 52). Η θέση των γεωτρήσεων βρίσκεται μόλις 1 μέτρο από το κατακόρυφο πρηνές του ασβεστολιθικού όγκου όπως αυτό φαίνεται και στο σχήμα 62.

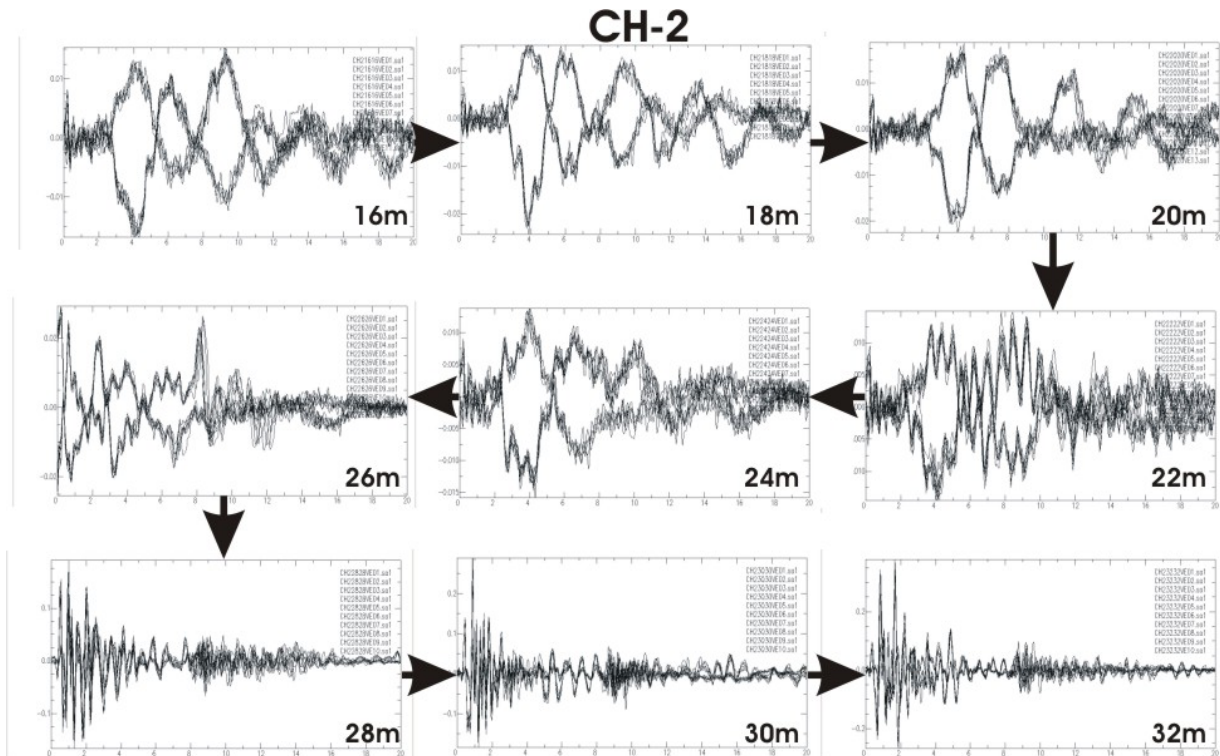


**Σχήμα 62.** Υλοποίηση μετρήσεων crosshole στην τριάδα γεωτρήσεων της θέσης CH-1.

Στη θέση αυτή υλοποιήθηκαν τρεις (3) γεωτρήσεις (CH-2.1, CH-2.2 και CH-2.3) οι οποίες και ισαπέχουν μεταξύ τους. Πραγματοποιήθηκαν 1290 μετρήσεις crosshole με την πηγή των σεισμικών κυμάτων στη γεώτρηση CH-2.1. Πριν την έναρξη των μετρήσεων, ελέγχθηκε η συνέχεια των γεωτρήσεων εισάγοντας σε αυτές δοκίμιο κατάλληλης διατομής.

Οι μετρήσεις πραγματοποιήθηκαν ανά δύο (2) μέτρα από την επιφάνεια και μέχρι τα 40 μέτρα για τις γεωτρήσεις CH-2.1 και CH-2.3, ενώ για την γεώτρηση CH-2.2, οι μετρήσεις εκτελέστηκαν μέχρι τα 36 μέτρα. Συμπληρωματικά και επιπλέον των συμβατικών υποχρεώσεων, εκτελέστηκαν 324 μετρήσεις διπλών downhole (με την πηγή στην επιφάνεια) και τα γεώφωνα στις γεωτρήσεις CH-2.2 και CH-2.3 και σε απόσταση 2.5 και 3.8 μέτρα από τις κεφαλές των γεωτρήσεων, αντίστοιχα. Κατά την διάρκεια των μετρήσεων χρησιμοποιήθηκε βήμα δειγματοληψίας 2 μέτρα.

Στο σχήμα 63 παρουσιάζονται ενδεικτικά καταγραφές crosshole στη γεώτρηση CH2. Μέχρι το βάθος των 22-24 μέτρων είναι εύκολα αναγνώσιμη η άφιξη των S κυμάτων από τις αντίθετες κινήσεις των κυματομορφών, ενώ αντίθετα είναι πολύ δύσκολη η αναγνώριση των P κυμάτων λόγω παρουσίας θορύβου. Από το βάθος των 26 μέτρων η αναγνώριση των S κυμάτων γίνεται σχεδόν αδύνατη αφού λόγω της αύξησης της ταχύτητας αυτές «εισέρχονται» στην περιοχή των P κυμάτων. Αντίθετα, η αναγνώριση των P αφίξεων είναι σχετικά πιο εύκολη. Όπως αναλύεται και αργότερα, αύξηση των P και S ταχυτήτων επιβεβαιώνεται και από την κατανομή των ταχυτήτων που υπολογίστηκαν, όπως αυτές φαίνονται και στο σχήμα (70).



**Σχήμα 63.** Καταγραφή και παρουσίαση των κυματομορφών από τα 16 έως και τα 32 μέτρα στη γεώτρηση CH-2. Παρατηρείται ότι από τα 26 μέτρα παρουσιάζεται αδυναμία προσδιορισμού των αφίξεων των σεισμικών κυμάτων.

### 7.3 ΘΕΣΗ ΓΕΩΤΡΗΣΕΩΝ CH-3

Η θέση των γεωτρήσεων CH-3 βρίσκεται στο δεξιό αντέρισμα του φράγματος και στην ευρύτερη περιοχή εμφάνισης των φυλλιτών. Στη θέση εκτέλεσης των μετρήσεων υλοποιήθηκαν δύο (2) γεωτρήσεις (CH-3.1 και CH-3.2) οι οποίες απέχουν μεταξύ τους 4.70 μέτρα. Στο ζεύγος των γεωτρήσεων εκτελέστηκαν 378 μετρήσεις crosshole με την πηγή των σεισμικών κυμάτων στη γεώτρηση CH-3.1 και το γεώφωνο στη CH-3.2. Πριν την έναρξη των μετρήσεων, ελέγχθηκε η συνέχεια των γεωτρήσεων εισάγοντας σε αυτές δοκίμιο συγκεκριμένης διατομής.

Επίσης, εκτελέστηκαν 306 μετρήσεις διπλών downhole (με την πηγή στην επιφάνεια) και τα γεώφωνα στις γεωτρήσεις CH-3.1 και CH-3.2 και σε απόσταση 2.85 και 1.85 μέτρα από τις κεφαλές των γεωτρήσεων, αντίστοιχα. Οι μετρήσεις crosshole και downhole πραγματοποιήθηκαν ανά δύο (2) μέτρα από την επιφάνεια και μέχρι τα 34 μέτρα. Σε κάθε μία από τις γεωτρήσεις, ελέγχθηκε η συνέχεια της, εισάγοντας σε αυτήν δοκίμιο συγκεκριμένης διατομής και μήκους μέχρι το μέγιστο βάθος σωλήνωσης αυτών (περιφραγματικός σωλήνας μέχρι τα 7 μέτρα και PVC), με σκοπό να διασφαλιστεί η ασφάλεια του εξοπλισμού (πηγής-γεωφώνων).

Πρέπει να σημειωθεί ότι από το βάθος των 12 μέτρων και μέχρι την επιφάνεια παρατηρήθηκε αδυναμία καταγραφής των πρώτων αφίξεων των σεισμικών κυμάτων. Έτσι, πραγματοποιήθηκε πληθώρα δοκιμών με αλλαγές των θέσεων της πηγής και των γεωφώνων, χωρίς επιτυχία. Καταλήξαμε στο συμπέρασμα ότι είτε πιθανά προβλήματα στην ενεμάτωση, είτε η δομή των επιφανειακών σχηματισμών στη θέση αυτή

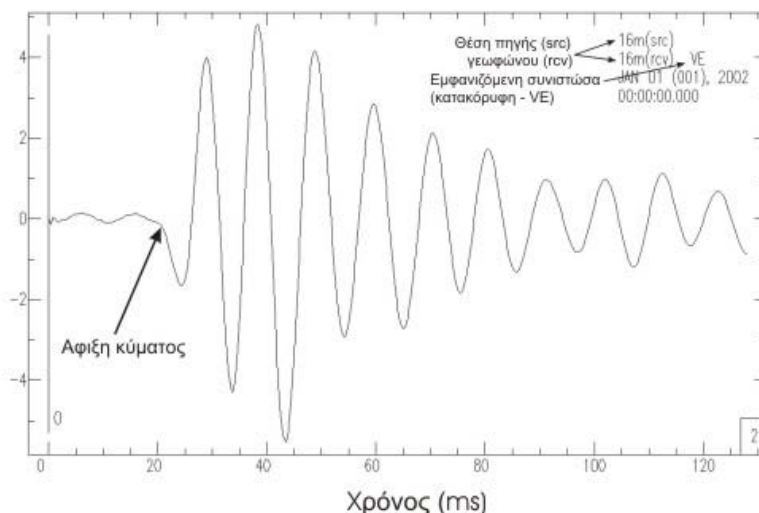
δημιούργησε την έντονη απόσβεση των υψίσυχνων σημάτων στις δοκιμές crosshole. Αντίθετα, κύματα καταγράφηκαν για τα βάθη αυτά από τις δοκιμές downhole, κυρίως λόγω του χαμηλότερου συχνοτικού περιεχομένου των κυμάτων και έτσι εξασφαλίστηκε η συνέχεια των μετρήσεων.

## 7.4 Επεξεργασία των δεδομένων των γεωτρήσεων

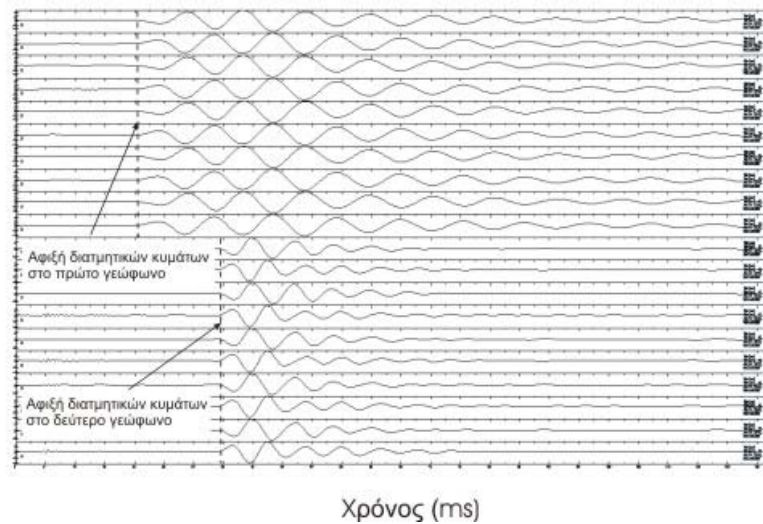
Για την επεξεργασία των δεδομένων υπαίθρου (κυματομορφές) χρησιμοποιήθηκαν δύο βασικά πακέτα προγραμμάτων επεξεργασίας και απεικόνισης κυματομορφών. Το πρώτο είναι το SAC (NEW SEISMIC ANALYSIS CODE, 11/6/2000, Version 00.59.2, University of California) στο οποίο έγινε η πρώτη απεικόνιση των κυματομορφών και προσδιορισμός των αφίξεων των επιμηκών και διατμητικών κυμάτων.

### 7.4.1 Δοκιμές crosshole

Σε κάθε βάθος έγινε καταγραφή των σεισμικών κυμάτων σε 3 συνιστώσες. Μια κατακόρυφη (VE) και δύο οριζόντιες (H1 και H2). Σε κάθε σχήμα που απεικονίζει τις κυματομορφές, υπάρχει τόσο το βάθος πηγής και γεωφώνου, όσο και η συνιστώσα που κάθε φορά παρουσιάζεται (σχήμα 64). Με σκοπό την ενίσχυση του σήματος σε κάθε βάθος πραγματοποιήθηκαν περισσότερα από 8 διαδοχικά χτυπήματα. Σε κάθε περίπτωση τα μονά (1,3,5,7) χτυπήματα αντιστοιχούν σε χτύπημα προς τα πάνω και τα ζυγά (2,4,6,8) χτυπήματα σε χτυπήματα προς τα κάτω της διατμητικής πηγής σεισμικών κυμάτων. Υπάρχει η δυνατότητα της συνολικής παρουσίασης των κυματομορφών (σχήμα 65).

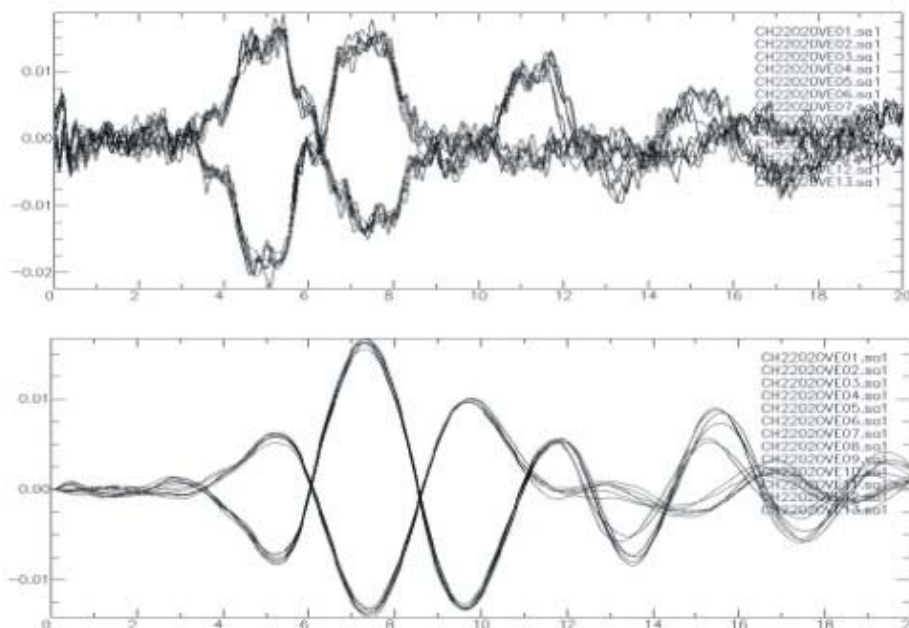


Σχήμα 64. Παρουσίαση των κυματομορφών και των στοιχείων αυτής.



**Σχήμα 65.** Συνολική παρουσίαση των κυματομορφών ανά βάθος.

Όπως αναφέρθηκε και παραπάνω, σε κάθε κυματομορφή και ανάλογα με την θέση, εφαρμόστηκε κατάλληλο band pass φίλτρο με κύριες γωνιακές συχνότητες 10 και 300 Hz, αντίστοιχα. Με το εφαρμοζόμενο φίλτρο απομακρύνθηκε ο υψίσυχνος θόρυβος και αναδείχθηκαν καλύτερα οι αφίξεις των σεισμικών κυμάτων (σχήμα 66).



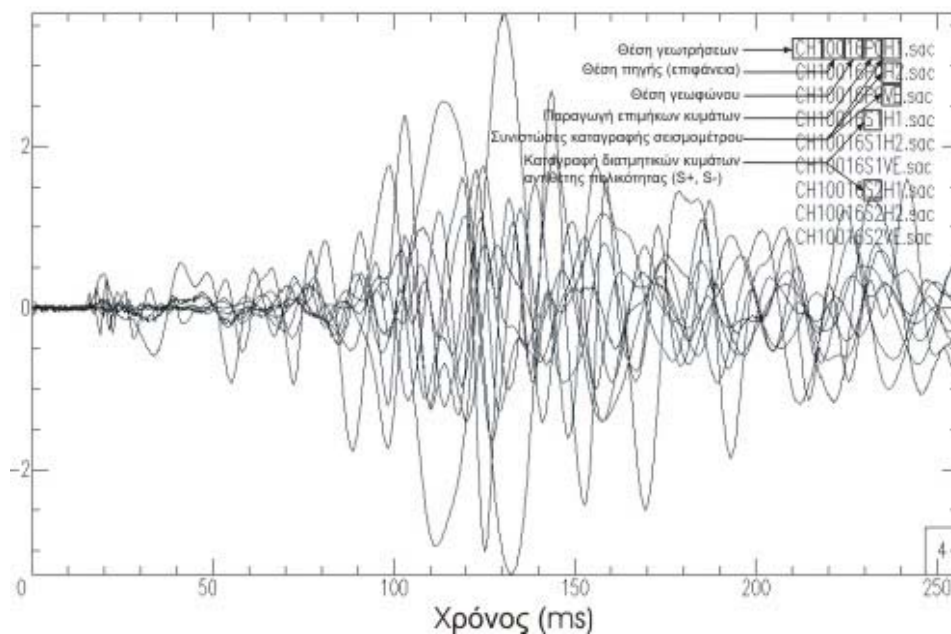
**Σχήμα 66.** Εφαρμογή κατάλληλου φίλτρου για την απομάκρυνση του υψίσυχνου θορύβου.

Στην επόμενη φάση και αφού οι κυματομορφές έχουν ‘καθαρίσει’, έπρεπε να γίνει προσδιορισμός των πρώτων αφίξεων (αφίξη επιμηκών κυμάτων) και ο εντοπισμός και μέτρηση του χρόνου διαδρομής των διατμητικών κυμάτων. Η καταγραφή των δύο κυμάτων γίνεται και στις 3 συνιστώσες και κυρίως των S στις κατακόρυφες συνιστώσες οι οποίες πάντοτε καταγράφουν την ισχυρή SV κίνηση που

εκπέμπεται από την πηγή και των P σε μία από τις δύο οριζόντιες, όποια είναι πιο κοντά στην ευθεία πηγής-δέκτη. Σε κάποια από αυτές όμως, η άφιξη είναι πιο ‘καθαρή’ και είναι σωστότερο ο υπολογισμός του χρόνου διαδρομής να πραγματοποιηθεί από αυτή. Για το λόγο αυτό έγινε προσπάθεια να χρησιμοποιηθεί η μεθοδολογία της κίνησης σωματιδίων (particle motion) σε συγκεκριμένο παράθυρο χρόνου στο οποίο θεωρούμε ότι εντοπίζεται η άφιξη. Στη παρούσα μελέτη παρουσιάστηκε δυσκολία εφαρμογής της προαναφερθείσας μεθοδολογίας και του εντοπισμού του παράθυρου άφιξης των επιμήκων και διατμητικών κυμάτων, λόγω των κοντινών αποστάσεων των γεωτρήσεων και των υψηλών ταχυτήτων των σχηματισμών.

#### 7.4.2 Δοκιμές downhole

Κατά την διεξαγωγή των Downhole μετρήσεων, η καταγραφή των σεισμικών κυμάτων πραγματοποιήθηκε και στις 3 συνιστώσες των σεισμομέτρου. Η απεικόνιση των διαθέσιμων - από τις εργασίες υπαίθρου – κυματομορφών, παρουσιάζεται στο σχήμα 67, όπου παρουσιάζονται οι κυματομορφές που ελήφθησαν τόσο κατά την παραγωγή των επιμήκων κυμάτων, όσο και κατά την παραγωγή των διατμητικών κυμάτων αντίθετης πολικότητας (S+, S-).



**Σχήμα 67.** Απεικόνιση των σεισμικών κυμάτων όπως αυτά καταγράφηκαν κατά την εκτέλεση μετρήσεων downhole.

Όπως και στην διαδικασία επεξεργασίας των καταγραφών Crosshole, έτσι και εδώ ανάλογα με τις ιδιαιτερότητες της θέσης, εφαρμόστηκε κατάλληλο band pass φίλτρο με κύριες γωνιακές συχνότητες 10 και 300 Hz, αντίστοιχα. Με το εφαρμοζόμενο φίλτρο απομακρύνθηκε ο υψίσυχνος θόρυβος και αναδείχθηκαν καλύτερα οι αφίξεις των σεισμικών κυμάτων.

Ο τρόπος παρουσίασης των κυματομορφών γίνεται με απεικόνιση αυτών με το βάθος, όπου φαίνεται με σχετική ευκολία η αύξηση των χρόνων διαδρομής με το βάθος. Με το τρόπο αυτό επίσης γίνεται εύκολος ο εντοπισμός μιας ζώνης χαμηλών ταχυτήτων, δηλαδή η αναστροφή ταχύτητας με το βάθος.

### 7.5 Υπολογισμός ταχυτήτων στις γεωτρήσεις CH1, CH2 και CH3

Ο υπολογισμός των ταχυτήτων είναι ιδιαίτερα απλός για τις μετρήσεις που λήφθηκαν μέσα σε γεωτρήσεις. Ειδικότερα, για τις μετρήσεις crosshole οι ταχύτητες υπολογίστηκαν από την εφαρμογή της σχέσης  $V(P \text{ ή } S) = \Delta / t$  (P ή S), όπου  $\Delta$  η απόσταση πηγής δέκτη και  $t$  ο αντίστοιχος χρόνος διαδρομής. Στις μετρήσεις crosshole η πηγή και ο δέκτης βρίσκονταν στο ίδιο βάθος, οπότε η απόσταση  $\Delta$  ταυτίζεται με την απόσταση των γεωτρήσεων. Ο χρόνος διαδρομής είναι ίσος με τον χρόνο καταγραφής, αφού αυξηθεί για τη χρονοκαθυστέρηση διέγερσης η οποία περιγράφηκε προηγουμένως και η οποία για το σύστημα καταγραφής που χρησιμοποιήθηκε ήταν 0.5ms, όπως προέκυψε τόσο από τις μετρήσεις που πραγματοποιήθηκαν κατά τη διάρκεια της παρούσας έρευνας, όσο και από προηγούμενες αντίστοιχες έρευνες.

Για τις μετρήσεις downhole η εφαρμογή της παραπάνω σχέσης ( $V=\Delta/t$ ) δίνει μόνο μία μέση ταχύτητα από τον δέκτη (μέσα στη γεώτρηση) έως την επιφάνεια (θέση της πηγής), πληροφορία που δεν είναι ιδιαίτερα χρήσιμη. Η ποσότητα που ενδιαφέρει εδώ είναι η παράγωγος της καμπύλης χρόνος διαδρομής, δηλαδή η ταχύτητα είναι ίση με την ποσότητα  $V^{\text{Downhole}} = dL/dt$ , όπου  $dL$  η μεταβολή της θέσης του δέκτη που περίπου είναι ίση με το βήμα μετακίνησης του δέκτη στη γεώτρηση και  $dt$  η αντίστοιχη μεταβολή του χρόνου. Συχνά ο τύπος αυτός απλοποιείται σε  $V_i^{\text{Downhole}} = (L^{i+1} - L^i) / (t^{i+1} - t^i)$  που καλείται και τμηματική ταχύτητα, όπου ο δείκτης  $i$  δηλώνει την τυχαία θέση στη γεώτρηση. Η εφαρμογή όμως της παραπάνω σχέσης, που ουσιαστικά αντιστοιχεί σε μία αριθμητική παραγωγή, δίνει ιδιαίτερα ασταθή αποτελέσματα λόγω της πιο περιορισμένης (σε σχέση με τις μετρήσεις crosshole) ακρίβειας των χρόνων διαδρομής αλλά κυρίως της γνωστής αστάθειας των αριθμητικών παραγωγίσεων. Στην περίπτωση μας χρησιμοποιήθηκε κατάλληλο πολυωνυμικό φίλτρο παραγωγίσης 2<sup>ης</sup> τάξης,  $V_i^{\text{Downhole}} = (2L^{i+2} + L^{i+1} - L^{i-1} - 2L^{i-2}) / (2t^{i+2} + t^{i+1} - t^{i-1} - 2t^{i-2})$  το οποίο δίνει αυξημένη ευστάθεια και αξιοπιστία των υπολογισμών. Η προσέγγιση αυτή περιορίζει το εύρος των βαθών για τα οποία μπορούν να υπολογιστούν ταχύτητες, κρίθηκε όμως απαραίτητη η χρήση της για τον υπολογισμό ταχυτήτων οι οποίες να έχουν συγκρίσιμη αξιοπιστία με τα αποτελέσματα των δοκιμών crosshole.

Τα τελικά αποτελέσματα ανά γεώτρηση φαίνονται στους Πίνακες 4-9 που ακολουθούν, ξεχωριστά για τις crosshole και downhole μετρήσεις. Σε ορισμένες περιπτώσεις αναφέρονται διπλά αποτελέσματα για μία θέση, είτε για την περίπτωση των τριάδων γεωτρήσεων (crosshole) είτε για την περίπτωση χρήσης διπλών δεκτών στις μετρήσεις downhole. Γενικά στις μετρήσεις downhole οι αφίξεις των S κυμάτων ήταν δύσκολα αναγνώσιμες και διακριτές λόγω του μεγάλου πλάτους των «ουρών» των P κυμάτων. Στις περιπτώσεις που δεν ήταν δυνατόν να επιλεχθούν οι χρόνοι διαδρομής σε κάποιες καταγραφές δεν πραγματοποιήθηκαν αντίστοιχοι υπολογισμοί ταχύτητας και δεν περιλαμβάνονται τιμές στους Πίνακες.

**Πίνακας 4.** Ταχύτητες που υπολογίστηκαν από μετρήσεις crosshole στη γεώτρηση CH1.

Καταγραφή	Βάθος(m)	1 <sup>η</sup> Γεώτρηση		2 <sup>η</sup> Γεώτρηση		V <sub>S</sub> <sup>1</sup>	V <sub>S</sub> <sup>2</sup>	V <sub>P</sub> <sup>1</sup>	V <sub>P</sub> <sup>2</sup>
		t <sub>p</sub> (ms)	t <sub>s</sub> (ms)	t <sub>p</sub> (ms)	t <sub>s</sub> (ms)	m/s			
CH10202	2	6.5	15			374		835	
CH10404	4	5.7	10.5			527		943	
CH10606	6	3.85						1349	
CH10808	8	3.05	7.5			725		1657	
CH11010	10	2.8	5.65			943		1785	
CH11212	12				9.2		1093		
CH11414	14	2.2			10.2		991	2189	
CH11616	16			3.95	10.2		991		2409
CH11818	18			4.2	9.5		1060		2280
CH12020	20			3.4	8.1		1233		2753
CH12222	22				7.5		1325		
CH12424	24				6.8		1452		
CH12626	26				7.7		1293		
CH12828	28			2.25	7.1		1395		3926
CH13030	30			2.2	7.2		1377		4000
CH13232	32			2.15	7.1		1395		4077
CH13434	34			2.05	7.3		1359		4240
CH13636	36			2.2					4000
CH13838	38			1.8					4711
CH14040	40			1.9					4511



**Πίνακας 5.** Ταχύτητες που υπολογίστηκαν από μετρήσεις crosshole στη γεώτρηση CH2.

Καταγραφή	Βάθος(m)	1 <sup>η</sup> Γεώτρηση		2 <sup>η</sup> Γεώτρηση		V <sub>S</sub> <sup>1</sup>	V <sub>S</sub> <sup>2</sup>	V <sub>P</sub> <sup>1</sup>	V <sub>P</sub> <sup>2</sup>
		t <sub>P</sub> (ms)	t <sub>S</sub> (ms)	t <sub>P</sub> (ms)	t <sub>S</sub> (ms)	m/s			
CH20202	2		6.2			866			
CH20404	4		4.25			1221			
CH20606	6		3			1657			
CH20808	8		3.11			1607			
CH21010	10		2.7			1813			
CH21212	12		3.12			1602			
CH21414	14		3.5			1450			
CH21616	16		2.75			1785			
CH21818	18		2.55			1902			
CH22020	20		3.25			1547			
CH22222	22		2.3			2071			
CH22424	24		2.3	1.75		2071			5156
CH22626	26		1.96	1.75		2358			5156
CH22828	28	0.5	1.8	1.45		2522		5800	5949
CH23030	30	0.6	2.05	1.3		2275		5273	6444
CH23232	32	0.6		1.3				5273	6444
CH23434	34	0.4		1.3				6444	6444
CH23636	36	0.4		1.3	4.5		2320	6444	6444
CH23838	38	0.5		1.3	4		2578	5800	6444
CH24040	40	0.65		1.3				5043	6444

**Πίνακας 6.** Ταχύτητες που υπολογίστηκαν από μετρήσεις crosshole στη γεώτρηση CH3.

Καταγραφή	Βάθος(m)	Γεώτρηση		V <sub>P</sub>	V <sub>S</sub>
		t <sub>P</sub> (ms)	t <sub>S</sub> (ms)	m/s	
	2	<i>Αδυναμία λήψης μετρήσεων</i>			
	4				
	6				
	8				
	10				
	12				
CH21414	14		4.6		922
CH21616	16		4.6		922
CH21818	18		4.4		959
CH22020	20		4.65		913
CH22222	22		4.15		1011
CH22424	24		3.65		1133
CH22626	26				
CH22828	28				
CH23030	30		2.6		1516
CH23232	32				
CH23434	34		2.2		1741
CH23536	35-34		2.15		1813

**Πίνακας 7.** Ταχύτητες που υπολογίστηκαν από μετρήσεις downhole στη γεώτρηση CH1.

<b>Βάθος(m)</b>	<b>P-Χρόνος (ms)</b>	<b>Απόσταση (m)</b>	<b>V<sub>P</sub> (m/s)</b>
2	5.65	3.73	660
4	5.9	5.09	
6	10.3	6.78	
8	12.4	8.60	1045
10	12.95	10.48	2027
12	13.35	12.41	2900
14	14.5	14.35	3044
16	14.95	16.31	3295
18	15.35	18.27	4145
20	15.9	20.25	4340
22	16.4	22.22	4827
24	16.7	24.21	3540
26	17	26.19	3055
28	18.4	28.18	
30		30.16	3248
32	19.45	32.15	4549
34		34.15	4344
36	20.15	36.14	
38	20.8	38.13	
40		40.12	

**Πίνακας 8.** Ταχύτητες που υπολογίστηκαν από μετρήσεις downhole στη γεώτρηση CH2.

<b>Βάθος(m)</b>	<b>P-Χρόνος (ms)</b>	<b>Απόσταση (m)</b>	<b>V<sub>P</sub> (m/s)</b>	
2	4.4	3.86		<b>Γεώτρηση 1</b>
4	5	5.19		
6		6.85	3686	
8	6	8.65	4271	
10		10.53	4357	
12	6.7	12.45	4314	
14	7.4	14.38	4262	
16		16.34	4200	
18	8.2	18.30	4625	
20		20.27	4633	
22	9.1	22.25	4263	
24	9.5	24.23	3962	
26	10.1	26.21		
28		28.19	5602	
30		30.18	5606	
32	11	32.17		
34	11.6	34.16		
36	12.1	36.15		
<b>Βάθος(m)</b>	<b>P-Χρόνος (ms)</b>	<b>Απόσταση (m)</b>	<b>V<sub>P</sub> (m/s)</b>	
2	4.7	3.20		<b>Γεώτρηση 2</b>
4	6.3	4.72		
6	6.4	6.50	4033	
8	6.5	8.38		
10		10.31	5221	
12	7.3	12.26	4004	
14	7.85	14.22	3479	
16		16.19	3857	
18	9	18.17	4062	
20		20.16	4963	
22	9.8	22.14	5167	
24	10.2	24.13	5275	
26		26.12	5828	
28	10.9	28.11	6129	
30		30.10	5695	

---

32	11.5	32.10		
34	12	34.09		
36		36.09		

**Πίνακας 9.** Ταχύτητες που υπολογίστηκαν από μετρήσεις downhole στη γεώτρηση CH3.

<b>Βάθος(m)</b>	<b>t<sub>p</sub> (ms)</b>	<b>t<sub>s</sub> (ms)</b>	<b>Απόσταση (m)</b>	<b>V<sub>p</sub> (m/s)</b>	<b>V<sub>s</sub> (m/s)</b>	
2	5.97		3.48	583		<b>Γεώτρηση 1</b>
4	6.8	12.5	4.91	723		
6	10.34	14.8	6.64	834	434	
8	12.82	17.2	8.49	927	766	
10	13.4		10.40	1167	804	
12	15.3	22.2	12.33	1421	772	
14	17.3	24.2	14.29	1340	797	
16	17.7	27.5	16.25	1561	810	
18	19.5	29.4	18.22	1974	684	
20	20.5	31.75	20.20	2242	790	
22	20.9	36.5	22.18	2948	825	
24			24.17	2683	1079	
26	22.3	39	26.16	2542	1540	
28	23.5	39.7	28.14	2594	1326	
30	23.9	42	30.14	2620	1266	
32	24.7		32.13	2490	1328	
34	25.5	45	34.12			
<b>Βάθος(m)</b>	<b>t<sub>p</sub> (ms)</b>	<b>t<sub>s</sub> (ms)</b>	<b>Απόσταση (m)</b>	<b>V<sub>p</sub> (m/s)</b>	<b>V<sub>s</sub> (m/s)</b>	
2	4.5	10	2.72	605	272	<b>Γεώτρηση 2</b>
4	6	10.5	4.41	948	462	
6	8.25	17.7	6.28	727	581	
8	12.1	21.7	8.21	743	650	
10	14.3	20.5	10.17	1008	864	
12	16	24	12.14	1402	823	
14		27.9	14.12	1651	619	
16	18	30	16.11	1968	689	
18	19.3	33.5	18.09	2229	737	
20	19.9		20.09	1861	844	
22	20.4	38.5	22.08	1862	1166	
24	22.8	39.3	24.07	2258	1202	
26	23.2	40	26.07	2813	1558	
28		42.7	28.06		1576	
30	23.8	43.2	30.06		1507	
32	24.5		32.05	2852		

34		45.3	34.05			

Έχοντας υπολογίσει τις ταχύτητες των επιμηκών και διατμητικών κυμάτων και θεωρώντας τη μέση πυκνότητα σχηματισμών μπορούν να υπολογιστούν το μέτρο Young ( $E_0$ ) και το μέτρο διατμητικής σταθεράς ( $G_0$  – Rigidity Modulus) με τις παρακάτω σχέσεις:

$$\text{Young Modulus: } E = 2 \cdot \rho \cdot (1 + \sigma) \cdot V_s^2$$

$$\text{Rigidity Modulus: } G = \rho \cdot V_s^2$$

## 7.6 Παρουσίαση – Αξιολόγηση των αποτελεσμάτων

Η εξέταση των αποτελεσμάτων από όλες τις επιφανειακές γεωφυσικές τομές, αλλά και τις μετρήσεις μέσα σε γεωτρήσεις δείχνει μία αρκετά σημαντική διαφοροποίηση του βάθους των διαφόρων ασυνεχειών και (σε μικρότερο βαθμό) των ταχυτήτων των κυμάτων χώρου. Τα αποτελέσματα παρουσιάζονται και αξιολογούνται ξεχωριστά για κάθε περιοχή έρευνας, για την καλύτερη μελέτη των γεωφυσικών ιδιοτήτων των διαφόρων γεωλογικών σχηματισμών.

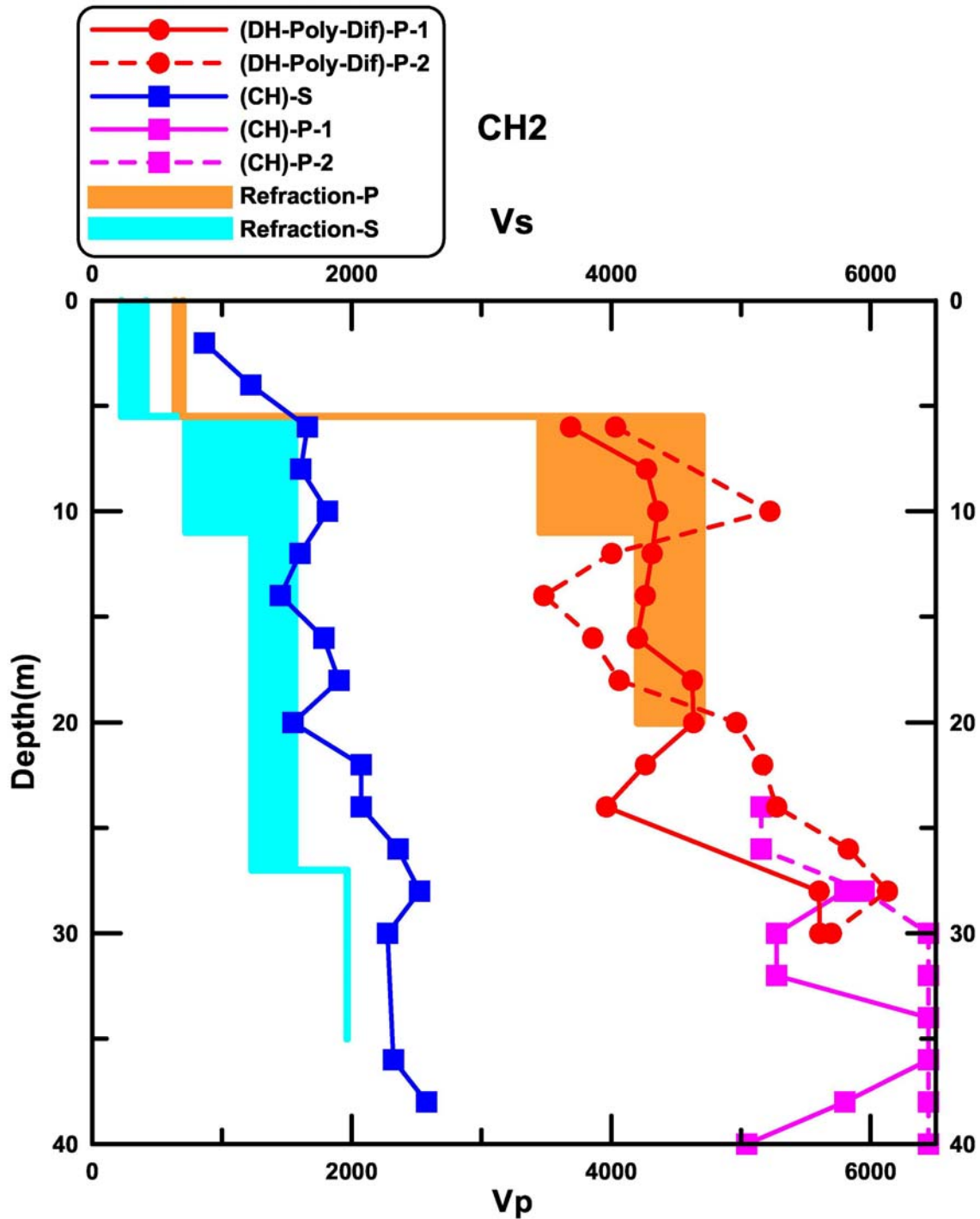
### 7.6.1 ΑΡΙΣΤΕΡΟ ΑΝΤΕΡΕΙΣΜΑ – ΠΕΡΙΟΧΗ ΑΣΒΕΣΤΟΛΙΘΩΝ

Η περιοχή αυτή αφορά τη θέση εμφάνισης των ασβεστόλιθων στο αριστερό αντέρεισμα. Στην περιοχή αυτή δεν υπήρχαν διαθέσιμες γεωτρήσεις και για το λόγο αυτό στο σχήμα 67 ενδεικτικά παρουσιάζεται η γεώτρηση IL20 η οποία βρίσκεται κοντά στο ρήγμα επαφής και η οποία δείχνει την παρουσία μικρού εδαφικού καλύμματος άμμου με υποκείμενους τους ασβεστόλιθους οι οποίοι επωθούνται πάνω από τους φυλλίτες.





Η δομή αλλά κυρίως οι τιμές των ταχυτήτων οι οποίες βρίσκονται στην τομή φανερώνουν την ύπαρξη ενός επιφανειακού καλύματος αποσαθρωμάτων ή πιθανά τεχνητών επιχώσεων από προϊόντα εκσκαφής του ασβεστολίθου με μεταβλητό πάχος από 4-6 μέτρα (κίτρινο χρώμα στο σχήμα 69) κάτω από το οποίο υπόκεινται οι ασβεστόλιθοι (μπλέ χρώμα). Στο αριστερό τμήμα της τομής εμφανίζεται στο ανώτερο τμήμα του ασβεστόλιθου μία ζώνη με χαμηλότερες ταχύτητες, πιθανότατα λόγω μεγαλύτερου βαθμού ρηγμάτωσης. Η παραπάνω γεωφυσική δομή και ερμηνεία επιβεβαιώνεται και από τα αποτελέσματα των μετρήσεων στη γεώτρηση CH2, η οποία βρίσκεται μέσα στον ασβεστολιθικό σχηματισμό, αλλά πλησιέστερα στο ρήγμα επαφής (ρήγμα Ιλαρίωνα), δεξιά (προς τα κατάντι) από τη γεωφυσική τομή D1-D2. Τα αποτελέσματα των δοκιμών crosshole και downhole παρουσιάζονται στο σχήμα 70, όπου γενικά παρατηρείται μία πολύ καλή συμφωνία. Με τετράγωνα δίνονται τα αποτελέσματα τα οποία υπολογίστηκαν από τις δοκιμές crosshole και με κύκλους τα αντίστοιχα αποτελέσματα από τις δοκιμές downhole. Για σύγκριση, παρουσιάζονται στο σχήμα 70 τα αντίστοιχα εύρη τιμών ταχυτήτων οι οποίες προέκυψαν από τις μετρήσεις διάθλασης, υιοθετώντας όλες τις πιθανές ταχύτητες και το μέσο βάθος των σχηματισμών, μιά και δεν είναι γνωστά από τη διάθλαση τα βάθη των ασυνεχειών στη θέση CH2. Παρατηρούμε, πολύ καλή συμφωνία των δύο ειδών μετρήσεων. Ειδικά για τις μετρήσεις γεωτρήσεων παρατηρούνται ελαφρά μεγαλύτερες ταχύτητες, λόγω του ότι η γεώτρηση CH2 βρισκόταν πλησιέστερα στο βραχώδες υπόβαθρο (μακριά από το ποτάμι) με αποτέλεσμα την ύπαρξη λεπτού επιφανειακού καλύματος και την φαινομενική «άνοδο» των διαγραμμάτων ταχύτητας. Σημειώνουμε ότι το μεγαλύτερο βάθος (μέχρι 35 μέτρα) για το οποίο φαίνονται μετρήσεις διάθλασης για τα S κύματα οφείλεται στην ύπαρξη βαθιών διαθλάσεων στην τομή D2 από το βάθος των ~27 μέτρων, κάτι που δεν φαίνεται στις P διαθλάσεις.



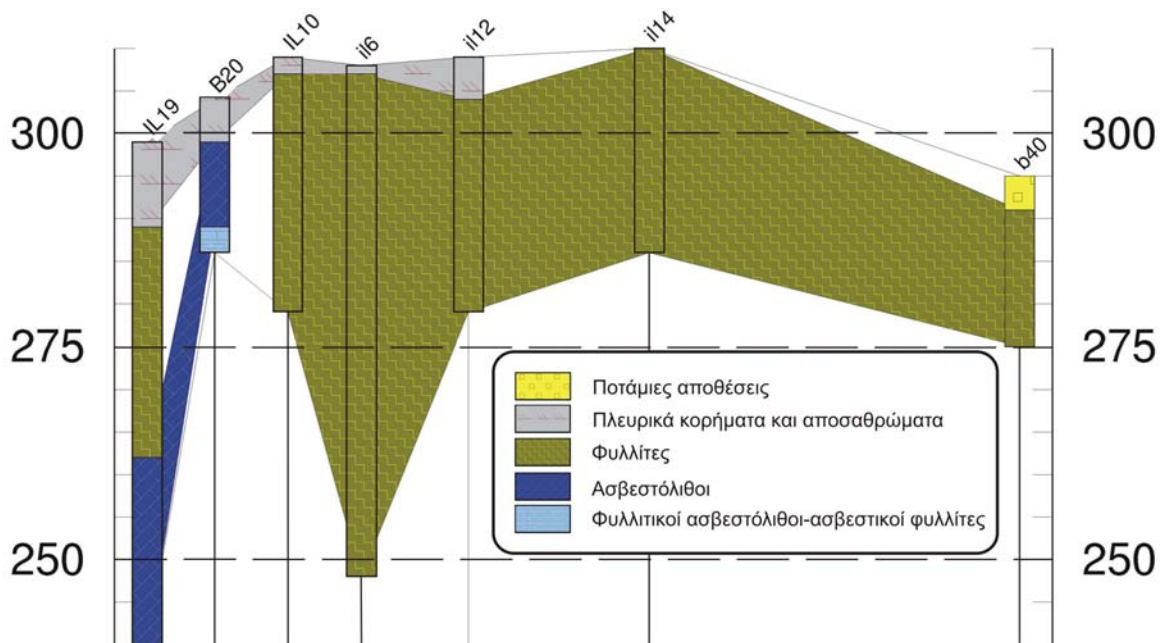
**Σχήμα 70.** Δομή ταχύτητας P και S κυμάτων, όπως προέκυψε από δοκιμές crosshole (τετράγωνα) και downhole (κύκλοι) στη γεώτρηση CH2. Για σύγκριση παρουσιάζεται και το αντίστοιχο εύρος τιμών το οποίο προέκυψε από τις αντίστοιχες επιφανειακές μετρήσεις (διαθλάσεις).

Τα παραπάνω αποτελέσματα βρίσκονται σε καλή συμφωνία και με τη δειγματοληπτική γεώτρηση η οποία εκτελέστηκε στη θέση CH2 και η οποία δείχνει 6 μέτρα με αποσαθρώματα ή τεχνητές επιχώσεις από εκσκαφές στον ασβεστόλιθο

(καθόλου δειγματοληψία) και μία συνεχή παρουσία ασβεστόλιθου μέχρι το βάθος των 37 μέτρων. Γενικά ο ασβεστόλιθος παρουσιάζει έντονη διαφοροποίηση στο βάθος περίπου των 25-30 μέτρων, αφού στα πιο επιφανειακά στρώματα (~6-27 μέτρα) η μέση τιμή RQD είναι συνήθως 0-10%, ενώ στα βαθύτερα τμήματά του (~27-37 μέτρα) οι τιμές του RQD είναι σημαντικά μεγαλύτερες (από 10 έως 70%, με μέση τιμή γύρω στο 25%). Η περιγραφή αυτή είναι σε καλή συμφωνία με τη σημαντική αύξηση των ταχυτήτων οι οποίες φαίνονται στο σχήμα 32 στο βάθος περίπου των 22-26 μέτρων, όπου οι P και S ταχύτητες αυξάνουν απότομα από  $V_p \approx 4400\text{m/s}$  και  $V_s \approx 1800\text{m/s}$  σε  $V_p \approx 6000\text{m/s}$  και  $V_s \approx 2500\text{m/s}$ , που αντιστοιχούν περίπου στις βιβλιογραφικές τιμές εργαστηρίου για υγιή ασβεστόλιθο.

### 7.6.2 ΑΡΙΣΤΕΡΟ ΑΝΤΕΡΕΙΣΜΑ – ΠΕΡΙΟΧΗ ΦΥΛΛΙΤΩΝ

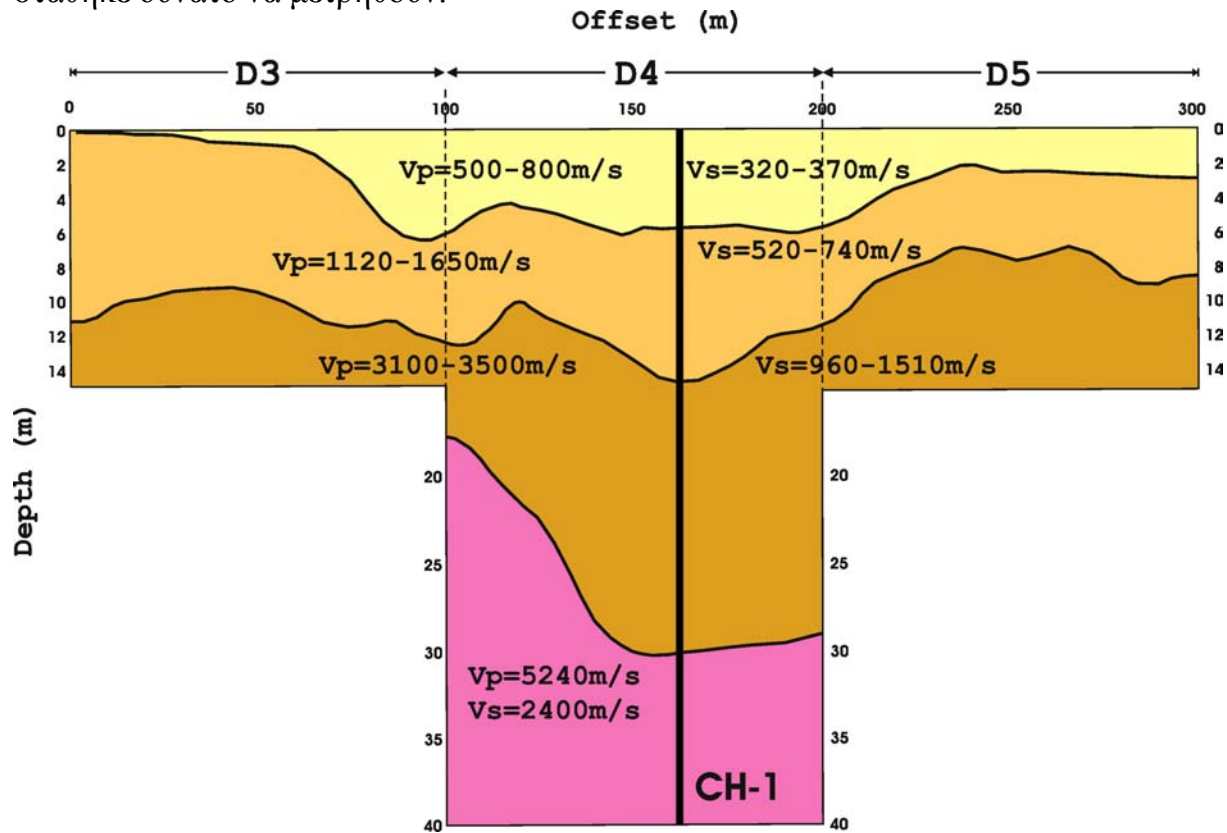
Η περιοχή αυτή αφορά τους φυλλίτες του αριστερού αντερείσματος. Στην περιοχή υπάρχει σημαντικός αριθμός διαθέσιμων γεωτρήσεων. Μία τυπική τομή κατά μήκος αυτής της περιοχής, παράλληλα με την κοίτη του ποταμού και από τα ανάντι στα κατάντι είναι αυτή η οποία παρουσιάζεται στο σχήμα 71.



**Σχήμα 71.** Τυπική γεωλογική τομή κατά μήκος του αριστερού αντερείσματος.

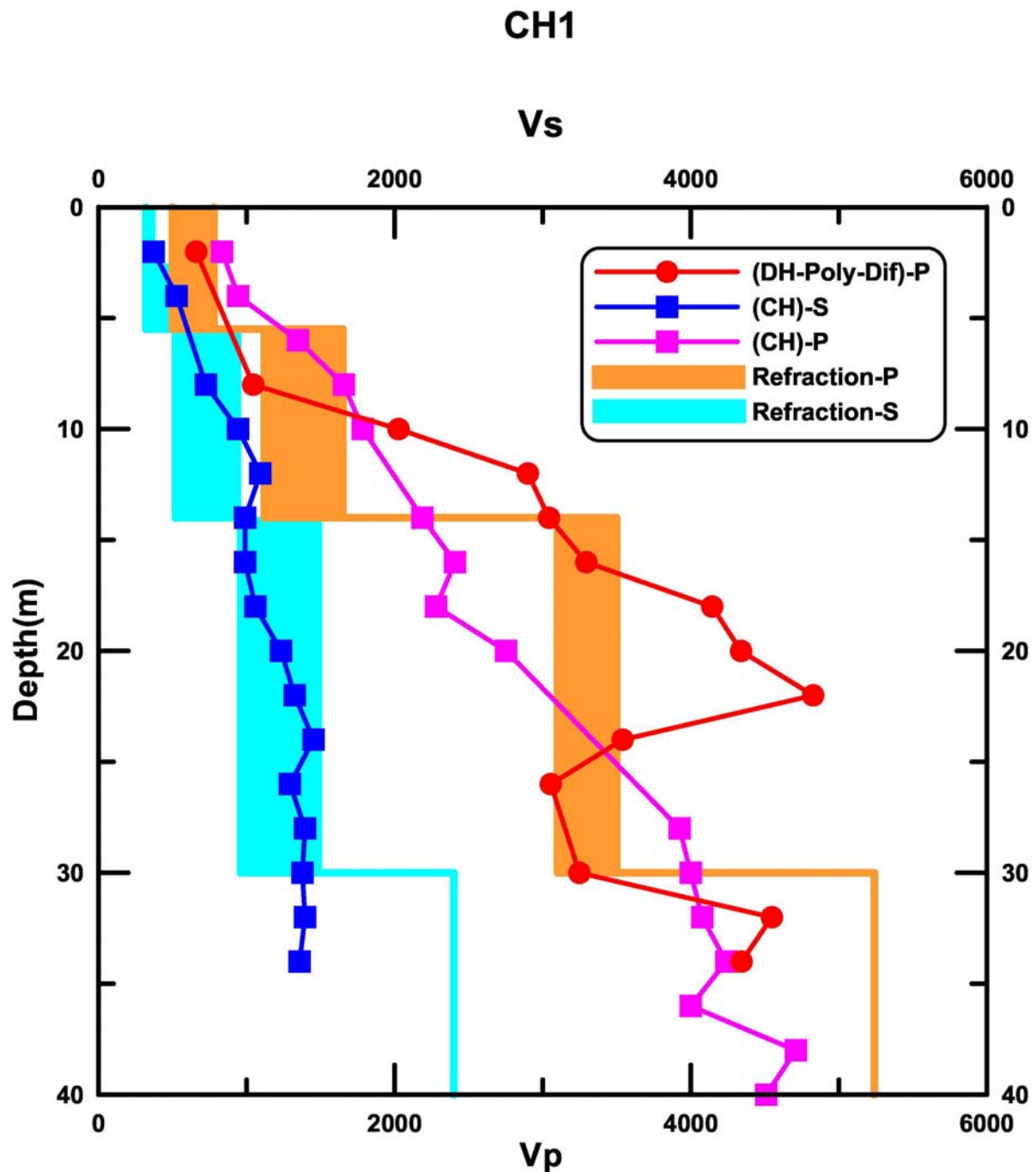
Η τομή ξεκινάει από τη μεταβατική ζώνη (παρουσία ασβεστόλιθων) και διατρέχει όλο το αριστερό αντερείσμα, δείχνοντας μία εικόνα παρόμοια με τις προηγούμενες τομές, δηλαδή επιφανειακή παρουσία αποσαθρωμάτων-κορημάτων μικρού πάχους, τα οποία κοντά στο ποτάμι αντικαθίστανται από ποτάμιες αποθέσεις. Στην περιοχή αυτή υλοποιήθηκαν οι τρεις (3) επιφανειακές τομές, οι D3, D4 και D5, οι θέσεις των οποίων έχουν παρουσιαστεί στο σχήμα 72. Τα αποτελέσματα της γεωφυσικής διασκόπησης κατά μήκος των τομών D3, D4 και D5 φαίνονται στο σχήμα 72. Σε κάθε γεωφυσική ενότητα δίνονται, όπως και προηγουμένως, οι μέσες τιμές των ταχυτήτων των P και S κυμάτων οι οποίες μετρήθηκαν. Η βαθύτερη γεωφυσική

ενότητα (μωβ χρώμα στην τομή D4) δεν στάθηκε δυνατό να εντοπιστεί στις άλλες δύο τομές, πιθανόν λόγω πολύ μικρού πλάτους των αντίστοιχων πρώτων αφίξεων που δεν στάθηκε δυνατό να μετρηθούν.



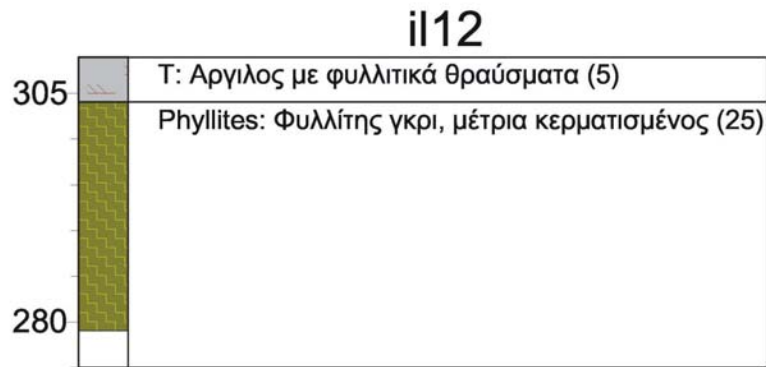
Σχήμα 72. Γεωφυσική ερμηνεία τομών D3, D4 και D5.

Στο σχήμα 72 έχει τοποθετηθεί και η θέση των γεωτρήσεων της ομάδας CH1 στις οποίες πραγματοποιήθηκαν μετρήσεις crosshole και downhole. Τα αποτελέσματα των δοκιμών αυτών φαίνονται στο σχήμα 73, όπου έχει χρησιμοποιηθεί ο ίδιος συμβολισμός για τα δύο είδη μετρήσεων. Επίσης, στο ίδιο σχήμα εμφανίζονται για λόγους σύγκρισης τα αποτελέσματα της επιφανειακής διάθλασης, όπου τα βάθη των ασυνεχειών (αλλαγές ταχύτητας) έχουν υιοθετηθεί από την παραπάνω ερμηνεία της σεισμικής διάθλασης στη θέση των γεωτρήσεων CH1 και για κάθε βάθος εμφανίζεται το εύρος των P και S τιμών του κάθε γεωφυσικού σχηματισμού, όπως αυτός φαίνεται στο σχήμα 73.



**Σχήμα 73.** Δομή ταχύτητας P και S κυμάτων η οποία προέκυψε από δοκιμές crosshole (τετράγωνα) και downhole (κύκλοι) στη γεώτρηση CH1. Για σύγκριση παρουσιάζεται και το αντίστοιχο εύρος τιμών το οποίο προέκυψε από τις αντίστοιχες επιφανειακές μετρήσεις (διαθλάσεις).

Για σύγκριση παρουσιάζεται στο σχήμα 74 και η γεωλογική δομή της γεώτρησης IL-12 η οποία βρίσκεται δίπλα στη θέση CH1.



**Σχήμα 74.** Σχηματική παράσταση γεώτρησης IL20.

Παρατηρώντας το σχήμα 72 όπου παρουσιάζεται η γεωφυσική δομή κατά μήκος της τομής και σε συνδυασμό με τα αποτελέσματα των δοκιμών crosshole και downhole, τη γενικότερη γεωλογία και τη γεωλογική τομή του σχήματος 74, αλλά και τις τιμές των ταχυτήτων των τεσσάρων γεωφυσικών ενοτήτων που εντοπίστηκαν μπορούμε να διακρίνουμε τους εξής σχηματισμούς:

α) 1<sup>ος</sup> σχηματισμός:  $V_p=500-800m/sec$ ,  $V_s=320-370m/sec$ . Αποτελείται από χαλαρά υλικά, κυρίως κορήματα και αποσαθρώματα, μεταβλητού πάχους. Στη θέση της γεώτρησης CH1 το πάχος τους είναι περίπου 5 μέτρα, όπως φαίνεται τόσο από τις επιφανειακές γεωφυσικές τομές, αλλά κυρίως από τις μετρήσεις στις γεωτρήσεις. Η αναλυτική περιγραφή της γεώτρησης IL-12 (σχήμα 74) η οποία βρίσκεται πολύ κοντά στη θέση CH1 δείχνει παρουσία κορημάτων-αποσαθρωμάτων με πάχος 5 μέτρα, σε ταύτιση με τα αποτελέσματά μας.

β) 2<sup>ος</sup> σχηματισμός:  $V_p=1120-1650m/sec$ ,  $V_s=520-740m/sec$ . Αποτελείται από φυλλιτικά πετρώματα, πιθανότατα το μανδύα αποσάθρωσης του φυλλιτικού σχηματισμού. Στη θέση της γεώτρησης CH1 εκτείνεται περίπου από τα 5 έως τα 11-14 μέτρα, όπως φαίνεται τόσο από τις επιφανειακές γεωφυσικές τομές αλλά και από τις μετρήσεις στις γεωτρήσεις οι οποίες δείχνουν απότομη αύξηση (ασυνέχεια) από τα 8 στα 12 μέτρα, κυρίως στις P ταχύτητες. Η αναλυτική περιγραφή της γεώτρησης IL-12 δείχνει παρουσία γκρίζοπράσινου φυλλίτη με έντονη σχιστότητα και οξείδωση στις ρωγμές από τα 4 έως τα 11 μέτρα, σε πολύ καλή συμφωνία με τα αποτελέσματά μας.

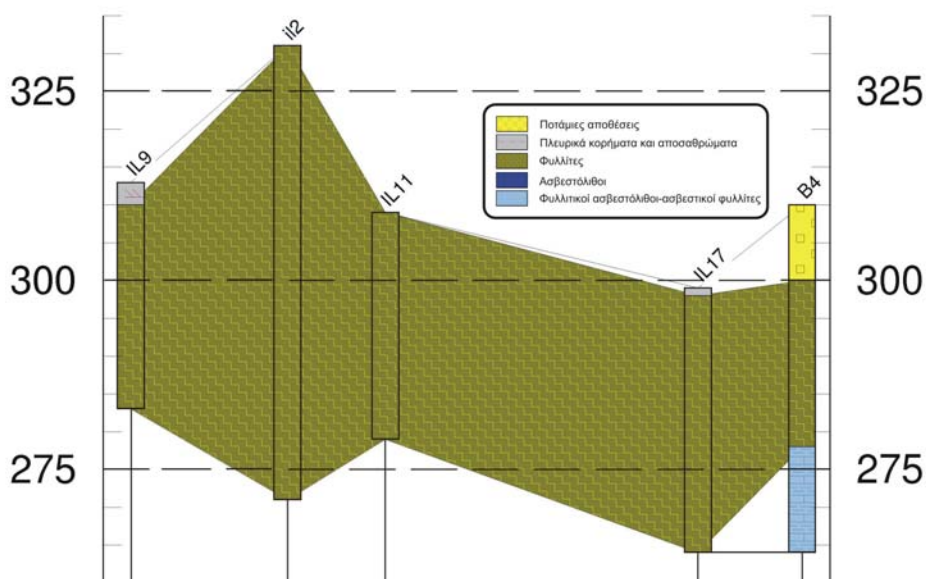
γ) 3<sup>ος</sup> σχηματισμός:  $V_p=3100-3500m/sec$ ,  $V_s=960-1510m/sec$ . Αποτελείται επίσης από φυλλίτη, πιθανότατα πιο συνεκτικό από τον ανώτερο φυλλιτικό σχηματισμό. Στη θέση της γεώτρησης CH1 εκτείνεται περίπου από τα 13 έως τα 30 μέτρα, όπως φαίνεται τόσο από τις επιφανειακές γεωφυσικές τομές όσο και από τις μετρήσεις στις γεωτρήσεις οι οποίες δείχνουν απότομη αύξηση (ασυνέχεια) από τα 28 μέτρα, κυρίως στις P ταχύτητες. Η αναλυτική περιγραφή της γεώτρησης IL-12 δείχνει παρουσία γκρίζοπράσινου επίσης κατακερματισμένου φυλλίτη από τα 11 έως τα 23 μέτρα, σε καλή συμφωνία με τα αποτελέσματά μας. Πρέπει να επισημανθεί, ότι ενώ οι περιγραφές της γεώτρησης IL-12 δείχνουν περίπου τον ίδιο βαθμό κατακερματισμού με τον ανώτερο σχηματισμό, οπότε η διαφοροποίηση των ταχυτήτων πιθανότατα οφείλεται στη διαφοροποίηση του γεωλογικού σχηματισμού (όπως προκύπτει και από τη χρωματική διαφορά στις περιγραφές των γεωτρήσεων). Επίσης το βάθος του κάτω ορίζοντα του σχηματισμού αυτού στη θέση της CH1, όπως προκύπτει από τις

γεωφυσικές μετρήσεις, είναι σχετικά μεγαλύτερου από την τιμή στη πλησιέστερη γεώτρηση (IL-12). Η διαφοροποίηση αυτή δείχνει μία πιθανή έντονη χωρική μεταβολή του βάθους αυτού του ορίζοντα, γεγονός που επιβεβαιώνεται: 1) από την έντονη μεταβολή του βάθους της ασυνέχειας που φαίνεται και στη γεωφυσική τομή και, 2) από το γεγονός ότι γειτονικές γεωτρήσεις (π.χ. η IL-6) δείχνουν αυτή τη μετάβαση σε σημαντικά μεγαλύτερο βάθος (π.χ. στα 32.5 μέτρα η IL-6).

δ) 4<sup>ος</sup> σχηματισμός:  $V_p=5200m/sec$ ,  $V_s=2400m/sec$ . Οι τιμές των ταχυτήτων των κυμάτων χώρου στον σχηματισμό αυτόν είναι σχεδόν ίδιες με τις μέγιστες τιμές οι οποίες παρατηρούνται στον ασβεστόλιθο στην τομή D1-D2. Επιπλέον, παρουσιάζεται για το βάθος κάτω από τα 30 μέτρα μία διαφοροποίηση με τις τιμές των μετρήσεων crosshole και downhole, οι οποίες είναι μικρότερες. Λόγω του περιορισμένου βάθους της γεώτρησης IL-12, χρησιμοποιήθηκε για σκοπούς σύγκρισης (όπως και πριν) η σχετικά πλησιέστερη γεώτρηση IL-6, η οποία κάτω από το βάθος των 32.5μέτρων εντοπίζει νέα διαφοροποίηση με την εμφάνιση νέου, λιγότερο κερματισμένου φυλλιτικού σχηματισμού με γκρι χρώμα. Η IL-12 εμφανίζει τον ίδιο σχηματισμό ρηχότερα (όπως αναφέρθηκε και πριν) με γκριζοπράσινο χρώμα και περισσότερο υγιή, γεγονός που επιβεβαιώνει την έντονη χωρική μεταβολή του άνω ορίζοντα αυτού του στρώματος. Κατά συνέπεια η σεισμική διάθλαση πιθανότατα εντοπίζει τη συγκεκριμένη διαφοροποίηση και αυτός ο κατώτερος σχηματισμός είναι επίσης φυλλιτικός, αν και με υψηλότερα μέτρα ελαστικότητας. Η προς τα κάτω διαφοροποίηση των τιμών των μετρήσεων crosshole και downhole μόνο σε αυτό το βάθος ίσως οφείλεται σε ένα τοπικό φαινόμενο, αφού είναι γνωστό ότι οι φυλλιτικοί σχηματισμοί παρουσιάζουν έντονες τοπικές διαφοροποιήσεις των ελαστικών τους ιδιοτήτων. Είναι λοιπόν απίθανο να έχουμε την παρουσία ασβεστόλιθου στην περιοχή. Εξ' άλλου, όπως φαίνεται και από το σχήμα 72 των τιμών ταχύτητας στη γεώτρηση CH1, οι τιμές ταχύτητας παρουσιάζουν μία σταδιακή αύξηση με το βάθος, σε αντίθεση με την αντίστοιχη δομή στον ασβεστόλιθο στη γεώτρηση CH2 (σχήμα 69). Η σταδιακή αυτή αύξηση πιθανότατα οφείλεται στην επίδραση της ισότροπης πίεσης των υπερκείμενων σχηματισμών στα βαθύτερα στρώματα του φυλλίτη, του οποίου τα δομικά υλικά μπορούν πιο εύκολα κάτω από καθεστώς πίεσης να εμφανίζουν αύξηση των σχετικών μέτρων ελαστικότητας, και ιδίως αυτού της συμπίεστότητας η οποία επηρεάζει τις ταχύτητες των P κυμάτων.

### 7.6.3 ΔΕΞΙ ΑΝΤΕΡΕΙΣΜΑ – ΠΕΡΙΟΧΗ ΦΥΛΛΙΤΩΝ

Η περιοχή αυτή αφορά τους φυλλίτες του δεξιού αντερείσματος. Στην περιοχή υπάρχει περιορισμένος αριθμός διαθέσιμων γεωτρήσεων. Μία τυπική τομή κατά μήκος αυτής της περιοχής, παράλληλα με την κοίτη του ποταμού και από τα ανάντι στα κατάντι είναι αυτή η οποία παρουσιάζεται στο σχήμα 75.



**Σχήμα 75.** Τυπική γεωλογική τομή κατά μήκος του δεξιού αντερείσματος.

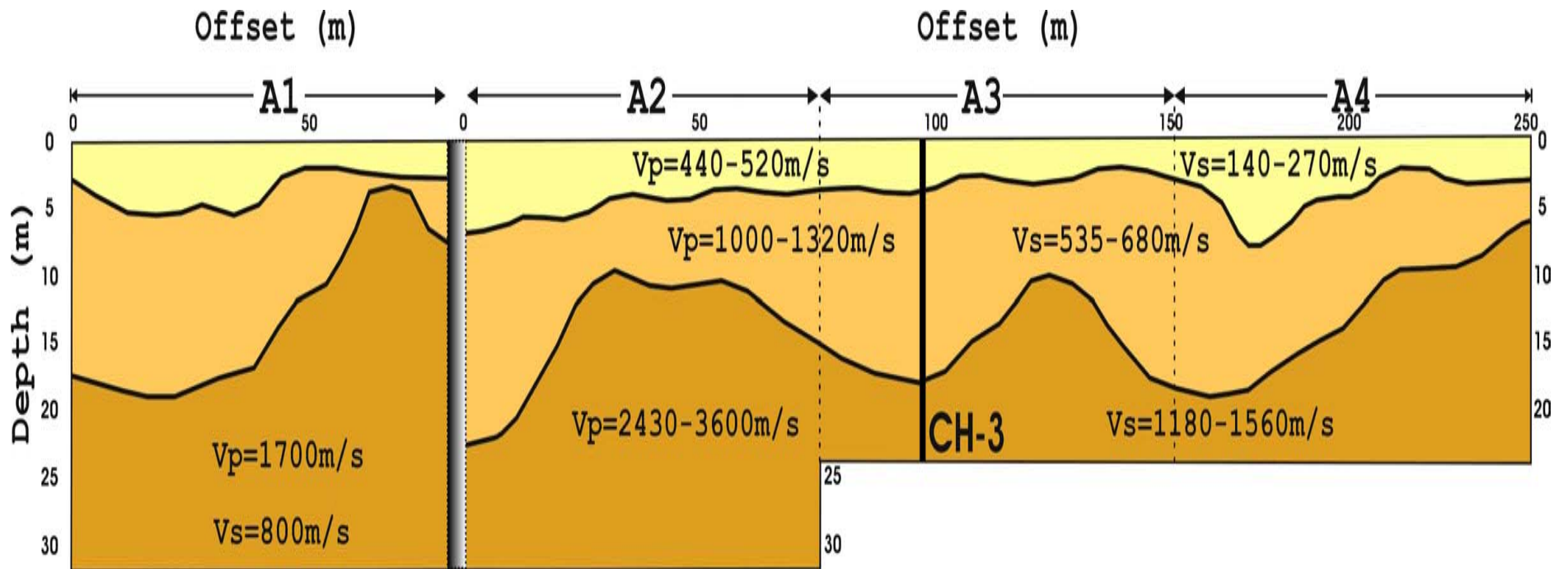
Η γεωλογική τομή ξεκινάει λίγο μετά (προς τα κατάντι) από τη μεταβατική ζώνη και διατρέχει το δεξί αντέρεισμα παράλληλα και κοντά στην κοίτη του ποταμού, δείχνοντας μία εικόνα παρόμοια με τις προηγούμενες τομές, δηλαδή επιφανειακή παρουσία αποσαθρωμάτων-κορημάτων μικρού πάχους, τα οποία κοντά στο ποτάμι αντικαθίστανται από ποτάμιες αποθέσεις. Στην περιοχή αυτή υλοποιήθηκαν οι τέσσερις (4) επιφανειακές τομές, οι A1, A2, A3 και A4, οι θέσεις των οποίων έχουν παρουσιαστεί στο σχήμα 76. Οι τομές υλοποιήθηκαν παράλληλα με την προαναφερθείσα γεωλογική τομή και σε μεγαλύτερο υψόμετρο, τόσο για λόγους πρόσβασης, όσο και για να διερευνηθούν οι ιδιότητες κατά μήκος του σώματος του δεξιού αντερείσματος. Η τομή A1 είναι χωρικά αποκομμένη από τις υπόλοιπες, λόγω της μορφολογίας και των περιορισμένων δυνατοτήτων πρόσβασης στο πρηνές του αριστερού αντερείσματος.

Τα αποτελέσματα της γεωφυσικής διασκόπησης κατά μήκος της τομής A1, καθώς και των τομών A2, A3 και A4 φαίνονται στο σχήμα 76. Σε κάθε γεωφυσική ενότητα δίνονται, όπως και προηγουμένως, οι μέσες τιμές των ταχυτήτων των P και S κυμάτων οι οποίες μετρήθηκαν. Μεταξύ της τομής A1 και των υπολοίπων τομών υπάρχει μία διακοπή, λόγω της μη γεωμετρικής συνέχειας των τομών, όπως προαναφέρθηκε. Ειδικά για την τομή A1 η κατώτερη γεωφυσική ενότητα (καφέ χρώμα) παρουσιάζει σημαντικά διαφοροποιημένες τιμές (μικρότερες ταχύτητες P και S κυμάτων) και γι' αυτό οι τιμές αυτές δίνονται ξεχωριστά γι' αυτό το στρώμα.

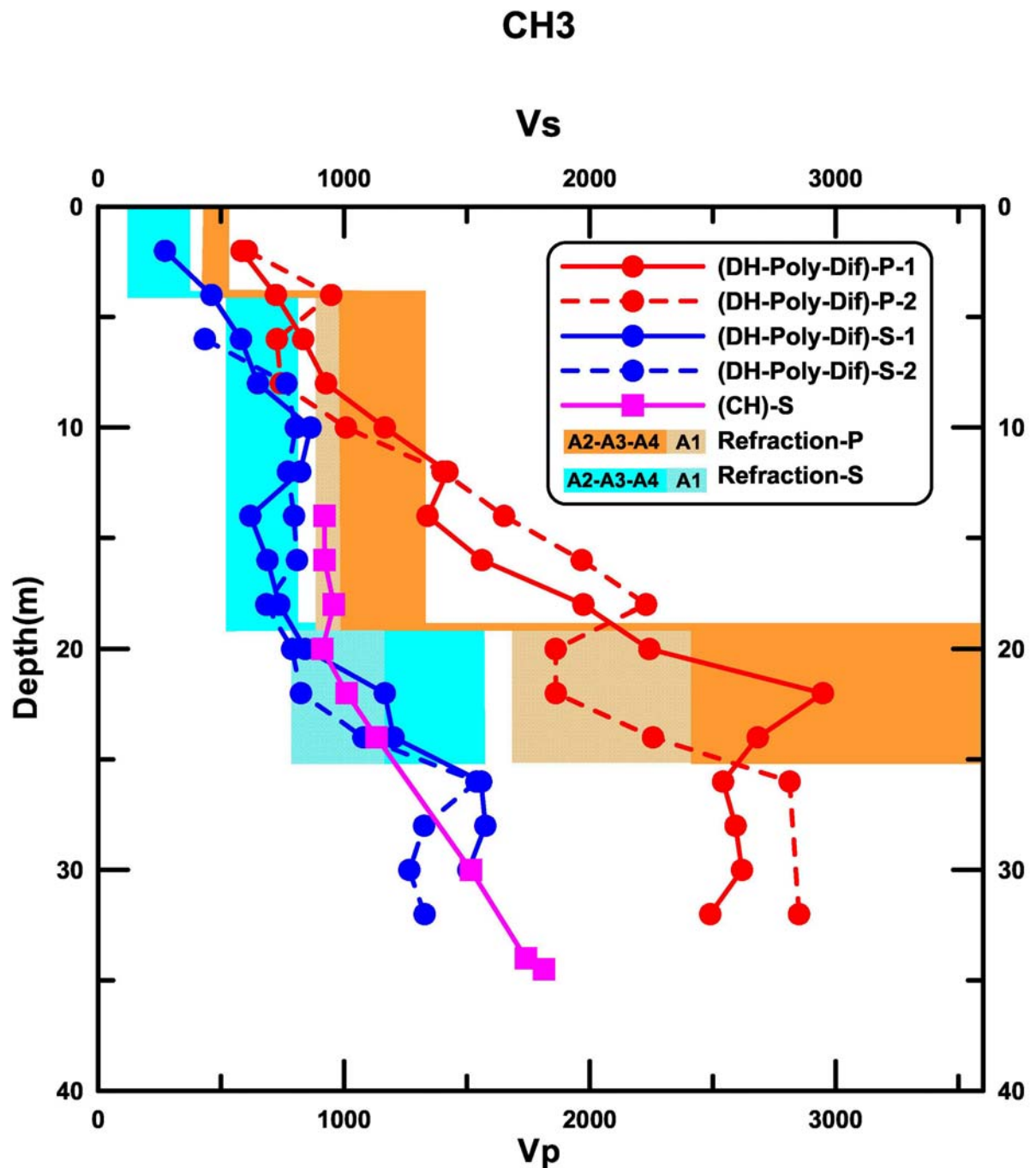
Στο σχήμα 76 έχει τοποθετηθεί και η θέση των γεωτρήσεων της ομάδας CH3 στις οποίες πραγματοποιήθηκαν μετρήσεις crosshole και downhole. Τα αποτελέσματα των δοκιμών αυτών φαίνονται στο σχήμα 77, όπου έχει χρησιμοποιηθεί ο ίδιος συμβολισμός για τα δύο είδη μετρήσεων. Επίσης, στο ίδιο σχήμα εμφανίζονται για λόγους σύγκρισης τα αποτελέσματα της επιφανειακής διάθλασης, όπου τα βάθη των



ασυνεχειών (αλλαγές ταχύτητας) έχουν υιοθετηθεί από την παραπάνω ερμηνεία της σεισμικής διάθλασης στη θέση των γεωτρήσεων CH3 και για κάθε βάθος εμφανίζεται το εύρος των P και S τιμών του κάθε γεωφυσικού σχηματισμού, όπως αυτός φαίνεται στο σχήμα 77. Ειδικότερα για την τομή A1 και για την τρίτη γεωφυσική ενότητα, παρουσιάζονται με πιο ανοικτά χρώματα (ανοικτό πορτοκαλί και θαλασσί) οι αντίστοιχες τιμές οι οποίες προέκυψαν από τη σεισμική διάθλαση. Το ίδιο έχει γίνει και για το δεύτερο στρώμα όπου η ταχύτητα των P κυμάτων ήταν ελαφρά χαμηλότερη (~900m/sec) από τις αντίστοιχες ταχύτητες του σχηματισμού. Γενικά, η σύγκριση δείχνει πολύ καλή συμφωνία της γεωφυσικής δομής η οποία έχει καθοριστεί από τα δύο είδη μετρήσεων, όπως και στις προηγούμενες περιπτώσεις.



Σχήμα 76. Γεωφυσική ερμηνεία τομών A1, A2, A3 και A4.



**Σχήμα 77.** Δομή ταχύτητας P και S κυμάτων η οποία προέκυψε από δοκιμές crosshole (τετράγωνα) και downhole (κύκλοι) στη γεώτρηση CH3. Για σύγκριση παρουσιάζονται και τα αντίστοιχα εύρη τιμών τα οποία προέκυψαν από τις αντίστοιχες επιφανειακές μετρήσεις (διαθλάσεις).

Παρατηρώντας το σχήμα 76 όπου παρουσιάζεται η γεωφυσική δομή κατά μήκος της τομής και σε συνδυασμό με τα αποτελέσματα των δοκιμών crosshole και downhole, τη γενικότερη γεωλογία και τη γεωλογική τομή του σχήματος 75, αλλά και τις τιμές των ταχυτήτων των τεσσάρων γεωφυσικών ενοτήτων που εντοπίστηκαν μπορούμε να διακρίνουμε σχηματισμούς παρόμοιους, τόσο σε σχέση με τη γεωλογική δομή, αλλά κυρίως σε σχέση με

τις τιμές ταχυτήτων των φυλλίτων του αριστερού αντερείσματος. Η ομοιότητα αυτή των φυλλιτικών σχηματισμών είναι αναμενόμενη και διευκολύνει τη γεωλογική-γεωφυσική ερμηνεία της τομής A1-A4. Έτσι μπορούμε για την τομή αυτή να θεωρήσουμε τους εξής σχηματισμούς:

α) 1<sup>ος</sup> σχηματισμός:  $V_p=440-520m/sec$ ,  $V_s=140-270m/sec$ . Αποτελείται από χαλαρά υλικά, μεταβλητού πάχους. Στη θέση της γεώτρησης CH3 το πάχος τους είναι περίπου 4 μέτρα, όπως φαίνεται από τις επιφανειακές γεωφυσικές τομές. Η διάτρηση της γεώτρησης CH3.2 έδειξε την παρουσία αμμο-αργιλικών υλικών με πάχος 4 μέτρων, σε πολύ καλή συμφωνία με τα αποτελέσματα.

β) 2<sup>ος</sup> σχηματισμός:  $V_p=1000-1320m/sec$ ,  $V_s=535-680m/sec$ . Αποτελείται από φυλλιτικά πετρώματα, πιθανότατα και σε αυτή την περίπτωση τον ανώτερο μανδύα αποσάθρωσης του φυλλιτικού σχηματισμού. Στη θέση της γεώτρησης CH3 εκτείνεται περίπου από τα 4 έως τα 19 μέτρα, όπως φαίνεται τόσο από τις επιφανειακές γεωφυσικές τομές αλλά και από τις μετρήσεις στις γεωτρήσεις οι οποίες δείχνουν απότομη αύξηση (ασυνέχεια) στην περιοχή των 20 (για τα S κύματα) έως 22 μέτρων (για τα P κύματα). Στην τομή A1 οι ταχύτητες του σχηματισμού αυτού είναι παρόμοιες, με ελαφρά μικρότερες τις ταχύτητες των P κυμάτων (~900m/s). Η γεώτρηση CH3.2 (η οποία και βρίσκεται κατάντη της δίδυμης της γεώτρησης CH3.1), δείχνει την παρουσία ιλυοαμμωδών υλικών με θραύσματα φυλλίτη μέχρι τα 13.5 μέτρα και την παρουσία φυλλίτη με ελάχιστες ασβεστολιθικές ενστρώσεις και αδύνατες ζώνες ιλυο-αμμωδών υλικών μέχρι τα 21.5 μέτρα. Όπως φαίνεται και από το σχήμα 59 οι επιφανειακές μετρήσεις διάθλασης αναγνωρίζουν τα δύο στρώματα σαν ένα γεωφυσικό σχηματισμό, δηλαδή αδυνατούν να διακρίνουν το κατώτερο στρώμα, κάτι που όμως δεν ισχύει για τις μετρήσεις στις γεωτρήσεις οι οποίες δείχνουν μία σταδιακή αύξηση των ταχυτήτων και σημαντική αλλαγή στα 20-25 μέτρα, σε καλή συμφωνία με τα γεωφυσικά αποτελέσματα.

γ) 3<sup>ος</sup> σχηματισμός:  $V_p=3100-3500m/sec$ ,  $V_s=960-1510m/sec$ . Αποτελείται επίσης από φυλλίτη, πιο «συνεκτικό» από τον ανώτερο φυλλιτικό σχηματισμό. Στη θέση της γεώτρησης CH3 εκτείνεται περίπου από τα 18-20 έως τα 25 μέτρα, όπως φαίνεται τόσο από τις επιφανειακές γεωφυσικές τομές, και πιθανότατα συνεχίζει μέχρι και το μέγιστο βάθος των γεωτρήσεων δηλαδή τα 35 μέτρα. Στην περίπτωση αυτή δεν έχουμε την ασυμφωνία ταχυτήτων που παρατηρήθηκε κάτω από τα 30 μέτρα στη γεώτρηση CH1, όμως αυτό ίσως οφείλεται στο μικρότερο βάθος διεξόδου των επιφανειακών μετρήσεων, λόγω των μικρότερων αναπτυγμάτων των τομών A1, A2 και A3 που περιορίστηκαν στην ανάπτυξή τους από την επιφανειακή μορφολογία. Η γεώτρηση CH3.2 δείχνει πολύ λίγες αλλαγές στη γεωλογική δομή κάτω από τα 21.5 μέτρα, με την παρουσία φυλλιτών με ενδιαστρώσεις ασβεστολίθου μέχρι τα 39 μέτρα, σε συμφωνία με τα γεωφυσικά αποτελέσματα.

Ειδικά για την τομή A1, οι ταχύτητες σε αυτά τα βάθη είναι σημαντικά μικρότερες ( $V_p=1700m/s$ ,  $V_s=800m/s$ ), γεγονός το οποίο φανερώνει τη διαφοροποίηση αυτού του φυλλιτικού ορίζοντα προ τη θέση της τομής A1. Η διαφοροποίηση αυτή θεωρείται αποδεκτή, λόγω των χωρικών

διαφοροποιήσεων που εντοπίζονται σε τέτοιους σχηματισμούς, όπως έχει περιγραφεί και προηγουμένως).

## 8. ΣΥΜΠΕΡΑΣΜΑΤΑ - ΣΥΝΟΨΗ

Σύμφωνα με τα αποτελέσματα των γεωφυσικών μετρήσεων οι οποίες πραγματοποιήθηκαν στην εύρύτερη περιοχή του φράγματος Ιλαρίωνα Αλιάκμονα, προέκυψαν τα ακόλουθα:

α) Προσδιορίστηκαν με ακρίβεια τα όρια και οι ταχύτητες των κυμάτων χώρου (P και S) των γεωφυσικών σχηματισμών και στα δύο αντερείσματα του φράγματος. Υπολογίστηκαν και παρουσιάστηκαν κατά μήκος διαφόρων τομών οι τιμές των ταχυτήτων των κυμάτων χώρου,  $V_P$  και  $V_S$ .

β) Τα αποτελέσματα των επιφανειακών μετρήσεων διάθλασης βρίσκονται σε πολύ καλή συμφωνία με τα αποτελέσματα από τις δοκιμές στις γεωτρήσεις (crosshole-downhole), τόσο σε σχέση με τις ταχύτητες που προσδιορίζονται, όσο και σε σχέση με τα βάθη των γεωφυσικών ασυνεχειών.

γ) Οι ταχύτητες των P και S κυμάτων βελτιώνονται (αυξάνουν) σημαντικά με το βάθος και συνολικά (με εξαίρεση για τον ανώτερο σχηματισμό που αντιστοιχεί στα κορήματα-αποσαθρώματα και στις ποτάμιες αποθέσεις και δευτερευόντως τα ανώτατα στρώματα των φυλλιτών) παρουσιάζουν σχετικά υψηλές τιμές και συνεπώς προΐδεάζουν την παρουσία βραχομάζας γενικά καλής μηχανικής συμπεριφοράς.

δ) Διαπιστώθηκε πολύ καλή αντιστοιχία των γεωφυσικών σχηματισμών που προσδιορίστηκαν με τους γεωλογικούς σχηματισμούς του υποβάθρου (ασβεστόλιθοι και φυλλίτες) και προσδιορίστηκαν οι μέσες ταχύτητες των διαφόρων σχηματισμών. Ειδικότερα, μπορούμε να ορίσουμε τις εξής γενικές ενότητες:

### ◆ Σχηματισμός Α ( $V_S=140-410\text{m/s}$ , $V_P=440-800\text{m/s}$ )

Ο σχηματισμός αυτός αποτελείται από τα κορήματα-αποσαθρώματα του υποβάθρου, καθώς και τις ποτάμιες αποθέσεις. Είναι εξαιρετικά ανομοιογενής με έντονες τοπικές διαφοροποιήσεις ανάλογα με το βαθμό αποσάθρωσης και αυτό αντανακλάται στο μεγάλο εύρος των τιμών των ταχυτήτων. Γενικά μπορούμε να θεωρήσουμε μία μέση ταχύτητα,  $V_S=275\text{m/s}$  και  $V_P=620\text{m/s}$ , τιμές οι οποίες αντιστοιχούν σε ένα μέτρο διάτμησης ίσο με  $G_0 \approx 160\text{MPa}$  και σε δυναμικό μέτρο ελαστικότητας  $E_0 \approx 450\text{MPa}$  θεωρώντας μία τυπική πυκνότητα  $2.15\text{gr/cm}^3$ .

### ◆ Σχηματισμός Β ( $V_S=1230-1560\text{m/s}$ , $V_P=4200-4700\text{m/s}$ )

Ο σχηματισμός αυτός αντιστοιχεί στους ασβεστόλιθους. Στα ανώτερα στρώματα εντοπίστηκαν από τη σεισμική διάθλαση και περιοχές με μικρότερες τιμές ταχύτητας ( $V_S=720\text{m/s}$ ,  $V_P=3450\text{m/s}$ ) που πιθανά αντιστοιχούν σε περιοχές με τοπικά εντονότερο κατακερματισμό και πιθανή παρουσία πιο επιφανειακών υλικών. Αντίστοιχα, στα βαθύτερα στρώματα (κάτω από των 28-30 μέτρα), οι γεωφυσικές μετρήσεις σε γεωτρήσεις, αλλά και οι γεωλογικές-γεωτεχνικές περιγραφές των γεωτρήσεων δείχνουν πιο υψηλές ταχύτητες ( $V_S=2300\text{m/s}$ ,  $V_P=5600\text{m/s}$ ) που αντιστοιχούν σε πιο υγιή ασβεστόλιθο. Γενικά μπορούμε να θεωρήσουμε για το ανώτερο τμήμα του ασβεστολίθου (~10-30μέτρα) μία μέση ταχύτητα,  $V_S=1850\text{m/s}$  και  $V_P=4400\text{m/s}$ , τιμές οι οποίες αντιστοιχούν σε ένα μέτρο διάτμησης ίσο με  $G_0 \approx 9000\text{MPa}$  και σε δυναμικό μέτρο ελαστικότητας  $E_0 \approx 25000\text{MPa}$  θεωρώντας μία τυπική πυκνότητα  $2.65\text{gr/cm}^3$ , ενώ για τα βαθύτερα στρώματα όπου συναντώνται και

οι υψηλότερες ταχύτητες οι αντίστοιχες τιμές είναι  $G_0 \approx 14000 \text{MPa}$  και  $E_0 \approx 40000 \text{MPa}$ .

◆ Σχηματισμός Γ

Ο σχηματισμός αυτός αντιστοιχεί στους φυλλίτες. Γενικά, και στα δύο αντερείσματα εντοπίστηκαν δύο ενότητες, μία ανώτερη με ταχύτητες  $V_S=520-740 \text{m/s}$  και  $V_P=1000-1650 \text{m/s}$ , που πιθανά αντιστοιχεί στο επιφανειακό μανδύα των φυλλιτών με την εντονότερη αποσάθρωση και μία κατώτερη με ταχύτητες  $V_S=960-1560 \text{m/s}$  και  $V_P=2430-3600 \text{m/s}$ , που αντιστοιχεί σε πιο υγιή (λιγότερο αποσαθρωμένο) φυλλιτικό σχηματισμό. Μόνο σε μία τομή (D4) εντοπίστηκε και ο πιο υγιής φυλλίτης (υψηλότερες ταχύτητες-σχετικά υψηλότερες τιμές RQD) σε βάθος 25–30 μέτρων. Γενικά μπορούμε να θεωρήσουμε για το ανώτερο τμήμα του φυλλίτη (~4-12μέτρα) μία μέση ταχύτητα,  $V_S=630 \text{m/s}$  και  $V_P=1320 \text{m/s}$ , τιμές οι οποίες αντιστοιχούν σε ένα μέτρο διάτμησης ίσο με  $G_0 \approx 1000 \text{MPa}$  και σε δυναμικό μέτρο ελαστικότητας  $E_0 \approx 2700 \text{MPa}$  θεωρώντας μία τυπική πυκνότητα  $2.5 \text{gr/cm}^3$ . Για το βαθύτερο φυλλιτικό στρώμα όπου συναντώνται οι υψηλότερες ταχύτητες ( $V_S \approx 1200 \text{m/s}$  και  $V_P=3000 \text{m/s}$ ) οι αντίστοιχες τιμές είναι  $G_0 \approx 3700 \text{MPa}$  και  $E_0 \approx 10000 \text{MPa}$ , ενώ οι τιμές της τομής D4 για το βάθος των 30-35 μέτρων αντιστοιχούν σε μέτρα ελαστικότητας  $G_0 \approx 15000 \text{MPa}$  και  $E_0 \approx 41000 \text{MPa}$ , τιμές παρόμοιες με αυτές του ασβεστόλιθου στα αντίστοιχα βάθη.

**ΒΙΒΛΙΟΓΡΑΦΙΑ**

- Aki, K., and Lee, W.H.K., 1976** Determination of three-dimensional velocity anomalies under a seismic array using first P arrival times from local earthquakes: 1. A homogeneous initial model. *J. Geophysics. Res.*, 81, 4381-4399.
- Aki, K., Cristofferson, A. and Husebye, E., 1977**, Determination of the three dimensional seismic structure of the lithosphere. *J. Geophysics. Res.*, 82, 277-292.
- Chen, S. T., Zimmerman, L. J. and Tugnait, J. K., 1990**. Subsurface imaging using reversed vertical seismic profiling and crosshole tomographic methods, *Geophysics*, 55, 1478-1487.
- ΔΕΗ / ΕΜΜΑΝΟΥΗΛΙΗΣ Γ., 1986**, Γενικό σχέδιο αξιοποίησης Μέσου και Άνω Αλιάκμονα, τόμος III. Εσωτερική Έκθεση Τομέα Γεωλογίας.
- ΔΕΗ / ΕΜΜΑΝΟΥΗΛΙΗΣ Γ., ΜΙΝΟΠΕΤΡΟΣ Χ., 1993**, Φράγμα Παρίωνα. Δεκάνη Ελάτης & Αριστερό αντέρεισμα φράγματος. Εσωτερική Έκθεση τομέα Γεωλογίας.
- Dobrin, M. B. 1951**. Dispersion in seismic waves. *Geophysics*. 16: 63-80.
- Eaton, G. P., and Watkins, J. S., 1970**, The use of seismic refraction and gravity methods in hydrogeological investigation, p. 544-568 in Morley, L. W., ed., *Mining and Groundwater Geophysics*, 1976, Geol. Survey Canada, Economic Geol. Rept. 26,722 p.
- Εφημερίς της Κυβερνήσεως της Ελληνικής Δημοκρατίας.1986**, Τεύχος Δεύτερο, Αριθμός φύλλου 29.
- FAUGERES, L. & VERGELY, P., 1974**, Existence de deformations en compression d'age quaternaire ansien dans de Massif du Vourinos. *C.R. Acad. Sci., France.*, t. 278, serie D.
- Harris, J. M., 1987**, Diffraction tomography with arrays of discrete sources and receivers: *IEEE Trans. Geosci. And Remote Sensing*, Vol GE-25, 4, 448-455.
- HOEK E., KRAPP L., MILLIGAN V., 1993**, Ilarion Hydroelectric Project - Consulting Board Report N. 5.
- Howell, B. 1959**. *Introduction to Geophysics*. New York: McGraw – Hill.
- Ivansson, S., 1986**. Crosshole transmission tomography, in *Seismic Tomography with Applications in Global Seismology and Exploration Geophysics*, edited by G. Nolet, D. Reidel Publishing Company.
- Ivansson, S., 1986**. Seismic borehole tomography – Theory and computational methods, *Proc. IEEE* 74, 328-338.
- Inderwiesen, P. I. and Lo, T., 1990**, Cross-hole seismic tomographic imaging of reservoir inhomogeneities in the Midway Sunset Field, California: 60<sup>th</sup> Ann. Internat. Mtg., Soc. Expl. Geophysics, Expanded Abstracts, 22-25.
- Justice, J. H., Vassiliou, A.A., Mathisen, M. E., Singh, S., Cunningham, P. S. and Hutt, P. R., 1992**, Acoustic tomography in reservoir surveillance, in Sheriff, R. E., Ed., *Reservoir geophysics: Soc. Expl. Geophysics*, *Investigations in Geophysics* 7, 321-334.



- KAESS W., 1993**, Expert Report No2 on the results of the tracing test in the Elati basin from May 8.
- Kearey, P., Brooks, M.** Introduction to Geophysical Exploration, Oxford-London-Boston, Blackwell Scientific Publication, 1984.
- Labo, J. 1987.** A Practical Introduction to Borehole Geophysics. Tulsa: Society of Exploration Geophysicists.
- Lee, D. S., Verinoca M. Stevenson, Phill F. Johnston and C. E. Mullen, 1995.** time – lapse crosswell seismic tomography to characterize flow structure in the reservoir during the thermal stimulation, Geophysics, vol. 60, No. 3 p. 660-666.
- Lines, L. R., 1991,** Applications of tomography to borehole and reflection seismology, The Leading Edge, 10, 11, 11-17.
- Lines, L. R., Miller, M., Tan, H., Chambers, R. and Treitel, S., 1993,** Integrated interpretation of borehole and borehole and crosswell data from a west Texas field: The Leading Edge, 12, 12, 13-16.
- Lo, T., Inderwieswn, P. L., Howlett, D. L., Melton, D. R., Livingston, N. D., Paulsson, B. N. P. and Fairborn, J. W., 1990.** McKittrick crosswell seismology project: Part II. Tomographic processing and interpretation. 60<sup>th</sup> Ann. Internat. Mtg., Soc. Expl. Geophysics, Expanded Abstracts, 30-33.
- Mathisen, M. E., Vassiliou, A. A., Cunningham, P. S., Shaw, J., Justice, J. H. and Guinzy, N. J., 1995,** Time-lapse crosswell seismic tomogram interpretation: Implications for heavy oil reservoir characterization, thermal recovery process monitoring and tomographic imaging technology: Geophysics, 60, 631-650.
- Medlin, W. L. and Alhilali, K. A., 1990,** Shear wave porosity logging in sands: 65<sup>th</sup> Ann. Tech. Conf., Soc. Petr. Eng. SPE Paper 20558, 283-293.
- Meredith, J. A., 1990,** Numeric and analytical modeling of downhole seismic sources: The near and far field: Ph.D. thesis, Massachusetts Institute of Technology.
- McLamore, R.T.** ‘‘Potential Use of Liquid Explosives to Increase Rates in Solution Mining.’’ Solution Min Symp, Proc, 103<sup>rd</sup> AIME Annu MEET, Dallas, Tex, Feb 25-27 1974 p 44-55.
- MILANOVIC P., 1992,** Ilarion Hydroelectric Project Consultant report for mission in December 1992.
- Morris, C. F., Little, T. M. and Letton, W. 1985.** Soc. Petr. Eng. 59<sup>th</sup> Ann. Fall Tech. Conf., pape SPE 13285.
- Παπαζάχος Β. Κ., 1986.** Εισαγωγή στην Εφαρμοσμένη Γεωφυσική. Εκδόσεις ΖΗΤΗ,1986.
- Peterson, J. E., Bjorn, N. P. Paulsson and Thomas V. McEvelly., 1985,** Applications of algebraic reconstruction techniques to crosshole seismic data. Geophysics, 50, 1566-1580.
- Pratt, R. G. and Goultly, N. R., 1991,** Combining wave-equation imaging with travelttime tomography to form high resolution images from crosshole data: Geophysics, 56, 208-225.

- Press, F. and R. Siever, 1978.** Earth, 2<sup>nd</sup> ed. San Francisco: W. H. Freeman.
- Rutledge, J. T., 1989.** Interwell seismic surveying workshop: An overview. The Leading Edge, 8(6): 38-40.
- Raymond, W. C., Warrick R. E. and Bennett M. J., 1978,** Seismic velocities of San Francisco bayshore sediments. Earthquake Engineering and Soil Dynamics, June 19-21, 1978, Pasadena, CA.
- Rector, J., S. Lazaratos, Harris J. M. and Van Schaack, M., 1995.** High-resolution crosswell imaging of a west Texas carbonate reservoir: Part 3-Wavefield separation of reflections, Geophysics, 60, 692-701.
- Scott, J.H., and Markiewich, R. D., 1990,** Dips and chips-PC programs for analyzing seismic refraction data : Proceedings, SAGEEP 1990, Golden, Colorado, 175-200.
- Scales, J. A. and Smith, M. L., 1994,** Introductory Geophysical Inverse Theory, Samizdat Press, 1994.
- Sheriff, R. E. and Geldart, L. P., 1995.** Exploration Seismology. Cambridge University Press.
- Statton, C. T., Auld, B., Fritz, A., 1978.** In situ seismic shear wave velocity measurements and proposed procedure. A.S.T.M. 1978, Dynamic Geotechnical Testing, pp. 56-65.
- Σουπιός Π., 1997,** Αντιστροφή των χρόνων άφιξης σε σεισμική τομογραφία μεταξύ γεωτρήσεων, Μεταπτυχιακό Πρόγραμμα Σπουδών της Γεωλογίας-ΑΠΘ..
- Σουπιός Π., 2003,** Σημειώσεις Τεχνολογίας Εντοπισμού Υδάτινων Πόρων, ΤΕΙ Κρήτης
- STOJIC P., MILANOVIC P., KRAPP L., 1984.** Ilarion Hydroelectric Project - Consulting Report
- SURVEYER, NENNIGER & CHENEVERT INC., Consultants (S.N.C.) 1972,** Palialona Hydroelectric Development - Geological and Geotechnical Report.
- Tatham, R. H. and M. D. McCormack, 1991.** Multicomponent Seismology in Petroleum Exploration. Tulsa: Society of Exploration Geophysicists.
- Van Schaack, M., Harris, J. M., Rector, J. W. and Lazaratos, S., 1995.** High-resolution crosswell imaging of a west Texas carbonate reservoir: Part 2-Wavefield modelling and analysis, Geophysics, 60, 682-691.
- Wyllie, M.R.J., de WITTE, A.J., WARREN, J.E., 1958,** On the streaming potential problem in well logging : Trans. A.I.M.E., 213, 409-417.
- Wong, J., N. Bregman, G. West and P. Hurley, 1987.** Crosshole seismic scanning and tomography. The Leading Edge, (1): 36-41.
- Williams, M. C., Van L. Leighton, Antony A. Vassiliou, Henry Tan and Tamas Nemeth, V. Dale Cox, Don L. Howlett, 1997.** Crosswell Seismic Imaging: A technology whose time has come?. The Leading Edge, 16 (3): 285-291.
- Wu, R. and Toksoz, M. N., 1987.** Diffraction tomography and multisource holography applied to seismic imaging: Geophysics, 52, 11-25.
- White, J. E., 1983.** Underground sound: Application of seismic waves: Elsevier.

**W. M. Telford, L.P. Geldart, R.E. Sheriff**, Applied Geophysics, 2<sup>nd</sup> edition,  
Cambridge University Press, 1990.

**ΠΑΡΑΡΤΗΜΑ Ι – Ισχύουσα Νομοθεσία για την κατασκευή Φραγμάτων****Υ.ΠΕ.ΧΩ.Δ.Ε****Φράγματα**

Τα φράγματα, περισσότερο από τα άλλα τεχνικά έργα, εξαρτώνται από τις περιβαλλοντικές συνθήκες και ιδιαίτερα από τη γεωλογία της περιοχής. Η σωστή κατασκευή, λειτουργία και διατήρηση των έργων που συνδέονται με ένα φράγμα είναι ουσιώδη καθότι πιθανή αστοχία μπορεί να προκαλέσει ανυπολόγιστες υλικές ζημιές και εκατοντάδες θύματα.

Γενικά μια περιοχή κατασκευής ενός φράγματος θα πρέπει να ικανοποιεί τις ακόλουθες απαιτήσεις :

- ✓ Τα πετρώματα να είναι συνεκτικά και ομοιογενή για να αντιμετωπισθούν οι στατικές και δυναμικές φορτίσεις περιλαμβανόμενων και των σεισμών.
- ✓ Η σεισμικότητα της ευρύτερης περιοχής να είναι πλήρως διερευνημένη.
- ✓ Τα πρανή της λεκάνης κατακλύσεως και της περιοχής θεμελιώσεως να είναι ευσταθή κατά την πλήρωση του ταμιευτήρα καθώς και όταν λαμβάνουν χώρα σημαντικές διακυμάνσεις της στάθμης του.
- ✓ Η θεμελίωση να είναι ασφαλής, όσον αφορά την ολίσθηση, και ιδιαίτερα στην περίπτωση φραγμάτων βαρύτητας.
- ✓ Τα πετρώματα θεμελιώσεως σκόπιμο είναι να παρουσιάζουν σχετική ομοιομορφία, για να αποφευχθούν μεταβολές στην τιμή του μέτρου ελαστικότητας.
- ✓ Η ζώνη θεμελίωσης και η λεκάνη κατακλύσεως να είναι υδατοστεγείς.
- ✓ Τα πετρώματα πρέπει να είναι ανθεκτικά στη διάλυση, στη διάβρωση και την καταστροφή της δομής λόγω περιοδικής υγράνσεως – ξηράνσεως, δημιουργία πάγου και τήξεως αυτού.
- ✓ Οι βραχώδεις και εδαφικοί σχηματισμοί που καλύπτουν τη λεκάνη απορροής να είναι ανθεκτικοί στη διάβρωση, ώστε να μη συμβάλλουν στην ταχεία πρόσχωση του ταμιευτήρα, εξασφαλίζοντας έτσι μεγάλη διάρκεια ζωής στο έργο.
- ✓ Οι γεωλογικές και τοπογραφικές συνθήκες να επιτρέπουν την πλεονεκτική τοποθέτηση του υπερχειλιστού και σήραγγας εκτροπής.
- ✓ Η θέση των υλικών κατασκευής θα πρέπει να είναι σε μικρή απόσταση από το έργο.
- ✓ Να είναι γνωστές οι υδρογεωλογικές επιπτώσεις στην περιοχή κατάντη του φράγματος, καθώς και στις υπόλοιπες γειτονικές περιοχές ( πτώση της στάθμης των υπόγειων νερών στο κατάντη και ανύψωση στην περιβάλλουσα τη λεκάνη κατακλύσεως περιοχή ).

Η τελική επιλογή της περιοχής του φράγματος θα βασίζεται στη συγκριτική ανάλυση όλων των ανωτέρω στοιχείων, λαμβάνοντας σαν κριτήρια συγκρίσεως το κόστος, την ασφάλεια και τη διάρκεια ζωής του έργου.

Η γεωλογική μελέτη μιας περιοχής κατασκευής φράγματος, που πρέπει να περιλαμβάνει αναλυτικά τις παραπάνω παραμέτρους, δύναται να

διαιρεθεί σε τέσσερις φάσεις, με τις επί μέρους για κάθε φάση εργασίας ως εξής :

**A) Αναγνωριστική γεωλογική μελέτη (α' φάση μελέτης)**

Στο πλαίσιο της μελέτης αυτής περιλαμβάνονται :

- 1) Συγκέντρωση όλων των διαθέσιμων πληροφοριών για την υπό εξέταση περιοχή. (στοιχεία γεωλογικά, υδρογεωλογικά, γεωτεχνικά, σεισμολογικά, μεταλλευτικά κ.λ.π.).
- 2) Γεωλογική χαρτογράφηση της ευρύτερης ζώνης (Λεκάνη απορροής, λεκάνη κατακλύσεως και θέση φράγματος) σε κλίμακα 1:50000 – 1:25000. κατ' αυτήν θα επισημανθούν τα διάφορα προβλήματα από την ανάλυση των γεωλογικών συνθηκών – τεκτονικής δομής και ιδιαίτερα αυτά που έχουν σχέση με τη στεγανότητα της παροχής και την ευστάθεια των πρανών. Η γεωλογική χαρτογράφηση συνοδεύεται από γεωλογικές μηκοτομές σε κλίμακα 1:50000 / 1:5000 ή 1:25000 / 1:2500, καθώς και εγκάρσιες γεωλογικές τομές σε ορισμένες θέσεις, κυρίως προβληματικές.
- 3) Εντοπισμός κατ' αρχήν των υλικών κατασκευής και αποτύπωση τους στο χάρτη.
- 4) Καθορισμός των περιοχών ενδιαφέροντος, στα όρια της λεκάνης κατακλύσεως, όπως πόλεις, οικισμοί, αρχαιολογικοί χώροι.
- 5) Έκθεση που θα περιλαμβάνει :
  - Γεωμορφολογικά στοιχεία της περιοχής (κλίσεις πρανών, φυτοκάλυψη, μορφολογικό ανάγλυφο) .
  - Γεωλογικά στοιχεία (γεωλογική κατασκευή, τεκτονική δομή, πιθανά προβλήματα, στεγανότητα, ευστάθεια πρανών).
  - Υδρογεωλογικές παρατηρήσεις σχετικά με τα υπόγεια και επιφανειακά νερά.
  - Παρατηρήσεις σχετικές με τα φυσικά και χημικά χαρακτηριστικά των πετρωμάτων.
  - Χαρακτηριστικές φωτογραφίες της περιοχής και ιδιαίτερα των ζωνών που θεωρούνται προβληματικές.
  - Προτεινόμενη, με βάση τη γεωλογική θεώρηση, θέση του φράγματος και τύπος αυτού. Προτάσεις για πιθανές εναλλακτικές λύσεις.
  - Θέση των υλικών κατασκευής και περιγραφή αυτών (ποιοτική, ποσοτική).
  - Πρόγραμμα, πλήρως αιτιολογημένο, περαιτέρω ερευνών (γεωλογικών, γεωτεχνικών, κ.λ.π.).

**B) Κυρίως γεωλογική μελέτη ( β' φάση μελέτης)**

1. Λεπτομερής γεωλογική χαρτογράφηση της λεκάνης κατακλύσεως, υπό κλίμακα 1:2000.

2. Γεωλογική χαρτογράφηση της ζώνης θεμελιώσεως και αγκυρώσεως του φράγματος (εκατέρωθεν του προβλεπόμενου άξονα) σε κλίμακα 1:1000 τουλάχιστον.
3. Χαρτογράφηση σε κλίμακα 1:500 έως 1:100 σε ζώνες που θεωρούνται, με βάση τις προηγούμενες έρευνες και εκτιμήσεις, ως πλέον ευπαθείς και προβληματικές ή θέσεις όπου θα θεμελιωθεί ο υπερχειλιστής, τα αντερείσματα αγκυρώσεως του φράγματος κ.λ.π. οι παραπάνω χαρτογραφήσεις θα συνοδεύονται από γεωλογικές μηκοτομές σε αντίστοιχες κλίμακες ήτοι 1:5000 / 1:500, 1:100 / 1:100, 1:500 / 1:50. επίσης εγκάρσιες γεωλογικές τομές σε ορισμένες χαρακτηριστικές θέσεις της περιοχής που χαρτογραφήθηκε.
4. ανάλυση της τεκτονικής δομής της περιοχής και σύνταξη τεκτονοδιαγραμμάτων σε ορισμένες θέσεις.
5. Πρόγραμμα για τις γεωτεχνικές εργασίες που πρόκειται να εκτελεστούν και που αποσκοπούν στην καλύτερη γνώση των συνθηκών (γεωλογικών, γεωτεχνικών, υδρογεωλογικών) στην περιοχή της λεκάνης κατακλύσεως της ζώνης θεμελιώσεως του φράγματος.

Ειδικότερα το πρόγραμμα αυτό περιλαμβάνει :

- Αριθμό και θέσεις γεωτρήσεων με όλα τα χαρακτηριστικά τους (βάθος, κλίση, διάμετρος, δειγματοληψία, εισπιέσεις κ.λ.π.).
  - Αριθμό, θέσεις και λοιπά χαρακτηριστικά ερευνητικών φρεάτων, ορυγμάτων ή και στοών.
  - Θέσεις και δίκτυο γεωφυσικών διασκοπήσεων.
  - Επισήμανση ορισμένων προβλημάτων που πιθανώς χρειάζονται περαιτέρω διερεύνηση.
6. Τεχνική Έκθεση. Σε αυτή αναλύονται και αξιολογούνται όλα τα στοιχεία από τις ανωτέρω εργασίες της αναγνωριστικής και της κύριας φάσεως της γεωλογικής μελέτης.

### **Γ) Ερευνητικές εργασίες (γ' φάση μελέτης)**

Στο πλαίσιο του σταδίου αυτού εκτελούνται όλες οι ερευνητικές εργασίες που προτείνονται στη β' φάση της μελέτης και αξιολογούνται τα αποτελέσματά τους. Πρέπει να επισημανθεί ότι για ορισμένες ερευνητικές εργασίες (π.χ. γεωτρήσεις, γεωφυσικές διασκοπήσεις) είναι πιθανόν να κριθεί απαραίτητη η εκτέλεσή τους στο προηγούμενο στάδιο (β' φάση).

Είναι πιθανόν μετά την ανάλυση και σύνθεση των στοιχείων της λεπτομερούς έρευνας και μετά από τη συνεκτίμηση των προβλημάτων σε συνεργασία με τον μελετητή των έργων, να απαιτηθούν συμπληρωματικές ερευνητικές εργασίες.

Η συμβολή του γεωλόγου στο στάδιο αυτό είναι τελείως απαραίτητη για να αξιολογηθούν τα στοιχεία των ερευνητικών εργασιών ( τομείς γεωτρήσεων

και ορυγμάτων, χαρτογραφήσεις στοών και τάφρων ) και να αναπροσαρμόζεται το πρόγραμμα έρευνας ανάλογα με τα στοιχεία.

Η β' φάση και η γ' φάση συνθέτουν την οριστική γεωλογική μελέτη και η τεχνική έκθεση που υποβάλλεται περιλαμβάνει τα στοιχεία των δύο επί μέρους εκθέσεων, με την πλήρη αξιολόγηση αυτών και τις τελικές παρατηρήσεις για να αναμενόμενα προβλήματα και τις προτεινόμενες λύσεις.

#### **Δ) Στάδιο κατασκευής (δ' φάση μελέτης)**

Οι εργασίες του σταδίου αυτού και κυρίως αυτές που αφορούν θεμελιώσεις και διανοίξεις υπογείων έργων πρέπει να βρίσκονται κάτω από την παρακολούθηση του γεωλόγου. Με τα στοιχεία που αποκαλύπτονται κατά τις εκσκαφές και σε συνεργασία του γεωλόγου και του μελετητή μηχανικού διερευνώνται προβλήματα που ανακύπτουν, βάση της από κοινού αξιολογήσεως των νέων στοιχείων.

Ο γεωλόγος εξ άλλου θα συντάξει το γεωλογικό χάρτη της ζώνης θεμελιώσεως του φράγματος μετά την εκσκαφή, στον οποίο θα περιέχονται τα εξής στοιχεία : σημαντικές διαρρήξεις, διακλάσεις, ρήγματα και ζώνες αυτών, περιγραφή των εδαφικών και βραχωδών σχηματισμών, παρουσία πηγών, διεύθυνση και κλίση των στρωμάτων για τους διάφορους σχηματισμούς και γενικά κάθε χαρακτήρας που θα μπορούσε να επηρεάσει την κατασκευή. Αυτός ο χάρτης μπορεί να αποδειχθεί πολύ χρήσιμος σε περίπτωση πιθανών προβλημάτων, όπως διαρροές, διαφορικές καθιζήσεις ή τοπική αστάθεια κ.λ.π.